

# MEMORIA FINAL DE LAS ACTUACIONES ARQUEOLÓGICAS EN LAS TERMAS ORIENTALES DE LA ALCUDIA (ELCHE, BAIX VINALOPÓ).

## Campañas 2017-2021

### PROYECTO ASTERO-PATRIMONIO VIRTUAL

#### Dirección arqueológica

- **IP: Jaime Molina Vidal**
- **Francisco Javier Muñoz Ojeda**
- **Juan Francisco Álvarez Tortosa**

Permisos DIRECCIÓ GENERAL DE CULTURA I PATRIMONI DE LA GENERALITAT VALENCIANA:

- S. ref. expte. 2016/0790-A (SSTT: A-2004-055)
- S. ref. expte. 2017/1066-A (SSTT: A-2004-055)
- S. ref. expte. 2018/1277-A (SSTT: A-2004-055)
- S. ref. expte. A-2020-0166 (SSTT: A-2004-055)



## ÍNDICE

1. Introducción	4
2. Objetivos, hipótesis y metodología	14
3. Sector oriental de las termas: circuito caliente en época altoimperial	27
4. Ambiente 25	42
5. Sobre Ambientes 28 y 29	64
6. Ambiente 28	69
7. Sobre Ambientes 29 y 31	95
8. Ambiente 29	102
9. Ambiente 31	166
10. Ambiente 37	182
11. Niveles superficiales zona norte: Ambiente 36, 30 y 38	187
12. Ambiente 36	193
13. Ambiente 30	199
14. Ambiente 38	227
15. Sector occidental: entrada, letrinas y segundo conjunto termal	235
16. Ambiente 27W	237
17. Ambiente 11 y 11 W	246
18. Sector norte	286
19. Sobre Ambientes 18, 19, 41, 42 y 43	290
20. Ambiente 18	294
21. Ambiente 41	334
22. Ambiente 43	342
23. Ambiente 19	350
24. Ambiente 24	364
25. Ambientes 4 y 5 ( <i>apodyterium</i> )	389
26. Consolidación de estructuras	461
27. Socialización en el Proyecto ASTRO-Patrimonio Virtual	511
28. Las Termas Orientales de Ilici: interpretación general	526
Anexo 1. Ambientes	564

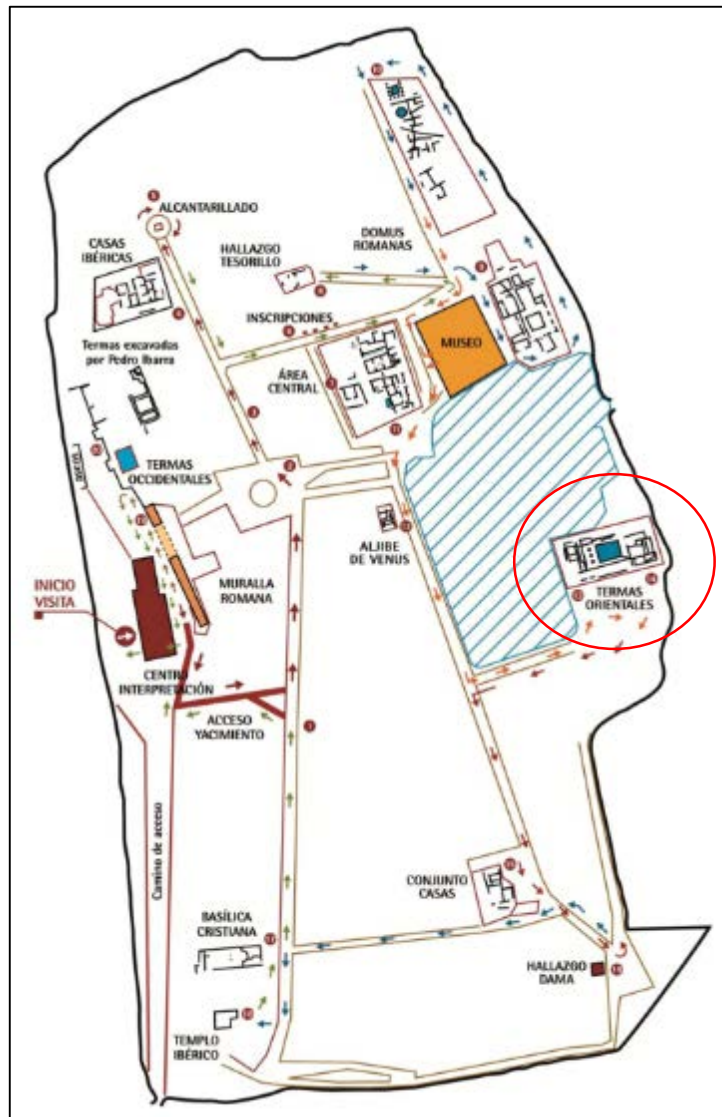
---

Anexo 2. Listado de Unidades Estratigráficas	566
Anexo 3. Cajas depositadas	605
Anexo 4. Inventario general	610

## 1. Introducción

Las estructuras que dan forma al conjunto denominado como Termas Orientales de La Alcudia se encuentran ubicadas en el Sector 7-F del yacimiento arqueológico de La Alcudia, tradicionalmente denominado como “Sector del Alcantarillado”:

- Coordenadas ETRS89 - UTM Huso 30 (25830), X: 701823.28541525, Y: 4234872.0594627
- Referencia catastral de la parcela: 03065A09900078).



*Fig. 1. Plano de situación y ubicación de las termas orientales de L'Alcudia*

Su descubrimiento casual, fruto de unas obras de mantenimiento, provocó que las campañas 63, 64 y 65 en La Alcudia se centrasen en su excavación y estudio, dejando a la vista durante esas excavaciones gran parte de las estructuras que hoy día pueden visitarse. Producto de estas intervenciones son las dos únicas **publicaciones** que de manera concreta describen y analizan este conjunto termal: por un lado, la publicación en el marco del Coloquio Internacional de Gijón del año 2000 Termas romanas en el Occidente del Imperio (Ramos Molina- Tendero Porras, 2000) y la publicación de R. Ramos Fernández y A. Ramos Molina (2007).

En ambas publicaciones se realiza una descripción estructural del conjunto termal, además de algunas indicaciones sobre materiales aparecidos y su adscripción cronológica, aunque dejando en todo momento claro que es una zona en estudio. Del mismo se realiza una primera aproximación cronológica ajustando sus fases constructivas a las que tradicionalmente se han documentado en el yacimiento arqueológico de La Alcudia (Ramos Folqués, 1966).

Durante las dos primeras campañas (1998 y 1999) la excavación se centró en descubrir gran parte de la planta que en la actualidad puede visitarse en el yacimiento. La estructura general descrita en las publicaciones se compone de un denominado vestíbulo o estancia D, en la parte oriental, cuyo pavimento se encuentra decorado con un mosaico polícromo que ocupa todo el espacio, desde el cual se abren dos vanos al norte y un acceso mediante escaleras al oeste.

En todo momento llama la atención a los excavadores la presencia de un sistema complejo de alcantarillado, algo por otro lado lógico teniendo en cuenta la naturaleza del edificio. En cuanto a las cronologías que se barajan para la construcción de las termas, en un primer momento éstas podrían arrancar en la primera mitad del s. I d. C. con una amortización aún por definir (Ramos Molina-Tendero Porras, 2000). Mientras que la excavación de un perfil conservado en la conocida como dependencia C durante la campaña del 2000 (Ramos Fernández- Ramos Molina, 2007) reveló una cronología de abandono visigoda, mientras que su fundación no parecía moverse del s. I d.C. Además, durante la excavación del perfil comentado se documentaron varios niveles de pavimentación que ilustran, al menos dos fases intermedias entre la visigoda comentada y la de fundación. Estas dos nuevas fases parecen asimilarse, según sus excavadores, en los siglos II y III d.C., respectivamente.

De forma adicional en las publicaciones se señala a existencia de, al menos, dos fases constructivas en función de la presencia de varios modos constructivos y la propia relación estratigráfica entre estructuras, aunque en ningún momento se aclara una asignación cronológica para estas fases estructurales. En ambos artículos se realiza una descripción detallada de la articulación de espacios, apuntando en algunos casos la aparición de materiales que, por su particularidad, llama la atención de los excavadores. En el caso de la estancia conocida como Vestíbulo se apunta la aparición de un conjunto de agujas de hueso (Tendero- Lara, 2003), plaquetas de mármol, un *urceus* tardorromano, ánforas y lo que podría ser un posible *labrum*, sin especificar en ningún momento asignación estratigráfica o fase constructiva con la que se asocia. Cabe destacar la presencia de tres monedas, identificada como ases altoimperiales, en el relleno de la canalización presente bajo el umbral del A. Por otro lado, a la hora de describir el espacio que ocupa la *gran natatio* (estancia F) se indica que se encontraba amortizada y rellena por gran cantidad de material constructivo, llamando la atención sobre el conjunto de enlucidos pintados que imitaban tipos marmóreos, algo que por otro lado es típico de los primeros estilos pictóricos que se desarrollan durante época altoimperial. Finalmente apuntan la presencia de dos monedas fechadas en el s. III d.C. y s. II d.C. respectivamente.

Tal y como ya hemos comentado, la campaña del 2000 se centró en finalizar la excavación de la conocida como estancia C, donde se había dejado, a modo de testigo, un gran perfil en la parte norte del A. A partir de esta excavación se propusieron hasta **cuatro fases** vinculadas a los cuatro niveles de pavimentación detectados:

- Fase 1: cuya cota coincide con el nivel de paso documentado en la estancia F de la *natatio*, se vincula a la denominada fase visigoda
- Fase 2: el segundo nivel se vincula al s. III d.C.
- Fase 3: el tercer nivel se relaciona con la construcción de la estancia C y por tanto con el funcionamiento del conjunto termal en el s. II d.C.
- Fase 4: finalmente, bajo el último pavimento se documentaron una serie de estructuras que los excavadores relacionan con una primera distribución del espacio termal en la primera mitad del s. I d.C.

Al margen de las publicaciones comentadas no tenemos constancia de más estudios en profundidad sobre este espacio termal, a pesar haberse excavado en posteriores

campañas algunas zonas realmente amplias relacionadas con el edificio en cuestión y de haberse realizado sucesivas intervenciones de consolidación y restauración.

Tal y como podemos ver en la **planimetría** adjunta en el artículo de R. Ramos Fernández y A. Ramos Molina (2007) hasta la campaña de 2000 el vestíbulo, en su extremo oeste, conducía a unas escaleras que ascendían hasta un pequeño espacio que daba paso a la gran estancia F de la *natatio*. En posteriores campañas se procedió a la excavación del espacio existente al oeste, tras las escaleras, dejándose a la vista un A que discurre de forma paralela a la estancia F, separada de esta por un muro al norte. En alguna fase, que desconocemos, este gran pasillo se encontraba compartimentado por tabiques con orientación norte-sur, que durante la consolidación y puesta en valor fueron eliminados.

También se amplió el sector excavado en su extremo oeste y norte, entorno a la estancia F de la *natatio*, dejando al descubierto una serie de As de pequeño tamaño que presentaban pilas de ladrillos besales, lo cual apunta a la presencia de varios hipocaustos. La articulación de estos ambientes en torno a la estancia F nos hace pensar en la presencia de un gran *caldarium* o zona caliente aún por definir y comprender. Esta zona, al menos en su parte occidental también se encuentra recorrida por el sistema de alcantarillado que viene desde el extremo oriental del conjunto termal.

De este modo, y a falta de una revisión en profundidad de la documentación producida durante las distintas campañas llevadas a cabo en el conjunto termal, quedaría por definir lo que ahora mismo es la parte perimetral del sector. Los perfiles perimetrales en estos momentos no coinciden con muros limítrofes del conjunto.

Finalmente habría que señalar la reciente actuación en este sector del equipo de **Patrimonio Virtual**, dirigido por J. Molina Vidal (IP de esta propuesta de proyecto) que ha dado como resultado un conjunto de actuaciones de carácter básicamente docente y divulgativo:

- Campo de experimentación de diversos workshops sobre patrimonio virtual
- Laboratorio abierto de prácticas de toma de datos con GPS diferencial y captura fotogramétrica con drones
- Contribución en la reciente a la obra de divulgación coordinada por el prof. L. Abad Casal, 2016: *L'Alcúdia d'Elx. Un passeig per la història i l'entorn*, Alicante.

## **BIBLIOGRAFÍA**

- Abad Casal, L.- Sala Sellés, F.- Grau Mira, I., 2002: *La Contestania Ibérica, treinta años después*, Alicante.
- Abad Casal, L.- Moratalla Jávega, J. - Tendero Porras, M., 2000: "Contextos de antigüedad tardía en las termas occidentales de La Alcudia", *Anales de Prehistoria y Arqueología de la Universidad de Murcia* 16, 133-147.
- Abad Casal, L.- Tendero Porras, M., 2008: *Ilici (La Alcudia de Elche, Alicante). Guía del Parque Arqueológico*, Alicante.
- Abad, L.- Abascal, J. M., 1991: *Textos para la historia de Alicante. Historia Antigua*, Alicante.
- Abad, L., 2003: Vivir en Ilici, Canelobre: Revista del Instituto Alicantino de Cultura "Juan Gil-Albert" 48, 59-81.
- Abad, L., 2016: *L'Alcúdia d'Elx. Un passeig per la història i l'entorn*, Alicante.
- Abad, L.- Tendero, M., 2008: *Ilici (La Alcudia de Elche, Alicante). Guía del Parque Arqueológico*, Alicante.
- Alföldy, G., 2003: "Administración, urbanización, instituciones, vida pública y orden social", *Canelobre (Las ciudades y los campos de Alicante en época romana)*, 48, Inst. Cult. Juan Gil-Albert, Alicante, 35-57.
- Almagro Gorbea, M. 1999: *El Rey Lobo de La Alcudia de Elche*, Alicante.
- Álvarez, J. F.- Bujalance, R.- Mateo, D. (en prensa): "Aproximación a la historia de un enclave portuario. El caso de Santa Pola (Alicante) desde la Antigüedad a la Alta Edad Media", AA.VV., *III Congreso de Patrimonio Histórico-Cultural del Vinalopó: Comercio y comunicaciones en el corredor del Vinalopó (Elda, Alicante, 15-17 de noviembre de 2019)*.
- Badie, A.- Gailledrat, E.- Moret, P.- Rouillard, P.- Sánchez, M. J.- Sillières, P., 2000: *Le site antique de La Picola à Santa Pola (Alicante, Espagne)*, París-Madrid.
- Castellano Hernández, Á.1996: "Joyas de La Alcudia de Elche en la colección de orfebrería romana del Museo Arqueológico Nacional", *Boletín del Museo Arq. Nacional*, T. XIV, Madrid, 55-62.

- 
- Chao Fernández, J. J.- Mesa Sanz, J. F. - Serrano Espinosa, M., 1999: “Un nuevo bronce hallado en la Alcudia”, en J. González (ed.): *Ciudades privilegiadas del Occidente romano*, Sevilla, 417-424.
- Corell, J., 1999: *Inscripcions romanes d'Ilici, Lucentum, Allon, Dianium i els seus respectius territoris*, Valencia.
- Gozálvez Perez, V., 1974: “La Centuriatio de Ilici”, *Estudios sobre Centuriaciones Romanas en España*, Univ. Autónoma Madrid, 101-113.
- Gurt J. M.- de Lanuza, A. - Palet, J. M., 1996: “Revisión del catastro romano de Ilici (Elche)”, *Pyrenae* 27, 215-226.
- Gutiérrez Lloret, S., 1996: *La Cora de Tudmîr: de la antigüedad tardía al mundo islámico. Poblamiento y cultura material*, Madrid.
- Gutiérrez Lloret, S., 1999: “Cuando el Portus dejó de ser puerto: el territorio ilicitano en la Alta Edad Media (ss. VI-X)”, *I Congreso de Historia Local* (Santa Pola, octubre 1997), 79-94.
- Hernández Pérez, M.-Abad Casal, L., 2004: *Iberia, Hispania, Spania. Una mirada desde Ilici*, Alicante.
- Ibarra y Manzoni, A., 1981: *Ilici, su situación y antigüedades*, Instituto de Estudios Alicantinos, Diputación Provincial de Alicante, Serie II, 14, 320 págs. (Reproducción facsímil de la edición de Establecimiento Tipográfico de Antonio Reus, Alicante, 1879).
- Lara Vives, G., 2005: *El culto a Juno en Ilici y sus evidencias*, Villena.
- Llorens, M. M., 1987: *La ceca de Ilici*, Valencia.
- Lorenzo de San Román, R., 2004-2005: “La basilica-sinagoga de l'Alcúdia d'Elx (1905-2005). Problemes i estat de la qüestió 100 anys després”, *Lucentum* 23-24, 127-156.
- Lorenzo de San Román, R., 2006: *L'Alcúdia d'Elx a l'Antiguitat tardana. Anàlisi historiogràfica i arqueològica de l'Ilici dels segles V-VIII*, Alicante.
- Márquez Villora, J. C.- Molina Vidal, J., 2001: *El comercio en el territorio de Ilici. Epigrafía, importación de alimentos y relación con los mercados mediterráneos*, Alicante.
- Márquez Villora, J. C.- Poveda Navarro, A., 2000: “Espacio religioso y cultura material en Ilici (SS. IV-VII d. C.)”, *V Reunió d'Arq. Cristiana Hispànica* (Cartagena, 1998), Barcelona, 185-198.

- 
- Márquez Villora, J. C., 1999: *El comercio romano en el Portus Ilicitanus. El abastecimiento exterior de productos alimentarios (siglos I a. C.- V d. C.)*, Alicante.
- Márquez Villora, J.C.- Molina Vidal, J.- Sánchez Fernández, M. J., 1999: "La factoría de salazones del Portus Ilicitanus (Santa Pola, Alicante). Nuevos descubrimientos y estado de la cuestión", *Actas del XXV Congreso Nacional de Arqueología* (Valencia, febrero de 1999), 360-364.
- Matilla, G.- González, S., 2017: "El balneario romano: concepto, definición y criterios de jerarquización a partir de los ejemplos hispanos", Matilla, G. y González, S. (eds.), *Termalismo antiguo en Hispania. Un análisis del tejido balneario en época romana y tardorromana en la península ibérica* (Anejos de AEspA LXXVIII), Madrid, 17-61.
- Mayer, M. - Olesti, O., 2001: "La sortitio de Ilici. Del documento epigráfico al paisaje histórico", *DHA27*, 109-130.
- Molina Vidal J.- Poveda Navarro, A. M., 1997: "Nivel de abandono de un sector del foro de Ilici", *Actas del XXIII Congreso Nacional de Arqueología*, Vol. 1. 141-154.
- Molina Vidal, J., 2005: "La cetaria de Picola y la evolución del Portus Ilicitanus (Santa Pola, España)", *III Congreso Internacional de Estudios Históricos. El Mediterráneo: la cultura del mar y la sal (Santa Pola, 24 al 27 de octubre de 2004)* (Molina Vidal, J.- Sánchez Fernández, M<sup>a</sup> J. Eds.), Santa Pola, 110-145.
- Molina Vidal, J., 2012: "La Cetaria bajo imperial de Picola (Santa Pola, Alicante)", *Santa Pola, arqueología y museo: Museos municipales en el MARQ*, 138-141
- Molina Vidal, J., 2015: "Poblamiento rural en el territorium de Ilici: la granja romana del Cabezo-Clot de Galvany (Elx,Alacant)". *Saguntum* 47, 105 - 120.
- Molina Vidal, J. 2021: "El Portus Ilicitanus (Santa Pola, Alicante): evolución y tráfico comercial en la época imperial", Azuar, R.- Inglese, O. (eds.), *Carta arqueológica subacuática de Alicante. II. El sinus ilicitanus (Santa Pola / Pilar de la Horadada, Alicante)*, Alicante.
- Moratalla Jávega, J., 1996: "Explotación agropecuaria en época ibérica en torno a La Alcudia (Elche): el instrumental", *XXIII CNA* (Elche, 1995), vol. I, Elche, 369-376.
- Moratalla Jávega, J., 2001: "Restos de catastros romanos en el Medio Vinalopó y unos apuntes sobre Aspis", *Alquibla, Revista de Investigación del Bajo Segura* 7,

- 
- Escuela Politécnica Superior de Orihuela-Instituto Universitario de Geografía, Orihuela, 551-579.
- Olmos, R. - Tortosa, T., 1997: *La Dama de Elche. Lecturas desde la diversidad*, col. Lynx 2, Madrid.
- Poveda, A., 2000: "El obispado de Ilici, Los orígenes del Cristianismo en Valencia y su entorno". *Grandes Temas Arqueológicos* 2, 85-92.
- Ramallo, S. - Vizcaíno, J., 2002: "Bizantinos en Hispania. Un problema en la arqueología española", *Archivo Español de Arqueología* 75, 313-332.
- Ramos Fernández, R - Ramos Molina, A., 2007: "Las termas orientales de Illici", *Caesaraugusta* 78, 545-554.
- Ramos Fernández, R.- Uroz Sáez, J., 1992: "Illici", *Dialoghi di Archeologia* 1-2, 95-104.
- Ramos Fernández, R., 1975: *La ciudad romana de Ilici*, Alicante.
- Ramos Fernández, R., 1983: "Estratigrafía del sector 5-F de La Alcudia de Elche", *Lucentum* 2, 147-172.
- Ramos Fernández, R., 1991: *El yacimiento arqueológico de La Alcudia de Elche, Consell Valencià de Cultura, Serie Minor 1*, Valencia.
- Ramos Fernández, R., 1995: *El templo ibérico de La Alcudia. La Dama de Elche*, Elche.
- Ramos Folqués, A., 1947: "La Dama de Elche. Datos para su cronología. El problema del nivel arqueológico de su hallazgo", *III Congreso Arqueológico del Sudeste Español*, Cartagena, 153-158.
- Ramos Folqués, A., 1966: "Estratigrafía de La Alcudia de Elche", *Saitabi* XVI, 71-76.
- Ramos Folqués, A., 1990: "Cerámica ibérica de la Alcudia (Elche, Alicante)", Alicante.
- Ramos Molina, A.- Tendero Porras, M., 2000: "Dos nuevos conjuntos termales en Ilici (La Alcudia, Elche)", *II Coloquio Internacional de Arqueología de Gijón, Termas Romanas en el occidente del Imperio* (Fernández Ochoa, C. y García Entero, V. eds.), Gijón, 245-250.
- Ramos Molina, A., 2000: *La escultura ibérica en el Bajo Vinalopó y el Bajo Segura*. Institut Municipal de Cultura, Ajuntament d'Elx, Elche.
- Reynolds, P., 1993: *Settlement and Pottery in the Vinalopó Valley (Alicante, Spain) A. D. 400-700*, *BAR, Int. Ser. 588*, Oxford, 9-43.
- Rovira, S., 2007 (coord.): *La Dama de Elche*, Madrid.

- 
- Ruiz Roig, E. 2001: *Los mosaicos de Illici y del Portus Illicitanus*. Consell Valencià de Cultura, València.
- Sala Sellés, F., 1992: *La tienda del alfarero del yacimiento de la Alcudia*, Alicante.
- Tendero, M.- Ronda, A. M<sup>a</sup>, 2014: "I. La ciudad romana de Illici (L'Alcúdia de Elche, Alicante)", Olcina, M. (ed.), *Ciudades romanas valencianas. Actas de las Jornadas sobre Ciudades Romanas Valencianas. Actualidad de la investigación histórico-arqueológica*, Alicante, 226-242.
- Trillmich, W., Zanker, P., 1990: *Stadtbild und ideologie. Die monumentalisierung hispanischer Städte zwischen Republik und Kaiserzeit*, Munich.

#### **Publicaciones derivadas de estas investigaciones:**

- Álvarez Tortosa, J.F.-Molina Vidal, J.- Muñoz Ojeda, F.J., 2020: "Las Termas Orientales de La Alcudia (Elche, Alicante). Nuevos resultados de la campaña de excavación 2018", *Jornades d'arqueologia de la Comunitat Valenciana: 2016-2017-2018 / coord. M. Ponce González, F. E. Tendero Fernández, Y. Alamar Bonet, Ll. Alapont Martín*, 2020, ISBN 978-84-482-6485-7, págs. 189-194
- Molina Vidal, J.- Álvarez Tortosa, J.F.- Muñoz Ojeda, F.J., 2018a: "Arqueología y socialización del conocimiento en La Alcudia de Elche las Termas Orientales", *El mundo del agua, paisaje de vida: Patrimonio histórico-cultural del Vinalopó / coord. por J.C. Márquez Villora, R. Navalón García, J.L. Soler Millá*, ISBN 978-84-87962-28-8, págs. 197-208.
- Molina Vidal, J.- Álvarez Tortosa, J.F.- Muñoz Ojeda, F.J., 2018b: *Memoria interpretativa de las actuaciones arqueológicas en las Termas Orientales de La Alcudia (Elche, Alicante). Campaña 2018 PROYECTO ASTERO-UNIVERSIDAD DE ALICANTE (S. ref. expte. 2017/1066-A (SSTT: A-2004-055), [URI: http://hdl.handle.net/10045/92009](http://hdl.handle.net/10045/92009)*
- Molina Vidal, J.- Muñoz Ojeda, F.J.- Álvarez Tortosa, J.F. 2018c. *Memoria de las actuaciones arqueológicas en las Termas Orientales de La Alcudia (Elche,*

- 
- Alicante*). *Campaña 2017. Proyecto Arqueología y socialización del conocimiento en La Alcudia de Elche. Las Termas Orientales y áreas circundantes (ASTERO)*, Universidad de Alicante, Alicante, <http://hdl.handle.net/10045/76167>
- Molina Vidal, J.- Álvarez Tortosa, J.F.- Muñoz Ojeda, F.J., 2019: *Memoria interpretativa Proyecto Arqueología y socialización del conocimiento en La Alcudia de Elche. Las Termas Orientales y áreas circundantes. Campaña 2019. PROYECTO ASTERO-UNIVERSIDAD DE ALICANTE. S. ref. expte. 2018/1277-A(SSTT.A-2004-055)* [URI: http://hdl.handle.net/10045/108089](http://hdl.handle.net/10045/108089)
- Molina Vidal, J.- Muñoz Ojeda, F.J.- Álvarez Tortosa, J.F., 2020a: “Las Termas Orientales de La Alcudia (Elche, Alicante): nuevas perspectivas de la investigación reciente (Proyecto Astero-UAPatrimonio Virtual)”, *Termas públicas de Hispania*, Noguera Celdrán, J.M.- García-Entero, V.- Pavía Page, M., (Coor.), SPAL Monografías Arqueología XXXIII, Sevilla: Editorial Universidad de Sevilla, 471-480.
- Molina Vidal, J.- Álvarez Tortosa, J.F.- Muñoz Ojeda, F.J., 2020b: *Memoria interpretativa: Proyecto ASTERO 2020. Arqueología y socialización del conocimiento en La Alcudia de Elche. Las Termas Orientales y áreas circundantes. UNIVERSIDAD DE ALICANTE. S. ref. expte. A-2020-0166*, URI: <http://hdl.handle.net/10045/113361>
- Molina, J., Muñoz, F. J., Álvarez, J. F., 2020c: “Las Termas Orientales de La Alcudia (Elche, España): nuevas perspectivas de la investigación reciente (Proyecto ASTERO, UA-Patrimonio Virtual)”, Noguera, J. M., García, V., Pavía, M. (eds.), *Termas Públicas de Hispania (Congreso Termas públicas de Hispania, Murcia, abril de 2018)* (Anejos de SPAL), Sevilla, 471-480.
- Molina Vidal, J. – Álvarez Tortosa, J.F., Muñoz Ojeda, F. J., 2022: “Las termas orientales de Ilici (Proyecto ASTERO – Patrimonio Virtual)”, *La Fundación La Alcudia, 25 años creando patrimonio*, Jover Maestre, F. J., Ramos Molina, A. (Coor.), Servicio de publicaciones de la Universidad de Alicante, 166-177

## 2. Objetivos, hipótesis y metodología

A partir de los antecedentes y el estado de la investigación que hemos descrito se puede observar que nos hallamos en un sector (F7) en el que el estado de conocimiento de los restos es, según indican los directores de las intervenciones y personal que ha publicado los resultados, parcial, inconcluso y en proceso de estudio. De hecho, la información publicada ofrece una serie de puntos oscuros que han servido de base para orientar nuestro programa de excavaciones con el fin de concluir el análisis y estudio del conjunto. Por otra parte, en La Alcudia de Elche se han ido arrastrando una serie de tesis básicas fruto de la estratigrafía construida por A. Ramos Folqués que ofrece muchas dudas y que debe ser revisada, o sustituida por un nuevo panel de hipótesis y de parámetros de referencia contruidos a partir de las nuevas técnicas y perspectivas de la investigación.

En función de ese estado inacabado de las investigaciones planteamos algunos de nuestros objetivos:

- Objetivos concretos relacionado con el conjunto de las Termas Orientales:

Determinar la planta completa del conjunto termal en función de su secuencia evolutiva	Se ha completado en sus lados noroeste
Datar de forma precisa los niveles constructivos y las fases de ocupación	Se ha fijado la etapa principal constructiva a finales del siglo I d.C.
Consolidar todas las estructuras exhumadas en estas intervenciones permitiendo su presentación a los visitantes de forma comprensible	Se han protegido y consolidado totalmente para su puesta en valor el Apodyterium

- Objetivos relacionados con el análisis arqueológico del yacimiento arqueológico de La Alcudia de Elche:

Documentar la secuencia estratigráfica completa del conjunto para proporcionar	La actuación en el extremo occidental, con niveles de calle, y en la cimentación de las
--	---

nuevas hipótesis y parámetros interpretativos.	termas han precisado los límites cronológicos del conjunto
Establecer las principales fases constructivas del conjunto y de La Alcudia, revisando el análisis e interpretación de la evolución histórica del conjunto.	Se han determinado, al menos, cuatro grandes fases constructivas y de ocupación.
Iniciar la comprensión del conjunto en la trama urbanística general: viales y áreas aledañas del conjunto termal, con el fin de planificar futuras intervenciones	Se ha determinado la existencia de un eje viario principal que conecta con las excavaciones del sector 5F.

- Proyección social del yacimiento de La Alcudia:

Difundir los nuevos descubrimientos entre la sociedad ofreciendo nuevas perspectivas	Continuamos la dinámica iniciada en campañas anteriores, con la elaboración de videos explicativos de los avances y su difusión en redes sociales. Del mismo modo se mantuvo un contacto directo con los medios de comunicación para comunicar los avances realizados
Relativizar la obsesiva dependencia social, que no científica, del “mito de la Dama de Elche”, como único hito irreplicable de referencia de la arqueología ilicitana	En las notas de prensa se hizo especial hincapié en la importancia de La Alcudia como centro urbano romano y su vertebración del territorio durante siglos desde su construcción.
Construir un programa de concienciación y sensibilización social del patrimonio histórico de La Alcudia de Elche sobre nuevos parámetros y bases interpretativos	En las acciones de divulgación y difusión se hizo hincapié en la importancia del yacimiento como centro de atracción de la población para entender La Alcudia como parte fundamental del desarrollo del municipio.

### **Interés del proyecto:**

- **Interés científico.** ¿Cómo se puede comprender la arqueología de Hispania suroriental sin información fiable y actualizada de la colonia de referencia de la región, sin Ilici? Más allá del interés local, desde el punto de vista científico, la paralización de las excavaciones en La Alcudia bloquea el progreso de las investigaciones sobre la Historia romana en este ámbito. Por ello ha sido fundamental reemprender un programa de excavaciones apoyándose, de forma adicional, en el conjunto de nuevas técnicas y metodologías que permitirán avanzar en el conocimiento científico.
- **Interés patrimonial.** La Alcudia de Elche constituye el principal conjunto arqueológico y patrimonial de carácter público de la Comunidad Valenciana sin excavar. Contrariamente a lo que se pueda pensar el yacimiento se encuentra en buena parte por descubrir. No son muchas las colonias romanas de las que aún se desconoce la ubicación del foro, o de la que se tenga una secuencia estratigráfica fiable, o lo que es más curioso en la que no se hubieran proyectado intervenciones arqueológicas sistemáticas en los últimos veinte años.
- **Interés pedagógico y formativo.** La Universidad de Alicante, como propietaria del yacimiento, tiene como función preferente la utilización de este recinto arqueológico como laboratorio de prácticas, ámbito docente o espacio de experimentación. Por ello desde la campaña 2017 hemos incorporado cinco alumnas/os de máster y más de treinta estudiantes de grado. Además, se ha constituido un equipo de excavación principalmente constituido por alumnado universitario y egresadas/os con el fin de crear un vínculo científico, pero también social con la comunidad científica y profesional.
- **Interés social.** El fin último de toda actuación científica es la sociedad. En el caso de la arqueología esto no es solo una frase pues, a parte de los resultados de la investigación básica en ocasiones de consumo interno, las excavaciones generan restos patrimoniales, interpretaciones de carácter histórico, elementos de carácter identitario y, en general, resultados tangibles para la sociedad. Por ello creemos que una dimensión fundamental de este proyecto es la socialización del conocimiento, la divulgación de sus resultados.

- **Interés estratégico.** Uno de los elementos básicos de la investigación actual es la financiación de la ciencia. En el caso de las actuaciones arqueológicas regulares la financiación proviene preferentemente de los sectores públicos, pero se deben promocionar los canales de financiación privados vía mecenazgo. Pero si no se ofrecen resultados previos y se impacta en la opinión pública es difícil conseguir generar una dinámica favorable a la financiación externa. Por ello consideramos necesario desarrollar proyectos arqueológicos que abran nuevas perspectivas arqueológicas y patrimoniales.

En resumen, son muchas las razones para impulsar este proyecto, pero si hubiéramos de sintetizar las líneas básicas de este programa de actuaciones podríamos señalar cuatro ejes fundamentales:

- **Austeridad.** Al amparo de las múltiples burbujas que han afectado a la sociedad española en las últimas décadas se ha desarrollado un modelo de intervención arqueológica y de gestión del patrimonio acorde con esa embriaguez de recursos. Pero ese tiempo ha acabado y es necesario recuperar un **modelo de gestión del patrimonio mucho más austero**, sobre todo por responsabilidad social. Por ello planteamos tipos de actuación que reduzcan los presupuestos, que eviten las cadenas de subcontratas, que prioricen la **gestión directa**, que huyan del empleo de materiales costosos, poniendo en primer plano la necesidad de socializar el conocimiento y de sensibilizar a la sociedad frente a los proyectos faraónicos. Este planteamiento de gestión del patrimonio lo hemos aplicados en la Villa Romana de l'Albir, primer museo al aire libre de la Comunidad Valenciana desarrollado con fondos públicos, pero con presupuestos muy ajustados, reduciendo los márgenes y la participación de las empresas externas y, por tanto, haciendo viable un proyecto a partir de la gestión directa de los recursos.
- **Socialización del conocimiento.** Todas las actuaciones científicas, y en el caso de un yacimiento arqueológico de propiedad y gestión pública como el de La Alcudia mucho más, deben estar orientadas a hacer que la parte fundamental de las **actuaciones reviertan en la sociedad** (acciones en RRSS, exposiciones, jornadas de puertas abiertas, publicaciones científicas y divulgativas, sesiones de virtualización,

etc.). Por ello, el objetivo fundamental de este proyecto se centra en último término en la necesidad de socializar el conocimiento a través de las TIC.

- Incorporación de la **Arqueología Virtual** al ámbito de la excavación, la consolidación y la divulgación del patrimonio. La arqueología está disfrutando de un cambio técnico y metodológico que ha de ser incorporado en las actuaciones arqueológicas, especialmente las de carácter estrictamente científico y universitario. En la Universidad de Alicante hemos constituido el grupo **Patrimonio Virtual** referente internacional en proyectos y docencia universitaria de Arqueología y Restauración Virtual. Por ello es necesario incorporar todo este nuevo universo técnico para impulsar el rigor del registro, la fiabilidad de las actuaciones y el impacto social de los resultados.
- **Desarrollo del conocimiento abierto.** La razón fundamental de una actuación arqueológica siempre es profundizar el conocimiento histórico. Por ello nuestro objetivo fundamental siempre será generar un registro **fiable, riguroso y contrastable**. Por esta razón desarrollaremos un plan de publicaciones que incluya el acceso libre a los **metadatos y los parámetros** en el RUA, con el fin de hacer más transparente la actuación científica que llevamos a cabo.

### **Hipótesis Generales**

Nuestra dilatada trayectoria científica respecto a la **arqueología romana** en concreto, y antigua en general, contiene múltiples referencias a los problemas e incertidumbres básicas de la investigación al respecto. De todas formas, apuntamos algunas líneas generales:

- La estratigrafía tradicional de La Alcudia de Elche debe ser revisada y muy probablemente corregida
- A la luz de la bibliografía científica general, habría que cuestionar o al menos revisar la propuesta tradicional de invasiones en la ciudad romana de *Ilici*
- Solo una excavación sistemática y estratigráfica de determinados contextos podría darnos información sobre los inicios de las fases de abandono o declive de las funciones administrativas tradicionales.

### **Hipótesis concretas**

Del cotejo inicial y previo de la documentación existente y de la lectura precisa de los dos artículos publicados por el equipo arqueológico que excavo parte de este conjunto termal se extraen una serie de conclusiones que pueden sustentar hipótesis complementarias:

- Existen fases constructivas y de ocupación que no han podido ser determinadas en investigaciones anteriores. A modo de hipótesis se detectan dos fases principales constructivas con sus consiguientes fases refacción y amortización cuya cronología podría estar marcada por las épocas alto y bajoimperial.
- Parecería que el uso termal del conjunto se circunscribiría a la época altoimperial
- En las fases en las que el conjunto termal está en uso se observan al menos tres fases de reformas
- Los mosaicos hallados en la entrada del conjunto termal no parecen ser de la fase fundacional

### **Metodología y plan de trabajo**

Más allá de las particularidades propias de cada equipo creemos que sería necesario coordinar una serie de elementos básicos en la metodología arqueológica con el fin de hacer compatibles y contrastables los resultados de las investigaciones: registro de unidades, sistema informático de inventario y bases de datos, formas de acometer la consolidación de estructuras y taludes o la trazabilidad del registro y transparencia. Por nuestra parte la metodología arqueológica que proponemos seguiría las siguientes líneas básicas:

1. **Estudio previo** y planificación de las actuaciones del conjunto arqueológico denominado Termas Orientales: fases de intervención a medio y largo plazo
2. Intervención arqueológica en área abierta siguiendo el sistema de excavación **Harris-Carandini**
3. Utilización del **GPS diferencial** y posicionamiento satelital para ubicación de estructuras con georreferenciación
4. Utilización de **estación total** y niveles para el detalle de las estructuras
5. Registro gráfico combinado de **georreferenciación y fotogrametría digital** avanzada

6. **Levantamiento planimétrico 2D** a partir de la documentación métrica de cartografía CAD 2D: plantas, secciones y alzados
7. Registro de **unidades**
8. **Escaneado** de detalles constructivos
9. **Documentación fotográfica** del proceso de excavación
  - Estado de conservación previo a la intervención
  - Documentación del proceso de intervención
  - Documentación final
10. **Documentación fotográfica específica** para la obtención de:
  - Modelo 3D del conjunto arqueológico.
  - Documentación y productos derivados: ortoimágenes (plantas y alzados) y secciones.
11. Realización de **informes** previos y finales
12. Publicación y difusión

### **Plan de trabajo**

Las actuaciones de todos los equipos de investigación han quedado enmarcadas por unas **líneas generales** consensuadas, únicas y de obligado cumplimiento para poder homogenizar los resultados de las excavaciones en La Alcudia de Elche. Se han acordado unos parámetros mínimos de registro: fichas UE, denominaciones, soporte informático, técnicas homogéneas de consolidación y protección, imagen corporativa, etc.

### **A. Trabajos desarrollados**

Los trabajos arqueológicos desarrollados durante las cinco campañas de excavación se han centrado en tres ejes principales:

- el estudio y conocimiento de las estructuras presentes en el Sector 7F previo a nuestra intervención
- intervenciones arqueológicas en extensión y profundidad que nos permitiese conocer las distintas fases constructivas del Sector 7F, así como su relación con los restos del yacimiento arqueológico

- la consolidación de las estructuras expuestas en campañas anteriores y que se encontraban en serio peligro de pérdida o deterioro

Durante la **campaña 2017** se propusieron los siguientes objetivos:

- documentación y estudio en profundidad de la documentación derivada de campañas previas, aplicando nuevas técnicas de registro a las estructuras exhumadas con anterioridad
- los sondeos arqueológicos se centraron en el extremo oeste y este del sector 7F para verificar los límites del edificio en estas zonas; por otro lado, con el objetivo de obtener una estratigrafía completa del sector se practicó un sondeo en el A24
- se realizó un análisis de las distintas patologías presentes en los paramentos y revestimientos expuestos para proceder en campañas posteriores a su consolidación y protección

Durante la **campaña 2018** se propusieron los siguientes objetivos:

- durante la campaña 2018 las intervenciones arqueológicas se centraron en tres frentes distintos en los que se han planteado objetivos diversos para conocer el complejo termal en profundidad
- se continuaron los trabajos de excavación en los extremos oriental y occidental del Sector 7F partiendo de la base y resultados obtenidos en campañas anteriores: por un lado, la excavación en extensión y profundidad de los ambientes descubiertos en la nueva ala termal oriental; y por otro lado la extensión de la excavación en el extremo oeste, que verificó la existencia de una calle, delimitando así el complejo termal en esta zona
- el tercero de los frentes de excavación se centró en el A4 y 5, tanto para la documentación exhaustiva de sus paramentos, así como la excavación en profundidad de sus niveles constructivos

Durante la **campaña de 2019** se propusieron los siguientes objetivos:

- los trabajos arqueológicos desarrollados durante la campaña 2019 en la zona oriental del Sector 7F (Fig. 1) han tenido un doble objetivo, siguiendo la planificación que iniciamos en la campaña 2017. Por un lado, tratar de comprender y obtener un registro estratigráfico del complejo termal desde los niveles previos de su fundación hasta el abandono definitivo del sector. Para esto se ha planteado una doble intervención en la zona este que ha comprendido la excavación de los ambientes colindantes en este extremo con los límites del yacimiento y el desmonte del vallado perimetral
- Los trabajos planteados durante esta campaña 2019 exigieron, por tanto, una intervención post arqueológica que ha consistido, por un lado, en la reposición del vallado y por otro lado la consolidación de los espacios correspondientes a las termas que presentaban algún tipo de problema en cuanto a su preservación y conservación. Así, conforme avanzaba la excavación encontramos diversas situaciones que fueron abordadas según la necesidad inmediata de preservación:
  - Espacios o estructuras cuya profundidad una vez excavados presentaban paramentos de una altura considerable, y por tanto se hacía inminente el apuntalado y cubrición, evitando que la acción del agua o del viento perjudicase la estabilidad de los muros exhumados.
  - Deterioro de los enlucidos o revestimientos exhumados en campañas previas a nuestra intervención.
  - Restablecimiento del vallado que separaba el yacimiento de la propiedad colindante, devolviendo así la infraestructura desmontada para facilitar la excavación a su estado inicial tras finalizar los trabajos.
  - Resultaba especialmente importante la protección de los A28 y 29 puesto que, al poseer un hipocausto, la cota respecto al nivel de paso descendía considerablemente, dando lugar a un espacio sin evacuación de aguas con alto riesgo de estancamiento, y por tanto afección a los paramentos. Puesto que en la campaña 2018 se dotó al A28 de una estructura preventiva que ha funcionado correctamente, tras la excavación del A29 se aplicó la misma

solución. Dicha solución ha protegido correctamente las estructuras durante los distintos episodios de gota fría que hemos sufrido en 2019 y 2020 en la zona.

- Además, era también crucial la preservación de los enlucidos presentes tanto en el A5 como en el A30. En relación a los del A5, hay que recordar que aparecieron durante las campañas de 2000 y 2001, quedando así a la intemperie, acusando un gran deterioro en los últimos años. Para evitar su desprendimiento, puesto que su presencia *in situ* es de crucial importancia para comprender las distintas fases constructivas del recinto, se decidió una intervención de consolidación.
- Los ambientes cuya excavación se ha podido finalizar gracias a la retirada de la valla son los situados en el extremo oriental del sector: A36, 30 y 38, aunque tal como describiremos más adelante, en ninguno de los tres casos hemos podido determinar las dimensiones de estas estancias, puesto que los paramentos que cerrarían al este no se han localizado. Precisamente con objeto de poder corroborar la presencia de estructuras arqueológicas al este del vallado nos vimos obligados a la retirada del mismo, procediendo a su reposición tras la finalización de la excavación.

Además, durante la campaña 2019 se prosiguió la excavación de los ambientes 29 y 31, en relación con los anteriormente comentados, a lo que hemos de añadir la ampliación hacia el norte del A29, que nos ha permitido confirmar la presencia de estructuras que con toda probabilidad pertenezcan al complejo termal.

Recapitulando, las distintas áreas en las que concentramos nuestra intervención arqueológica en esta parte del Sector oriental de las termas son:

- **Sobre Ambientes 29 y 31.** Se trata del conjunto de estructuras y de paquetes estratigráficos documentados en los niveles superiores del Sector, previamente a la identificación de As en su interior. El desmonte y posterior reubicación de la valla perimetral del yacimiento hizo posible excavar una nueva franja de este conjunto de niveles, los cuales fueron parcialmente exhumados y registrados en 2018.

- **Ambiente 29.** Estancia cuadrangular situada inmediatamente al N del vano de **UUEE 163 y 164**, a través del cual se comunica con el A28.
- **Sobre Ambientes 31 y 37.** Sucesión de capas estratigráficas y de estructuras que hallamos en los niveles superficiales del Sector, sobre las estructuras que permiten individualizar y separar entre sí a los ambientes 31 y 37.
- **Ambiente 31.** Habitación cuadrangular al N del muro **UE 343/479**, que lo separa del A29 con el que estaba comunicado mediante un acceso o vano.
- **Ambiente 37.** Espacio situado al N del muro **UE 618**, que lo separa del A31.
- **Ambiente 36.** Excavación de la zona inmediatamente al este del A25, y que hasta ahora estaba ocupada por la zona de paso entre el extremo oriental del yacimiento y la valla del recinto.
- **Ambiente 30.** Se prosiguió la excavación iniciada en la campaña 2018, que dejó a la vista una nueva estancia comunicada al sur con el A25 mediante un umbral, y que presentaba un pavimento de *opus signinum* roto en su zona central.
- **Ambiente 38.** Como consecuencia de la retirada del vallado del yacimiento en esta zona y la excavación del A30 se pudo verificar la presencia de un nuevo espacio, esta vez inmediatamente al este del A29 y al norte del A30.
- **Ambiente 5.** Con motivo de la consolidación de los revestimientos en los muros **GU 3087, 3091, 3090 y 3089** proseguimos con la excavación de la franja existente entre el muro **UE 3081-3085** y el muro **GU3090**, parcialmente excavada en campañas previas.

Durante la **campaña de 2020** se propusieron los siguientes objetivos:

- Durante la campaña 2020 en la zona occidental y oriental del Sector 7F han tenido un doble objetivo, siguiendo la planificación que iniciamos en la campaña 2017. Por un lado, tratar de comprender y obtener un registro estratigráfico del complejo termal desde los niveles previos de su fundación hasta el abandono definitivo del sector. Para esto se ha planteado una doble intervención en la zona este que ha comprendido la excavación de los ambientes existentes en la zona noroeste, excavados parcialmente en las campañas previas a nuestra incorporación al yacimiento, así como la limpieza de la zona noreste para la

obtención de una planimetría más completa de la zona. Además, se llevó a cabo una excavación en profundidad del A 4, cuyos niveles previos se encontraban sellados por el pavimento existente en dicha estancia.

Así, conforme avanzaba la excavación encontramos diversas situaciones que fueron abordadas según la necesidad inmediata de preservación:

- Deterioro de los enlucidos o revestimientos exhumados en campañas previas a nuestra intervención.
- En el caso de la excavación del A 4, una vez finalizada su excavación se procedió de nuevo a rellenar la zona exhumada con los áridos extraídos, creando así una superficie horizontal a la misma cota en la que se encontraba el nivel de partida.

Era crucial la preservación de los enlucidos presentes tanto en el A 4, hay que recordar que aparecieron durante las campañas de 2000 y 2001, quedando así a la intemperie, acusando un gran deterioro en los últimos años. Para evitar su desprendimiento, puesto que su presencia *in situ* es de crucial importancia para comprender las distintas fases constructivas del recinto, se decidió una intervención de consolidación. Dicha intervención se hizo en consonancia con la realizada en la campaña anterior en el A 4, quedando así el espacio creado por ambos As preservado. Hay que señalar también la intervención puntual que se llevó a cabo en uno de los paramentos del A 4 para preservar la integridad del mampuesto, algo que explicamos en detalles a continuación. En el caso de los restos de As excavados en la zona noroccidental, A18, 19, 33, 42 y 43, tras su excavación se procedió a una protección preventiva con lona anti raíces y lona asfáltica.

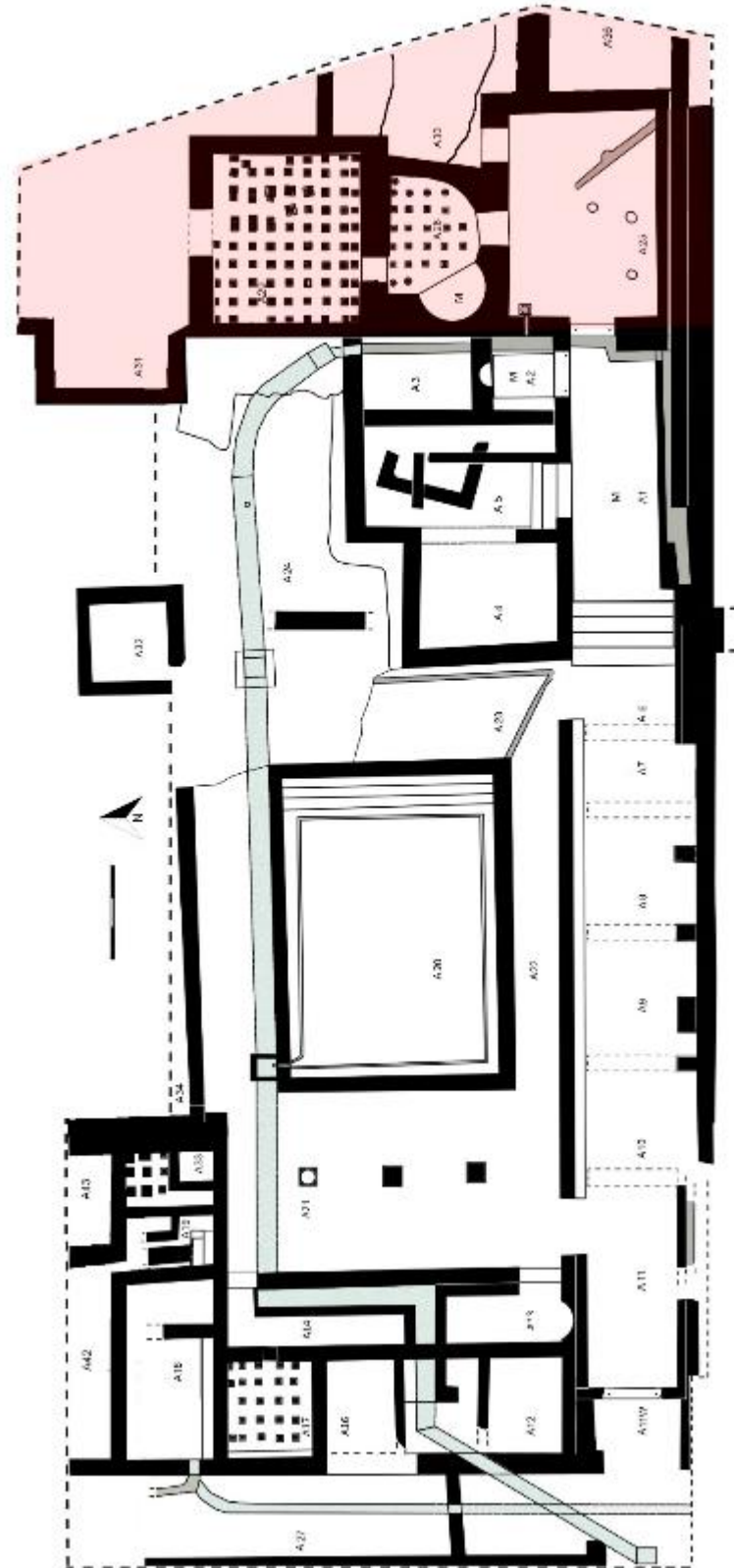
Recapitulando, las distintas áreas en las que concentramos nuestra intervención arqueológica de las termas son:

- **As 18, 19, 33, 42 y 43.** Se trata de un conjunto de espacios ubicados en la zona noroeste del yacimiento, excavados parcialmente durante las campañas del 2000 y 2001. El objetivo era doble, por un lado, conocer las distintas fases constructivas en este extremo del conjunto termal, y por otro lado tratar de confirmar la zona perimetral del conjunto termal.

- **A 4.** Es el A situado inmediatamente al oeste del A 5, excavado en campañas anteriores, y que resultaba enormemente interesante por un doble motivo: verificar la existencia de fases inalteradas por ocupaciones posteriores a la realización del pavimento existente y por otro lado constatar la existencia de distintas fases constructivas que pasaban por la unión de los ambientes 4 y 5 en los momentos finales de uso del complejo termal.
- **Consolidación de los paramentos del A 4.** Tal como se realizó en la campaña 2019 con el A 5, en la presente campaña se abordó la consolidación de los enlucidos del A 4, quedando así ambos espacios estabilizados.
- **A37.** Se realizó una limpieza superficial de los paramentos aparecidos en la campaña 2019 que han ayudado a delimitar este A y así incluirlo en la planimetría del conjunto.

Durante la **campaña de 2021** los trabajos se limitaron a la consolidación de estructuras iniciada en anteriores intervenciones en el A5 y en el A28. Por otro lado, se desarrolló la limpieza y desescombro de los niveles identificados en campañas previas como parte de un basurero moderno en la esquina noreste del sector.

### 3. Sector oriental de las termas: circuito caliente en época altoimperial



En las campañas arqueológicas precedentes, desarrolladas entre los años 1998 y 2001, los límites de las áreas exhumadas no alcanzaron el perímetro del complejo termal. En el caso del extremo E el límite quedó fijado en un conjunto de estructuras de orientación N-S: los muros de **UUEE 3304** y **3214** y el umbral de **UE 3215**.



*Fig. 2. Vista final del extremo E de las Termas Orientales tras las campañas 1998-2002*

Tras la campaña de 2001 se llevó a cabo una restauración parcial de los restos arqueológicos con el fin de incorporar este edificio a las áreas visitables del yacimiento. Rebasada la línea de estructuras que marcaban el extremo E, el perfil de la excavación quedó preservado bajo una malla metálica dispuesta en talud y cubierta con piedra y mortero.



*Fig. 3. Extremo E de las Termas Orientales tras su integración en las áreas visitables del yacimiento*

La apertura de un nuevo corte en este extremo del yacimiento precisó la remoción del encapsulamiento del antiguo perfil para poder acceder a la franja de tendencia trapezoidal (14 x 8 m aproximadamente) situada al E de las estructuras de **UUEE 3304, 3214 y 3215**. La excavación de esta superficie permitió documentar:

- **Sobre Ambientes 25, 28, 29 y 30.** Se trata del conjunto de estructuras y de paquetes estratigráficos documentados en los niveles superiores del Corte E, previamente a la identificación de As en su interior.
- **Ambiente 25.** Estancia cuadrangular situada inmediatamente al E del umbral de **UE 3215**.
- **Sobre Ambientes 28 y 29.** Niveles posteriores a la identificación del A25 y previos a la separación de los A28 y 29, a los que cubren.
- **Ambiente 28.** Estancia al N del A25.
- **Ambiente 29.** Estancia al N del A28. Solo pudo ser parcialmente excavada.
- **Ambiente 30.** Posible estancia o corredor localizada en el extremo E del corte, al E del A29.

La capa más superficial que detectamos **-UE 1-** se extiende por toda la superficie del corte. Está compuesta principalmente por tierra, piedras y grava, con una escasa

presencia de materiales arqueológicos. Su cota superior oscila entre los 53'65 y los 53'58 m (s. n. m.), generando un nivel de tendencia horizontal.



*Fig. 4. Vista inicial de la explanada Sobre A25, 28, 29 y 30, previa a la retirada de la grava del circuito visitable*



*Fig. 5. Vista en planta de UE 1 en el extremo SW del área situada sobre los A25, 28, 29 y 30*

Tras su excavación identificamos varios conjuntos estratigráficos con entidad propia. Debido a ello -y en aras de facilitar su exposición- hemos optado por presentarlos de manera individualizada.

### La fosa de UUEE 6 y 35

En el extremo SW de la explanada generada tras retirar la capa superficial -**UE 1**- hallamos una extensa mancha de tendencia semicircular, cuyo diámetro coincidía con el perfil de las campañas precedentes. De hecho, la sección de este paquete estratigráfico -al que asignamos la **UE 35**- era perfectamente visible en dicho perfil.

Con la remoción de este nuevo estrato -**UE 35**- fue caracterizado como una acumulación de tierra de tonalidad grisácea muy suelta y disgregada. Contenía una densidad media de piedras de tamaño variado y una escasa presencia de materiales arqueológicos. Según fuimos extrayéndolo observamos que adoptaba la forma de una sección de cono invertido, aunque seccionado en el perfil.

Este estrato -**UE 35**- estaba rellenando una gran fosa -registrada como **UE 6**- que recortaba a un amplio número de estructuras y estratos: **UUEE 3304, 53, 47, 46, 24 y 94**. Este conjunto de UUEE pertenecen a los A1, 25 y a Sobre los A25, 28, 29 y 30, por lo que serán descritas adecuadamente en el apartado correspondiente.

El análisis en conjunto de la fosa **UE 6**, de su relleno **UE 35** y de los distintos estratos afectados por ella nos llevó a deducir que tiene su origen en un sondeo mecánico realizado en la parcela en algún momento anterior al hallazgo de las Termas Orientales.



*Fig. 6. Alzado del perfil E en el que se aprecian la UE 53, el recorte de UE 6 y su relleno UE 35*

El tramo de red hidráulica de GU 23 y las UUEE próximas



*Fig. 7. Planta estratigráfica donde vemos la ubicación de la acequia GU 23 y de las UUEE más cercanas*

La retirada de la **UE 1** también nos llevó a registrar un conjunto de estructuras que englobamos en el Grupo de Unidades (**GU**) **23**. Forman parte de un tramo de red hidráulica. La parte mejor conservada presenta un trazado ligeramente curvo, con una orientación NE-SW. Está integrada por las siguientes UUEE:

- **UE 42.** Muro de mortero de cal que constituye el extremo W del canal. Su anchura, de 0'12 m, se mantiene constante a lo largo de los 6 m de recorrido que conserva. Tampoco mantendría su alzado original, ya que alcanza únicamente los 0'44 m.

- **UE 43.** En paralelo al muro de **UE 42**, a 0'4 m de distancia al E del mismo, encontramos otro muro de idéntica composición, anchura y orientación. Se trata del extremo opuesto del canal que, en este caso, conserva 5'7 m de longitud y 0'29 m de altura.
- **UE 40.** Bloque de piedra de base cuadrada (0'13 m de lado), donde 0'13 m de su alzado están enterrados y los 0'28 restantes en superficie. El muro de **UE 42** se apoya en su cara N. Su cara E tiene una hendidura longitudinal que permitiría deslizar una compuerta. Se trata de una de las piezas de un partidor de agua.
- **UE 47.** Tramo de muro de cal que continúa el trazado de **UE 42** a partir de la cara S de **UE 47**. Únicamente conserva 0'84 m de longitud.
- **UE 46.** Tramo de muro de cal paralelo a **UE 47**. Continúa el trazado del muro de **UE 43** en dirección SE.
- **UE 41.** Laja de piedra de 0'15 x 0'33 m que se adosa a la cara E del bloque de **UE 40**. Se trata del fondo del partidor de agua de este canal.



*Fig. 8. Vista de la acequia de GU 23 con la ubicación de las principales UUEE que la componen*

En el extremo SE de esta canalización encontramos parte de otro brazal, compuesto por:

- **UE 38.** Bloque de piedra cuadrangular cuya base mide 0'08 x 0'14 m. De sus 0'33 m de alzado solo 0'19 rebasan la línea del suelo. Su cara S está surcada por una muesca longitudinal que permita deslizar una compuerta. Estamos por tanto ante una de las piezas de un partidor de agua.

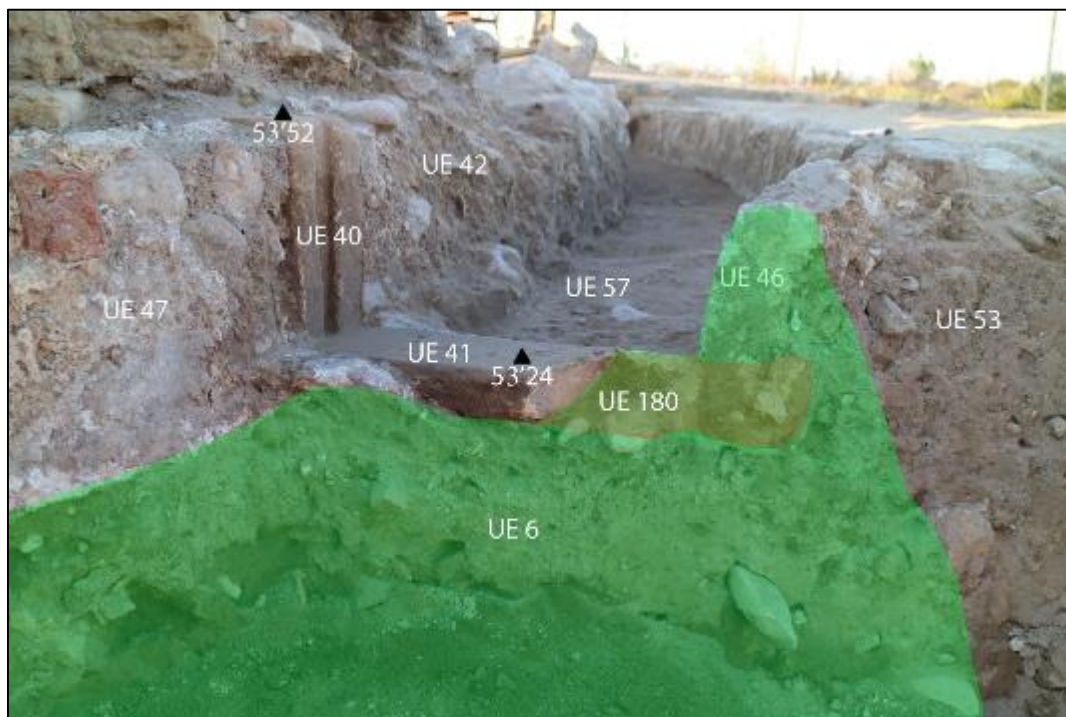
- **UE 37.** Bloque de piedra enfrentado a UE 38 y de características similares. Sus dimensiones varían ligeramente, con una base de 0'14 x 0'12 m y con 0'22 m de su alzado sobre el nivel del suelo. En este caso, es su cara N la que cuenta con una muesca para alojar la compuerta.
- **UE 39.** Laja de piedra de 0'23 x 0'45 m que se apoya en las caras internas de los bloques de piedra **UUEE 38 y 37**, dando lugar al fondo del partidor de agua.
- **UE 45.** Muro de mortero de cal que se adosa a la cara E de la UE 38. Únicamente conserva 0'17 m de su trazado, orientado en sentido W-E.
- **UE 44.** Muro de mortero de cal paralelo a UE 45, con el que comparte orientación. Se adosa a la cara E de **UE 37**, a partir de la cual mantiene 0'16 m de su trazado.

Los dos brazos de la canalización de agua están excavados en **UE 53**, un estrato de tierra de tonalidad castaño-anaranjada y de tendencia horizontal situado bajo **UE 1** que abarca toda la superficie del corte. Fue interpretada como el suelo agrícola asociado al canal de riego de **UE 23**.



*Fig. 9. Vista en detalle de algunas de las principales UUEE que forman parte de la acequia*

Hemos asignado la **UE 57** a la interfaz del fondo del canal. Del mismo modo, hemos individualizado los tres orificios practicados para fijar los partidores: las fosas de **UUEE 61, 62 y 63** corresponden respectivamente a las piezas de partidor de **UUEE 37, 38 y 40**. Tanto el canal como sus muros se asientan en otro recorte, **UE 180**. La parte construida de esta conducción de agua se limita únicamente a sus muros y partidores, de tal modo que su fondo es el propio terreno recortado.



*Fig. 10. Vista de la acequia de GU 23 en la que se aprecia el corte que le practica el recorte de UE 6 (en verde). También es visible el recorte UE 180 (en rojo), practicado para asentar las estructuras del canal*

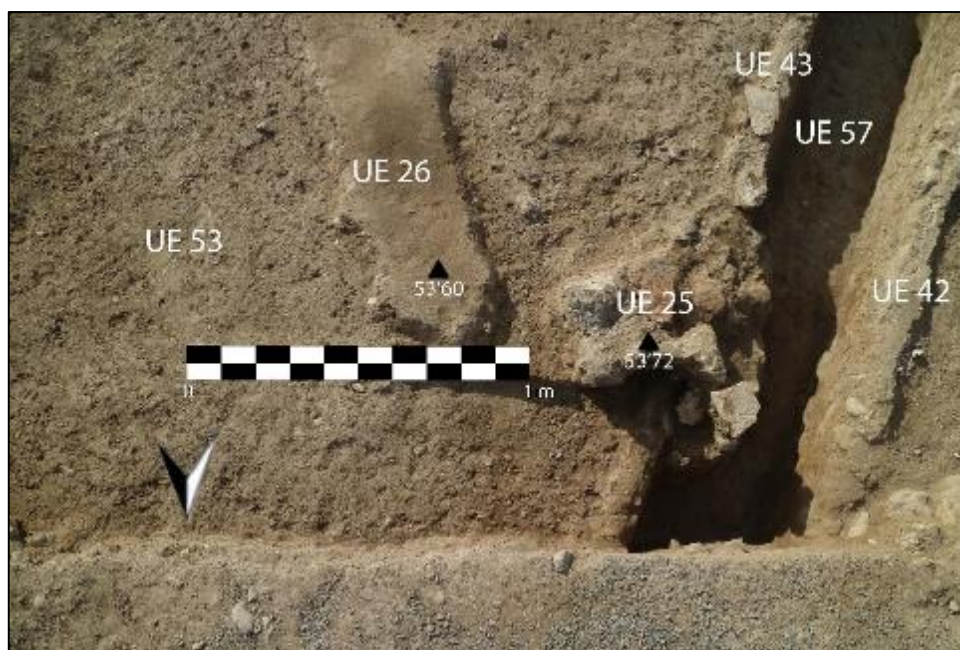
El canal estaba colmatado por un paquete de tierra disgregada de tonalidad grisácea, que corresponde a su abandono y amortización, registrada como **UE 24**.

El primer tramo de este canal fue cortado por la fosa de **UE 6**, que seccionaba claramente a los muros de **UUEE 46 y 47** así como a la colmatación del cauce -**UE 24**- En el perfil S de las Termas Orientales, perfectamente alineado con la **UE 23**, sobresalen unos restos pertenecientes a esta misma acequia. El espacio que dista entre ambos corresponde al trazado de la fosa de **UE 6**.

Han sido documentados otros tramos de canalizaciones morfológicamente idénticas a la que hemos agrupado como **UE 23** -caracterizadas por sus muros de mortero de cal y la ausencia de pavimento- en otros puntos de la parcela de La Alcudia. Gracias a ello y a los materiales presentes en su colmatación (**UE 24**) ha sido identificada como parte de la red de riego instalada en la finca a finales del siglo XIX.

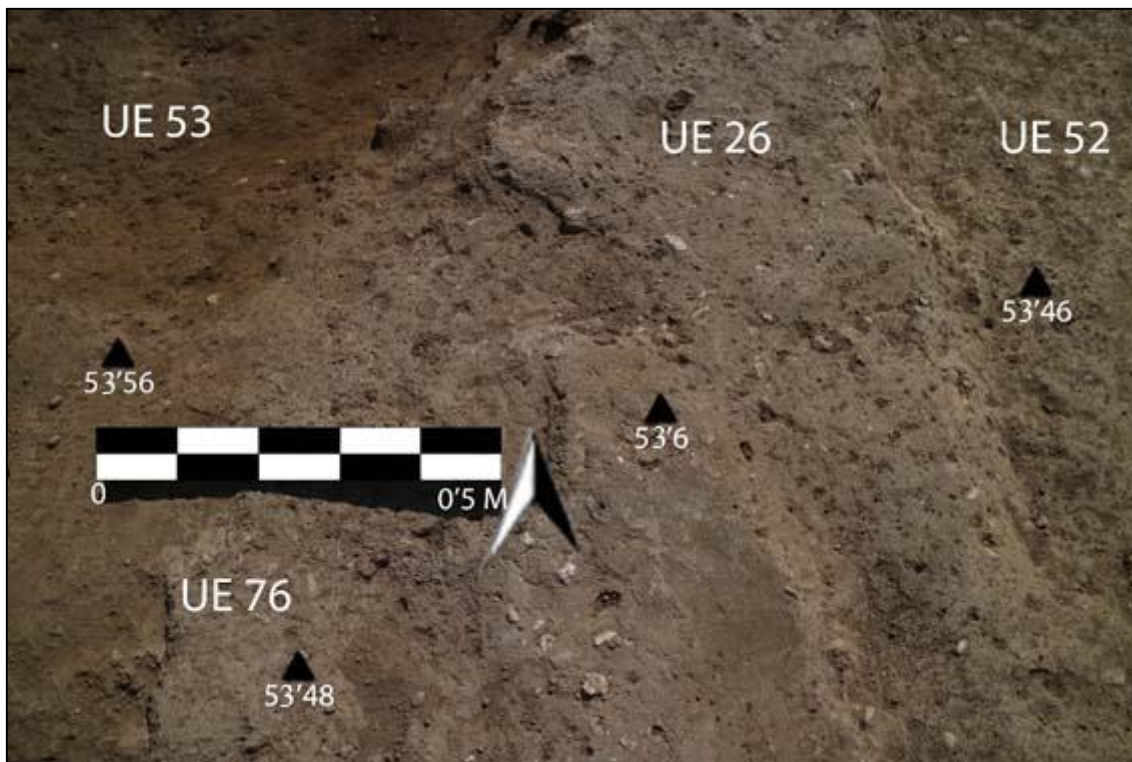
Tras detallar las UUEE que conforman la acequia del siglo XIX proseguimos describiendo el resto de hallazgos realizados en esta zona bajo el nivel superficial. Detectamos los restos de una estructura de piedras, a la que identificamos como **UE 25**. Estaba construida parcialmente sobre el extremo N del muro de **UE 43** de la acequia, mientras que el resto de la misma se asienta directamente sobre el firme -**UE 53**-. Consta de tres piedras colocadas en sentido E-W y de una cuarta que cierra ligeramente su trazado en dirección S, por lo que dibuja una tendencia semicircular.

Tan solo a 0'50 m al E de la estructura indeterminada de **UE 25**, directamente sobre el firme -**UE 53**-, encontramos un nivel muy compacto de mortero de cal, de tendencia horizontal -**UE 26**-. Identificado como restos de un posible pavimento, únicamente se conservaba un tramo estrecho y alargado de aproximadamente 2 x 0'5 m cuya longitud máxima se situaba en el eje N-S.



*Fig. 11. Vista en detalle del tramo septentrional de la acequia de GU 23, donde se aprecia la ubicación de las UUEE 25 y 26*

También sobre el firme, junto a los restos del posible pavimento **UE 26**, documentamos unas manchas de tonalidad blanquecina, formada por tierra mezclada con cal disgregada. Son las **UUEE 76** y **52**, situadas respectivamente al S y al SE de **UE 26**. Consideramos que ambos estratos son la impronta del mismo nivel de pavimento de **UE 26**, ya perdido.



*Fig. 12. Vista en detalle de las UUEE 52, 76 y 26*

Una vez delimitados estos estratos procedimos a su excavación. Mientras que bajo **UUEE 26** y **76** hallamos directamente el nivel de suelo de **UE 53**, encontramos una situación diferente bajo **UE 52**. Efectivamente, comprobamos que bajo esta capa todavía no localizamos la **UE 53**, sino que en su lugar había un nivel de cenizas -**UE 50**- que rodeaba a una pequeña estructura cuadrangular de piedra que conservaba una única hilada de alzado -**UE 51**-.

El conjunto de UUEE que acabamos de describir presentaba un nivel de deterioro muy elevado ya en el momento de su descubrimiento, hecho que dificulta su interpretación. Desconocemos por tanto si los restos de pavimento de **UUEE 26**, **52** y **76** pudieron formar parte de algún edificio. La estructura registrada como **UE 51** pudo ser la base de un pilar. Pero el hecho de que fuese hallada bajo **UE 52** -es decir, bajo el posible nivel de

pavimento- implica que es anterior a este nivel de suelo. Lo único cierto es que, independientemente de su naturaleza, estos niveles parecen estar asociados a un momento en el que el firme **-UE 53-** no funciona ya como suelo agrícola.

Ni tan siquiera sabemos si la acequia **-UE 23-** seguía siendo funcional en este momento, pero lo cierto es que la estructura de **UE 25** sugiere, al menos, una amortización parcial de la misma.

### Documentación y excavación de las últimas UUEE

Esta área a la que hemos llamado Sobre los A25, 28, 29 y 30 presenta una amplia diversidad de intervenciones antrópicas que podemos ordenar de más reciente a más antigua, coincidiendo con el orden en el que fueron documentadas y excavadas:

- La fosa de **UUEE 6 y 35**. La acción más reciente entre las registradas no es otra que la realización de la fosa **UE 6** por medios mecánicos, cortando los estratos y estructuras ya enumeradas en el apartado correspondiente. La remoción de su relleno fue, por tanto, la primera tarea que acometimos en esta área.
- Nivel de UUEE posterior a la red hidráulica de **UE 23**. La amortización -al menos parcial- tanto del suelo de cultivo **-UE 53-** como de la acequia **-UE 23-** que detectamos respectivamente en los niveles de pavimento **UUEE 26, 52 y 76** y en la estructura **UE 25** indica que nuestro siguiente paso debía ser la documentación y excavación de estas últimas UUEE.
- El tramo de red hidráulica de **UE 23**. Una vez vaciamos el interior de la acequia y la registramos adecuadamente, procedimos a su desmonte.

De este modo obtuvimos una superficie expedita que estaba ocupada únicamente por la **UE 53**, el nivel agrícola asociado a la acequia de **UE 23**. Este estrato se caracterizaba por una escasa presencia de materiales arqueológicos.

Su exhumación sacó a la luz a un nuevo paquete, la **UE 56**. Se trata de un estrato de tonalidad parda y textura disgregada, con presencia de piedras, gravas y materiales arqueológicos. Adopta una tendencia horizontal salvo en la zona afectada por la fosa de **UE 6**, donde desciende en talud en sentido E-W.



Fig. 13. Planta estratigráfica inicial de la UE 56

Tras documentar el nivel superficial de esta UE 56 se procedió a excavarla, lo que permitió identificar una serie de estratos y estructuras que posibilitaron individualizar al A25.

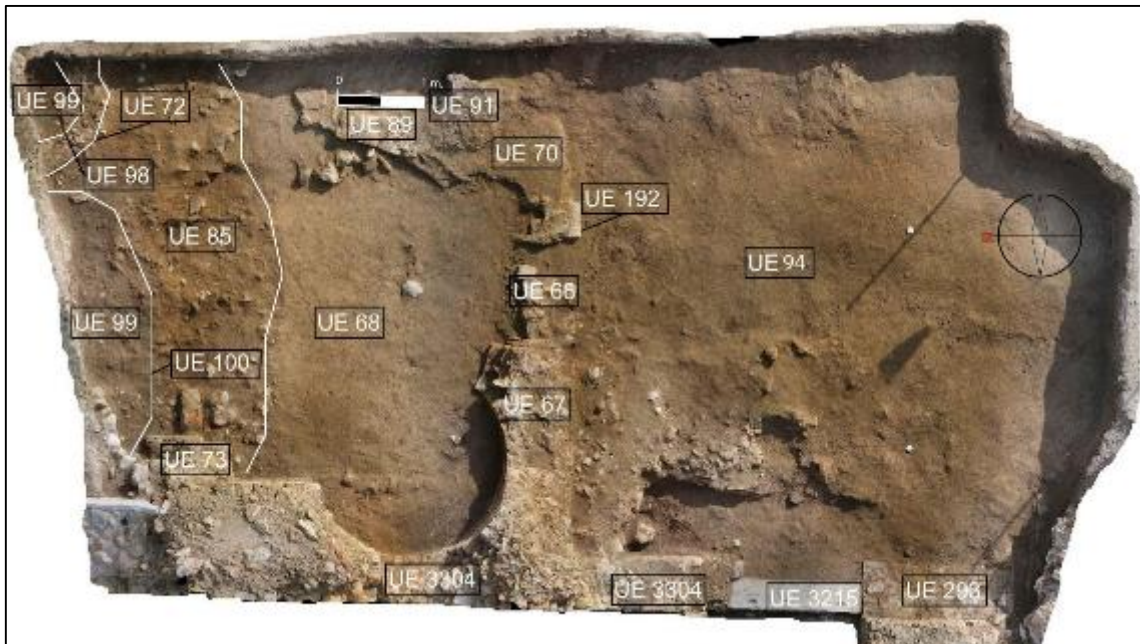


Fig. 14. Ubicación de las distintas UUEE registradas tras la remoción de UE 56

A aproximadamente 1'8 m del extremo S del muro de **UE 3304** descubrimos la cresta de una nueva estructura, que traba con la anterior formando un ángulo recto. Aunque únicamente habíamos iniciado su limpieza superficial y excavación, ya pudimos identificar que se trataba de un nuevo muro -**UE 67**- que medía 2'2 m de longitud. Su anchura iba trazando una "C" en su cara interna, mientras que la externa se mantiene rigurosamente recta. A lo largo de su recorrido, pasando de 0'70 m en su punto intermedio -a la sazón el más estrecho- a 1'1 m en sus dos extremos. Dado que la morfología de este muro guarda relación directa con el A28 postergamos su descripción detallada a este apartado. Del mismo modo, comprobamos que parte de la interfaz -**UE 57**- del fondo de la acequia de **UE 23** se situaba directamente sobre el muro de **UE 67**.

Inmediatamente al E del nuevo muro **UE 67** distinguimos una acumulación de piedras que coincidía en anchura con el tramo final del muro, extendiéndose a lo largo de 0'9 m. Fue denominada **UE 66**. Finalmente, detectamos una franja de textura arenosa, muy disgregada, que continuaba la misma orientación W-E de las **UUEE 66 y 67: UE 70**.

Establecimos que estas **UUEE -66, 67 y 70-** establecían una clara línea que separaba dos espacios: al S de la misma el A25 y al N, el área a la que denominamos Sobre los A28 y 29.

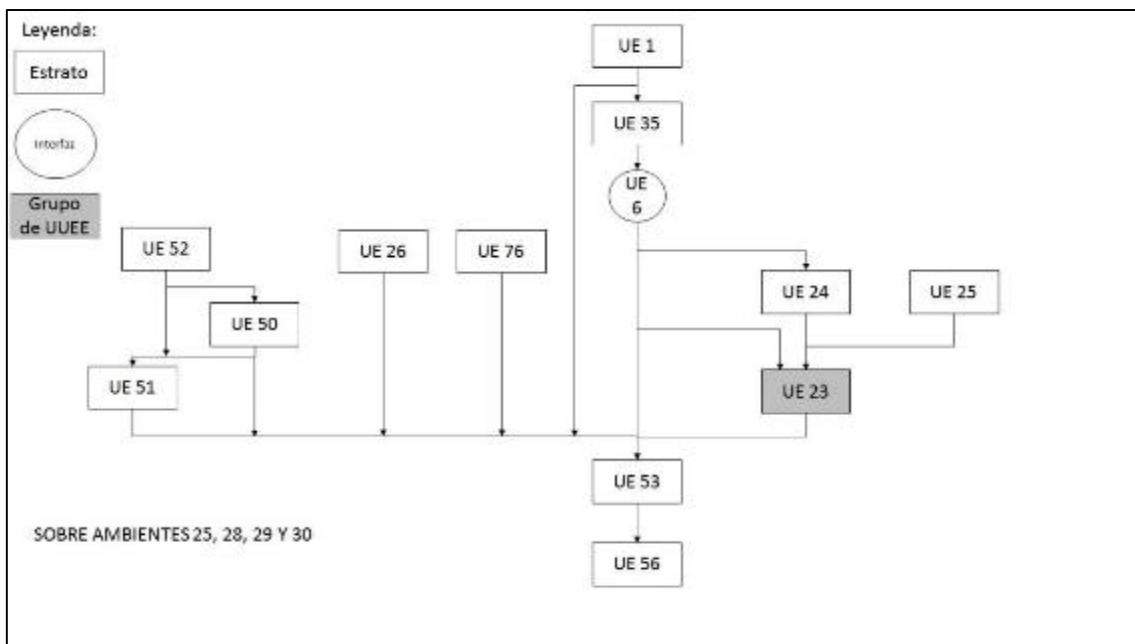


Fig. 15. Diagrama estratigráfico correspondiente a Sobre A25, 28, 29 y 30

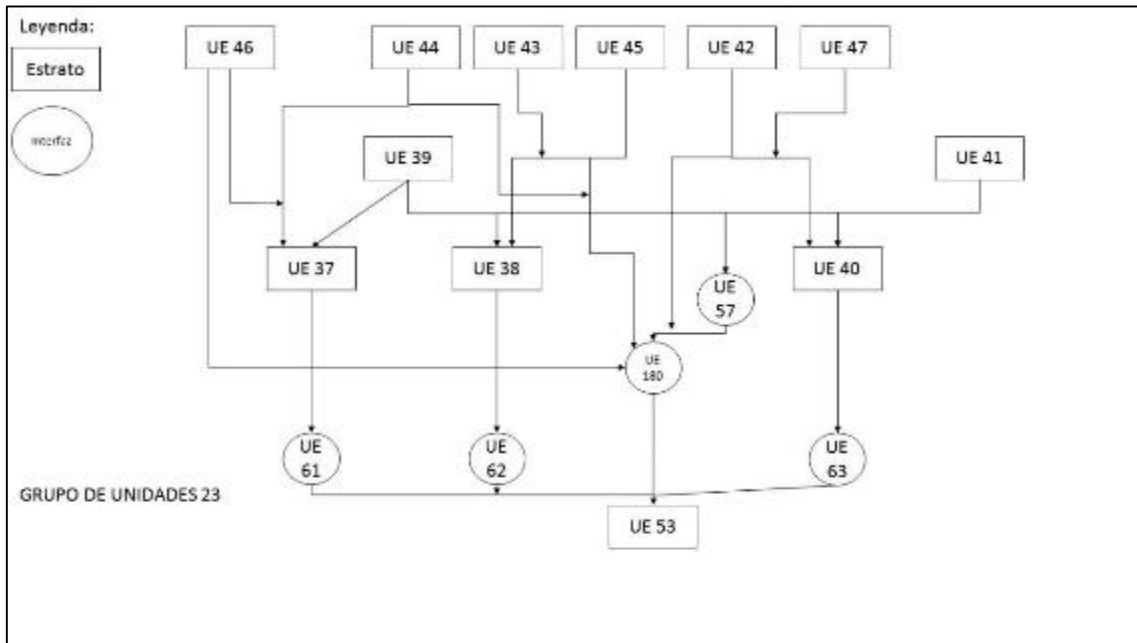
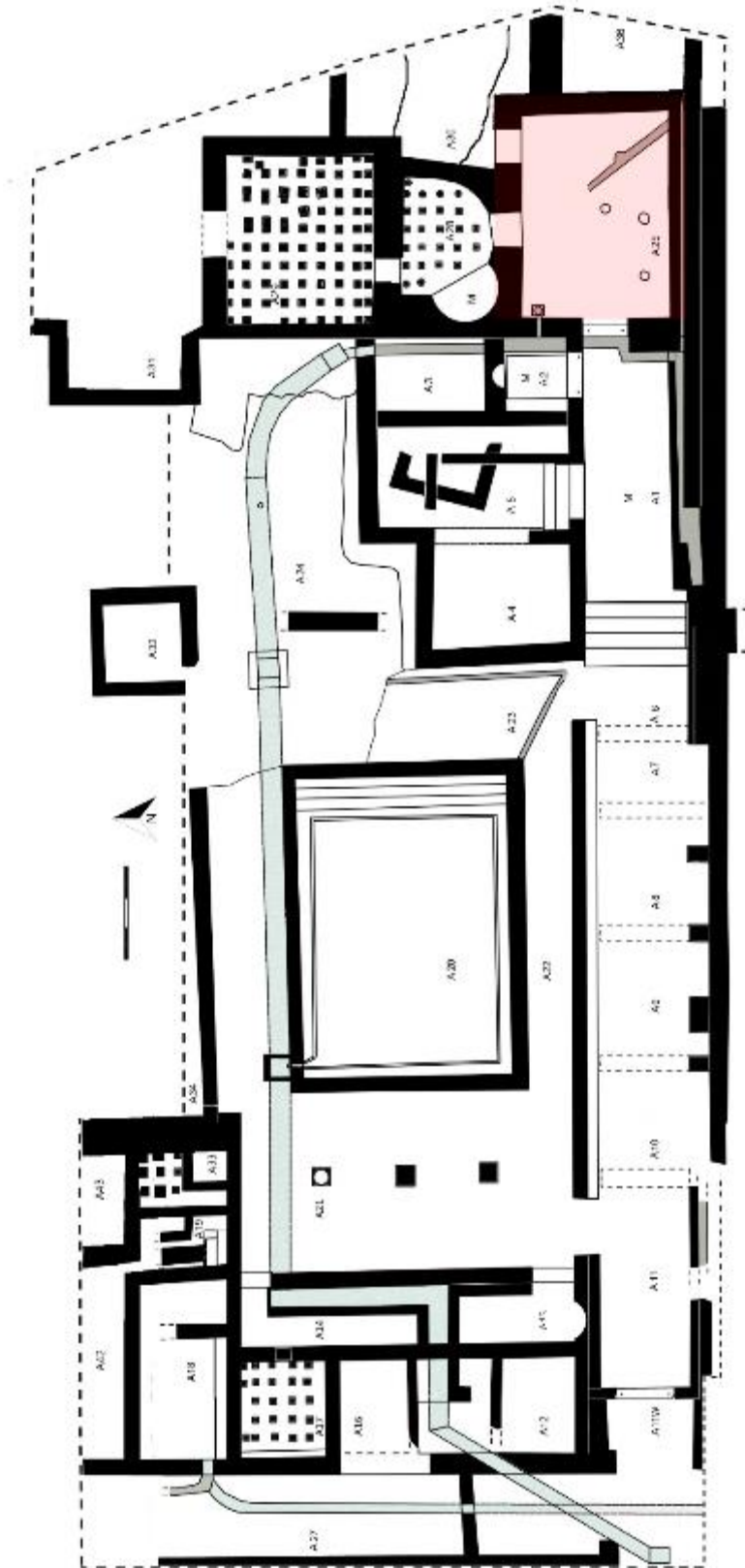
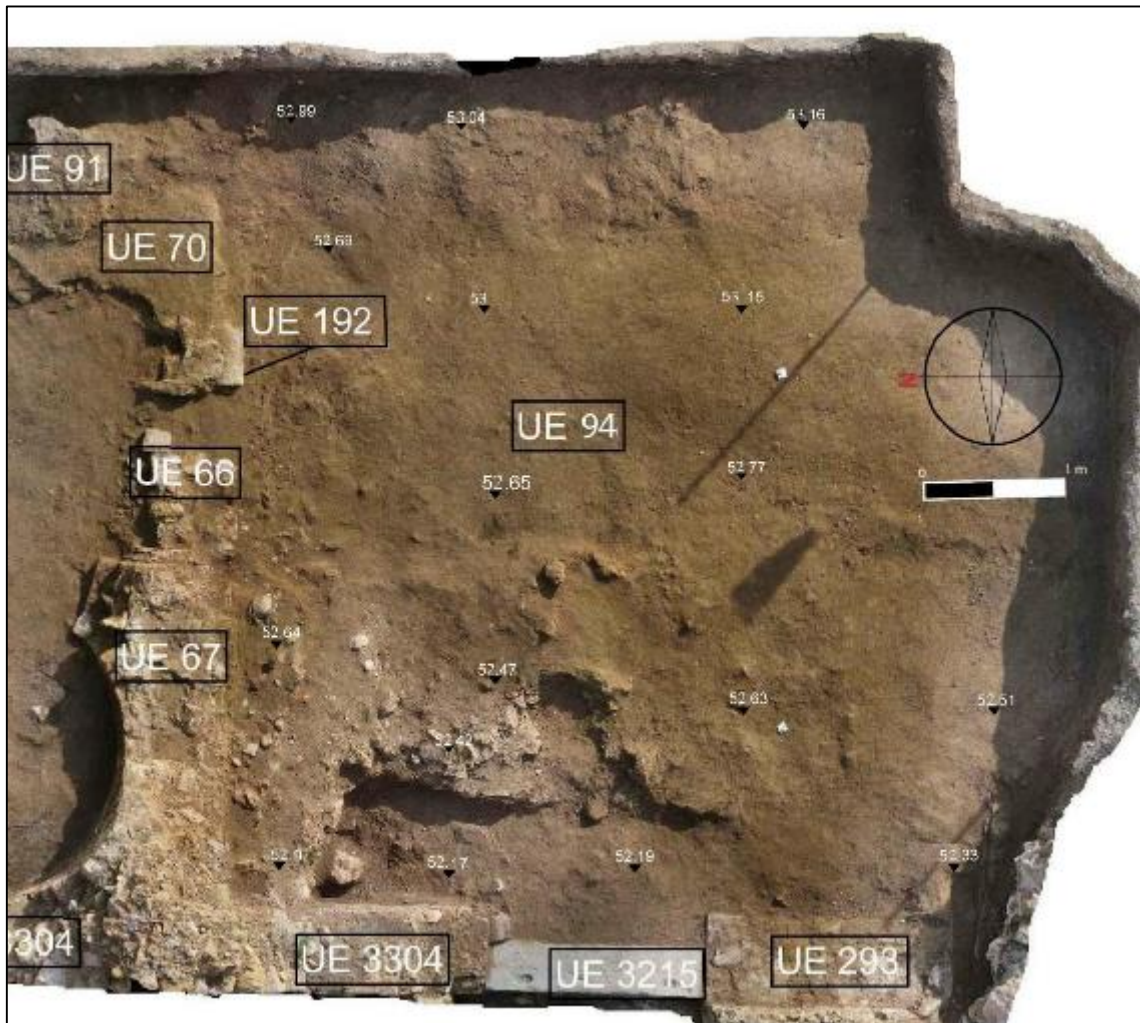


Fig. 16. Diagrama estratigráfico correspondiente al Grupo de Unidades (GU) 23

# 4. AMBIENTE 25

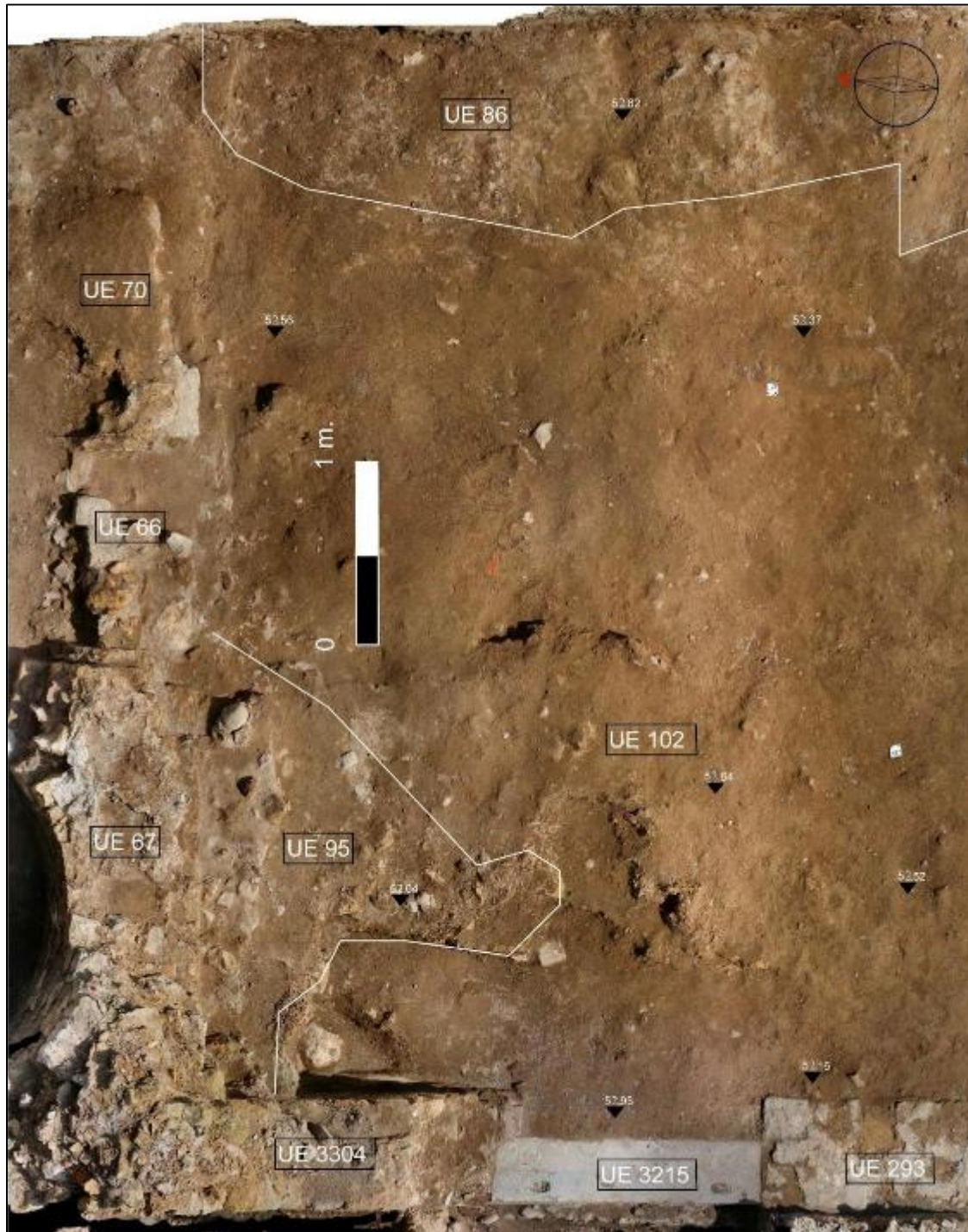


## Niveles de colmatación superficial



*Fig. 17. Planta estratigráfica inicial del A25*

La remoción de la **UE 56**, además de sacar a la luz el límite N del A25 -**UUEE 66, 67 y 70**-, también sirvió para hallar la **UE 94**. Es un estrato de textura arcillosa y compacta, de tonalidad grisácea, que ocupa completamente el interior del A25. En su interior documentamos una importante presencia de restos de materiales constructivos de época romana, tales como *tegulae*, ladrillos o restos de mortero. Mostraba una tendencia horizontal, aunque ligeramente elevada en el extremo N, junto a las estructuras que constituyen el límite del A25. En la zona afectada por la fosa de **UE 6** mantiene una disposición ataludada que sigue el corte, descendiendo en sentido E-W.



*Fig. 18. Planta estratigráfica del interior del A25, donde se distingue la capa superficial de las UUEE 95, 102 y 86*

La retirada de este estrato -UE 94- facilitó la identificación de nuevas UUEE. Encontramos dos de ellas al liberar parte del ángulo de unión entre los muros de UUEE 3304 y 67. Son las UUEE 92 y 93, sendas capas de enlucido de cal que revisten respectivamente al muro de UE 3304 y al muro de UE 67. No se pudo comprobar su

estado de conservación -o incluso su presencia- en la parte inferior de estos muros, ya que la presencia de un tercer paquete estratigráfico -**UE 95**- lo impedía. Se trata de una potente acumulación de piedras que ocupa este mismo ángulo, apoyándose contra las caras internas de ambos muros y, por tanto, también contra sus posibles enlucidos parietales. Este paquete de piedras está dispuesto en talud que desciende en sentido N-S. Podría tratarse del derrumbe interno de los propios muros.



*Fig. 19. Detalle de la ubicación de los enlucidos UUEE 92 y 93, destacados en rojo*

Apoyándose en **UE 95** y ocupando buena parte del espacio interno del A25 encontramos a la **UE 102**. Es un estrato de textura arenosa y suelta, muy disgregada y de tonalidad amarillenta. Presumiblemente, las características de este nivel proceden de la alta presencia de restos de enlucido que fue documentada en su interior.

Observamos que en el extremo W del A25 esta concentración era incluso más elevada, acompañada de mortero disgregado. Debido a ello optamos por individualizar este estrato como **UE 86**.

La excavación de la **UE 94** se realizó de manera simultánea a la limpieza y excavación el límite N del A25. Pudimos comprobar que la **UE 70** cubría parcialmente a una fina capa de tonalidad amarillenta formada por mortero disgregado, que fue registrada como **UE**

90. Ambos estratos -**UUEE 70** y **90**- se encontraban sobre un nuevo muro -**UE 89**- que comparte su orientación W-E con el muro **UE 67** y que mantiene un recorrido de 1'3 m en esta dirección. Dado que -al igual que ocurre con **UE 67**- este muro presenta una serie de características directamente relacionadas con el A28, postergamos su descripción pormenorizada al apartado correspondiente.

La retirada de **UE 70** -que también cubría parcialmente a **UE 66**- facilitó la documentación de **UUEE 87** y **88**. Son dos capas de enlucido parietal que revisten respectivamente la cara E del muro **UE 67** y la cara W del muro **UE 89**. Esta nueva información revelaba que el espacio existente entre ambos muros era un vano y que, por tanto, la acumulación de piedras de **UE 66**, situada entre ambas capas de enlucido, debía ser un derrumbe o, más probablemente, un cegamiento intencionado.



*Fig. 20. Detalle de la ubicación de los enlucidos de UUEE 88 y 89, destacados en rojo*

#### Niveles de relleno

Tras la excavación de los últimos estratos de colmatación detectados en el interior del A25 -**UUEE 102** y **86**- identificamos un nuevo nivel que, debido a su composición, fue interpretado como un volcado intencionado. Nos referimos a **UE 116**, un estrato compuesto principalmente por piedras de tamaño variable y por una elevada densidad

de fragmentos de *opus signinum*. Este estrato se extiende por toda la superficie del A25, apoyándose tanto en las estructuras que lo delimitan como en el derrumbe de UE 95. Deducimos por tanto que en el momento en el que se generó este nivel el A ya había sido abandonado.

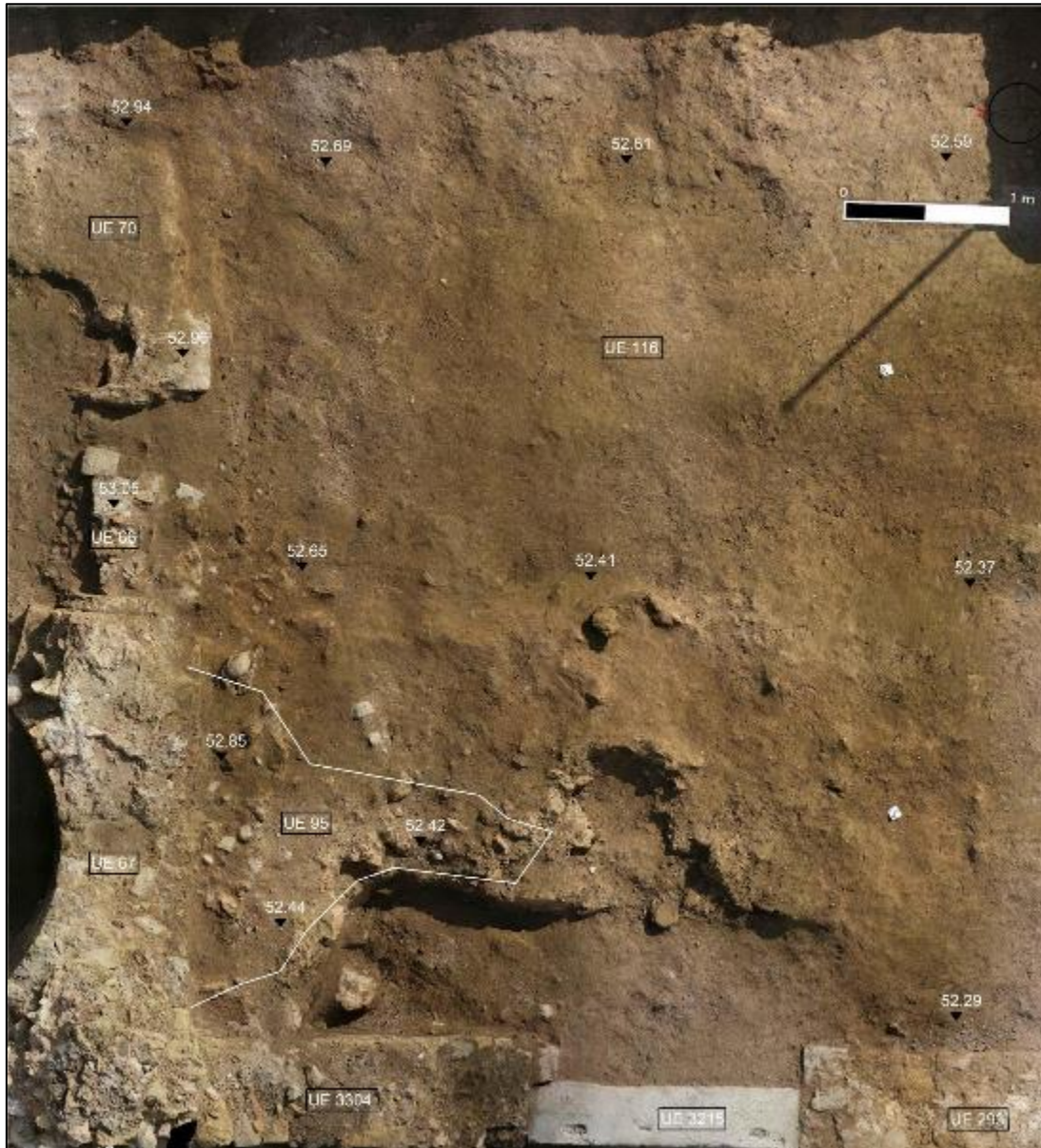


Fig. 21. Planta estratigráfica de la UE 116

Decidimos agrupar todos los fragmentos de *opus signinum* que retiramos durante la excavación de la UE 116 bajo un registro propio -UE 165- con el fin de poder referirnos a ellos y a su posible lugar de origen sin dar lugar a confusión con su uso posterior como volcado o relleno.



*Fig. 22. Vista en detalle de la UE 116, donde se distinguen varios de los fragmentos de placas de opus signinum que lo componen*

#### Nivel de colmatación

La colmatación del interior del A25 tras el vertido de la **UE 116** fue sucedida por una serie de niveles cuya formación parece derivar de procesos naturales. Tenemos uno de ellos en la **UE 137**, un estrato de tonalidad anaranjada y de textura arenosa que cubre al muro de **UE 3213** y que se apoya contra el extremo S de **UE 116**.

El desmonte del derrumbe de **UE 95** y del relleno de **UE 116** desveló la existencia de un nuevo paquete estratigráfico en el ángulo NW del A25 -**UE 122**-, apoyándose en la cara interna de las estructuras que lo definen. Está compuesto por tierra de tonalidad anaranjada y tendencia ataludada que desciende en sentido SE. Además de tierra y arena contaba con la presencia de piedras en su interior, algunas de ellas trabajadas. Tras su extracción se comprobó que estas últimas eran, en realidad, fragmentos de un *labrum*. Fueron individualizadas como **UE 290**.



*Fig. 23. Planta estratigráfica de las UUEE 122 y 137. En el extremo E sigue presente parte de la UE 116 -en proceso de excavación-*

Del mismo modo, la retirada de los últimos restos del paquete estratigráfico de **UE 116** en el extremo E del A25 nos hizo registrar dos nuevos niveles de colmatación. En el ángulo NE nos encontramos con **UE 153**, una capa formada por tierra de tonalidad amarillenta, de textura arenosa y disgregada. Se apoya en las estructuras que definen el límite NE del A25 -**UUEE 134, 69 y 192**-, al tiempo que cubre parcialmente a las **UUEE 189 y 288**. Está dispuesta en forma de talud, que desciende en sentido N-S. En el ángulo opuesto identificamos otro estrato que presenta características y disposición similares: **UE 154**. Es una capa formada por piedras y tierra de tonalidad parduzca que se apoya contra el muro de **UE 209**, descendiendo en talud en sentido S-N.



*Fig. 24. Planta estratigráfica de las UUEE 153 y 154*

### UUEE de las estructuras del A25

Por otra parte, la exhumación de las **UUEE 95, 116, 137, 153 y 154** también sacó a la luz, finalmente, un amplio conjunto de unidades que forman parte de las estructuras del A25.



Fig. 25. Vista en planta del A25 donde se distinguen sus principales estructuras

Destaca particularmente la **UE 130**, una capa de *opus signinum* que constituye el pavimento del A. Aunque de tendencia horizontal, dibuja un ligero descenso en sentido W-E. Esta inclinación debe relacionarse con la captación de aguas para evitar su acumulación en el interior de la sala. Está delimitada por las siguientes estructuras, algunas de las cuales ya han sido mencionadas con anterioridad:

- **UE 293.** Muro de piedras trabadas entre sí con mortero de cal. Está orientado en sentido S-N y sus dimensiones son de 1'7 x 0'55 m, con un alzado conservado de 0'17 m.
- **UE 3215.** Laja de piedra caliza rectangular, muy pulida, situada inmediatamente al N del muro de **UE 293**, con el que comparte orientación. Se trata del umbral que facilita la comunicación entre los A1 y 25. Presenta sentadas muescas en

su superficie, correspondientes al anclaje de la arboladura de la puerta. Sus dimensiones son de 1'5 x 0'35 m

- **UE 3304.** Muro de mampuestos de piedra de tonalidad verdosa trabadas con mortero de cal. Situado inmediatamente al N del umbral de **UE 3215**, con el que comparte orientación. Aunque hemos documentado un mayor desarrollo de su trazado, para este particular únicamente contemplamos su tramo previo al arranque del muro de **UE 67**, con el que forma un ángulo recto. Esta parte del muro tiene unas dimensiones de 1'8 x 0'62 m, con un alzado conservado que oscila entre los 0'5 y los 1'7 m. Junto a las **UUEE 293** y **3215** constituye el extremo W del A25.
- **UE 67.** Muro de mampuestos de piedra que traba en ángulo recto con el muro de **UE 3304**, con orientación W-E. Su morfología hace que sus dimensiones no sean regulares en su cara N, mientras que su cara S sigue una orientación W-E a lo largo de 2'2 m.
- **UE 134.** Escalón de *opus signinum* situado inmediatamente al E del muro de **UE 67**. Facilita la comunicación entre los A25 y 28. Experimentó una refacción al ser cubierto con un umbral **-UE 135-**. Con el fin de hacer más inteligible la secuencia de las fases, hemos optado por presentar este umbral y el resto de UUEE que cubren al escalón de **UE 134** en el epígrafe correspondiente a la excavación de este vano en el A28.
- **UE 192.** Estructura cuadrangular (0'8 x 0'9 m) de mampuestos trabados con mortero de cal. Constituye el extremo E del lienzo de muro que conforma junto a **UE 89**. Se trata de un refuerzo que proporcionaría una mayor firmeza a la esquina del lienzo de cara a sustentar el peso de una bóveda.
- **UE 89.** Muro de mampuestos de piedra con orientación W-E, situado inmediatamente al E del escalón de **UE 134**. Se apoya en la cara E de la estructura de **UE 192** y, al mismo tiempo, proporciona asiento a parte de su alzado. La morfología de la cara N de este muro no es regular pero, dado que sus particularidades están asociadas al A28, será descrito de manera pormenorizada en el apartado correspondiente.
- **UE 288.** Estructura de piedras trabadas con mortero de cal que está orientada en sentido W-E. Está situada entre los muros de **UUEE 89**, **192** y **189**. Sus

dimensiones son de 0'7 x 0'5 m aproximadamente. Junto a **UUEE 67, 134, 89 y 192** constituye el extremo N del A25.

- **UE 189.** Muro de mampuestos trabados con mortero de cal. Está orientado en sentido N-S. Únicamente se conserva un pequeño tramo de su recorrido. Constituye el límite E del A25.
- **UE 3211.** Estructura de mortero de cal orientada en sentido W-E. Hemos documentado 2'3 m de su trazado en el interior del A25, con una anchura de 0'6 m. El origen de esta estructura arranca en el A1, anexo al A25. Se adosa a la cara N del muro de **UE 3213**, al que acompaña en su recorrido. Podría tratarse de un banco adosado al muro.
- **UE 3213.** Muro de mampuestos trabados con mortero de cal. Está orientado en sentido W-E. Atraviesa el A1 antes de introducirse en el A25, del que constituye su extremo S. Se le apoya la estructura de **UE 3211**. El tramo documentado en el A25 mide 5 x 0'43 m.

Este conjunto de estructuras dibuja una estancia rectangular de 6'5 x 5'3 m, que abarca una superficie de 34'4 m<sup>2</sup>.

Las zonas de contacto ente el pavimento -**UE 130**- y los muros que delimitan el A25 aparecen rematadas con ¼ de caña hidráulica:

- **UE 131.** Tramo de ¼ de caña hidráulica de *opus signinum*. Está orientada en sentido S-N, revistiendo parcialmente la cara W del muro **UE 293** y del umbral **UE 3215**. Su trazado se ve interrumpido bruscamente tras cerca de 2'7 m.
- **UE 132.** Tramo de ¼ de caña hidráulica de *opus signinum*. Está orientada en sentido S-N, revistiendo parcialmente la cara W del umbral de **UE 3215** y del muro de **UE 3304**. Conserva 2'3 m de su trazado. Debe tratarse de la misma estructura que hemos identificado como **UE 131** pero, dado que hay una discontinuidad física entre ambas, hemos optado por diferenciar su registro.
- **UE 133.** Tramo de ¼ de caña hidráulica de *opus signinum*. Está orientada en sentido W-E, revistiendo parcialmente la cara S del muro de **UE 67**. Forma

---

ángulo recto con el  $\frac{1}{4}$  de caña hidráulica de **UE 132**. Conserva íntegros los 2'4 m de su trazado.

- **UE 187**. Tramo de  $\frac{1}{4}$  de caña hidráulica de *opus signinum*. Está orientada en sentido W-E, revistiendo parcialmente la cara S del muro de **UE 192**. Continúa su trazado al E del mismo, a lo largo del recorrido de la estructura de **UE 288** durante un total de 2'27 m.
- **UE 188**. Tramo de  $\frac{1}{4}$  de caña hidráulica de *opus signinum*. Está orientada en sentido N-S, revistiendo parcialmente la cara W del muro de **UE 189**. En su extremo N forma un ángulo recto con el  $\frac{1}{4}$  de caña hidráulica de **UE 187**. Su extremo S no ha sido documentado, ya que se encuentra más allá de los límites de la parcela.
- **UE 155**. Tramo de  $\frac{1}{2}$  de caña hidráulica de *opus signinum*. Está orientada en sentido W-E, al igual que el muro de **UE 3213**. En lugar de revestir su cara N se sitúa a una distancia de 0'4 m al N del mismo, generándose un pequeño canal entre ambos. Hemos documentado 4'3 m del trazado de esta  $\frac{1}{2}$  caña hidráulica. Queda excluido su extremo E debido a que el punto en el que previsiblemente se uniría al  $\frac{1}{4}$  de caña hidráulica de **UE 188** para formar un ángulo recto se encuentra más allá de los límites de la parcela. En su extremo opuesto el punto de unión con el  $\frac{1}{4}$  de caña hidráulica de **UE 131** queda parcialmente cubierto por el muro de **UE 209**, construido directamente sobre buena parte del recorrido de **UE 155**.

En el ángulo NW del A25, parcialmente cubierta por los  $\frac{1}{4}$  de caña hidráulica de **UUEE 132 y 133**, encontramos un bloque trabajado de piedra de forma cuadrangular -**UE 147**- , cuyas dimensiones son 0'7 x 0'53 m. Tiene un orificio circular en su centro, de 2'9 m de diámetro, que revela que su interior, además de estar hueco, comunica con una red hidráulica por medio de un canal horadado en este mismo bloque -concretamente, en su extremo S-. En su cara superficial hay un pequeño canal de seno de sección semicircular tallado en el mismo bloque y orientado en sentido E-W, uniendo el extremo E de **UE 147** con su orificio central. Conecta a este bloque de piedra con un canal -**UE**

**157**- de similar orientación y morfología realizado sobre el *opus signinum* del pavimento de **UE 130**. Mide 0'7 m de longitud.

El extremo E del canal se une a una estructura circular -**UE 156**- de 0'43 m de diámetro que se asienta directamente sobre el pavimento de **UE 130**. Su perímetro exterior es de mortero de cal, mientras que su núcleo interno es de ladrillo. Se trata, en cualquier caso, de una estructura muy arrasada y en un mal estado de conservación. Ha sido interpretada como el basamento original del *labrum* que documentamos como **UE 290**.



*Fig. 26. Vista de las UUEE relacionadas con el labrum*

Todavía encontramos otro canal marcado directamente en el pavimento de **UE 130**. Está situado en la mitad E del A25, con un trazado orientado en sentido NW-SE. Al igual que

---

**UE 157**, la sección de su seno es un semicírculo. Las dimensiones registradas son de 2'5 x 0'8 m. Hemos interpretado que la función de este canal no es otra que coleccionar posibles líquidos del interior del A25 para desaguarlos. No hemos podido documentar el final de este canal debido a que se encuentra más allá de los límites de la parcela.

Dentro de los elementos estructurales que conforman el A25, los últimos que hemos documentado pertenecen a su límite E. Allí detectamos sendas UUEE relacionadas con revestimientos de la cara W del muro de **UE 189**: **UE 191** y **UE 190**. La primera de ellas - **UE 191**- son, en realidad, los restos de unas placas de mármol que revestían la cara interna del muro de **UE 189**. Todo apunta a que dichas placas fueron retiradas antes de aplicar un nuevo revestimiento -**UE 190**- realizado a base de ladrillos. Sin embargo, las evidencias de este revestimiento que han podido ser documentadas son tan escasas como las de la capa a la que sustituyen.

#### UUEE relacionadas con el último uso y abandono del A25

El conjunto de estructuras que conforman el A25 presentan una serie de intervenciones asociadas a su uso, caracterizadas a través de nuevas UUEE. Presentamos en primer lugar un grupo de orificios practicados en el pavimento de **UE 130**:

- **UE 261**. Orificio de tendencia circular practicado en el extremo SW del pavimento de **UE 130**.
- **UE 263**. Orificio de tendencia circular practicado a 1'2 m al E de **UE 261**.
- **UE 265**. Orificio de tendencia circular practicado en el centro del pavimento de **UE 130**.

Detectamos una cierta regularidad en la distribución y tamaño de este grupo de orificios. Podrían interpretarse como improntas de postes instalados en algún momento previo al abandono definitivo del A25, relacionado quizás con un cambio de uso de la estancia.

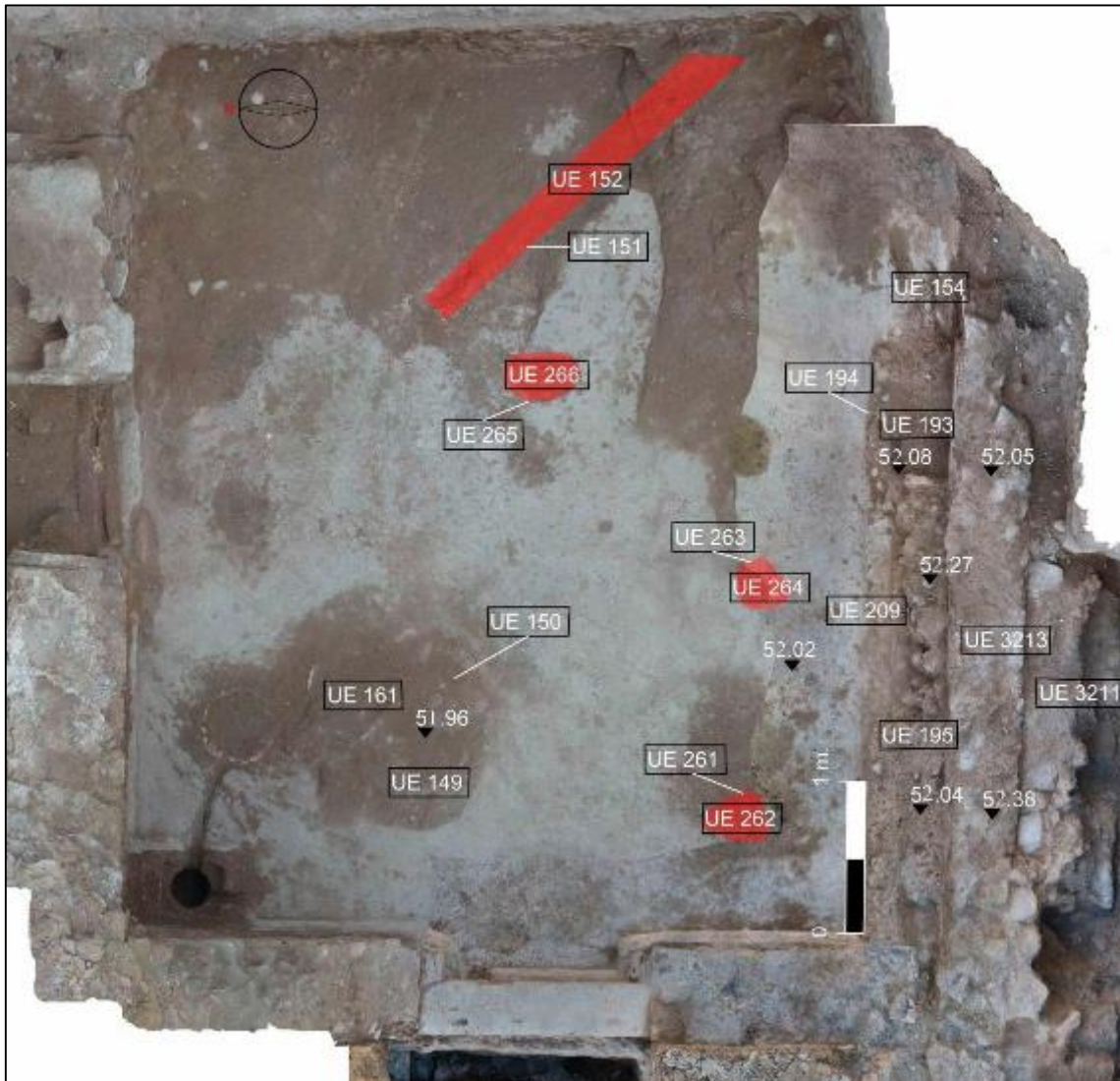
Del mismo modo, encontramos también un rehundimiento -**UE 150**- del pavimento de **UE 130** en el extremo NW del A25 que estaba cubierto por un estrato -**UE 149**- de tonalidad rojiza, marcado por la elevada presencia de fragmentos de ladrillo en su

interior. Su remoción permitió documentar una estructura circular **-UE 161-** de 0'5 m de diámetro realizada con mortero de cal y ladrillos y asentada directamente sobre el pavimento. Ha sido interpretado como una posible reubicación del *labrum*.

Asimismo, documentamos otra refacción destacada en el extremo S del A25. En origen, la estructura de **UE 3213** y la media caña hidráulica de **UE 155** delimitaban un espacio intermedio que hemos interpretado como un posible canal. En un momento indeterminado de la ocupación del A25 se erigió un muro **-UE 209-** a base de piedras trabadas con mortero de cal, con unas dimensiones de 4'5 x 0'3 m. El alzado de este muro muestra que su función no es otra que proporcionar un mayor caudal al canal.

También hemos registrado un conjunto de estratos relacionados con la colmatación de los orificios y canales que acabamos de presentar:

- **UE 262.** Estrato de tierra de tonalidad cenicienta que rellena el orificio de **UE 261**.
- **UE 264.** Estrato de tonalidad cenicienta que colmata el interior del orificio de **UE 263**.
- **UE 266.** Estrato de tonalidad grisácea que colmata el interior del orificio de **UE 265**.
- **UE 152.** Estrato de tonalidad oscura y de textura arcillosa y plástica que rellena el interior del canal de **UE 151**.
- **UE 195.** Estrato de tonalidad parda oscura que colmata el canal delimitado por las **UUEE 204** y **3213**.
- **UE 148.** Estrato de tonalidad cenicienta y de textura arcillosa y plástica que rellena la oquedad tallada en el bloque de **UE 147**.

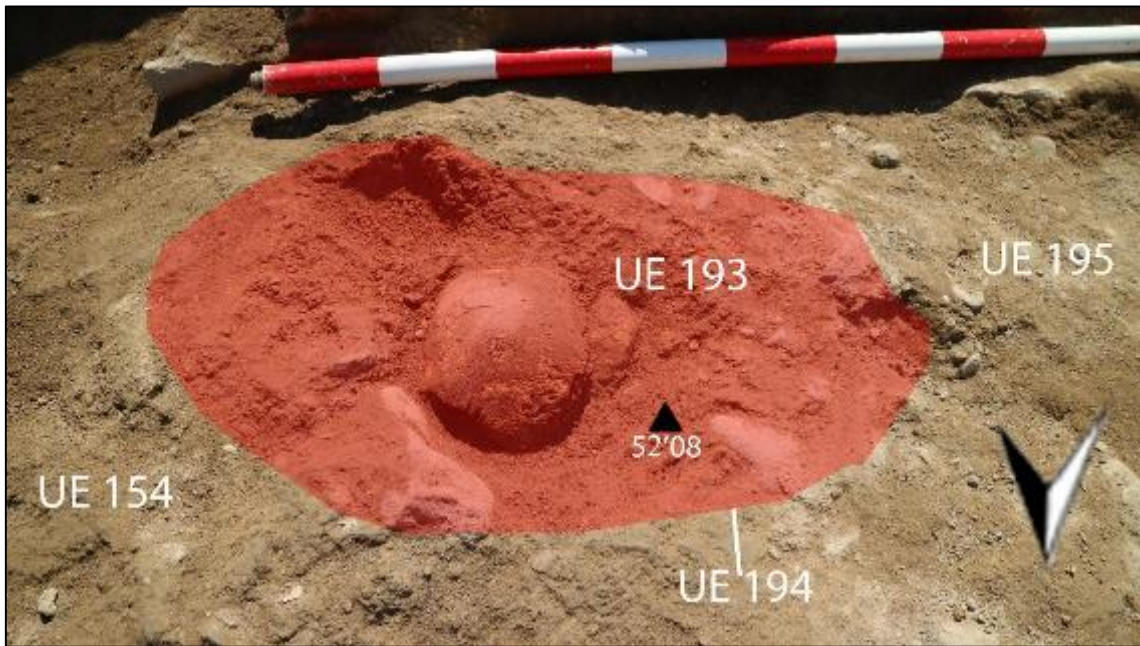


*Fig. 27. Vista en planta de las distintas UUEE que afectan al pavimento de UE 130, así como del canal generado por las UUEE 209 y 3213*



*Fig. 28. Detalle del ángulo NW del A25 con la ubicación de las UUEE 149, 150 y 161*

Todavía identificamos otra acción antrópica en el interior del A25, realizada en un momento en el que el A25 había perdido su función. Nos referimos a la excavación de una fosa -**UE 194**- que recorta al muro de **UE 209**, al  $\frac{1}{4}$  de caña hidráulica de **UE 155** sobre la que se asienta y al estrato -**UE 195**- que colmata el canal que delimitan. Asimismo recorta parcialmente a uno de los estratos de colmatación interna del A25 -**UE 154**-, de tal modo que la fosa es necesariamente posterior a su creación. La fosa de **UE 194** está rellena por un estrato muy disgregado, de textura arenosa y tonalidad cenicienta que hemos registrado como **UE 193**. En su interior fueron hallados restos humanos pertenecientes, al menos, a dos individuos. Fueron individualizados bajo la **UE 173**. Se trata de un depósito secundario, donde los individuos están incompletos y mezclados, sin que se perciba ningún atisbo de conexión anatómica entre las distintas piezas óseas documentadas.



*Fig. 29. Vista de la fosa de UE 193 en el momento en el que fue detectada*



*Fig. 30. Vista en detalle de la fosa de UE 193 durante su proceso de excavación*

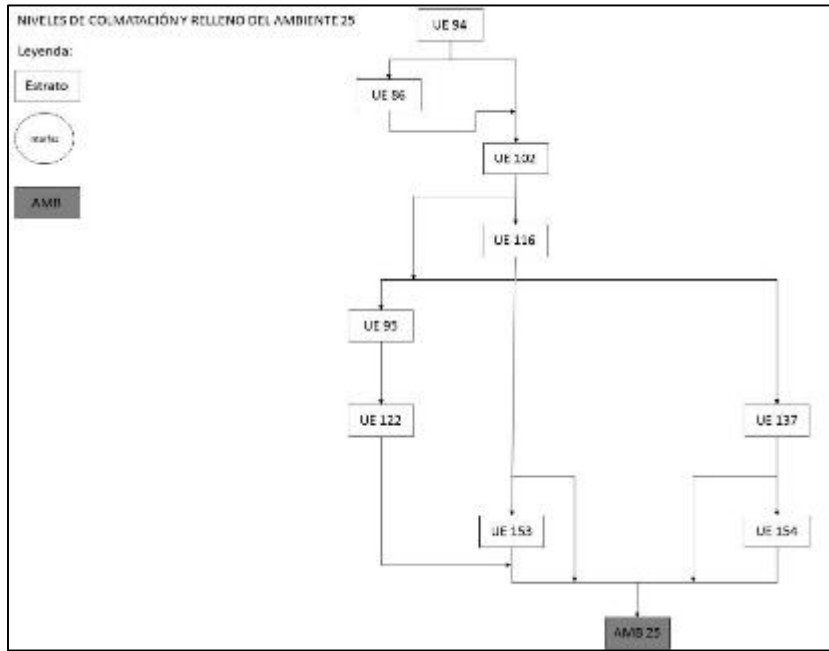


Fig. 31. Diagrama estratigráfico de los niveles de relleno y colmatación del A25

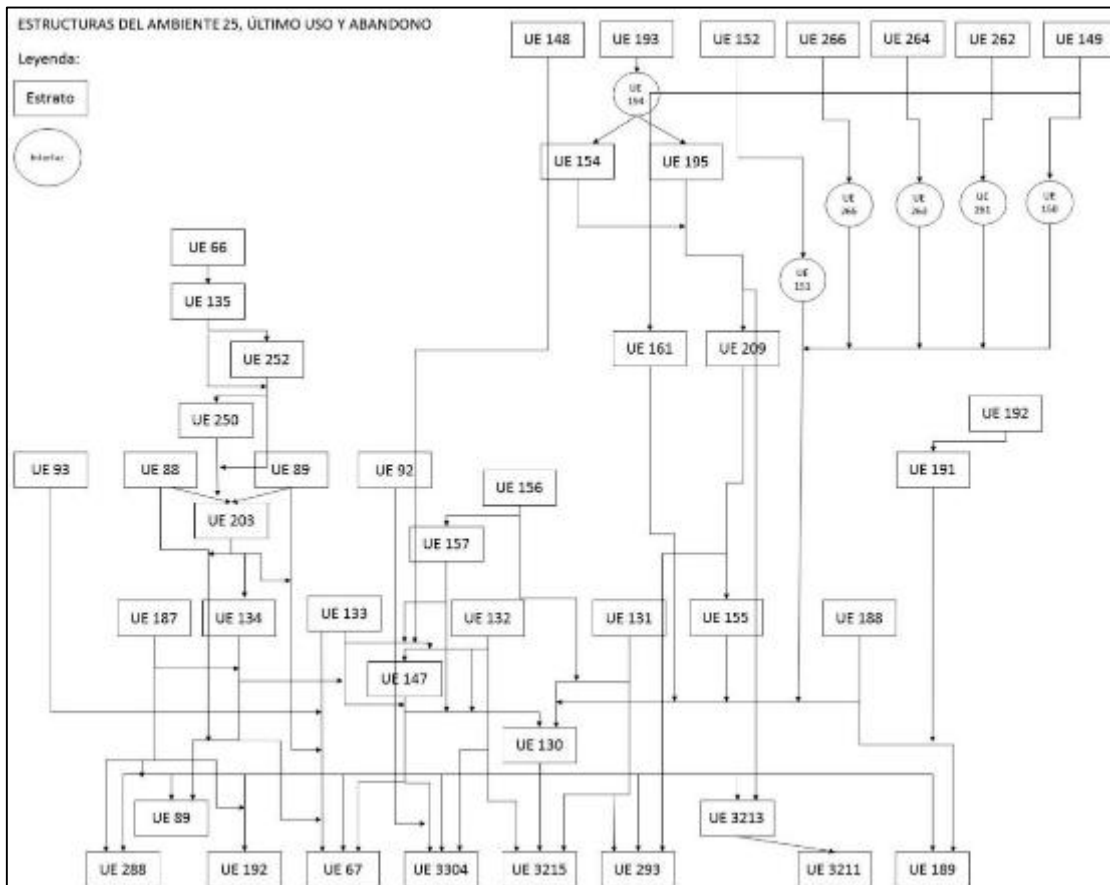


Fig. 32. Diagrama estratigráfico correspondiente a las estructuras, último uso y abandono del A25

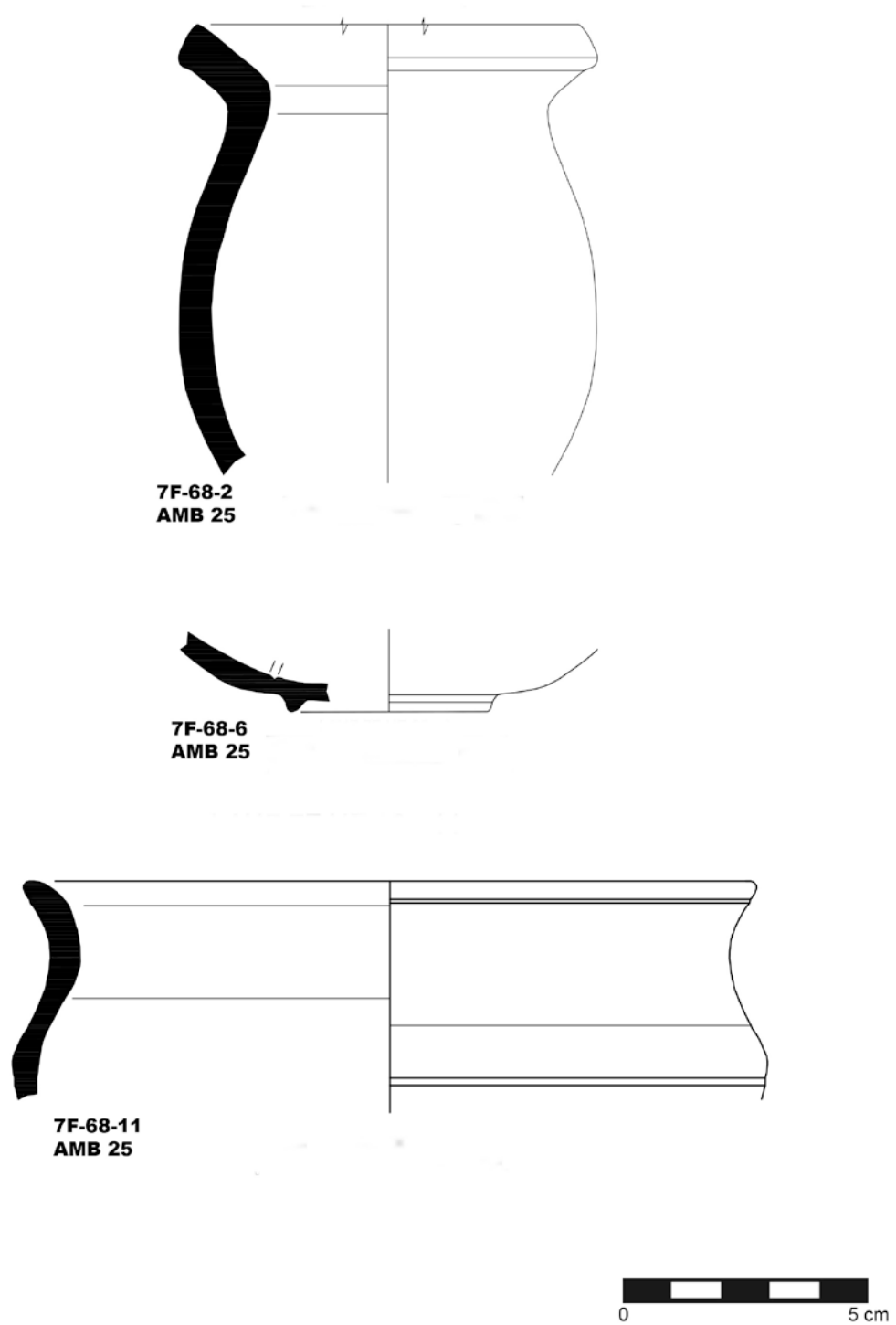


Fig. 33. Lámina con dibujos de materiales arqueológicos aparecidos en el A25

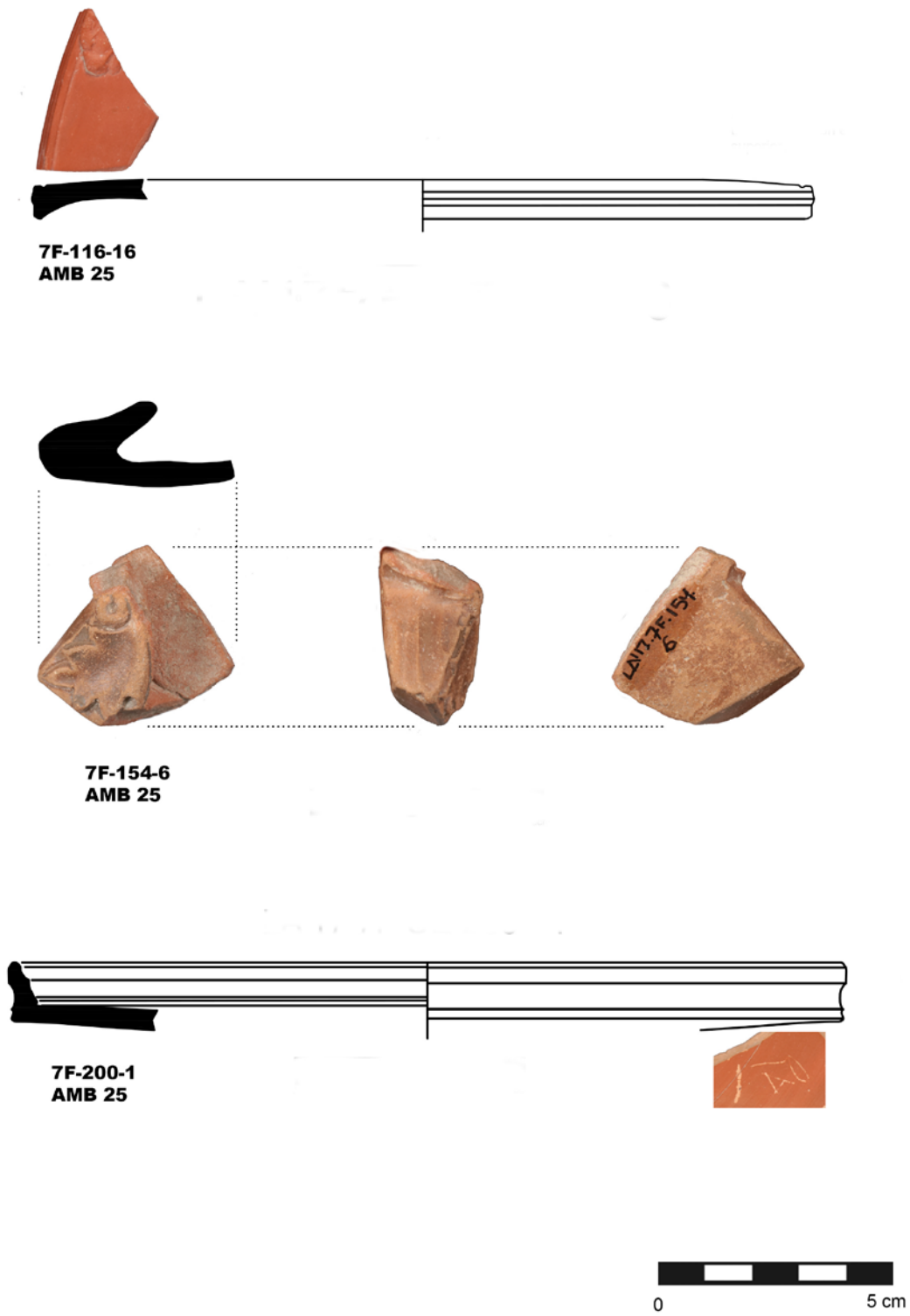
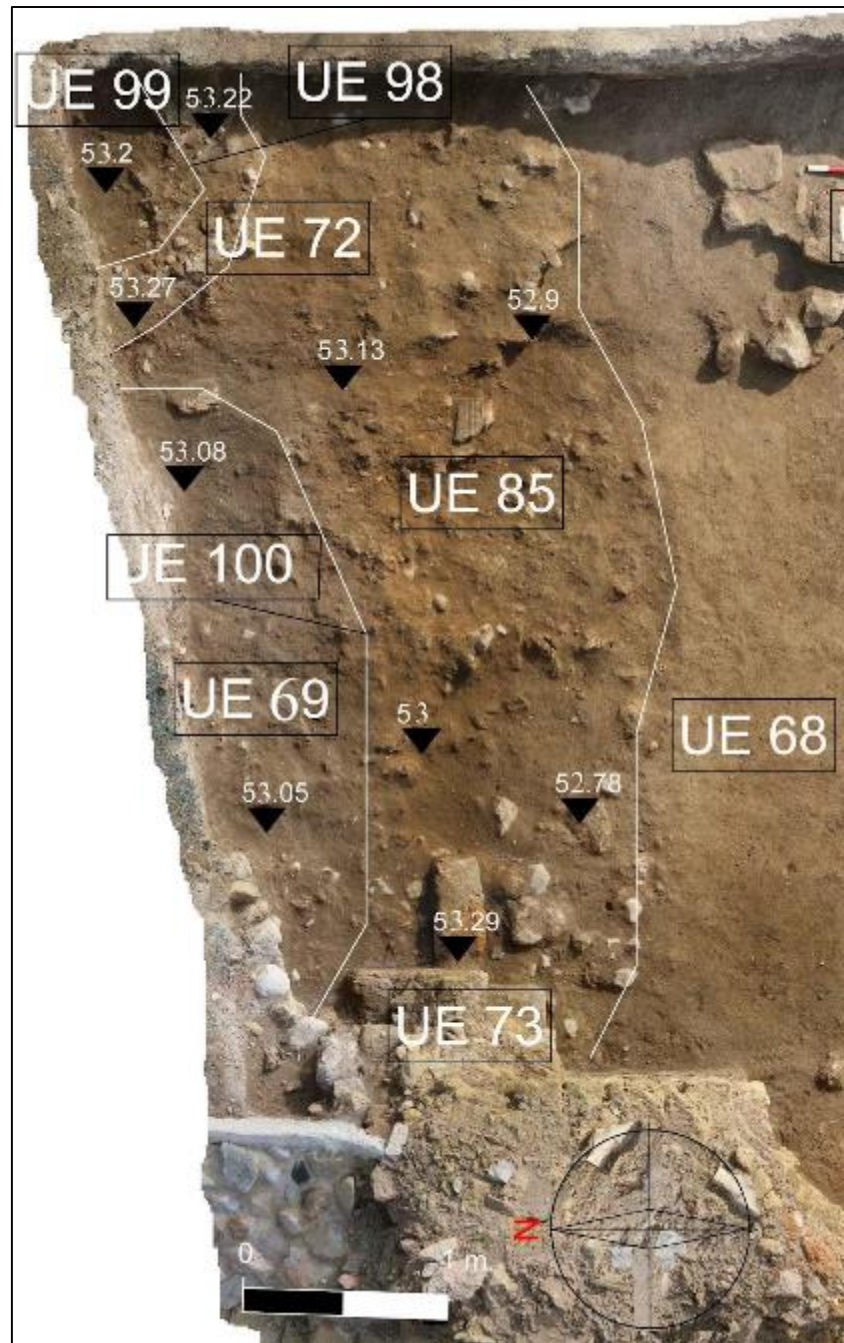


Fig. 34. Lámina con dibujos de materiales arqueológicos aparecidos en el A25

## 5. SOBRE AMBIENTES 28 Y 29



*Fig. 35. Planta estratigráfica de las UUEE detectadas en esta zona tras la remoción de UE 56*

De forma simultánea a la identificación del A25 proseguimos con la excavación al N de sus límites. La remoción de la **UE 56**, además de permitirnos definir el A25, sacó a la luz una nueva serie de estratos más allá del muro de **UE 67**.

---

La práctica totalidad de este nuevo espacio queda abarcada por la **UE 68**. Es una capa formada por tierra de tonalidad parda, restos de mortero disgregado y piedras, dispuesto en forma de talud que desciende ligeramente en sentido N-S, apoyándose contra la cara interna del muro de **UUEE 3304**. Este muro, que era parcialmente visible cuando iniciamos la excavación del corte, prosigue su trazado al N del A25. La retirada de **UE 56** también permitió documentar la **UE 73**. Es un pequeño muro de orientación W-E que inicia su trazado desde la cara E del muro **UE 3304**, formando ángulo recto. Describiremos su morfología en el siguiente apartado, en el que enumeramos todas las UUEE que delimitan al A28.

El estrato **UE 68** también se apoya contra **UE 73**. De hecho, la continuidad de **UE 68** a lo largo de la explanada situada al N del A25 se ve interrumpida aproximadamente a la altura de **UE 73**. Allí documentamos, también bajo **UE 56**, una capa prácticamente paralela al límite N del A25. Nos referimos a **UE 85**. Presentaba una disposición ligeramente ataludada que crecía en dirección S-N. En cuanto a su composición, hemos de destacar la elevada presencia de fragmentos de enlucido. Este paquete cubría parcialmente a **UE 68**. A su vez, encontramos un conjunto de estratos que, según su situación estratigráfica y su relación con **UE 85**, son posteriores a este último.

Por una parte, en su extremo W, detectamos una pequeña fosa -**UE 100**- que recorta a **UE 85**. Está rellena por **UE 69**, un paquete estratigráfico de tonalidad cenicienta. En el extremo NE identificamos un nuevo nivel -**UE 72**- de textura muy disgregada y de tonalidad anaranjada que cubre parcialmente a **UE 85**. Está recortado por la fosa **UE 98**, colmatada por **UE 99**. Este último presentaba una textura muy disgregada, arenosa.

Estos estratos -**UUEE 85, 69, 100, 99 y 98**- se sitúan en el límite establecido para este extremo de la excavación. De hecho, varios de ellos continúan claramente más allá del perfil N. Debido a ello estratos solo pudieron ser excavados parcialmente. En cuanto a la excavación de la parte de **UE 85** situada dentro del corte, detectamos la presencia de una nueva capa bajo ella: **UE 114**. Se trata de un estrato de tierra muy compacto y de tonalidad castaña que se extiende por la superficie abierta al N de la estructura de **UE 73**.

Antes de proceder a la retirada del estrato de **UE 68** que, como ya hemos comentado, se extendía por buena parte de la explanada generada al N del A25 había que intervenir en otras partes del corte. Nos referimos, más concretamente, a la exedra que genera el muro de **UE 3304** en su cara E, al N del A25. Durante la documentación de este muro detectamos la existencia de una rotura en el alzado de dicha exedra, que registramos como **UE 64**. Su interior estaba colmatado por un estrato de tierra de tonalidad parda y piedras -**UE 65**-. La forma dibujada por la línea de rotura en el muro y su ubicación nos han llevado a relacionarla con la realización de la fosa de **UE 6** que, tal y como propusimos, pudo ser realizada con medios mecánicos. Es posible que **UE 64** fuese, por tanto, un primer intento de realizar un rebaje en esta área. El hallazgo fortuito de una estructura de la envergadura de **UE 3304** provocaría desplazar el recorte del terreno unos m al S, dando lugar a la **UE 6**.

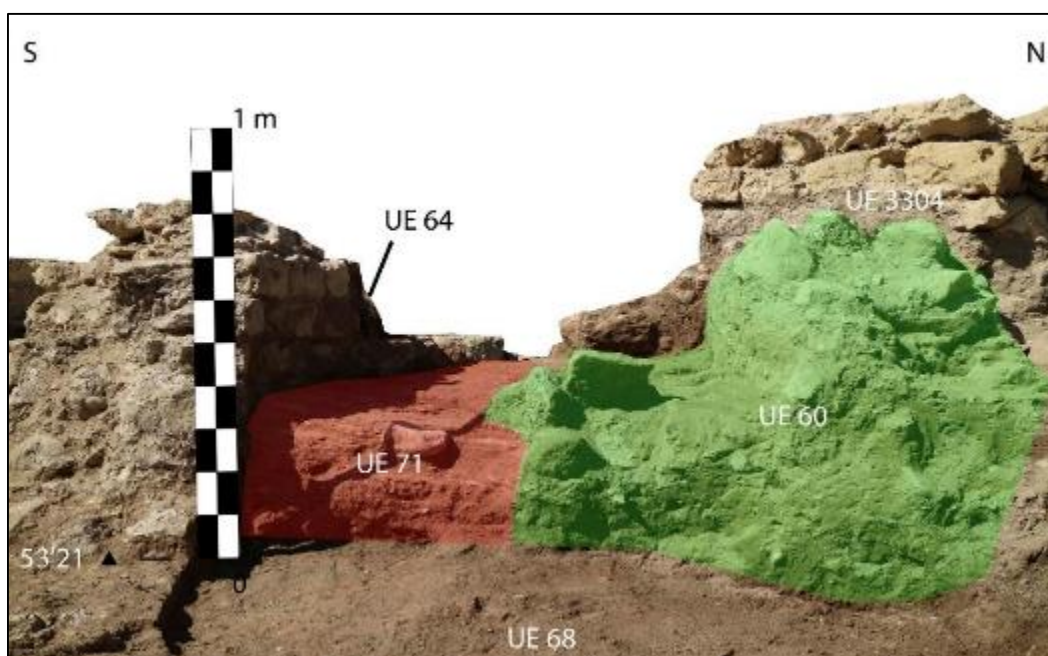


*Fig. 36. Vista en detalle de la interfaz de UE 64 y de su relleno UE 65 desde la cara W del muro de UE 3304*

La limpieza de la exedra nos llevó a documentar una serie de estratos localizados en su interior, a una cota superior al nivel superficial que se extiende por la explanada al N del

A25 tras la remoción de **UE 56**. Efectivamente, tras excavar **UE 65** identificamos las siguientes UUEE:

- **UE 60**. Estrato compacto de piedras y tierra que se apoya contra la cara N de la exedra del muro de **UE 3304**. Podría deber su origen al derrumbe parcial de este muro.
- **UE 71**. Estrato de tendencia horizontal formado por la acumulación horizontal de finas láminas de tierra de tonalidad blanquecina y textura arenosa, interpretadas como paleocharcos. Se apoya en la cara S de la exedra del muro **UE 3304** y en el derrumbe de **UE 60**.



*Fig. 37. Vista de la exedra del muro de UE 3304 con los estratos UUEE 71 y 60*

Ambos estratos se asientan sobre **UE 68**. Tras su remoción ya pudimos acometer finalmente la excavación de esta capa. Bajo ella documentamos un nuevo nivel de tendencia horizontal -**UE 118**- y, lo que es más importante, evidencias de estructuras que delimitan una nueva estancia: el A28.

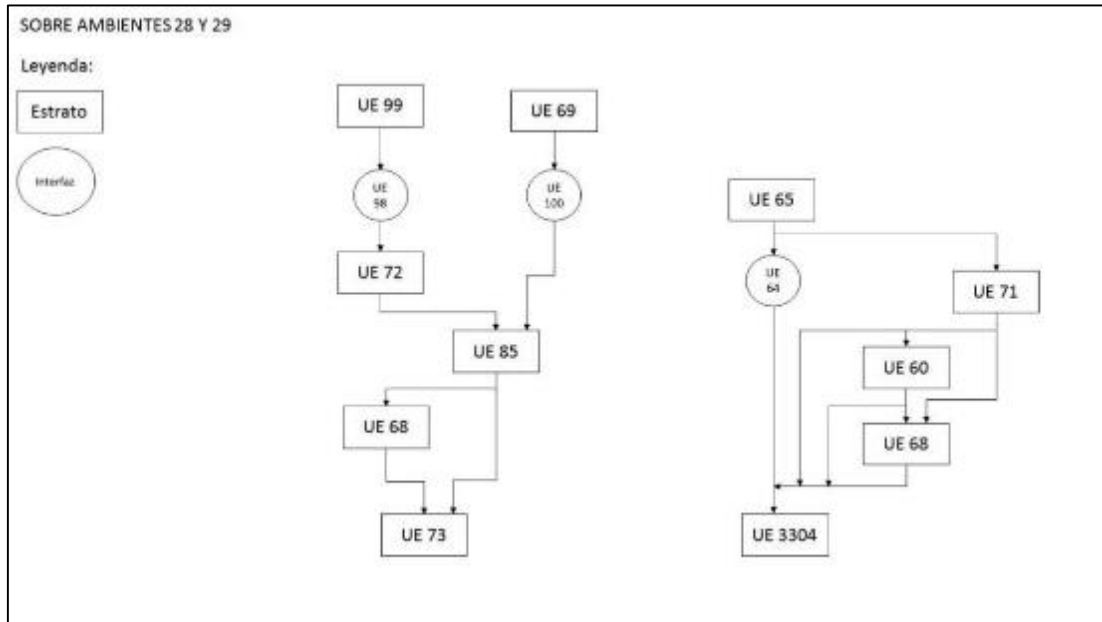
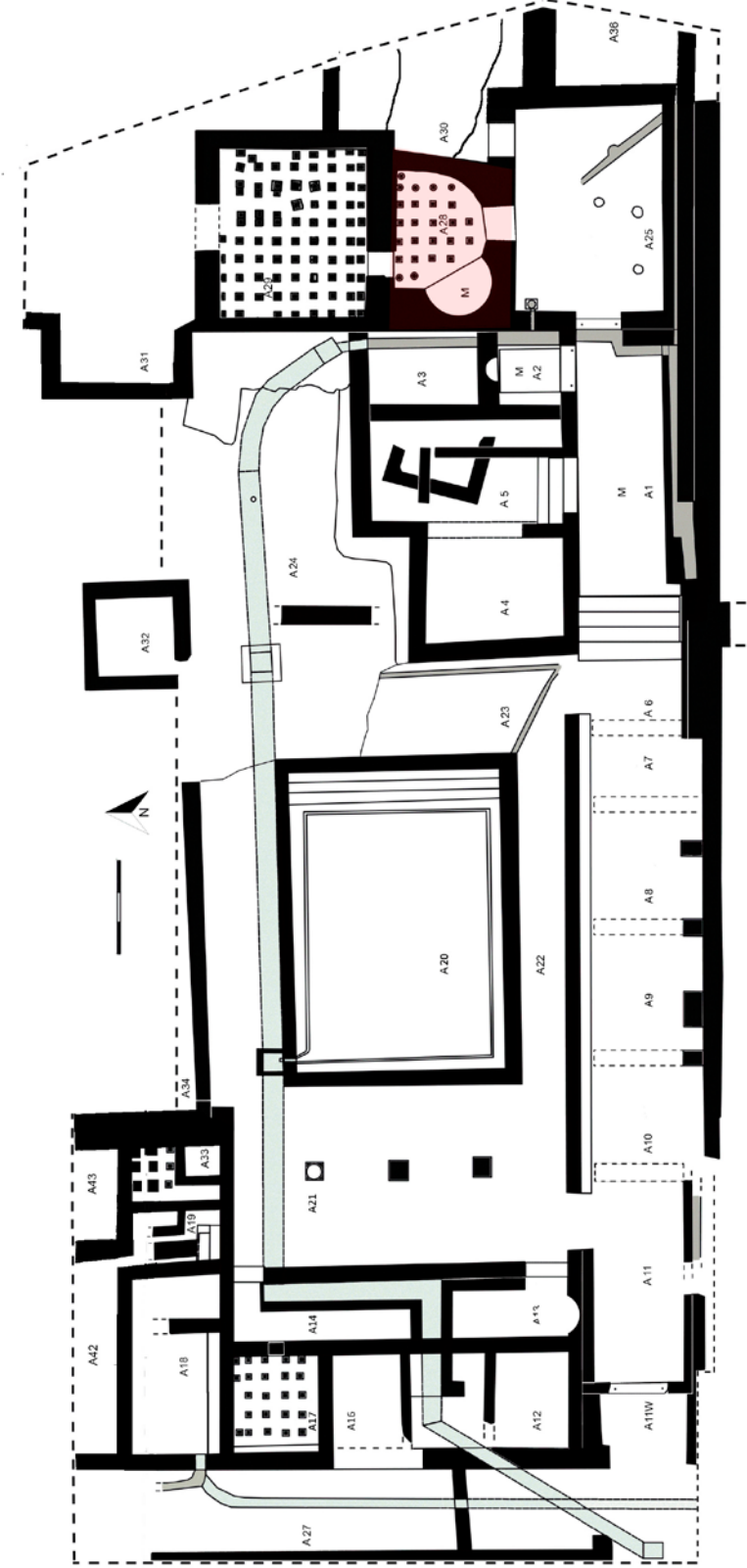
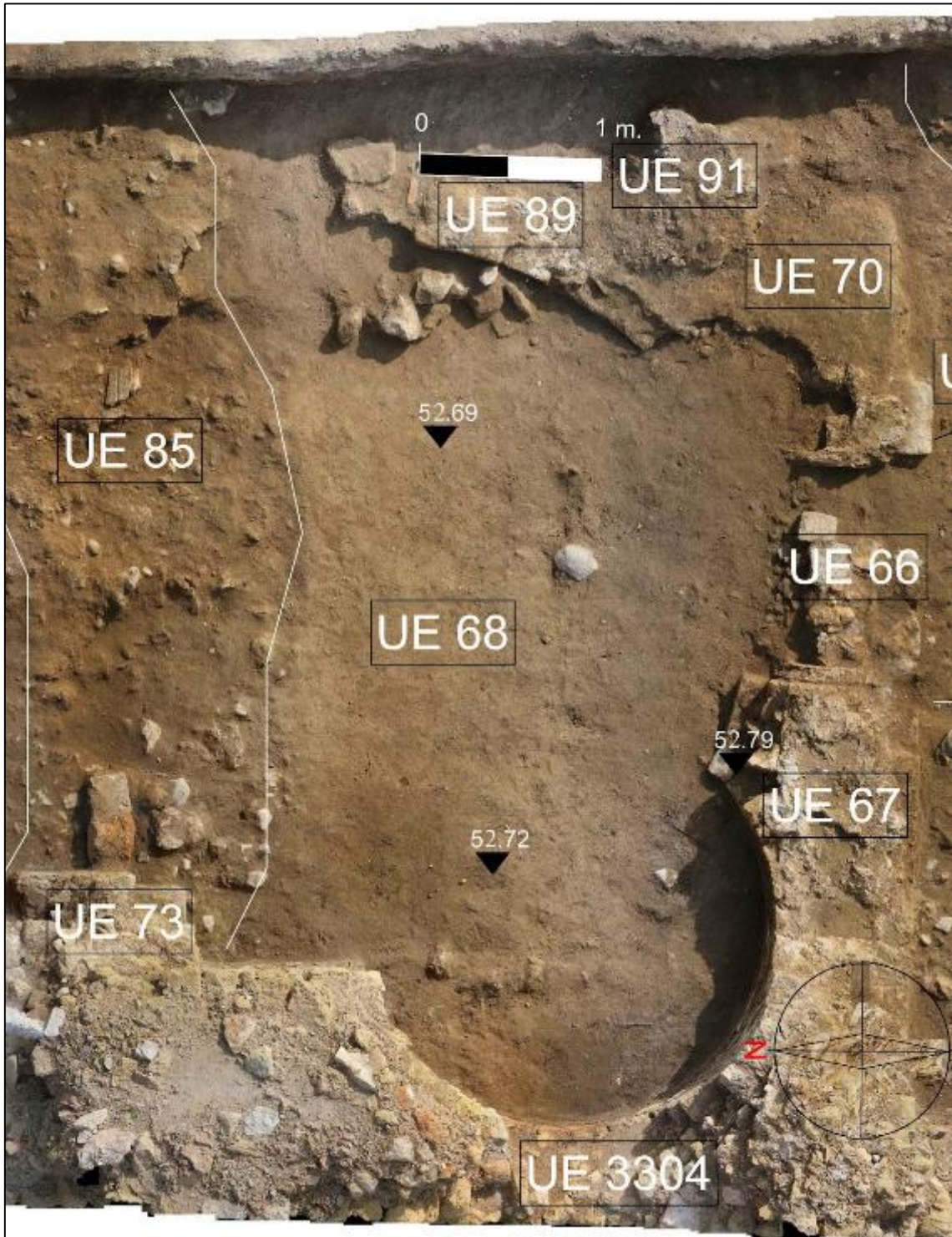


Fig. 38. Diagrama estratigráfico correspondiente a los estratos sobre los A28 y 29

# 6. AMBIENTE 28



Primeros niveles superficiales y UUEE de las estructuras del A28



*Fig. 39. Vista de la planta de estrato del A28 previa a la excavación de la UE 68*

Bajo UE 68 identificamos un nuevo estrato -UE 118- compuesto por tierra de tonalidad parda y piedras, con una disposición ataludada que desciende en sentido W-E. Abarca

toda la superficie del A28. En el extremo E la remoción de **UE 68** reveló la existencia de un estrato de textura dispersa y tonalidad blanquecina, motivada por la elevada presencia de mortero de cal disgregado. Es la **UE 91**, uno de los niveles que, junto a **UE 70**, cubría al muro de **UE 89**. Mientras que este último -**UE 70**- cubría su extremo S, la **UE 91** hacía lo propio con su extremo E.



*Fig. 40. Vista del interior del A28 donde distinguimos las estructuras que lo delimitan y la planta estratigráfica de la UE 118*

La retirada de la **UE 68** dejaba a la vista otras estructuras que, sumadas a las ya mencionadas y a las que comparte con el A25, delimitan el A28. Aunque ya hemos

descrito varias de ellas consideramos adecuado volver a enunciarlas -y, en determinados casos, ahondar más en la descripción de sus características y particularidades- con el fin de presentar de forma conjunta las estructuras que definen el perímetro de la estancia:

- **UE 3304.** Muro de mampuestos de piedra de tonalidad verdosa trabadas con mortero de cal, cuyo trazado presenta una orientación en sentido S-N. Parte del trazado de este muro forma parte del A25, por lo que en este análisis dedicado a las estructuras del A28 únicamente trataremos el tramo comprendido entre los muros de UUEE **68** y **73**. Dicho tramo mide 3'5 m de longitud y cerca de 1 m de anchura. A 0'6 m al N del ángulo que forma con el muro de **UE 67** la cara interna de **UE 3304** dibuja una exedra, cuyo trazado continúa en la cara N del muro de **UE 67**. Los vértices desde los que arranca la circunferencia de la exedra distan entre sí 2'1 m, mientras que su radio es de 1'4 m. Este muro constituye el extremo W del A28.
- **UE 77.** Restos de una capa de enlucido parietal blanco que reviste parcialmente la cara E del muro de **UE 3304**, más concretamente el interior de su exedra.
- **UE 67.** Muro de mampuestos de piedra que traba en ángulo recto con el muro de **UE 3304**, con orientación W-E. Forma parte del lienzo que separa los A25 y 28. Mientras que su cara S sigue una orientación W-E a lo largo de 2'2 m, la cara N forma parte del trazado de la exedra que forma junto a **UE 3304**. Su anchura, por tanto, oscila entre los 0'7 y los 1'2 m.
- **UE 135.** Umbral de piedra de 0'9 x 0'25 m, localizado entre las **UUEE 67** y **192**. Realza el escalón de acceso de **UE 134**, por lo que debe ser interpretado como una refacción del vano que facilita la comunicación entre los A25 y 28. Está cubierto por la acumulación de piedras de **UE 66**.
- **UE 192.** Estructura cuadrangular (0'8 x 0'9 m) de mampuestos trabados con mortero de cal. Constituye el extremo E del lienzo de muro que conforma junto a **UE 89**. Se trata de un refuerzo que proporcionaría una mayor firmeza a la esquina del lienzo de cara a sustentar el peso de una bóveda.
- **UE 89.** Muro de mampuestos de piedra con orientación W-E, situado inmediatamente al E del escalón de **UE 134**. Se apoya en la cara E de la estructura de **UE 192** y, al mismo tiempo, proporciona asiento a parte de su

alzado. Mientras que su cara E mantiene un trazado regular en sentido N-S, no ocurre lo mismo con su cara interna. Ésta dibuja un semicírculo que continúa la forma de la exedra compuesta por los muros de **UUEE 3304 y 67**. Los vértices desde los que arranca este nuevo semicírculo distan 2'1 m, mientras que el radio del mismo es de 0'2 m. Este muro conforma, junto a **UUEE 67, 134 y 192**, el límite S del A28.

- **UE 138**. Restos de una capa de enlucido blanco que reviste parcialmente la cara interna -W- del muro de **UE 89**.
- **UE 113**. Muro ligeramente orientado en sentido NW-SE formado por mampuestos trabados con mortero de cal. Hemos documentado un tramo del mismo que mide 3 x 0'85 m. Su longitud rebasa el límite E del A28, de manera que parte del formaría también parte del A30. Su cara W delimita uno de los extremos del vano que comunica entre sí a los A28 y 29.
- **UE 73**. Muro de orientación W-E que arranca desde la cara interna del muro **UE 3304**, formando ángulo recto. Está orientado con **UUEE 163, 164 y 113**, conformando junto a estas estructuras el extremo N del A28. Su cara E delimita uno de los extremos del vano que comunica a los A28 y 29. Morfológicamente podría describirse como una estructura en forma de "L", donde su extremo más largo está orientado en sentido N-S y mide 0'6 m. Su otro lado, por el contrario, mide 0'3 m. Está compuesto por mampuestos trabados con mortero de cal. Entre dichos mampuestos documentamos asimismo una mocheta o piedra trabajada en forma de "L".
- **UE 109**. Acumulación de piedras en el ángulo NW del A28, entre los muros de **UE 73 y 113**.

Detectamos asimismo un nivel de piedras **-UE 115-** que se apoya contra la cara S del muro de **UE 113**, pero fue necesario iniciar la excavación del nivel superficial para poder definirlo adecuadamente.

¿Sondeos previos?

---

Una vez definimos la estancia proseguimos con su excavación. Antes de acometer la retirada del nivel superficial -**UE 118**- procedimos a clarificar la situación de **UE 115**. Tras su limpieza comprobamos que esta acumulación de piedras que se apoyaba directamente contra la cara S del muro **UE 113** y se encontraba rellenando a una zanja recortada en el estrato superficial -**UE 118**-. Dicha zanja seguía completamente el trazado de este muro dentro del A28. Detectamos que, además, la zanja bordeaba toda la estructura y circundaba su cara W y la N. Ante esta situación optamos por individualizar cada uno de los tramos de la zanja y de su relleno:

- **UE 115**. Es el relleno de piedras que se adosa a la cara S del muro de **UE 113**. A la sazón, es la UE que facilitó la identificación de la zanja que rodea a este muro.
- **UE 141**. Zanja recortada en **UE 118** y que sigue el trazado de la cara S del muro de **UE 113** en el interior del A28. Colmatada por **UE 115** en su extremo S y por **UE 142** en su extremo W.
- **UE 142**. Paquete de tierra de tonalidad parda y textura muy disgregada que colmata la parte W de la zanja de **UE 141**.
- **UE 139**. Extremo N de la zanja de **UE 141**, que sigue el trazado de la cara N del muro de **UE 113**. Está recortada sobre **UE 114** y fue individualizada de **UE 141** debido a que se encuentra más allá de los límites del A28. Rellenada por **UE 140**.
- **UE 140**. Estrato de tierra de tonalidad parda y de textura muy disgregada que rellena a la fosa de **UE 139**. Se apoya contra la cara N del muro de **UE 113**.

Interpretamos que la zanja de **UUEE 141** y **139** pudo ser un sondeo realizado en algún momento del pasado reciente, sin poder especificar una cronología exacta. La apertura del terreno dio fortuitamente con el muro de **UE 113** y, tras comprobar su envergadura, se optó por colmatarla con las **UUEE 115**, **142** y **140**. Dado que se abandonó tras documentar el muro y que la integridad del mismo no se vio afectada por esta acción creemos que no puede relacionarse con un intento de expolio de piedra. Tampoco consideramos que pueda tratarse de una de las múltiples intervenciones arqueológicas

sin documentar que tuvieron lugar en este yacimiento tras el descubrimiento de la Dama de Elche: la zanja únicamente bordea el muro y no trata de detectar más estructuras. Es más probable que nos encontremos ante una apertura del firme asociada a trabajos agrícolas o a instalación de infraestructuras donde, al dar con el muro de UE 113 y comprobar su entidad, se optó por cerrarla y trasladar la actividad a algún otro lugar.



*Fig. 41. Vista del A28 en la que están indicados los posibles sondeos de UUEE 141, 115, 139, 140 y 142*

### Colmatación superficial

Una vez finalizada la excavación de la zanja de **UUEE 141** y **139** y de sus rellenos de **UUEE 115, 142** y **140** procedimos finalmente a retirar la capa de **UE 118**. Bajo ella encontramos nuevos niveles estratigráficos que se extienden por la superficie interna del A28:

- **UE 162**. Estrato de tierra de tendencia horizontal, de textura compacta y homogénea, que se extiende por toda la superficie interna del A28.
- **UE 158**. Estrato de tierra de tonalidad oscura y tendencia horizontal que ocupa una posición central en el interior del A28, cubriendo parcialmente a **UE 162**.



*Fig. 42. Planta estratigráfica de las UUEE 158, 162, 220 y 160*

Del mismo modo, documentamos también nuevos vestigios de estructuras pertenecientes a la estancia:

- **UE 159.** Revestimiento de *opus signinum* en la cara E del muro de **UE 3304**, en el interior de su exedra.
- **UE 160.** Restos de un nivel de pavimento de *opus signinum* que surge desde la exedra del muro de **UE 3304**. Aunque no se detectó una conexión física con el revestimiento de UE 159, tanto el tipo de material como su ubicación hacen pensar que debieron pertenecer a una misma fase.
- **UE 220.** Fina capa de *opus signinum* que, surgiendo desde la exedra, cubre parcialmente a **UE 160**. Se trata, probablemente, de una reparación del pavimento anterior.

Tras documentar este conjunto de estratos proseguimos con la excavación de los niveles superficiales. Comenzamos con **UE 158**, comprobando así que se trataba de una capa de poco espesor, generada al depositarse sobre una depresión que traza la **UE 162** en su parte central. Una vez extraída retiramos también la **UE 162**. La exhumación de esta capa sacó a la luz una nueva y compleja secuencia estratigráfica.

Aunque postergamos la descripción pormenorizada de las distintas UUEE documentadas inmediatamente bajo **UE 162** hemos considerado adecuado adelantar una de ellas -**UE 199**- por coherencia estratigráfica, ya que es claramente posterior al resto. Es un estrato de tierra y cantos rodados que se apoya contra la cara N del umbral de **UE 135**. Su retirada sacó a la luz parte de una estructura -**UE 203**- que detallamos en el siguiente apartado.

La fosa y sus niveles de colmatación



*Fig. 43. Planta estratigráfica del A28 tras retirar UE 162*

Bajo **UE 162** hallamos nuevas evidencias de estructuras pertenecientes al A28. Nos referimos, más concretamente, a parte de un pavimento de mosaico que fue registrado como **UE 198**. Se trata de un mosaico policromo con motivos figurados, situado en el interior de la exedra del muro de **UE 3304**. Estaba parcialmente cubierto por el pavimento de *opus signinum* de **UE 160**.

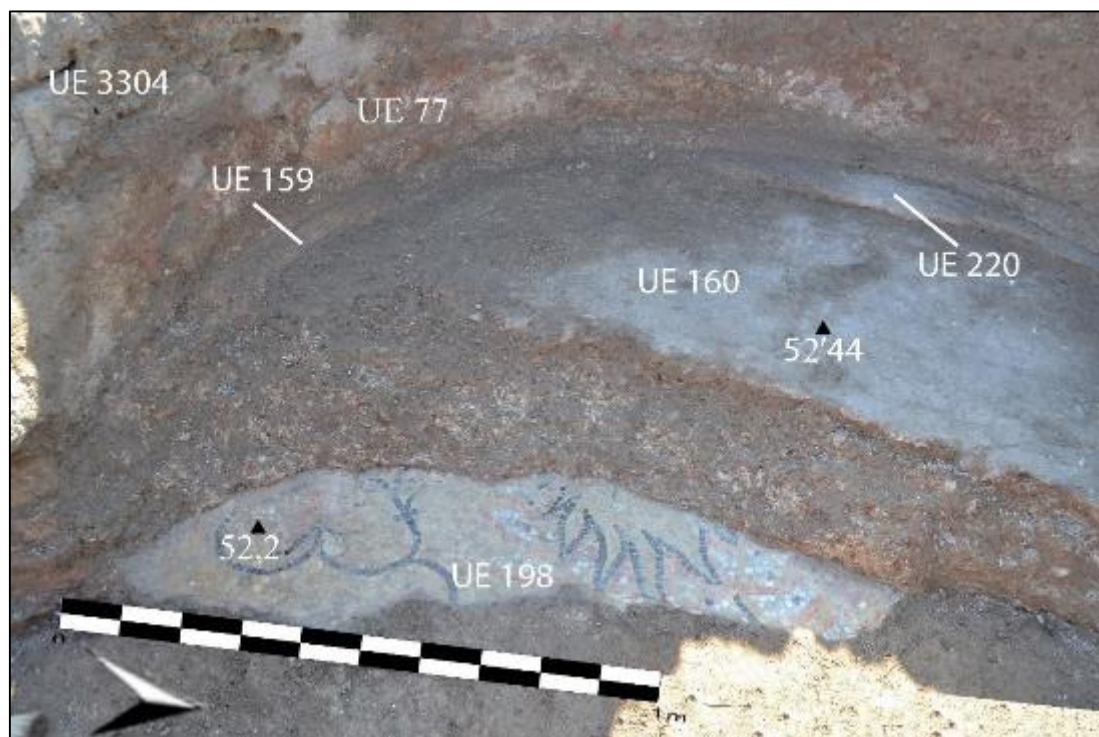
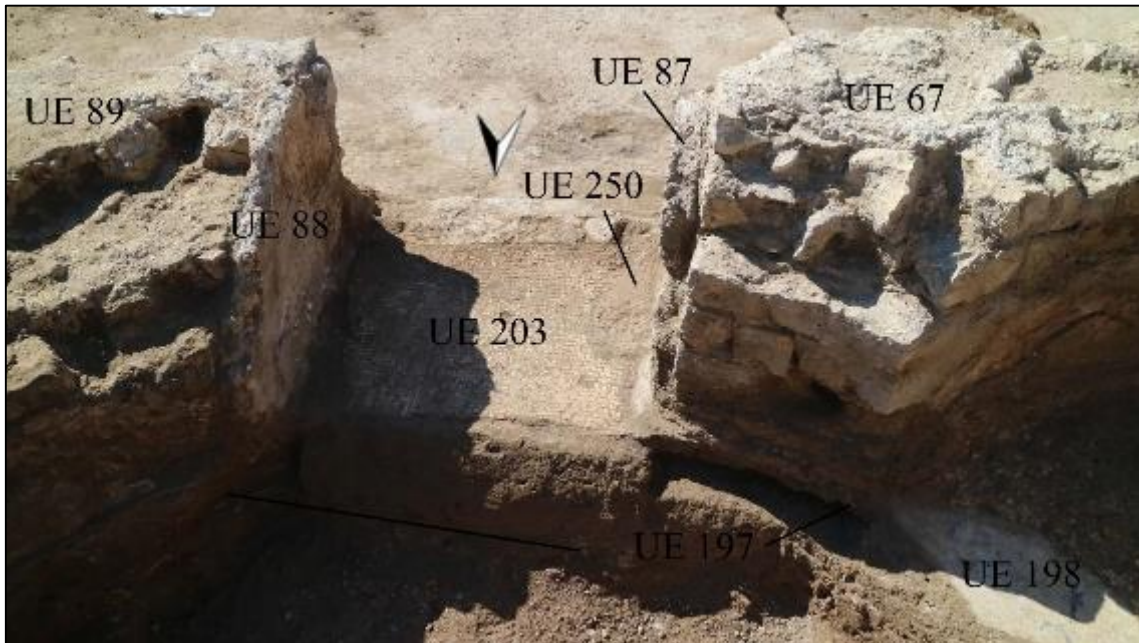


Fig. 44. Vista en detalle del mosaico de UE 198

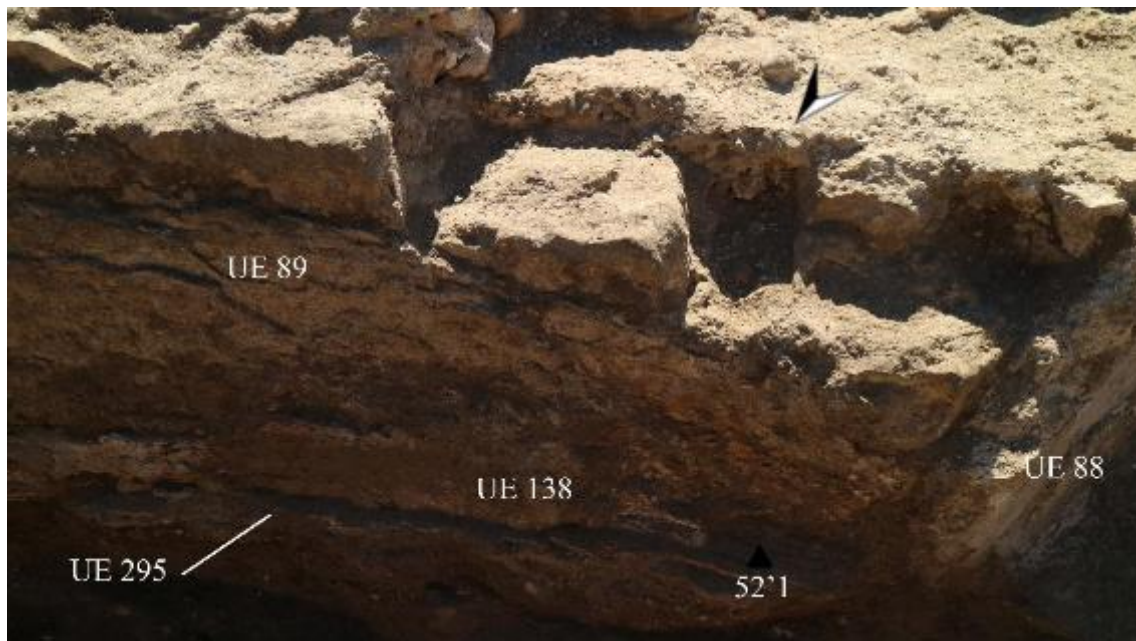
La remoción de **UE 199** proporcionó otro fragmento de pavimento de mosaico, en esta ocasión monocromo blanco. Nos referimos a la **UE 203**. Aunque está parcialmente cubierto por el umbral de **UE 135** -lo que denota que hay una fase posterior con otro nivel de suelo, que podría relacionarse por cota con los restos de pavimento de *opus signinum* de **UE 160**- se encuentra a la misma cota que **UE 198**. Es más que probable, por tanto, que ambos formen parte de un mismo nivel de pavimento.

Con el fin de facilitar la documentación del pavimento de mosaico de **UE 203** decidimos retirar el umbral de **UE 135**. Bajo el mismo encontramos una pequeña estructura cuadrangular -**UE 250**- orientada en sentido N-S y realizada en *opus signinum*. Se asienta directamente sobre el pavimento de mosaico de **UE 203**, apoyándose en la cara W del muro de **UE 67**. Hemos interpretado que debió formar parte del vano que comunica al A25 con el A28. Apoyándose en su cara E y cubriendo al mosaico de **UE 203** encontramos un fino estrato de tonalidad amarillenta y textura arenosa -**UE 252**- sobre el que se asentaba el umbral **UE 135**.

Todavía localizamos más vestigios del antiguo pavimento de mosaico que fue destruido por la fosa de **UE 197**. Efectivamente, detectamos restos de un mosaico monocromo blanco que arrancan de la cara W del muro **UE 89**. Fueron registrados como **UE 295**.



*Fig. 45. Vista en detalle del vano pavimentado en mosaico de UE 203*



*Fig. 46. Vista en detalle de los restos de pavimento de mosaico de UE 295*

---

El desmonte del nivel de piedras **UE 109**, localizado entre los muros de **UUEE 73** y **113**, nos llevó a descubrir un nivel de paso que comunica al A28 con otra estancia adyacente, al N de la misma. Dicho nivel estaba formado por dos UUEE:

- **UE 164.** Nivel horizontal de ladrillos situado entre los muros de **UUEE 113** y **73**. Cubierto por **UE 163**. Sus dimensiones -0'8 x 0'4 m- y su ubicación llevaron a interpretarlo como la base de un vano que comunica al A28 con el A29, situado inmediatamente al N del primero.
- **UE 163.** Capa de *opus signinum* que cubre parcialmente a nivel de ladrillos de **UE 164**. Formaría parte del mismo vano. Ambos estaban cubiertos por la acumulación de piedras de **UE 109**.
- 

También pudimos comprobar que el pavimento del A28 había sido dañado por una fosa -**UE 197**-. Salvo en un par de casos puntuales -como queda patente con **UUEE 198** y **203**- el mosaico que pavimentaba el interior del A28 fue destruido, recortado prácticamente a ras de los muros por la fosa de **UE 197**. Lo que encontramos por tanto al exhumar el paquete estratigráfico de **UE 162** son las capas superficiales del relleno de esta gran fosa:

- **UE 196.** Estrato de tonalidad amarillenta y textura granulosa, dispuesto en un ligero talud que desciende en sentido E-W. Se sitúa en el extremo NW del A28, apoyándose contra la exedra del muro de **UE 3304**, contra el muro de **UE 73** y el vano de **UE 163** así como contra el muro de **UE 113**.
- **UE 210.** Estrato de tonalidad parda situado en el ángulo NW del A28, apoyándose contra los muros de **UUEE 89** y **113**.
- **UE 202.** Estrato de tierra que ocupa buena parte de la superficie interna del A28, abarcando todo su extremo S. Se le apoyan las **UUEE 196** y **210**. Se trata de un estrato caracterizado por una densidad alta de restos de materia orgánica y de fragmentos de cerámica.

La excavación y retirada de estas tres UUEE que colmatan la parte más superficial de la fosa **UE 197** nos llevaron a descubrir su relleno original, que fue registrado como **UE 221**. Es un nivel de tierra de tonalidad parda y tendencia horizontal que ocupa todo el interior del A28. Entre sus componentes destaca particularmente la elevada presencia de teselas de mosaico, procedentes de la rotura del pavimento.

Este nivel está cortado por una zanja -**UE 222**- orientada en sentido W-E que fue realizada en el extremo E del A28, prácticamente contra el muro de **UE 89**. Está rellena por **UE 223**, un estrato de tierra de textura arcillosa y tonalidad marrón oscuro. Varios restos de estructuras -algunas *pilae* de un hipocausto- sobresalían de entre la **UE 221**, por lo que deducimos que se trata del nivel de relleno antiguo, relacionado con la rotura del pavimento de mosaico.



Fig. 47. Planta estratigráfica de las UUEE 221 y 223

A la remoción de la **UE 223** le siguió la del relleno de **UE 221**. El resultado no fue otro que la documentación de, tal y como habíamos adelantado, un hipocausto. Registramos una serie de *pilae* de ladrillos besales cuya colocación se realizó atendiendo a una retícula. Empleamos un código que combina letras (filas) y números (columnas) para referenciar la ubicación de cada una de ellas:

- **UE 255.** *Pila* de ladrillos circulares que ocupa la posición A1 de la retícula.
- **UE 236.** *Pila* de ladrillos circulares que ocupa la posición B4 de la retícula.
- **UE 251.** *Pila* de ladrillos circulares que ocupa la posición B3 de la retícula
- **UE 237.** *Pila* de ladrillos circulares que ocupa la posición B2 de la retícula.
- **UE 256.** *Pila* de ladrillos circulares que ocupa la posición B1 de la retícula.
- **UE 238.** *Pila* de ladrillos besales cuadrados que ocupa la posición C5 de la retícula.
- **UE 239.** *Pila* de ladrillos besales cuadrados que ocupa la posición C4 de la retícula.
- **UE 240.** *Pila* de ladrillos besales cuadrados que ocupa la posición C3 de la retícula.
- **UE 257.** *Pila* de ladrillos besales cuadrados que ocupa la posición C2 de la retícula.
- **UE 241.** *Pila* de ladrillos besales cuadrados que ocupa la posición C1 de la retícula.
- **UE 242.** *Pila* de ladrillos besales cuadrados que ocupa la posición D5 de la retícula.
- **UE 260.** *Pila* de ladrillos besales cuadrados que ocupa la posición D4 de la retícula.
- **UE 243.** *Pila* de ladrillos besales cuadrados que ocupa la posición D3 de la retícula.
- **UE 267.** *Pila* de ladrillos besales cuadrados que ocupa la posición D2 de la retícula.
- **UE 268.** *Pila* de ladrillos besales cuadrados que ocupa la posición D1 de la retícula.
- **UE 259.** *Pila* de ladrillos besales cuadrados que ocupa la posición E6 de la retícula.
- **UE 244.** *Pila* de ladrillos besales cuadrados que ocupa la posición E5 de la retícula.
- **UE 245.** *Pila* de ladrillos besales cuadrados que ocupa la posición E4 de la retícula.
- **UE 246.** *Pila* de ladrillos besales cuadrados que ocupa la posición E3 de la retícula.
- **UE 269.** *Pila* de ladrillos besales cuadrados que ocupa la posición E2 de la retícula.
- **UE 270.** *Pila* de ladrillos besales cuadrados que ocupa la posición E1 de la retícula.
- **UE 247.** *Pila* de ladrillos besales cuadrados que ocupa la posición F3 de la retícula.
- **UE 248.** *Pila* de ladrillos besales cuadrados que ocupa la posición F2 de la retícula.
- **UE 249.** *Pila* de ladrillos besales cuadrados que ocupa la posición F1 de la retícula.

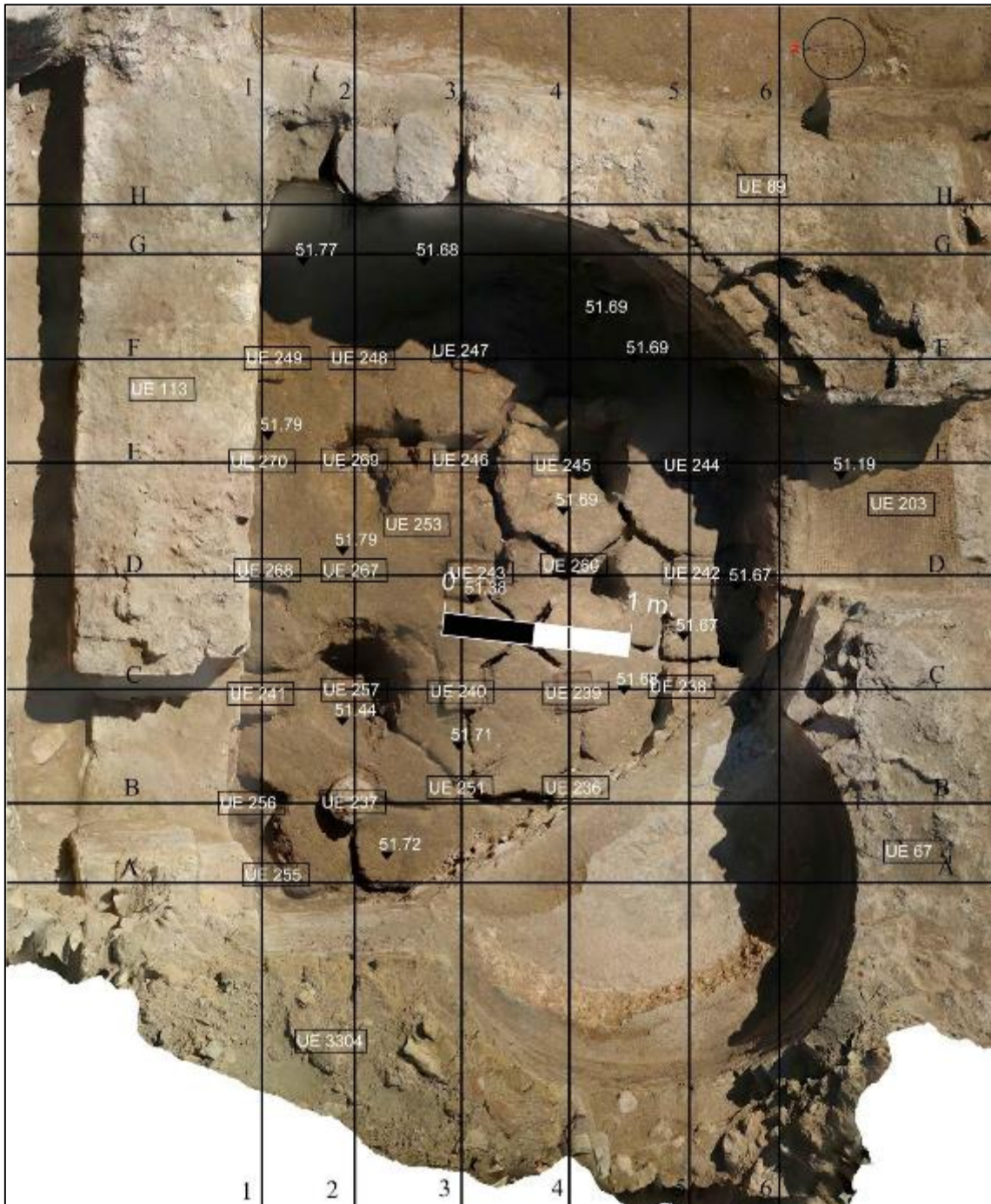
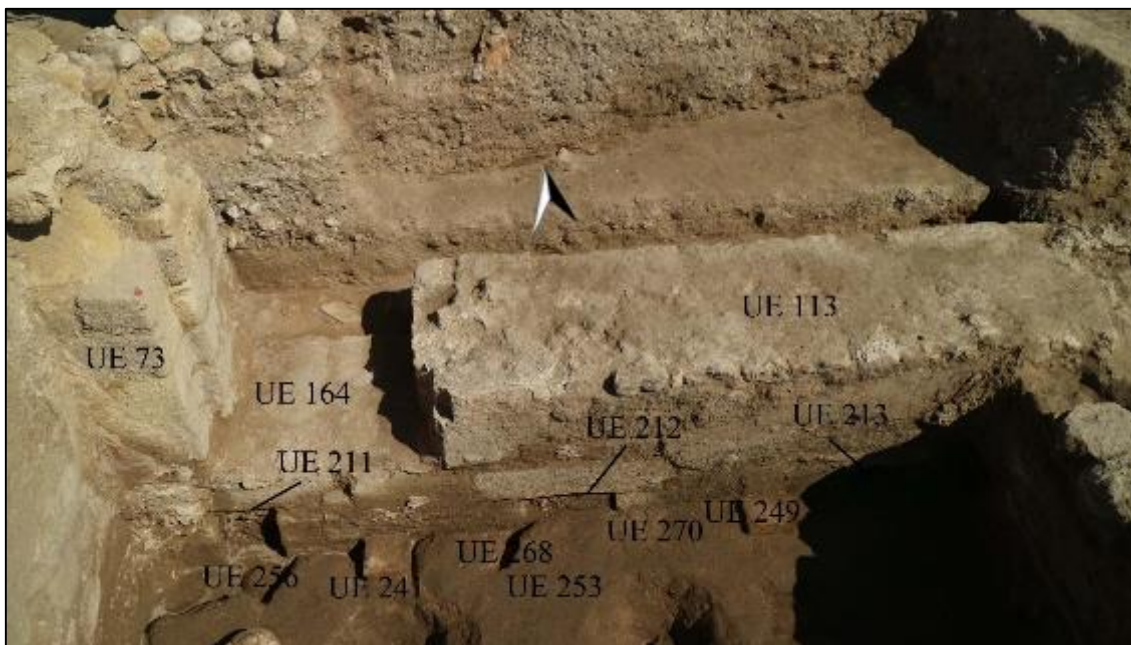


Fig. 48. Planta estratigráfica de la UE 253 y de parte de las pilae del hipocausto

Colmatando el espacio entre las *pilae* identificamos un último nivel: UE 253. Se trata de una tierra arcillosa de tonalidad cenicienta que interpretamos como la colmatación natural derivada del uso de la calefacción de la estancia.

Además, hallamos tres oquedades rectangulares que se abren en la cara S del muro de **UE 113**, comunicando el subsuelo del A28 con el A29. Dichas aperturas se realizaron durante la propia construcción del muro. Una de ellas -**UE 211**- está situada en el extremo N del muro. Otra de ellas -**UE 212**- ocupa su parte central mientras que **UE 213** hace lo propio con el extremo S de **UE 113**.



*Fig. 49. Vista en detalle de las aperturas de UEE 211, 212 y 213*

Además de las *pilae* ya documentadas registramos otras que emergen de este nuevo nivel:

- **UE 275.** *Pila* de ladrillos besales cuadrados que ocupa la posición F4 de la retícula.
- **UE 276.** *Pila* de ladrillos circulares que ocupa la posición G4 de la retícula.
- **UE 277.** *Pila* de ladrillos circulares que ocupa la posición G3 de la retícula.
- **UE 278.** *Pila* de ladrillos circulares que ocupa la posición G2 de la retícula.
- **UE 279.** *Pila* de ladrillos circulares que ocupa la posición G1 de la retícula.
- **UE 280.** *Pila* de ladrillos circulares que ocupa la posición H2 de la retícula.
- **UE 281.** *Pila* de ladrillos circulares que ocupa la posición H1 de la retícula.

Una vez excavamos la **UE 253** alcanzamos finalmente el fondo del hipocausto, que fue registrado como **UE 282**. Este pavimento de *opus signinum* sirve de asiento a todas las

*pilae* del hipocausto. El conjunto de *pilae* fue reunido dentro del Grupo de Unidades - GU- 294.

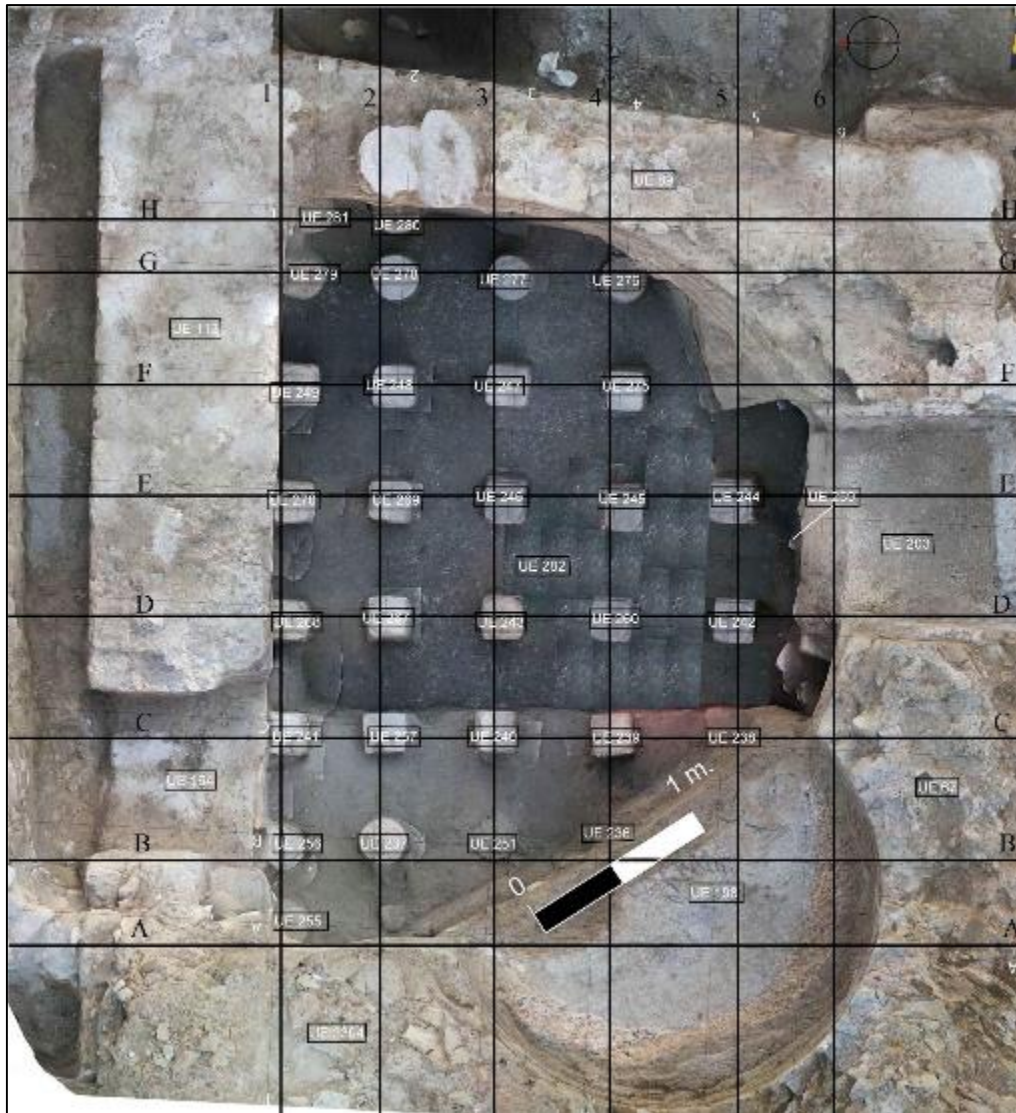


Fig. 50. Vista del hipocausto del A28 tras finalizar su excavación

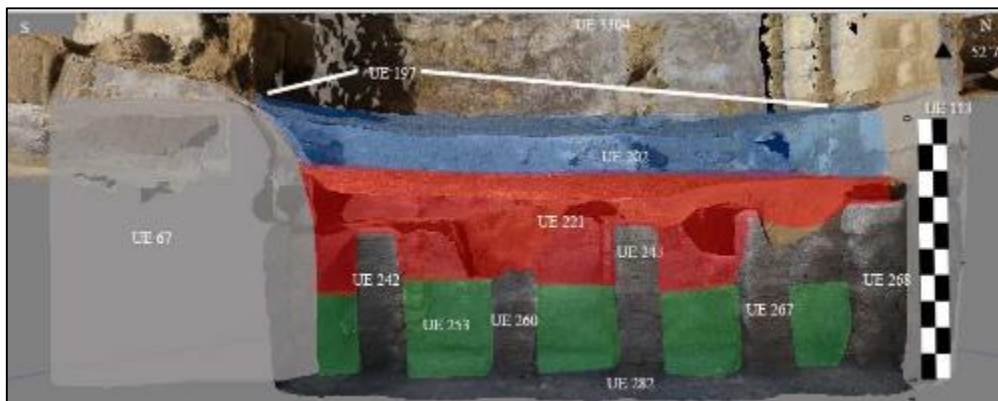


Fig. 51. Sección de la fosa de UE 197 y de sus rellenos

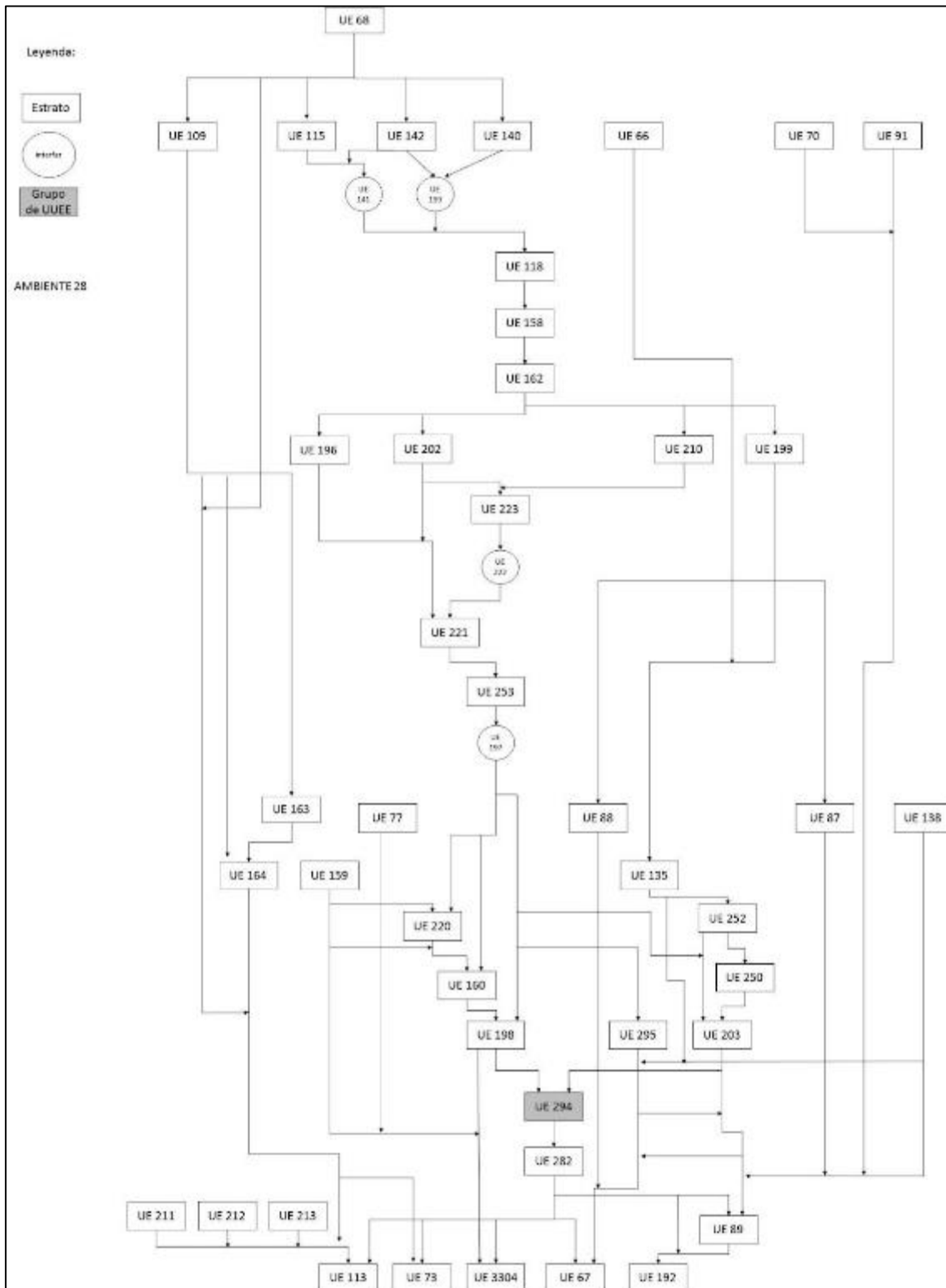
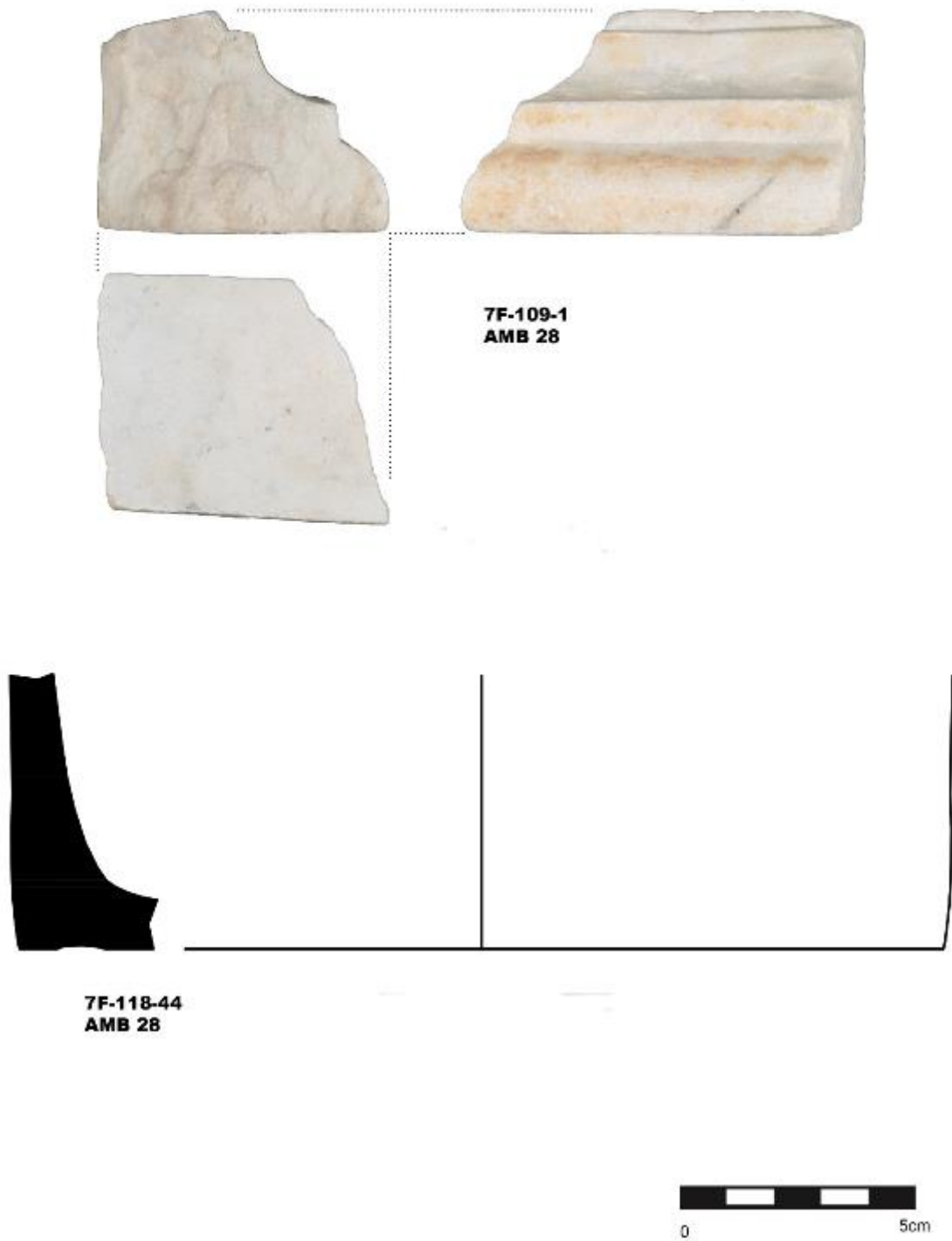


Fig. 52. Diagrama estratigráfico correspondiente al A28



*Fig. 53. Lámina con dibujos de materiales arqueológicos aparecidos en el A28*

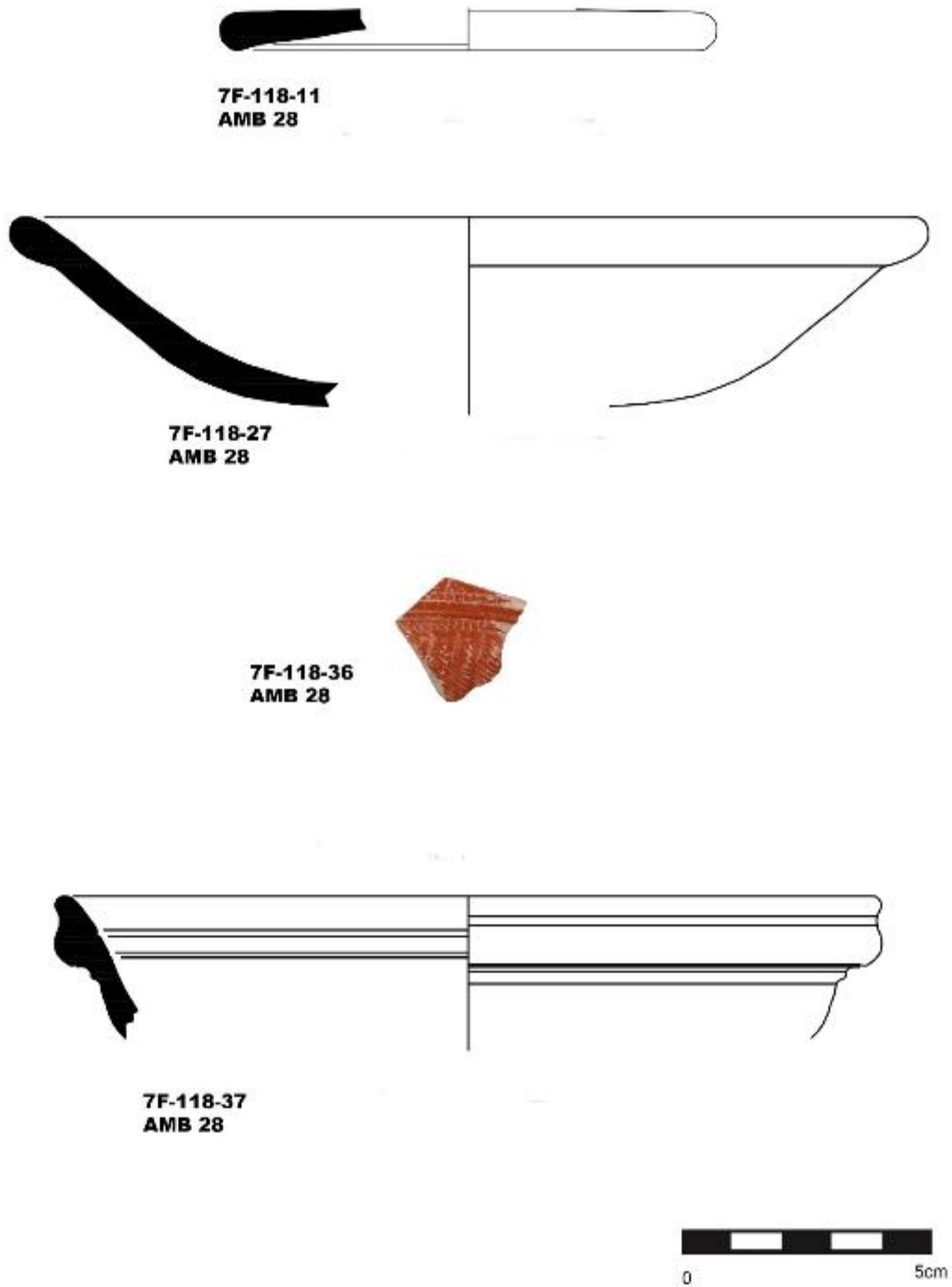


Fig. 54. Lámina con dibujos de materiales arqueológicos aparecidos en el A28

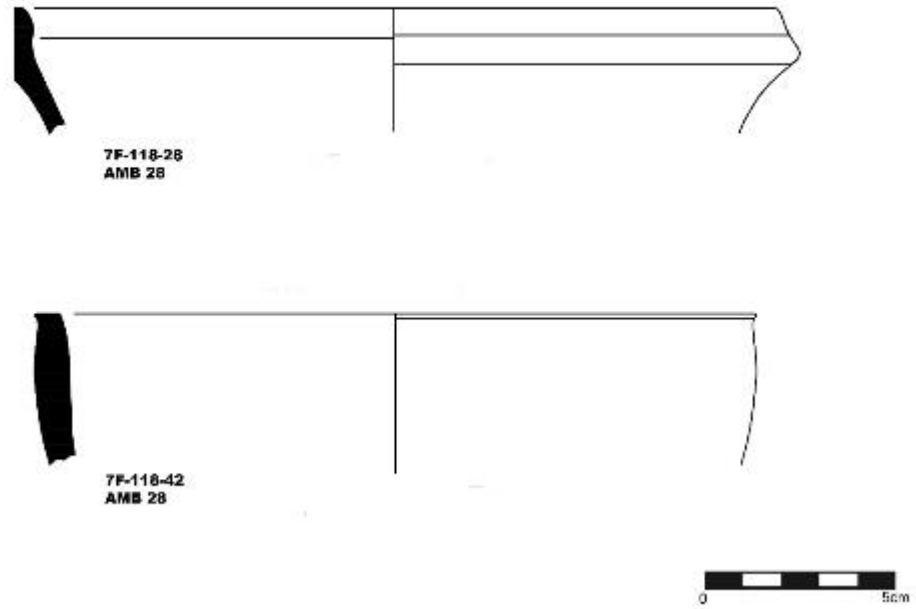


Fig. 55. Lámina con dibujos de materiales arqueológicos aparecidos en el A28

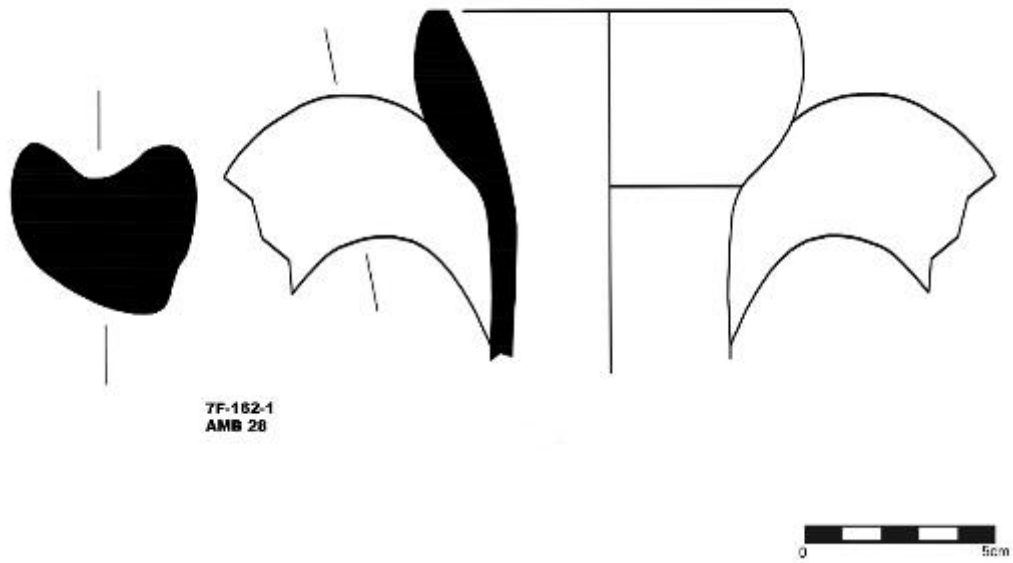
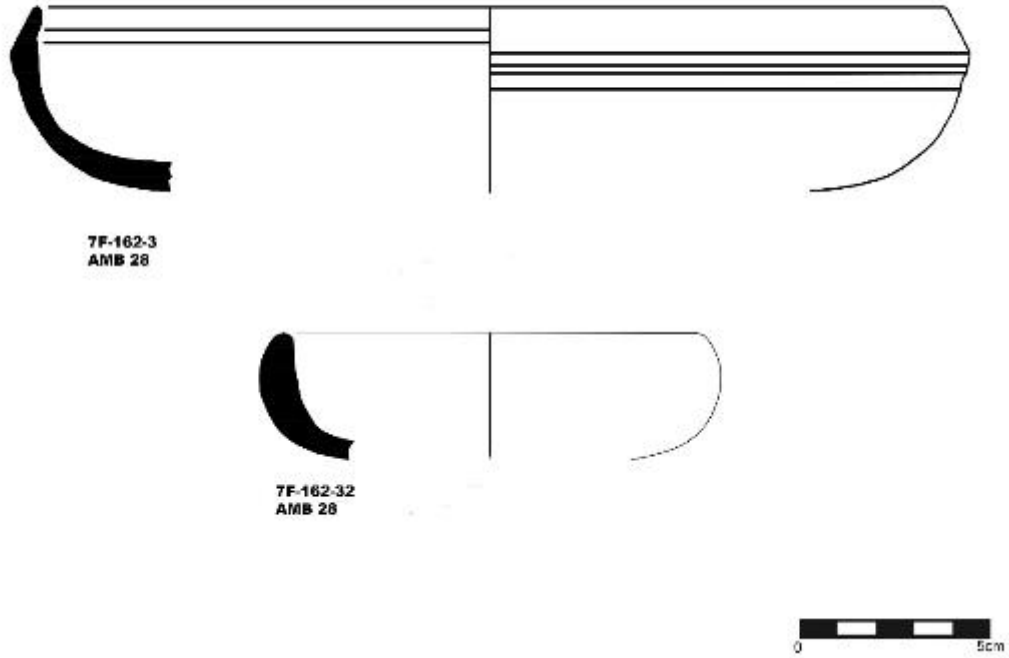
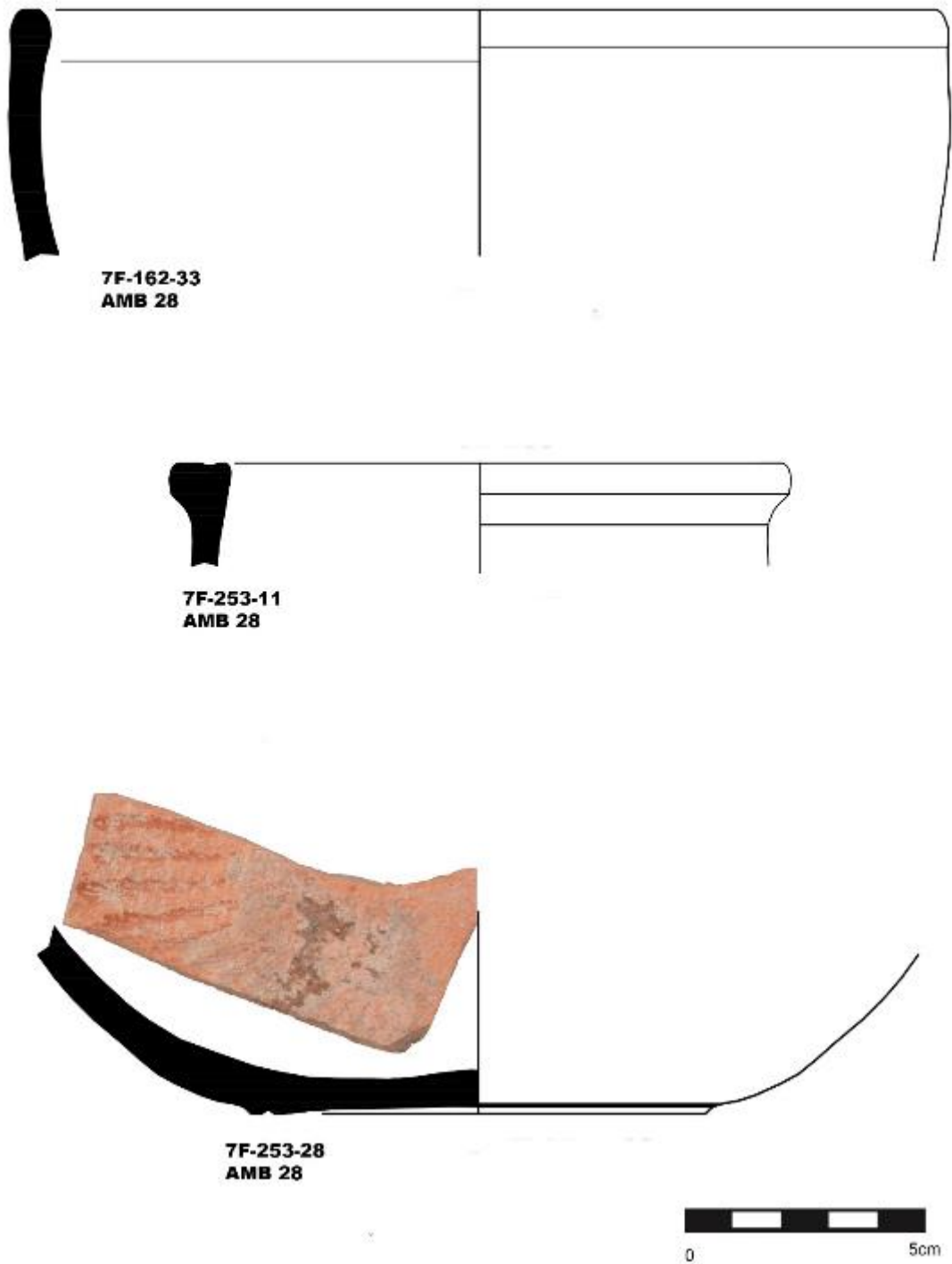


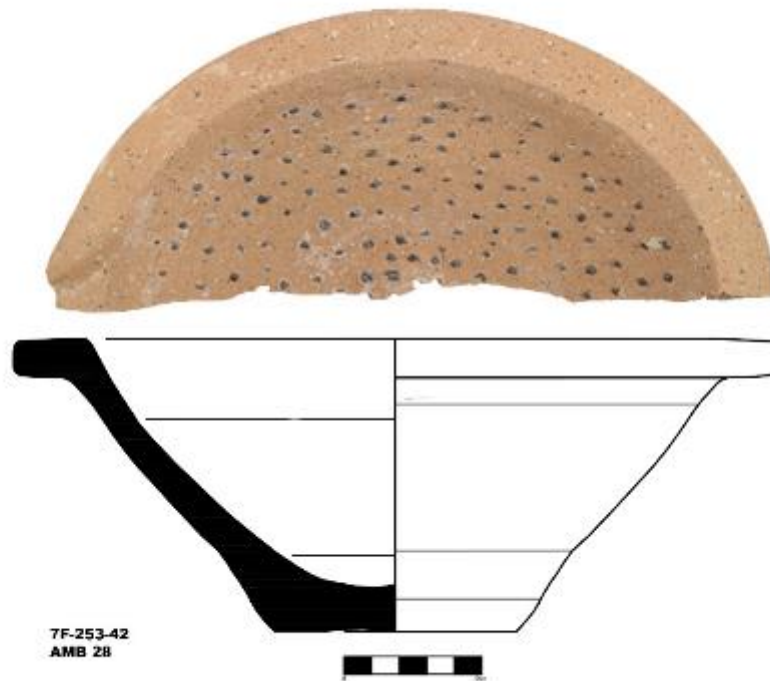
Fig. 56. Lámina con dibujos de materiales arqueológicos aparecidos en el A28



*Fig. 57. Lámina con dibujos de materiales arqueológicos aparecidos en el A28*

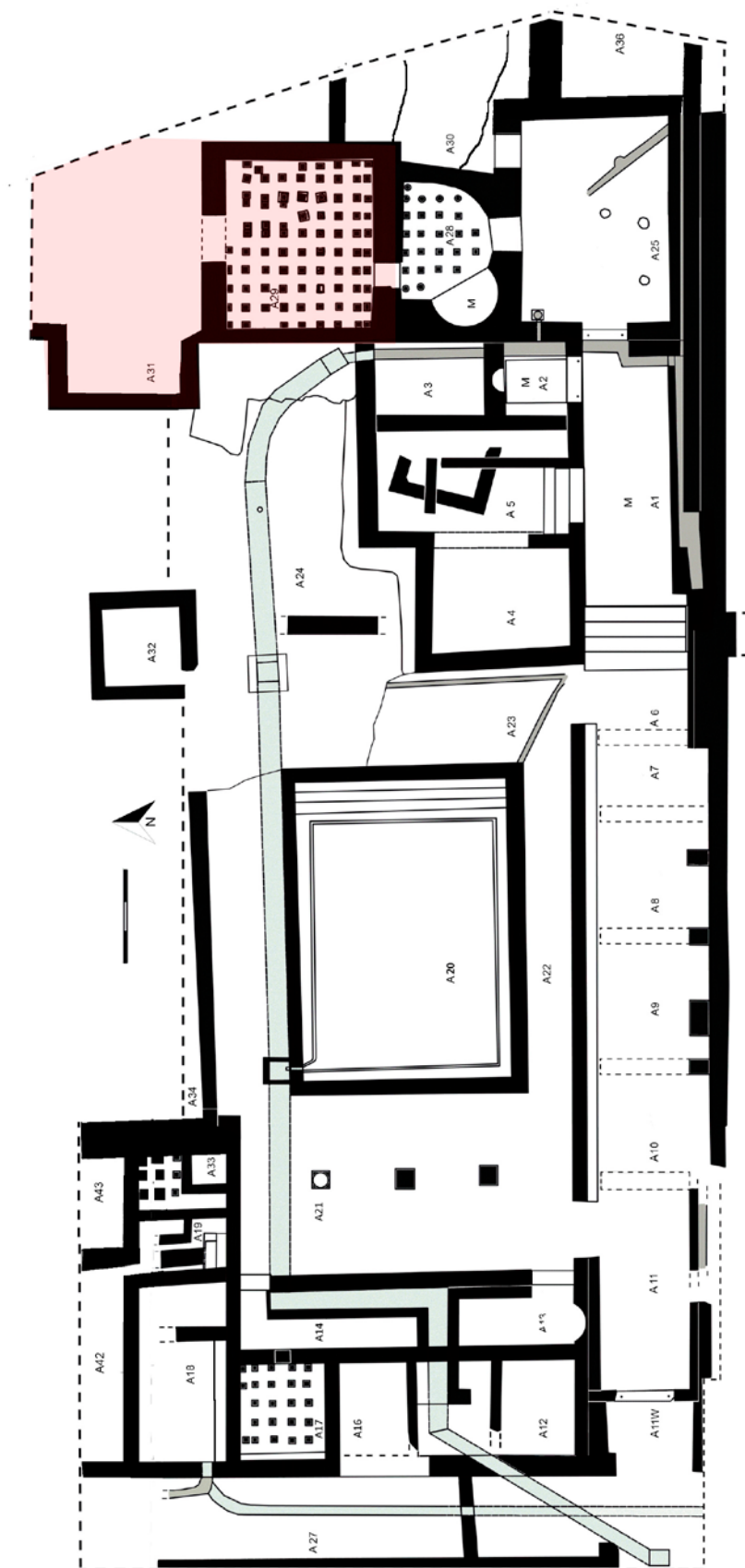


*Fig. 58. Lámina con dibujos de materiales arqueológicos aparecidos en el A28*



*Fig. 59. Lámina con dibujos de materiales arqueológicos aparecidos en el A28*

## 7. SOBRE AMBIENTES 29 Y 31



El perfil N provisional divide la parte excavada de este Sector de la que todavía estaba pendiente de intervenir. Se trata de una amplia explanada en forma de “L”, con un brazo largo orientado N-S que mide aproximadamente 7 x 6 m y otro corto, en sentido E-W, de 3 x 2’2 m. Ambos están cubiertos por una capa superficial -UE 1- compuesta por tierra de tonalidad parda, piedras y gravas. Aunque durante el proceso de excavación recuperamos materiales arqueológicos, su presencia era escasa. La cota superior de esta capa oscilaba entre los 53’78 y los 54’18 m (s.n.m.), de tal modo que generaba un nivel de tendencia horizontal.



*Fig. 60. Vista general de la explanada cubierta por UE 1 localizada sobre los A29 y 31.*

*El perfil N está destacado en rojo*

Las actividades arqueológicas se concentraron, en un primer momento, en el brazo largo de la “L”, tarea que se vio dificultada por la presencia de un algarrobo.

El tramo de red hidráulica de GU 23



*Fig. 61. Planta estratigráfica con la ubicación de la acequia GU 23*

La remoción de la capa superficial **-UE 1-** facilitó la documentación de niveles y estructuras que ya habían sido documentados y parcialmente excavados en 2017. Detectamos, efectivamente, un nuevo tramo del trazado de la acequia **GU 23**, que proseguía su recorrido en dirección N a lo largo de 5'1 m:

- **UE 42.** Muro de mortero de cal que constituye el extremo W del canal. Su anchura, de 0'12 m, se mantiene constante a lo largo del nuevo tramo de trazado. Su altura total, desde su fundación hasta su alzado conservado es de aproximadamente 0'43 m.
- **UE 43.** Paralelo al anterior y a 0'4 m de distancia al E del mismo, registramos otro muro de idéntica composición, anchura y orientación. Se trata del extremo opuesto del canal que, en este caso, conserva una altura máxima 0'38 m.

Los dos brazales de la canalización de agua están excavados en **UE 53**, un estrato de tierra de tonalidad castaño-anaranjada y de tendencia horizontal situado bajo **UE 1** que abarca toda la superficie del corte. Fue interpretada como el suelo agrícola asociado al canal de riego de **UE 23**. Asignamos la **UE 180** al recorte practicado en el suelo **UE 53** para instalar los muros del canal. Sus paredes son el único elemento construido en este tramo de la acequia. Carece por tanto de un fondo de obra: es el propio terreno recortado entre ambos muros el que ejerce esta función. Precisamente por este motivo hemos identificado este nivel con una interfaz **-UE 57-**.

El canal estaba colmatado por un paquete de tierra disgregada de tonalidad grisácea, que corresponde a su abandono y amortización, registrada como **UE 24**.



*Fig. 62. Vista del nuevo tramo de la acequia GU 23 tras el vaciado de su relleno*



Fig. 63. Vista en detalle del nuevo tramo de la acequia GU 23 tras excavar su relleno

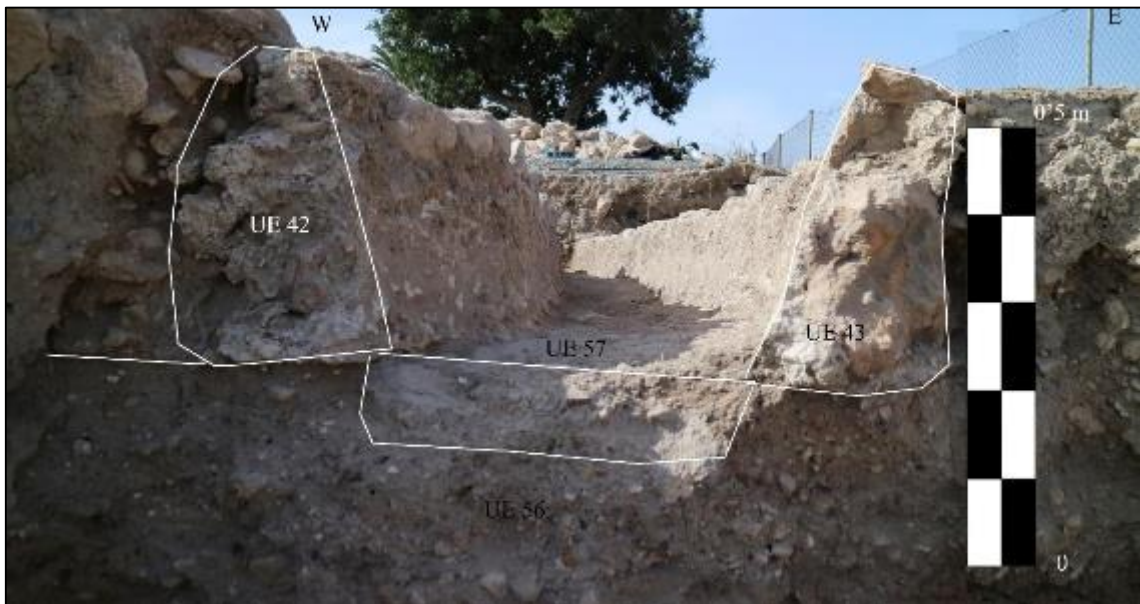


Fig. 64. Sección de la acequia GU 23 tras el vaciado de su relleno desde el perfil N



Fig. 65. Planta tras el desmonte de la acequia GU 23 y excavación de UE 53

Una vez vaciado el interior de la acequia -UE 24- y tras haber documentado esta estructura procedimos a su desmante para, a continuación, excavar el suelo agrícola -UE 53- con el que se relacionaba. Bajo esta capa encontramos un nuevo nivel de tendencia horizontal -UE 56-, compuesto por tierra de tonalidad marrón oscuro, piedras y gravas. La presencia de materiales arqueológicos era escasa. Este paquete -UE 56- corresponde a la colmatación natural del terreno sobre los niveles arqueológicos. Con su remoción detectamos parte de UE 343, un muro de orientación E-W que cierra el A29 por su extremo N y lo separa del A31.



Fig. 66. Vista del corte tras la remoción de UE 53, donde se aprecia parte del muro UE 343

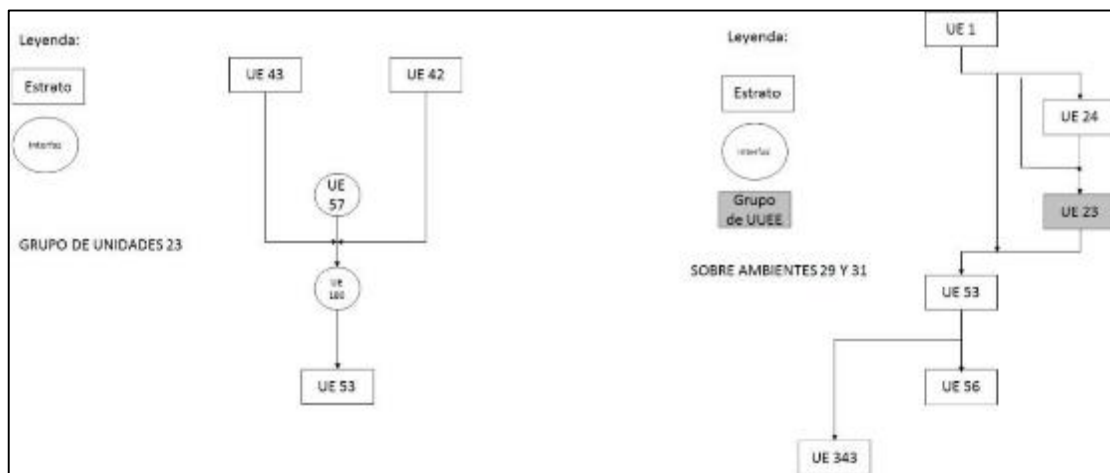
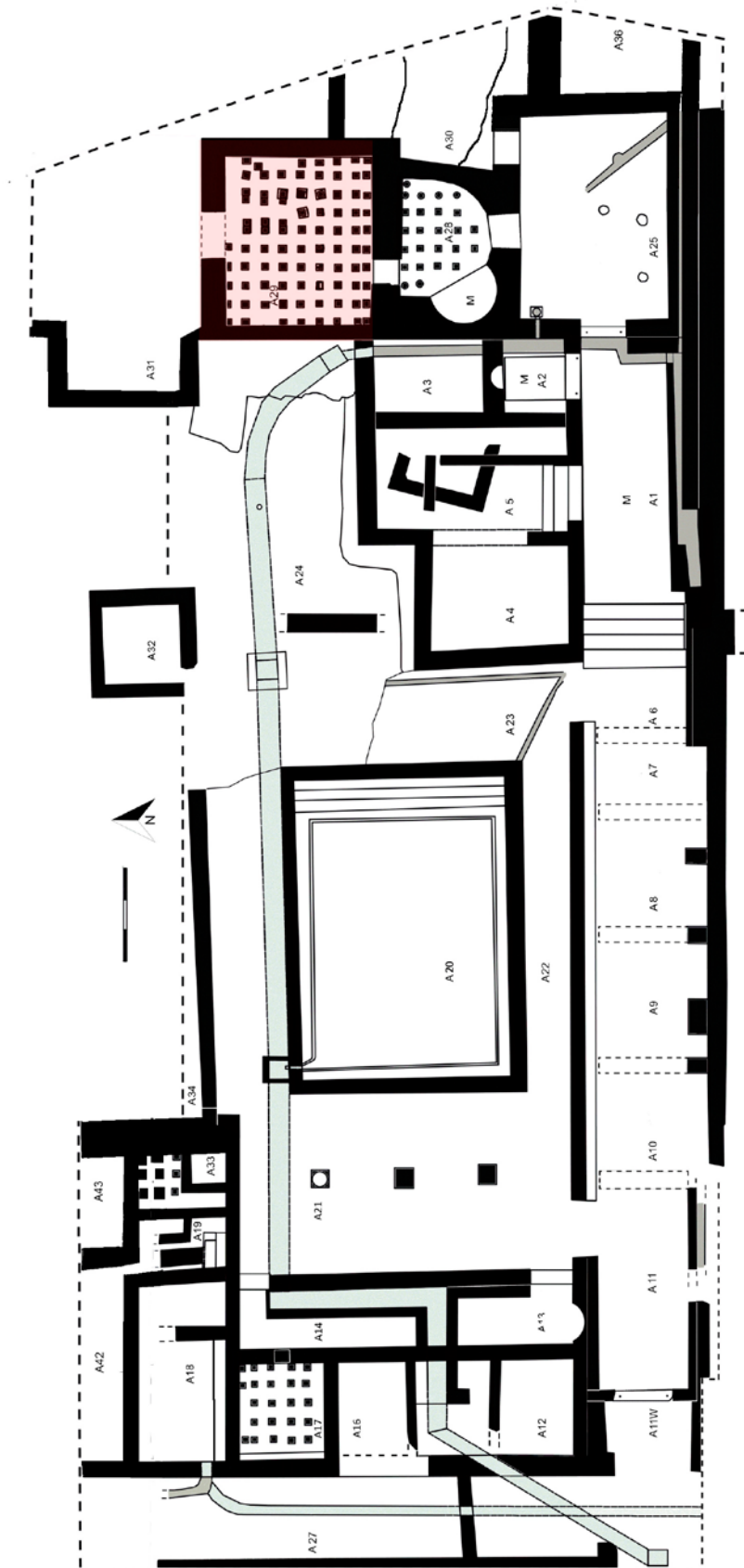


Fig. 67. Diagrama estratigráfico de la excavación realizada sobre los A29 y 31

## 8. AMBIENTE 29



## Estructuras y primeros niveles arqueológicos



*Fig. 68. Planta estratigráfica del A29 tras la retirada de la UE 56*

Se trata de una habitación cuadrangular cuyas dimensiones son de 5'4 x 4'6 m. Su extremo NE no pudo ser excavado por cuestiones logísticas: es el único paso habilitado en el Sector Oriental para la retirada de tierras procedentes de la excavación. Las estructuras que lo delimitan son:

- **UUEE 3304, 73 y 113**, que constituyen el límite S. Entre los dos últimos -**UUEE 73 y 113**- se abre un vano formado por las **UUEE 163 y 164**, que facilita la comunicación con el A28. El primero -**UE 3304**- es un gran muro de mampuestos de pequeño tamaño trabados con mortero de cal, orientado en sentido N-S. Mide 5'3 m de longitud y su anchura es variable. En su punto más ancho alcanza los 0'8 m. En cuanto a **UE 73**, es una estructura en forma de "L"

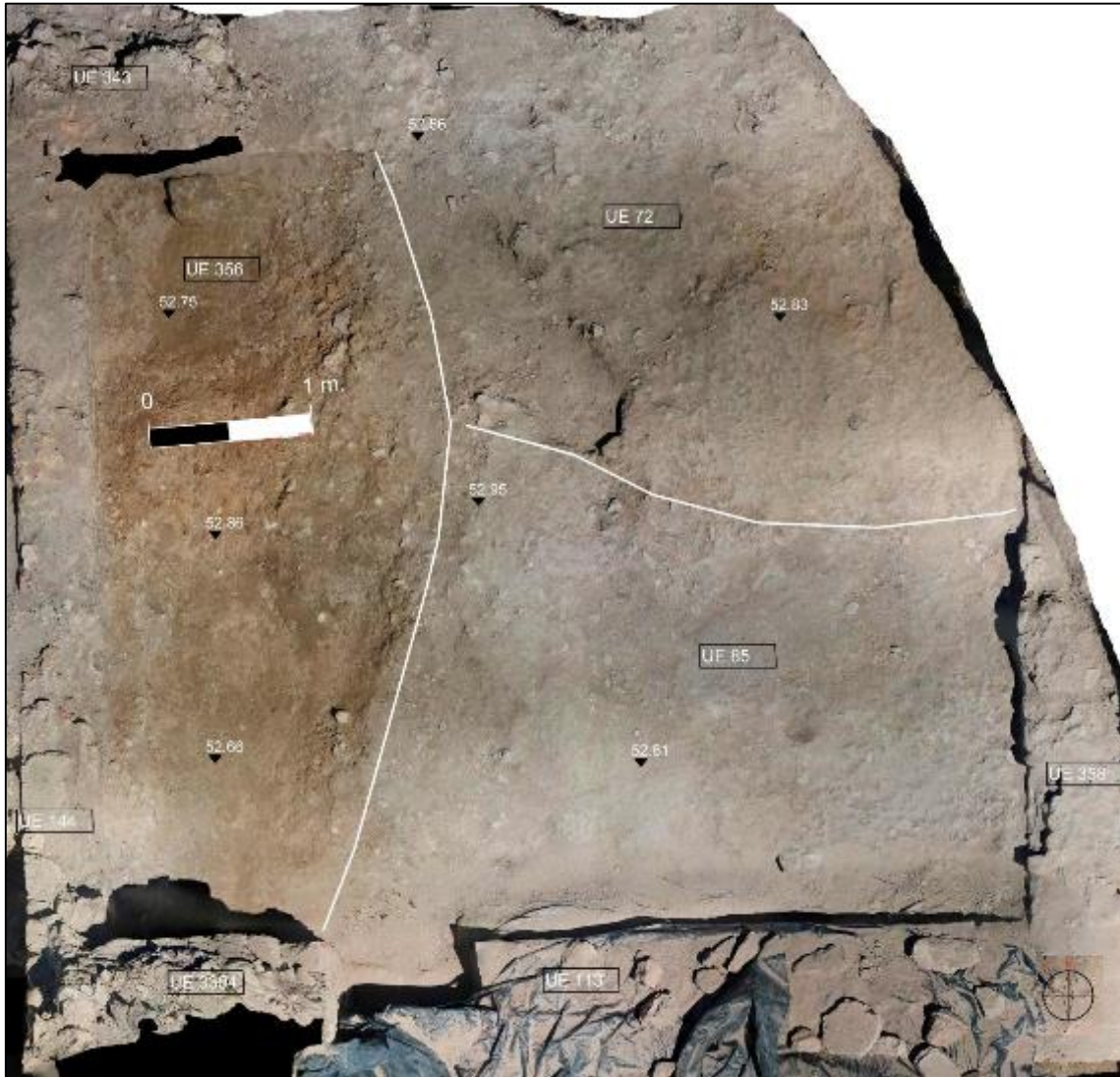
donde su brazo largo -orientado N-S- mide 0'6 m y el corto 0'3 m. Arranca desde la cara E del muro **UE 3304** y está compuesta de mampuestos de pequeño tamaño trabados con mortero de cal. En último lugar tenemos al muro **UE 113**, que presenta el mismo aparejo. Está ligeramente orientado en sentido NW-SE y sus dimensiones son 3'7 x 0'85. Su cara W es el otro vano de acceso al A.

- **UE 144**, su límite W. Arranca de la cara N del muro **UE 3304**, más concretamente de su extremo W, formando un ángulo recto. Mide 4'6 x 0'42 m y está formado por mampuestos trabados con mortero de cal.
- **UE 358**, que cierra la estancia por su lado W y la separa del A30. Forma ángulo recto con el muro **UE 144**, con el que traba y comparte aparejo. Aunque sus dimensiones completas son de 5'4 x 0'6 m faltan por sacar a la luz 0'9 m de su tramo oriental.
- **UE 343** y **479**, dos tramos del mismo muro que constituyen el extremo N del A y que marca la línea divisoria frente al A31. Están separados por la fosa del algarrobo -**UE 400**-, que parte en dos su recorrido. Su anchura es de 0'52 m. No se pudo documentar parte de su trazado -que completo mide 4'6 m- ya que, tal y como ocurre con **UE 358**, parte de este muro está situado en una zona del A donde no se ha podido intervenir arqueológicamente por cuestiones logísticas de la excavación. Traba con los muros **UUEE 113** y **343**.

Tal y como cabía esperar, la apertura de todo el A permitió, tras retirar **UE 56**, proseguir con la documentación de una serie de estratos ya conocidos:

- **UE 85**. Nivel de tierra de tendencia horizontal con una elevada presencia de mortero disgregado y de fragmentos de enlucido parietal, localizado en la parte occidental del A.
- **UE 72**. Nivel de tendencia horizontal y tonalidad naranja a causa de la presencia de ladrillo y adobes -o tapial- disgregados.
- **UE 99**. Estrato arenoso, muy disgregado, de tonalidad castaña que rellena a la fosa **UE 98**.
- **UE 98**. Recorte practicado en **UUEE 85** y **72**, relleno por **UE 99**.

En el extremo N de la estancia identificamos un nuevo estrato que no había sido identificado con anterioridad. Nos referimos a **UE 351**, un nivel de tierra muy disgregada de tonalidad grisácea que rellena a una fosa **-UE 350-**.



*Fig. 69. Planta estratigráfica del A30 tras vaciar las fosas de UUEE 98 y 350*

Una vez delimitadas estas fosas **-UUEE 98 y 350-** retiramos sus respectivos rellenos dejando visibles en superficie únicamente los estratos **UUEE 72 y 85** en la práctica totalidad de la estancia salvo en su extremo occidental.

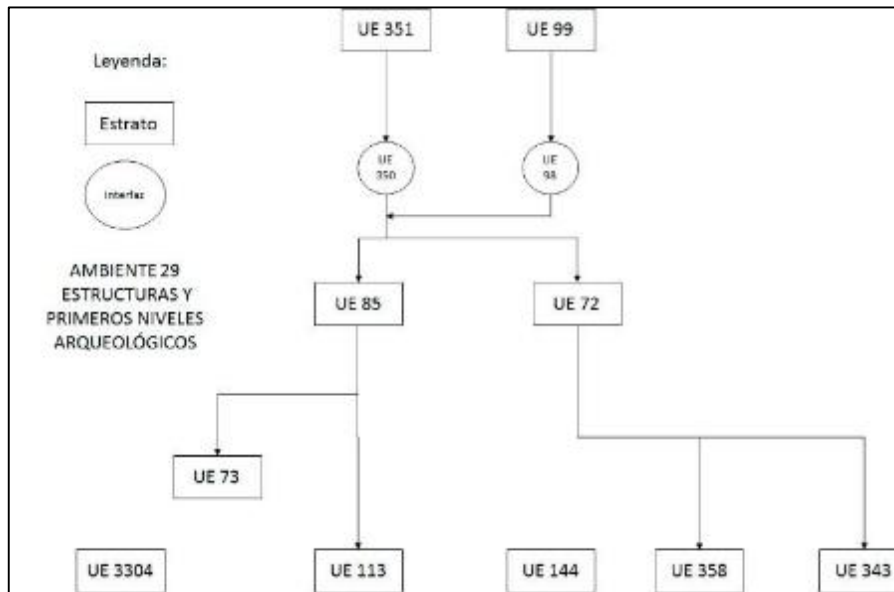


Fig. 70. Diagrama estratigráfico de las estructuras y niveles superficiales del A29

#### Limpieza del extremo N del muro UE 3304

Antes de continuar con la excavación estratigráfica del A29 optamos por intervenir en su extremo W. El muro de **UE 3304** finalizaba su trazado hacia el N tras formar ángulo recto con la estructura **UE 73**. Quedaba pendiente definir este extremo del corte, que había quedado separado del resto de la estancia por el canal de la acequia **GU 23**.

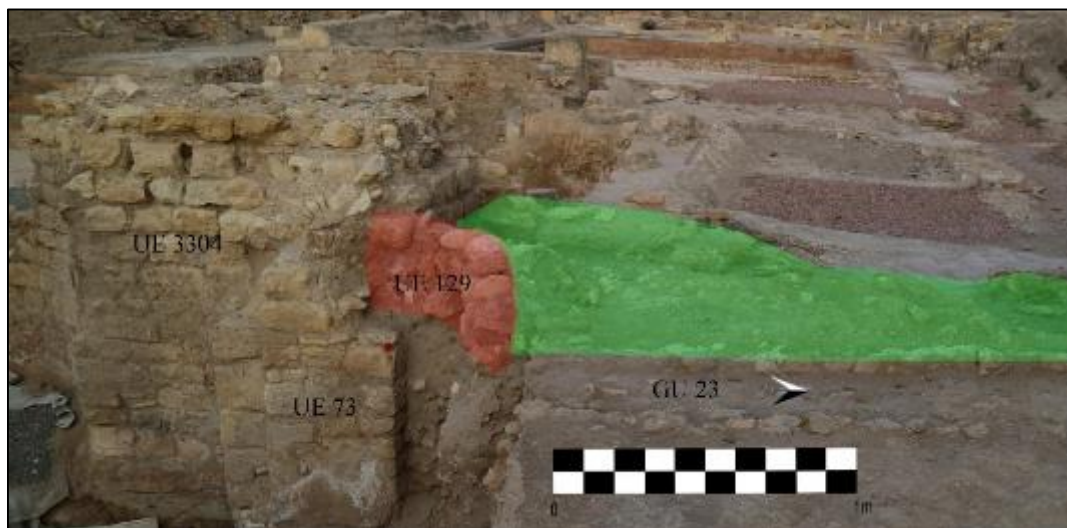


Fig. 71. Vista de la zona donde se practicó la limpieza. Distinguimos los muros de UUEE 3304 y 73, así como la acequia de GU 23. Destacamos en rojo la estructura UE 129 y marcamos de verde el resto del área de intervención



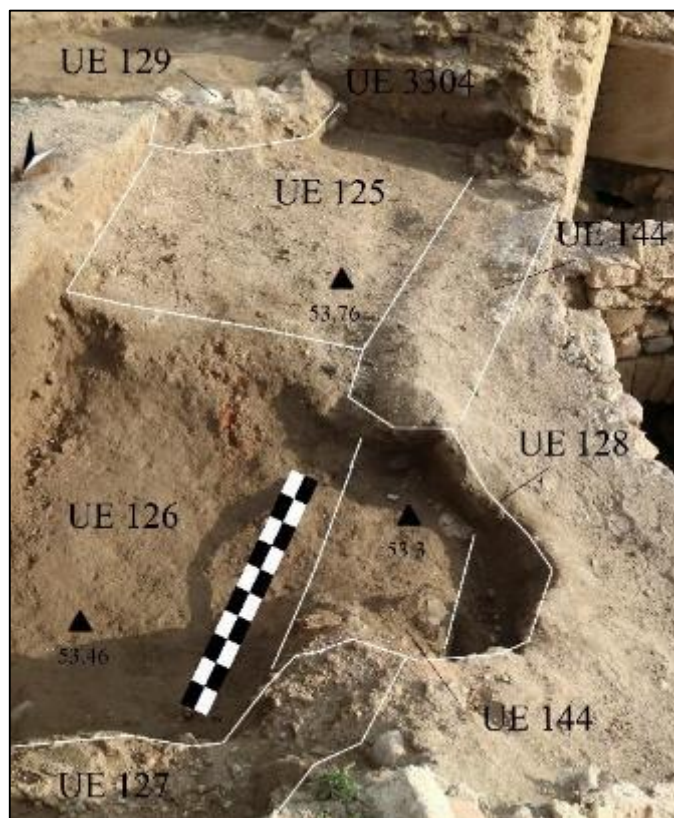
*Fig. 72. Vista en detalle del nivel de derrumbe UE 123*

Este muro -**UE 3304**- definía una cara en el N. Apoyada contra ella y extendiéndose en sobre una superficie de 5 x 1'4 m (el espacio existente entre el extremo W del A29 y la acequia de **GU 23**), documentamos un cúmulo de tierra y de abundantes piedras dispuestas en un talud descendente en sentido S-N. Interpretado como parte del colapso del muro, fue registrado como **UE 123**. Su remoción sacó a la luz nuevas UUEE:

- **UE 129**. Estructura de piedras desbastadas de tamaño mediano (0'2 m de lado) dispuestas en una hilera de anchura y dos de altura, formando un cuarto de circunferencia. Su extremo W se apoya directamente en la cara N del muro **UE 3304**, mientras que su extremo E hace lo propio en el muro de acequia de **UE 42**. Al igual que la acequia, se asienta en **UE 53**. Fue interpretado como algún tipo de estructura posterior a la construcción de la acequia de finales del siglo XIX, probablemente relacionada con ella.
- **UE 125**. Capa de tierra de tonalidad castaña clara que se apoya contra las estructuras **UUEE 3304** y **129**.
- **UE 127**. Nivel de tierra de tendencia horizontal de tonalidad castaño, con presencia de gravas y de mortero disgregado.
- **UE 128**. Recorte del terreno practicado en el nivel situado bajo **UE 123**, ocupando el espacio central de la superficie a la que cubre este derrumbe. Recorta a **UUEE 125** y **127**. No se pudieron hallar sus límites E y W -el primero fue cortado por la

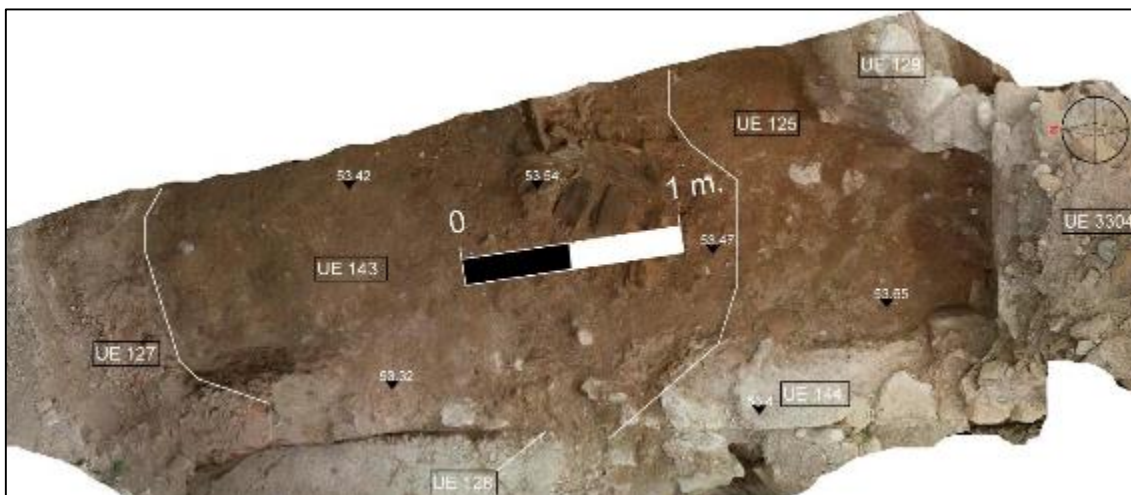
construcción de la acequia de **GU 23** y el segundo fue excavado en las campañas 1998-2000-, tal y como exponemos en el apartado correspondiente al A24.

- **UE 126.** Estrato de tierra de tonalidad cenicienta que rellena a la fosa de **UE 128**.



*Fig. 73. Vista en detalle del proceso de excavación de la fosa UE 128 con la remoción parcial de su relleno superficial, UE 126. Se aprecian sus efectos en el muro UE 144*

Una vez desmontada la estructura de **UE 129** iniciamos la excavación de los distintos niveles detectados en superficie. La remoción de las **UE 126** desveló que toda la superficie de esta área estaba cubierta por un nivel de tierra de tonalidad gris -**UE 143**-, con presencia de restos de enlucidos y de materiales arqueológicos. También sacó a la luz a un muro de orientación N-S que traba con la cara N del muro de **UE 3304**: **UE 144**. Se trata del muro que delimita el A29 en su extremo W. Detectamos un recorte en la parte central de su trazado, que coincide con la disposición de **UUEE 143** y **126**. Interpretamos, por tanto, que **UE 143** formaba parte del relleno de la fosa **UE 128**.



*Fig. 74. Planta estratigráfica de la fosa UE 128 tras la retirada de UE 126*

La disposición de la fosa **UE 128**, su morfología y la composición de sus rellenos nos llevaron a relacionarla con la fosa **UE 350** y su colmatación **UE 351**, ubicadas al otro lado de la acequia **GU 23**. Interpretamos que se trataba de un mismo basurero, el cual fue cortado durante la realización de la acequia.



*Fig. 75. Planta estratigráfica del extremo E del A29 tras la remoción de UE 127 y durante el proceso de retirada de UE 143*

La retirada de **UE 127** había sacado a la luz el tramo N del muro **UE 144** y su engarce con el muro **UE 343**. Bajo este nivel encontramos el mismo estrato que ya había sido documentado en el extremo N: **UE 125**. Proseguimos con el vaciado de la fosa que cortaba a este estrato -**UE 128**- mediante la retirada de su relleno inferior, **UE 143**.



Fig. 76. Planta estratigráfica del extremo W del A tras la remoción de UE 125

Finalizamos la extracción de los rellenos de la fosa **UE 128** para, inmediatamente después, comenzar a desmontar la capa a la que había recortado **-UE 125-**. Bajo la misma hallamos las siguientes UUEE:

- **UE 355.** Se trata de un estrato de tonalidad castaño claro y de textura muy disgregada situado en el extremo meridional de esta área, contra los muros **UUEE 3304 y 144.**
- **UE 356.** Paquete de tierra y material constructivo situado en el extremo septentrional del área, contra los muros **UUEE 343 y 144.**
- **UE 357.** Capa de tierra de tonalidad anaranjada, cubierta parcialmente por **UE 355.**

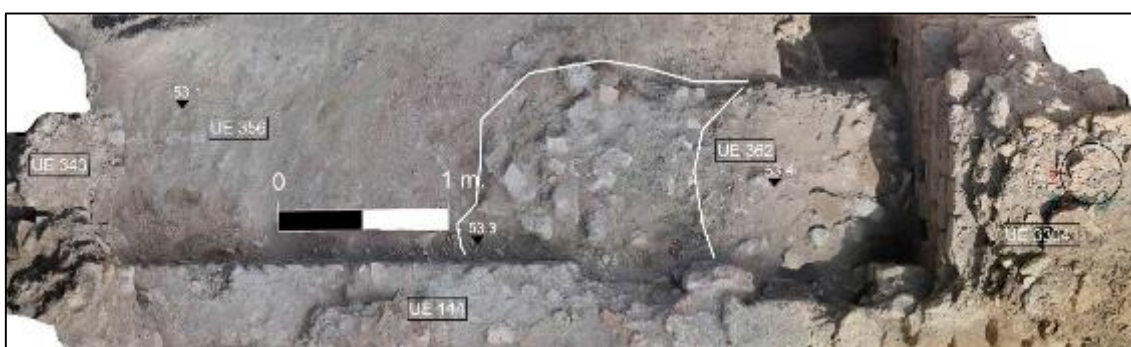


Fig. 77. Planta estratigráfica lado W del A29 tras la remoción de UUEE 355 y 357

Retiramos las capas superiores **-UUEE 355 y 357-** haciendo visible una mayor superficie del nivel **UE 356** y de otro paquete estratigráfico: **UE 362.** Es un nivel ceniciento de

tendencia horizontal con presencia de piedras que se apoya contra los muros **UUEE 144** y **3304**.



*Fig. 78. Planta estratigráfica del extremo W del A29 tras la remoción de UE 362*

Finalmente, bajo **UE 362** apareció un cúmulo de tierra de tonalidad marrón oscuro mezclada con material de construcción -**UE 365**-, donde destaca la presencia de fragmentos de enlucido parietal y, sobre todo, de mampuestos procedentes de estructuras.



*Fig. 79. Detalle de la UE 365 con la presencia de los materiales de construcción*

Tras excavarlo comprobamos que **UE 356** se extendía por toda el área y que, además, era similar en composición a una de las capas documentadas en otra parte del A29 -**UE 85**-. Recapitulando, podemos afirmar que el conjunto de UUEE documentadas en esta parte del A son de tipo arqueológico. De ello se deduce que únicamente su parte E, al otro lado de la acequia **GU 23**, estuvo dedicada a la explotación agrícola: no encontramos suelo de cultivo alguno sino niveles arqueológicos que, en el extremo opuesto de la estancia, fueron destruidos hasta el nivel inmediatamente inferior a **UE 56**. Llegados a este punto, ya con un mismo nivel arqueológico en todo el A29, retomamos la excavación de toda la estancia de manera simultánea.

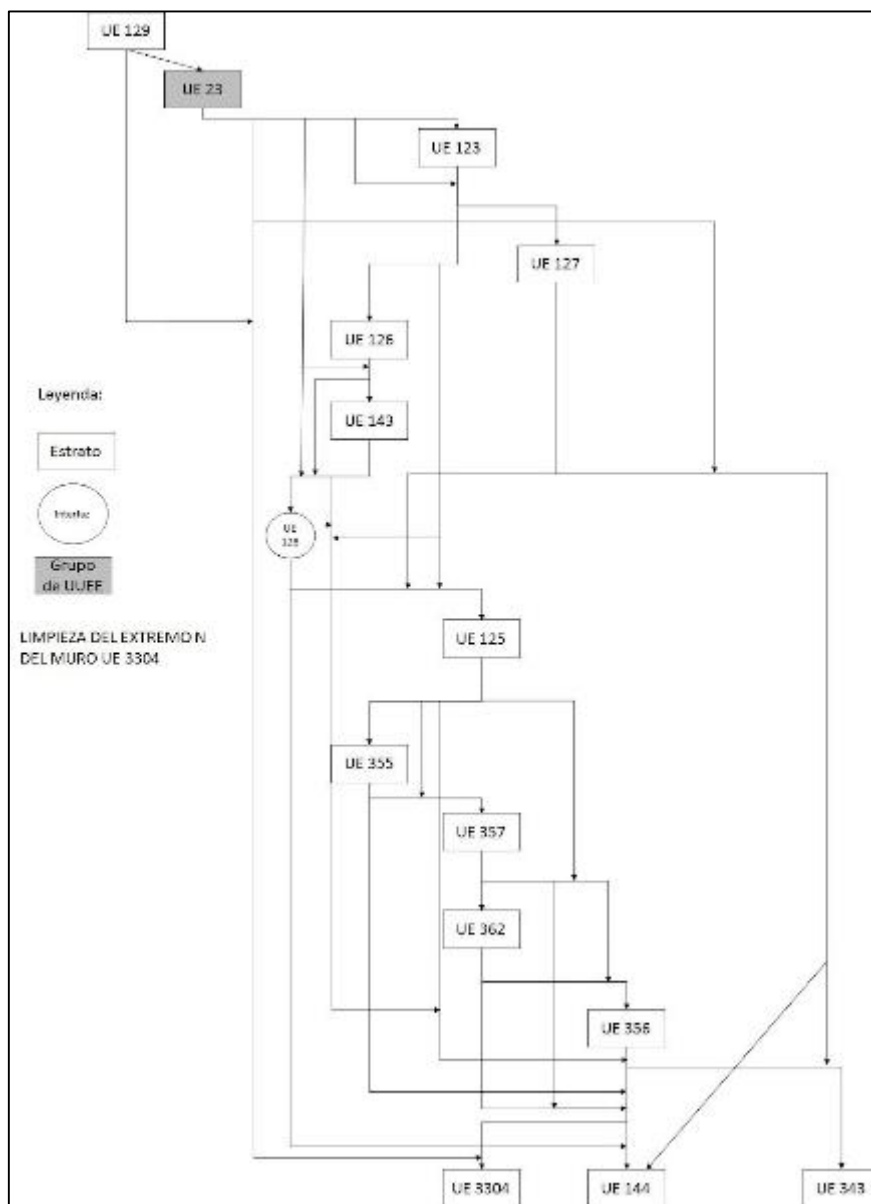
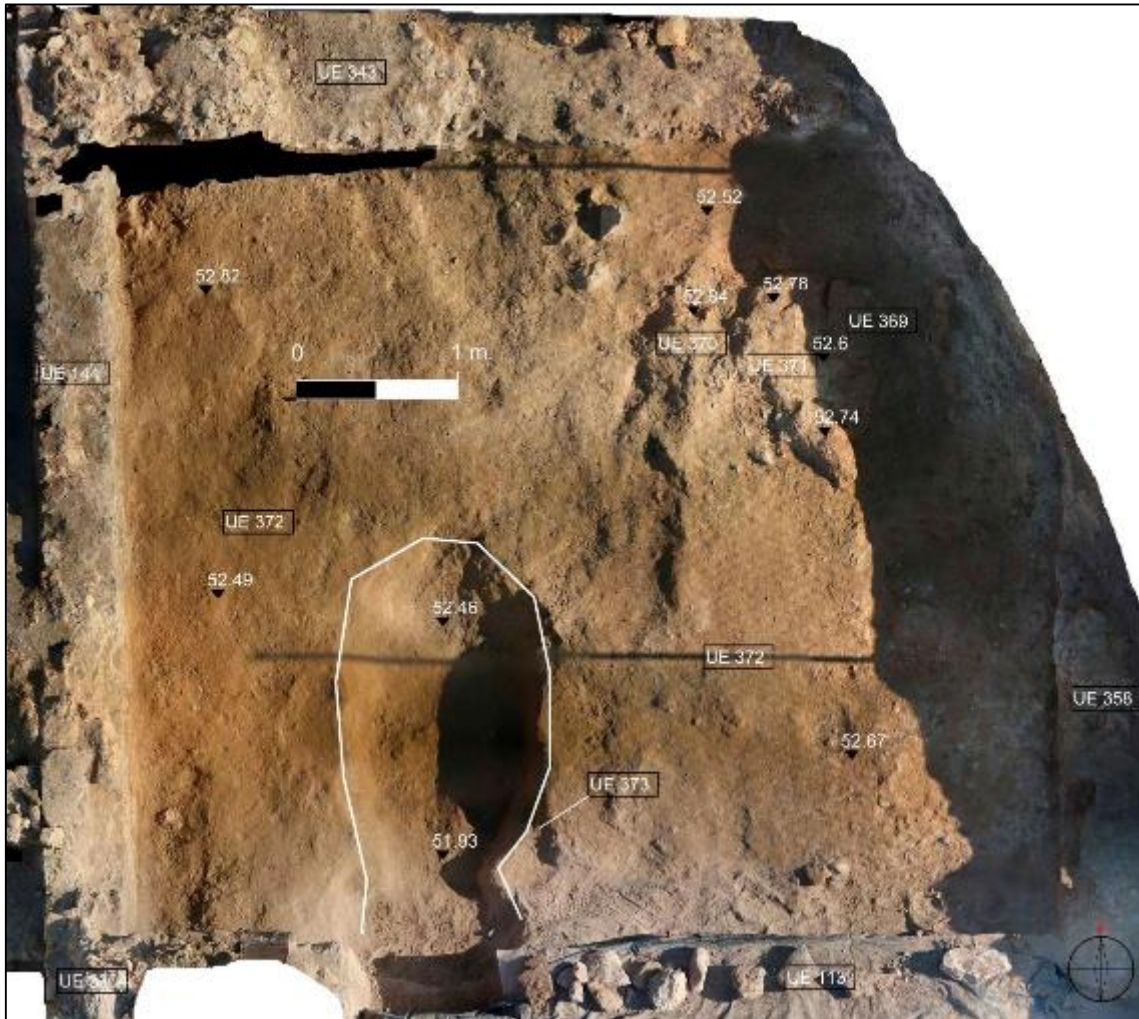


Fig. 80. Diagrama estratigráfico de la limpieza del extremo N del muro UE 3304

Niveles de uso y abandono



*Fig. 81. Planta estratigráfica del A29*

Tal y como ya hemos expuesto, tras excavar todo el extremo W del A29 hasta alcanzar la **UE 356** y habiendo hecho lo propio en el resto de la estancia dejando a la luz las **UE 72** y **85** unificamos finalmente toda la planta de este espacio: **UE 85** y **UE 356** eran el mismo estrato, el cual además se extendía por prácticamente toda la superficie de la habitación. Quedó unificado como **UE 356**.

Retomamos nuestra actividad mediante la retirada de **UE 72**, a la que siguió la excavación de **UE 356**. Durante este proceso se recuperó una abundante cantidad de material constructivo claramente relacionado con estancias termales romanas, como fragmentos de mosaico, de estuco parietal o de *clavi coctiles*. También apareció material

pétreo, dentro del cual destacamos particularmente una gran laja de piedra moldurada que fue individualizada como un elemento singular bajo la **UE 366**.



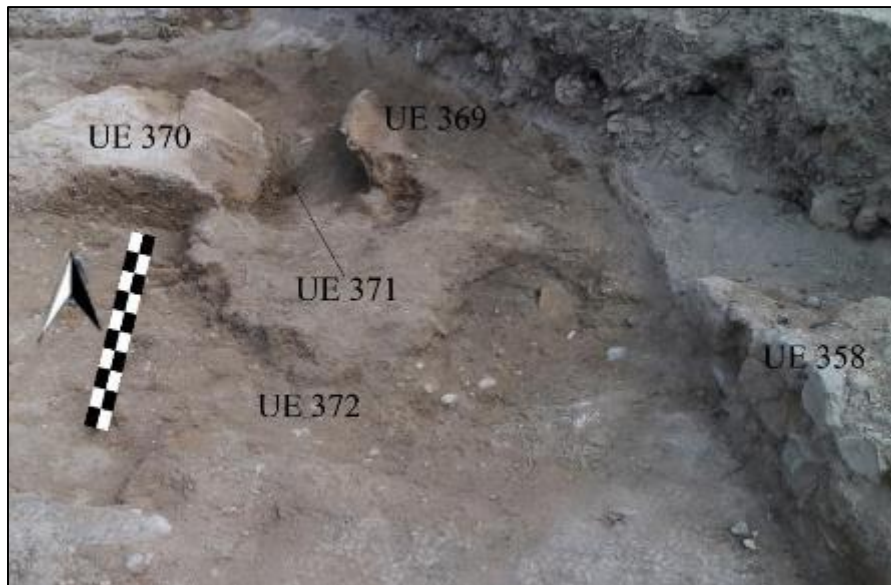
*Fig. 82. Vista en detalle del proceso de excavación de UE 356 y de la moldura de piedra UE 366 hallada en su interior*

Bajo esta capa **-UE 356-** hallamos un nuevo nivel de tendencia horizontal **-UE 372-**, de textura arcillosa y tonalidad amarillenta, que se extendía por todo el A29. Presentaba un recorte de forma ovalada en su extremo S, próximo al vano que lo comunicaba con el A28. Identificado como **UE 373**, estaba relleno por un paquete estratigráfico **-UE 374-** de tierra de tonalidad marrón mezclada con piedras y con restos de materiales constructivos romanos, entre los que abundaban los fragmentos de enlucido.

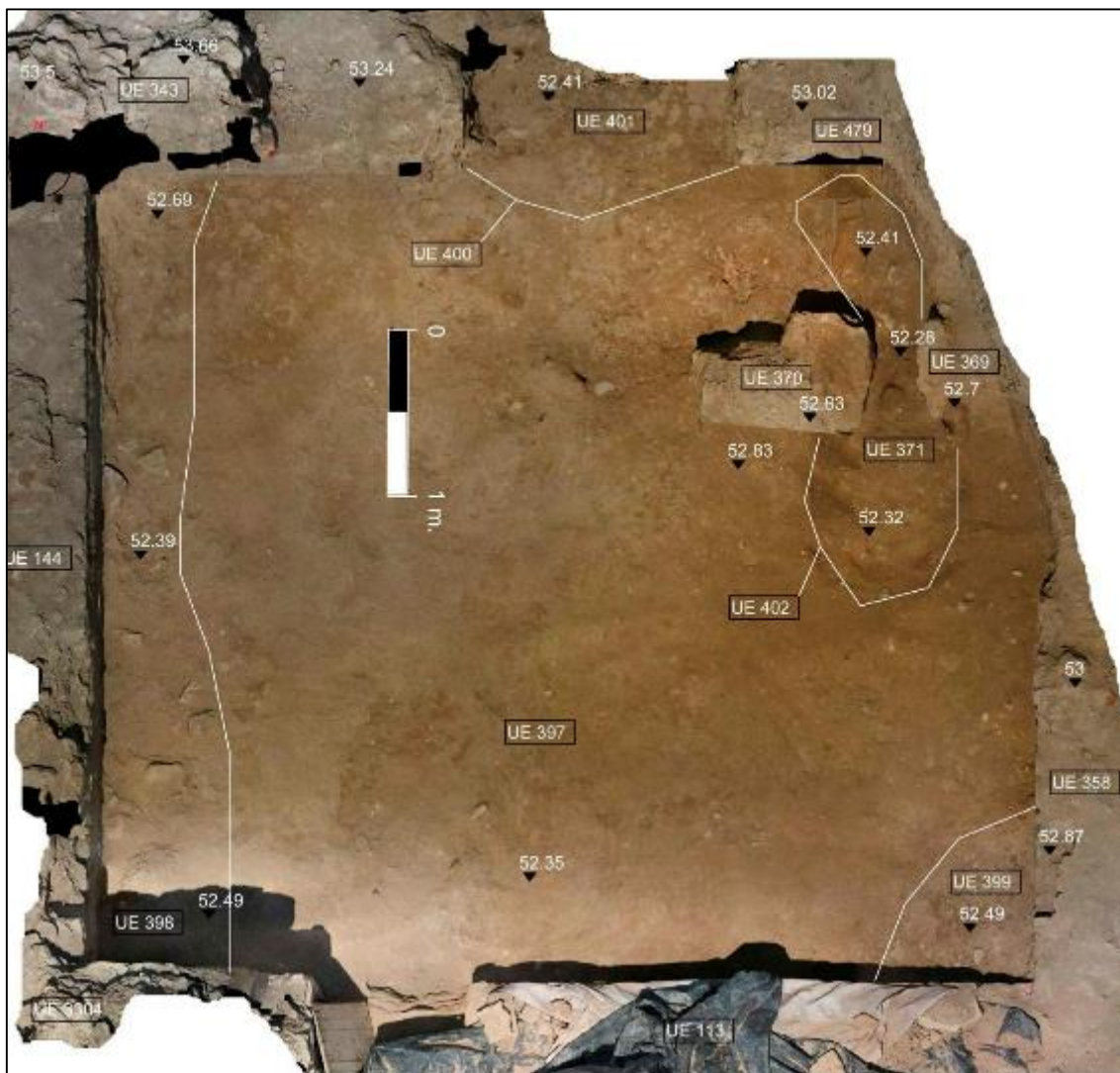
Además, en el ángulo NE de la estancia encontramos una estructura de barro, orientada en sentido NE-SW. Presentaba dos paredes paralelas **-UE 369** y **UE 370-** que flanquean un pequeño corredor central, colmatado por tierra de tonalidad cenicienta **-UE 371-**. Interpretamos que se trataba de parte de la cubierta de un horno.

Continuamos nuestra intervención en el A29 excavando la fosa **UE 373** y excavando el nivel comprendido entre las paredes de barro pertenecientes al horno **-UE 371-** para, inmediatamente después, retirar el estrato superficial **UE 372**. Este paquete

estratigráfico, por su relación con el horno, fue interpretado como el nivel de uso asociado al horno que, tras su abandono, fue colmatado por **UE 356**.



*Fig. 83. Vista en detalle de la superestructura del horno*



*Fig. 84. Planta estratigráfica del A29 tras retirar UE 372*

La remoción del nivel de uso **UE 372** asociado al horno de **UUEE 369 y 370** nos llevó a documentar dos paquetes estratigráficos relacionados con el colapso de las estructuras del A:

- **UE 398.** Acumulación de tierra de textura granulosa y tonalidad amarillenta, con una elevada presencia de restos de mortero y de fragmentos de enlucido, situada en el extremo W de la estancia. Se apoya contra los muros **UE 3304, 343 y 144** y siguiendo la orientación de este último.
- **UE 399.** Estrato similar en composición a **UE 398**, situado en el ángulo SE del A30.

Ambos estratos **-UUEE 398 y 399-** fueron hallados sobre un nivel horizontal arcilloso y de textura amarillenta, marcado por la presencia de ceniza y cal, que se extiende por toda la habitación bajo **UE 372**. Nos referimos a **UE 397**, interpretado como el nivel de suelo de la fase de uso del horno.

La excavación de **UE 372** también permitió clarificar la situación del extremo N de la estancia, ya que facilitó la limpieza del muro **UE 343** y la definición de su trazado hacia el E. Durante esta actividad, en la zona central, detectamos una fosa **-UE 401-** con un relleno **-UE 400-** con presencia de materiales contemporáneos. Corresponde a la fosa del algarrobo, que corta en dos la parte superior del muro N del A29 y lo divide en dos tramos: **UE 343** y **UE 479**.

Tras documentar este nuevo conjunto estratigráfico procedimos a la retirada de los derrumbes **UUEE 398 y 399** para dejar expedito el nivel de suelo **UE 397**.

Inmediatamente después acometimos la excavación de la colmatación natural situada entre los restos visibles del horno **-UE 371-**. Tras hacerlo pudimos acometer el desmonte de la superestructura de barro del horno **-UUEE 369 y 370-** con el fin de acceder a su parte subterránea. Quedó completamente visible la planta de su cámara **-UE 402-**, un recorte circular en su extremo S unido a un estrechamiento en su parte N que acaba convirtiéndose en un canal. Bajo su relleno **UE 371** hallamos un nuevo nivel de cenizas **-UE 435-**.



*Fig. 85. Planta estratigráfica del A29 tras retirar UE 397*

La remoción del nivel de suelo asociado al horno **-UE 397-** reveló que fue asentado sobre la parte superior de un basurero: **UE 436**. Hallamos, efectivamente, un estrato de tierra de tonalidad grisácea con presencia de piedras y material de construcción situado por debajo del nivel de cota  $-52'34$  m (s.n.m.)- de la línea del pavimento original del A30, cuya impronta **-UE 486-** todavía es visible en sus muros. Tal y como ya se documentó en el A28, el suelo del A29 fue roto por la fosa **UE 334** y, en este caso, fue retirado completamente- para verter basura en su interior.

Finalizamos asimismo la extracción del nivel de cenizas **UE 435** de la cámara interna del horno hallando su fondo **-UE 443-**, que estaba recortado directamente en el basurero **UE 436**.



Fig. 86. Vista en detalle del fondo del horno UE 443

Tras haber exhumado los muros del A29 hasta la altura de su pavimento nos encontrábamos en disposición de mostrar, en conjunto, las evidencias de su sistema de *concameratio* que venía a confirmar su interpretación como una estancia termal calefactada: todos los lienzos contaban con unas oquedades cuadradas de aproximadamente 0'14 m de lado aproximadamente destinadas a encajar en su interior *clavi coctiles*, parcialmente conservados -en algunos casos- en el interior de estos orificios. Para poder referirnos con la precisión necesaria a la localización de cada uno de ellos emplearemos un sistema de coordenadas para cada muro.

- **UE 410.** Orificio para *concameratio* en la cara N del muro **UE 3304**, en posición B1.
- **UE 411.** Orificio para *concameratio* en la cara N del muro **UE 3304**, en posición C1.
- **UE 528.** Orificio para *concameratio* en la cara N del muro **UE 3304**, en posición A2.
- **UE 412.** Orificio para *concameratio* en la cara N del muro **UE 3304**, en posición B2.

- **UE 413.** Orificio para *concameratio* en la cara N del muro **UE 3304**, en posición C2.
- **UE 414.** Orificio para *concameratio* en la cara N del muro **UE 3304**, en posición A3.
- **UE 415.** Orificio para *concameratio* en la cara N del muro **UE 3304**, en posición B3.
- **UE 416.** Orificio para *concameratio* en la cara N del muro **UE 3304**, en posición C3.
- **UE 516.** Fragmento de *clavus coctile* inserto en el orificio **UE 416**.

El conjunto de orificios de *concameratio* y de sus *clavi coctiles* fue unificado como **GU 522**.

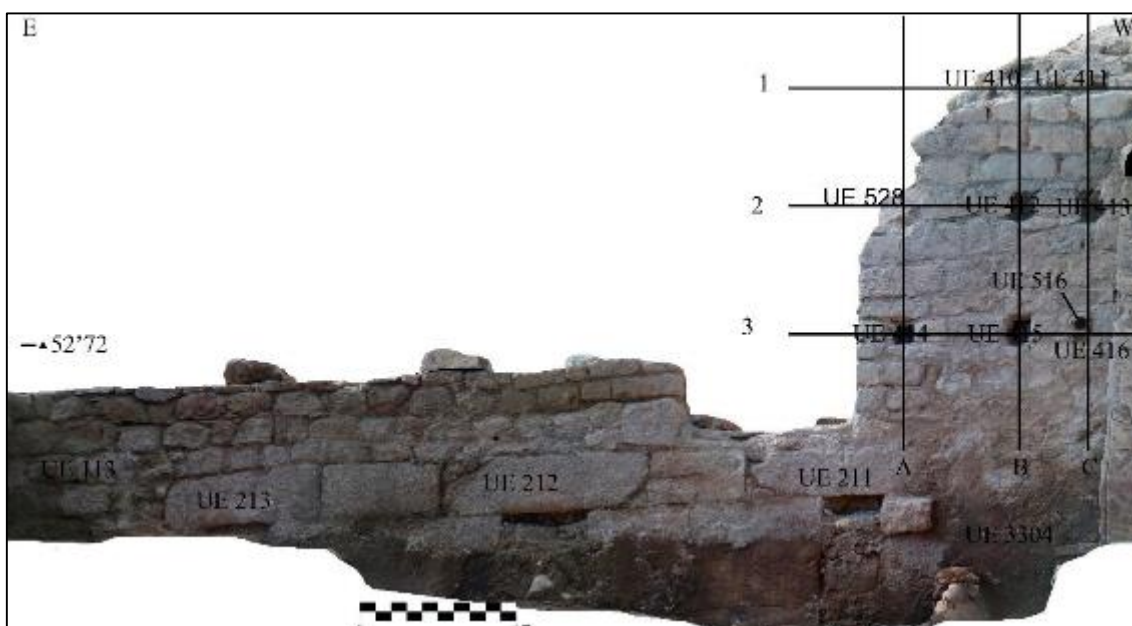
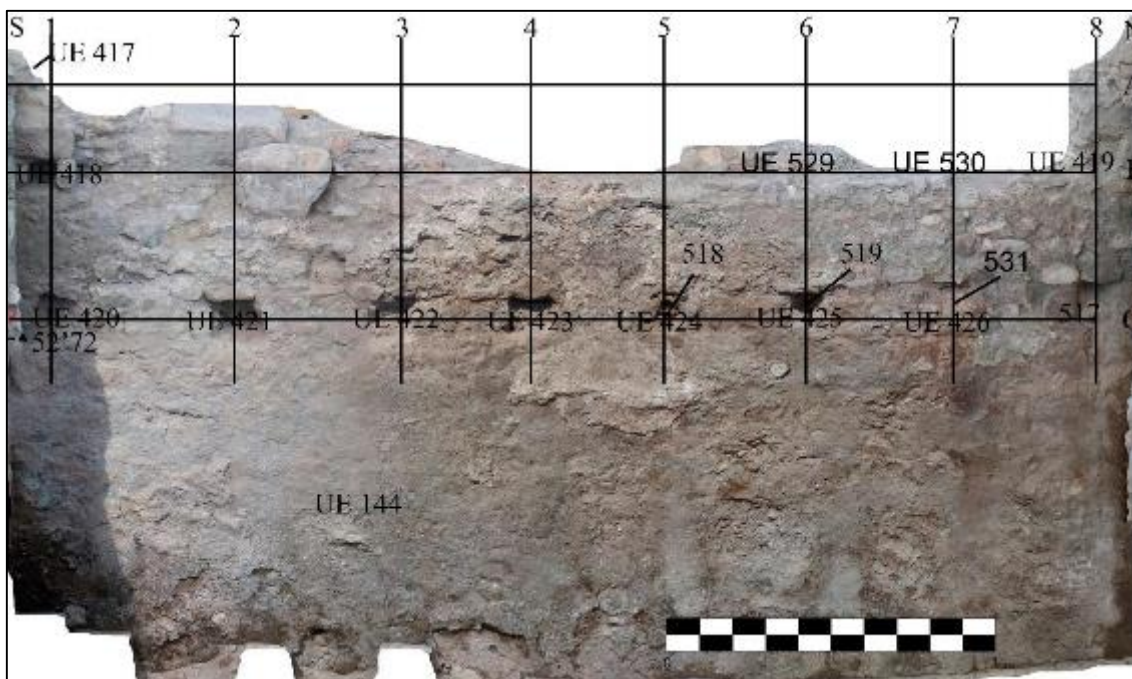


Fig. 87. Ortofotografía de los muros UUEE 3304 y 113 con los orificios de *concameratio*

- **UE 417.** Orificio para *concameratio* en la cara E del muro **UE 144**, en posición A1.
- **UE 418.** Orificio para *concameratio* en la cara E del muro **UE 144**, en posición B1.
- **UE 529.** Orificio para *concameratio* en la cara E del muro **UE 144**, en posición B6.
- **UE 530.** Orificio para *concameratio* en la cara E del muro **UE 144**, en posición B7.
- **UE 419.** Orificio para *concameratio* en la cara E del muro **UE 144**, en posición B8.
- **UE 420.** Orificio para *concameratio* en la cara E del muro **UE 144**, en posición C1.
- **UE 421.** Orificio para *concameratio* en la cara E del muro **UE 144**, en posición C2.
- **UE 422.** Orificio para *concameratio* en la cara E del muro **UE 144**, en posición C3.
- **UE 423.** Orificio para *concameratio* en la cara E del muro **UE 144**, en posición C4.
- **UE 424.** Orificio para *concameratio* en la cara E del muro **UE 144**, en posición C5.
- **UE 425.** Orificio para *concameratio* en la cara E del muro **UE 144**, en posición C6.

- **UE 426.** Orificio para *concameratio* en la cara E del muro **UE 144**, en posición C7.
- **UE 517.** Orificio para *concameratio* en la cara E del muro **UE 144**, en posición C8.
- **UE 518.** Fragmento de *clavus coctile* inserto en el orificio **UE 424**.
- **UE 519.** Fragmento de *clavus coctile* inserto en el orificio **UE 425**.
- **UE 531.** Fragmento de *clavus coctile* inserto en el orificio **UE 426**.

Todo este conjunto fue reunido en el **GU 523**.



*Fig. 88. Ortofotografía del muro UE 144 con los orificios de concameratio*

- **UE 427.** Orificio para *concameratio* en la cara S del muro **UE 343**, en posición A1.
- **UE 428.** Orificio para *concameratio* en la cara S del muro **UE 343**, en posición B1.
- **UE 429.** Orificio para *concameratio* en la cara S del muro **UE 343**, en posición B2.
- **UE 430.** Orificio para *concameratio* en la cara S del muro **UE 343**, en posición C1.
- **UE 532.** Orificio para *concameratio* en la cara S del muro **UE 343**, en posición C2
- **UE 431.** Orificio para *concameratio* en la cara S del muro **UE 343**, en posición C3.
- **UE 432.** Orificio para *concameratio* en la cara S del muro **UE 343**, en posición C4.
- **UE 518.** Fragmento de *clavus coctile* inserto en el orificio **UE 428**.
- **UE 519.** Fragmento de *clavus coctile* inserto en el orificio **UE 429**.
- **UE 520.** Fragmento de *clavus coctile* inserto en el orificio **UE 432**.

Todos estos elementos de la *concameratio* de la estancia fueron recogidos dentro del **GU 524**.

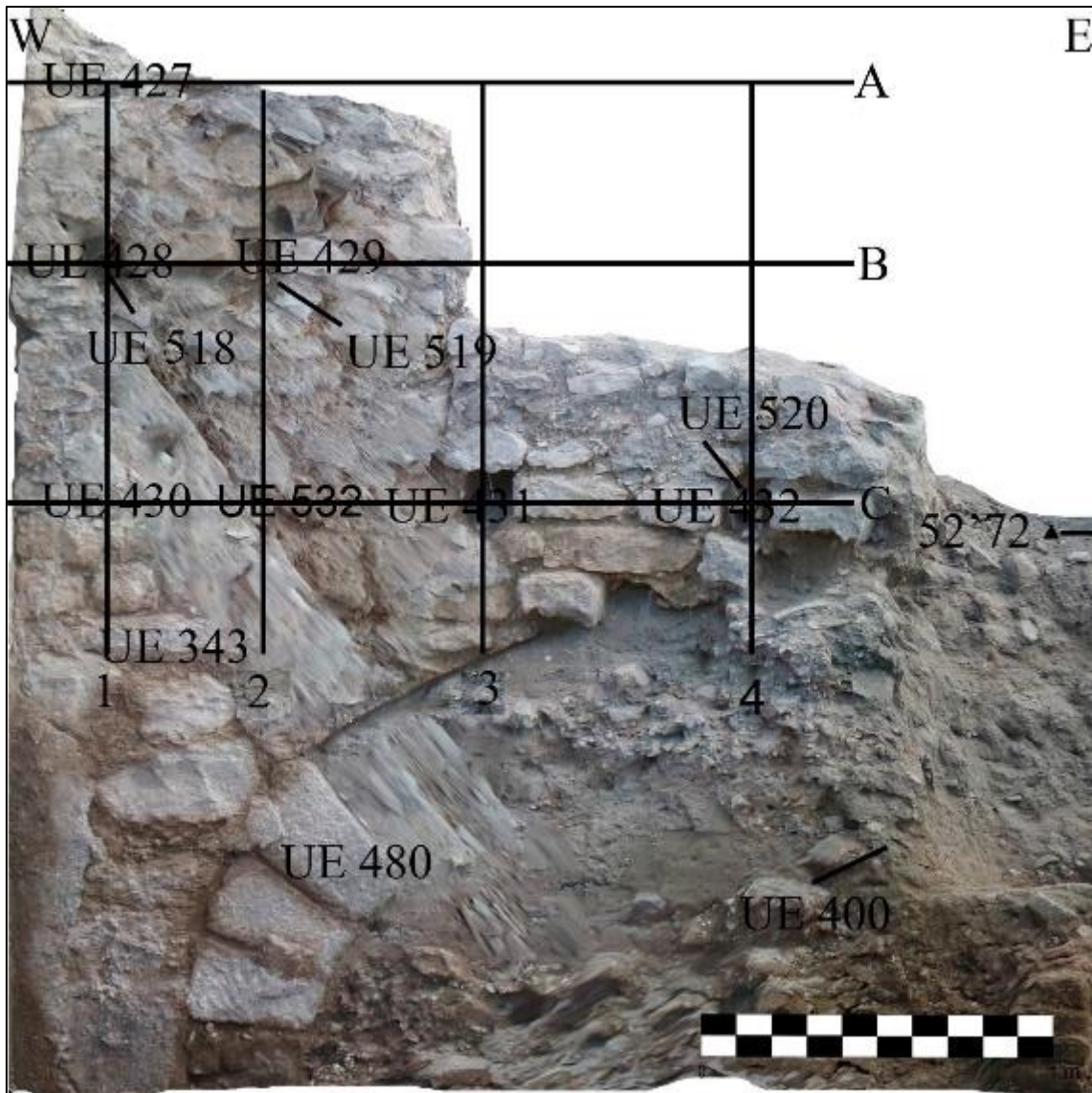
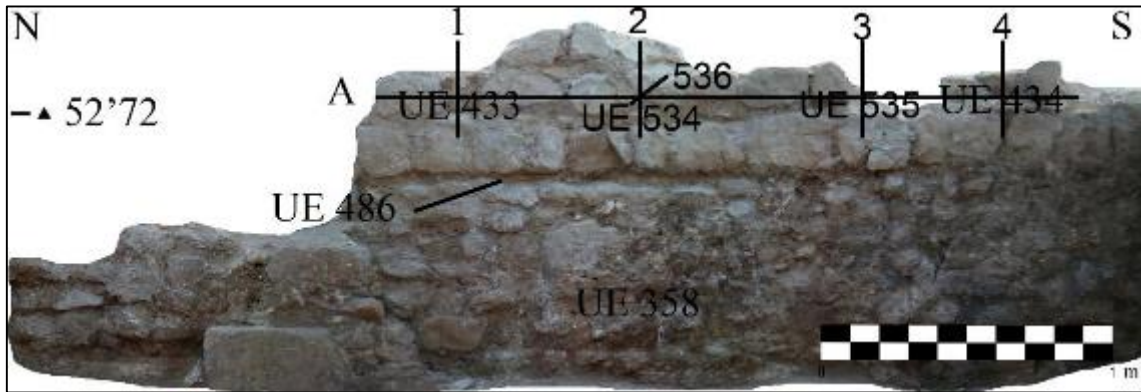


Fig. 89. Ortofotografía del muro UE 343 con los orificios de *concameratio*

- **UE 433**. Orificio para *concameratio* en la cara W del muro **UE 358**, en posición A1.
- **UE 534**. Orificio para *concameratio* en la cara W del muro **UE 358**, en posición A2.
- **UE 535**. Orificio para *concameratio* en la cara W del muro **UE 358**, en posición A3.
- **UE 434**. Orificio para *concameratio* en la cara W del muro **UE 358**, en posición A4.
  - **UE 536**. Fragmento de *clavus coctile* inserto en el orificio **UE 534**.

Estos orificios de *concameratio* conforman el **GU 525**.



*Fig. 90. Ortofotografía del muro UE 358 con los orificios de concameratio*



*Fig. 91. Vista en detalle de varios orificios de concameratio donde uno de ellos -UE 416- cuenta con parte de un clavus coctile en su interior*

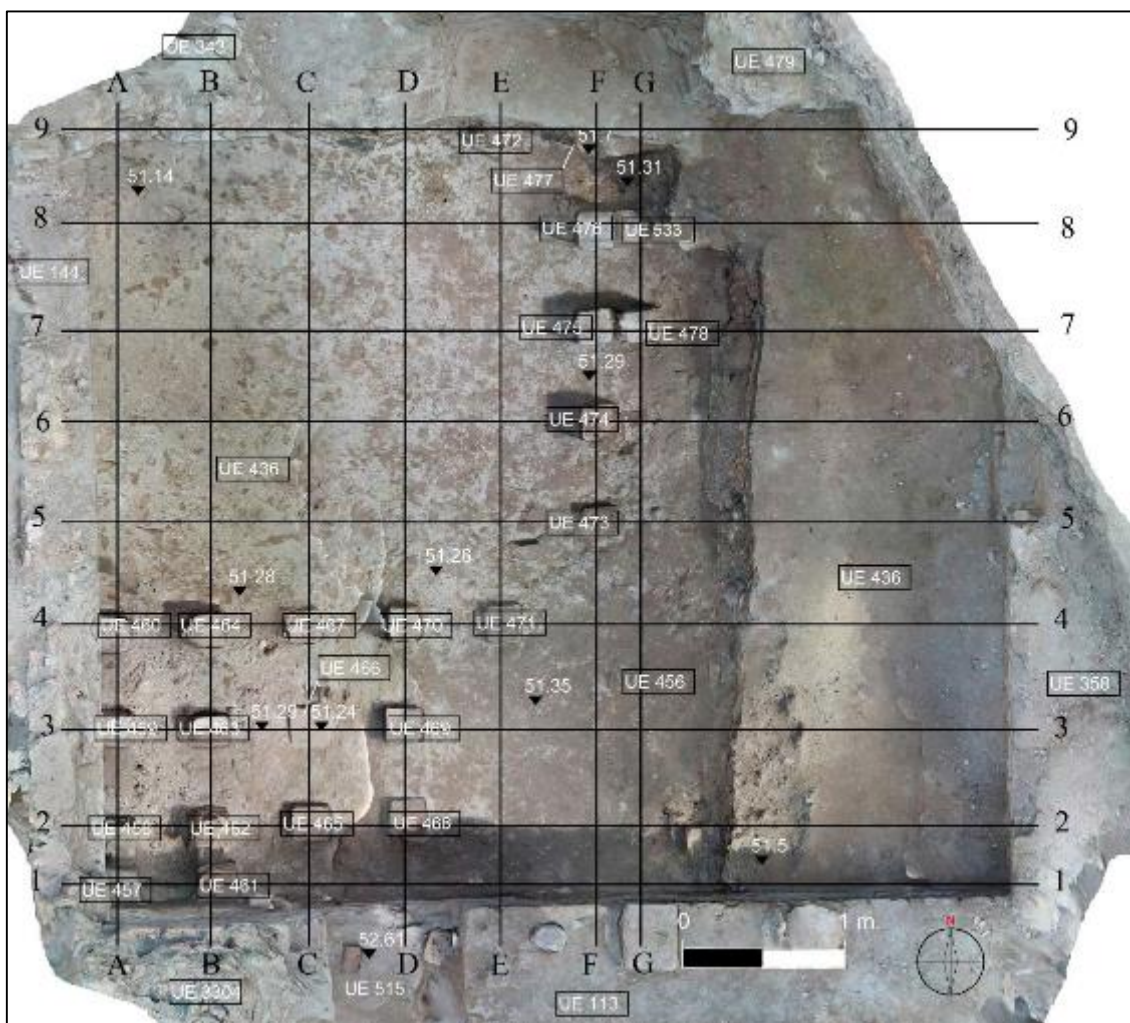


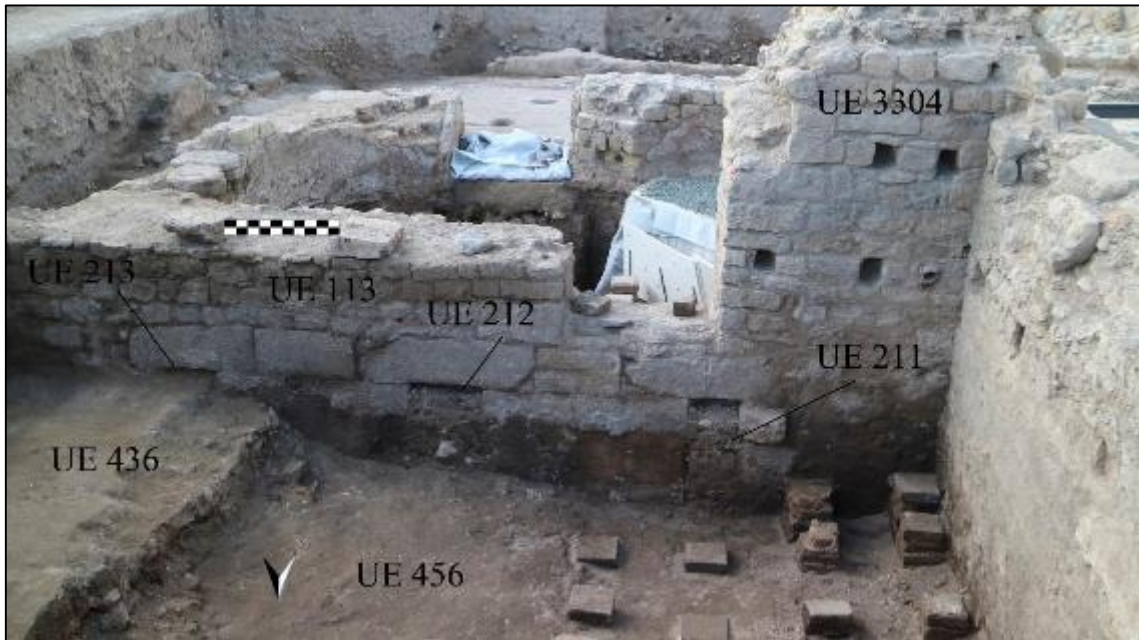
Fig. 92. Planta estratigráfica final del A29 tras la retirada parcial de UE 436

Iniciamos la retirada del primer nivel del relleno en el interior del A. En aquellas áreas en las que pudo retirarse detectamos un nivel muy disgregado y ceniciento -UE 456- en el que comenzaban a aflorar *pilae* correspondientes a un hipocausto. Todas ellas fueron unificadas en **GU 521**. Tal y como ya hicimos en el caso de los orificios de la *concameratio*, emplearemos un sistema de coordenadas para facilitar su ubicación en la estancia:

- **UE 457.** *Pila* de hipocausto a base de ladrillos besales, situada en posición A1.
- **UE 458.** *Pila* de hipocausto a base de ladrillos besales, situada en posición A2.
- **UE 459.** *Pila* de hipocausto a base de ladrillos besales, situada en posición A3.
- **UE 460.** *Pila* de hipocausto a base de ladrillos besales, situada en posición A4.
- **UE 461.** *Pila* de hipocausto a base de ladrillos besales, situada en posición B1.
- **UE 462.** *Pila* de hipocausto a base de ladrillos besales, situada en posición B2.

- **UE 463.** *Pila* de hipocausto a base de ladrillos besales, situada en posición B3.
- **UE 464.** *Pila* de hipocausto a base de ladrillos besales, situada en posición B4.
- **UE 465.** *Pila* de hipocausto a base de ladrillos besales, situada en posición C2.
- **UE 466.** *Pila* de hipocausto a base de ladrillos besales, situada en posición C3.
- **UE 467.** *Pila* de hipocausto a base de ladrillos besales, situada en posición C4.
- **UE 468.** *Pila* de hipocausto a base de ladrillos besales, situada en posición D2.
- **UE 469.** *Pila* de hipocausto a base de ladrillos besales, situada en posición D3.
- **UE 470.** *Pila* de hipocausto a base de ladrillos besales, situada en posición D4.
- **UE 471.** *Pila* de hipocausto a base de ladrillos besales, situada en posición E4.
- **UE 472.** *Pila* de hipocausto a base de ladrillos besales, situada en posición E9.
- **UE 473.** *Pila* de hipocausto a base de ladrillos besales, situada en posición F5.
- **UE 474.** *Pila* de hipocausto a base de ladrillos besales, situada en posición F6.
- **UE 475.** *Pila* de hipocausto a base de ladrillos besales, situada en posición F7.
- **UE 476.** *Pila* de hipocausto a base de ladrillos besales, situada en posición F8.
- **UE 477.** *Pila* de hipocausto a base de ladrillos besales, situada en posición F9.
- **UE 478.** *Pila* de hipocausto a base de ladrillos besales, situada en posición G7.
- **UE 533.** *Pila* de hipocausto a base de ladrillos besales, situada en posición G8.

Del mismo modo, desveló otros elementos propios del sistema de calefacción del ambiente. Algunos de ellos ya eran conocidos tras la excavación del A28, como **UUEE 211, 212 y 213**. Se trata de los conductos que permiten la circulación del aire caliente desde el hipocausto del A29 al del A28.



*Fig. 93. Vista en detalle de los conductos de aire caliente UUEE 211, 212 y 213*



*Fig. 94. Vista en detalle del arco UE 480*

En el lienzo opuesto, formado por los tramos de muro **UUEE 343** y **479**, documentamos un arco **-UE 480-** por debajo del nivel de pavimento, cortado por la fosa del algarrobo **-UE 400-**. Dada la escasa distancia que separa a las *pilae* del hipocausto de las filas F y G podría tratarse incluso de un arco doble. Su función debió ser hacer llegar el aire caliente desde su fuente hasta el A29.

En el curso de la excavación del A pudimos registrar además restos de las capas de enlucido que revocaban sus muros:

- **UE 454.** Fina capa de enlucido de base de cal sobre el muro 343.
- **UE 458.** Fina capa de enlucido de base de cal sobre el muro 144.

En otros casos, en zonas donde los enlucidos ya se habían desprendido de los muros, detectamos una capa de ceniza directamente sobre la piedra y bajo el nivel de enlucidos, cuya función sería la de servir de aislante:

- **UE 481.** Capa de ceniza sobre el muro UE 144.
- **UE 482.** Capa de ceniza sobre el muro UE 113.
- **UE 483.** Capa de ceniza sobre el muro UE 343.
- **UE 484.** Capa de ceniza sobre el muro UE 358.

Todos estos revoques y enlucidos fueron unificados bajo GU

Por último, el proceso de excavación también nos llevó a documentar un nivel horizontal de mortero de cal situado en el vano que comunica a los A28 y 29. Identificado como **UE 515**, se trata de la preparación sobre la que se asentaba el nivel de paso original de la estancia.

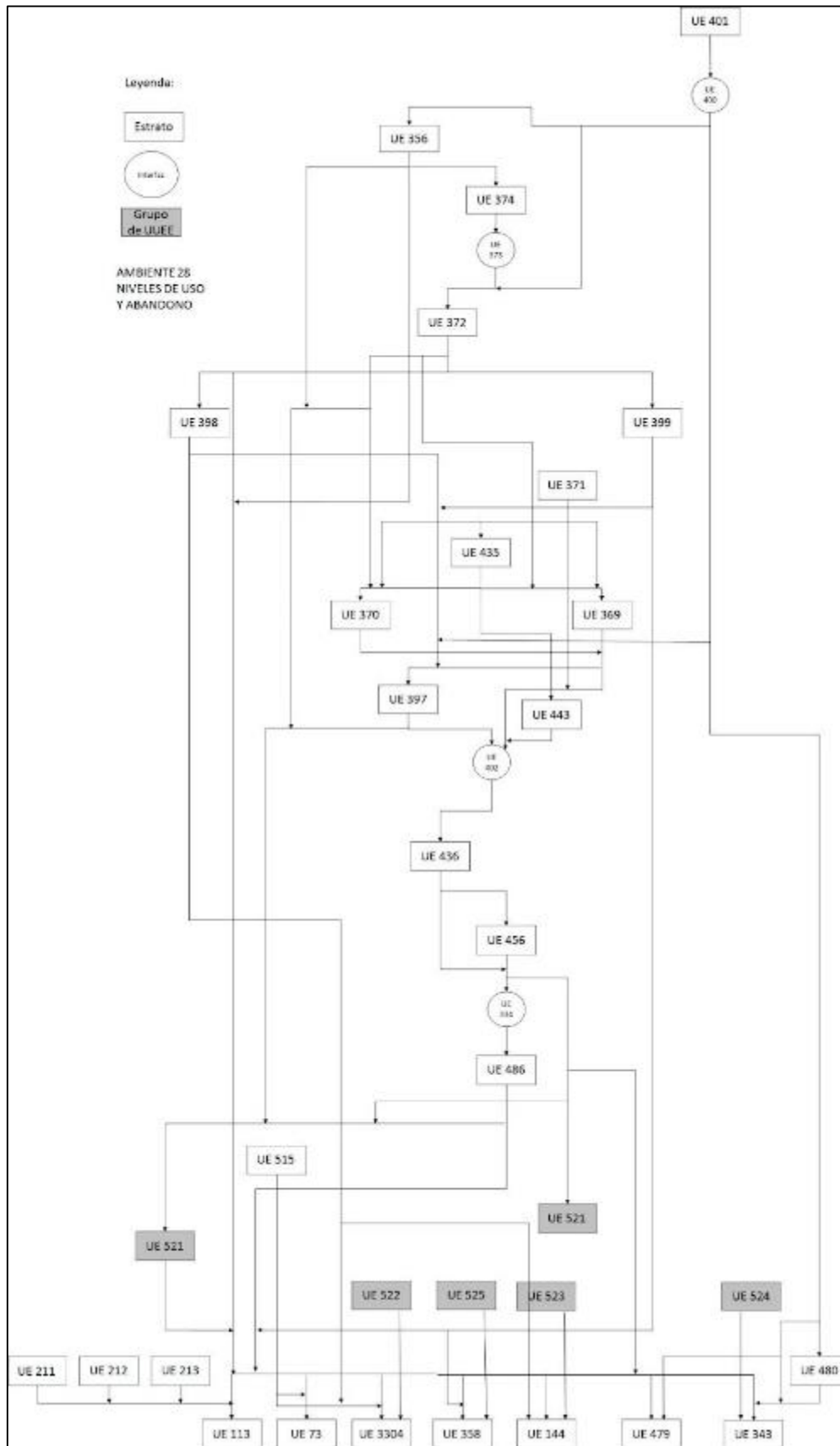


Fig. 95. Diagrama estratigráfico de estructuras, niveles de uso y abandono del A29

## Estructuras y niveles de uso más recientes



*Fig. 96. Planta estratigráfica del A29 tras la retirada de la UE 553*

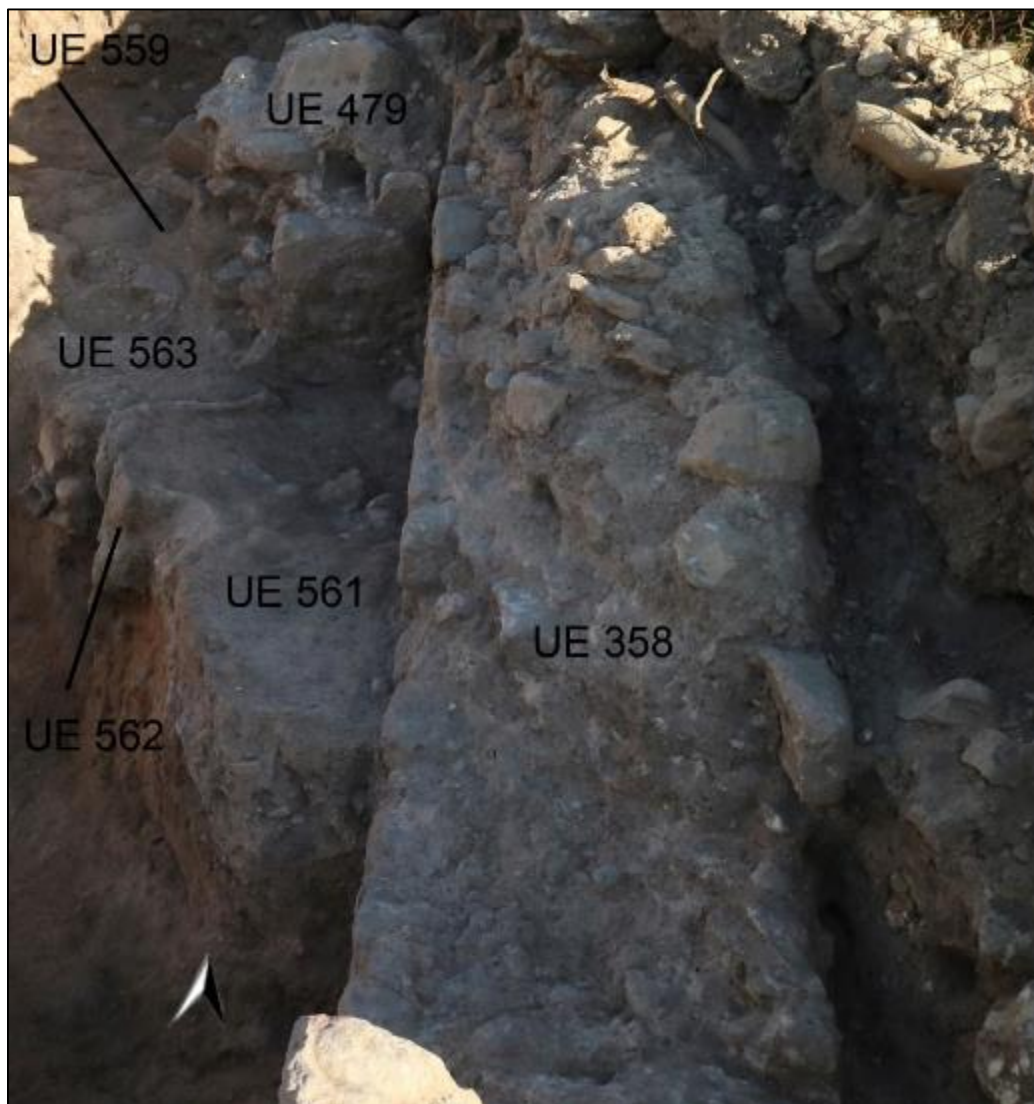
La exhumación de parte del trazado de los muros que delimitan al A29 y que lo separan del A31 nos llevaron a proseguir la excavación de esta estancia de forma individualizada. Es una habitación cuadrangular que mide 5'4 x 4'6 m donde únicamente su ángulo NE queda pendiente de documentar, debido a que se encuentra más allá del límite de la parcela. Aunque ya hemos enunciado en epígrafes previos, si bien de forma sumaria, las estructuras que conforman esta cámara consideramos adecuado detallarlas de manera más pormenorizada:

- **UUEE 3304, 73 y 113**, que constituyen el límite S. Entre los dos últimos -**UUEE 73 y 113**- se abre un vano formado por las **UUEE 163 y 164**, que facilita la comunicación con el A28. El primero -**UE 3304**- es un gran muro de

mampuestos de pequeño tamaño trabados con mortero de cal, orientado en sentido N-S. Mide 5'3 m de longitud y su anchura es variable. En su punto más ancho alcanza los 0'8 m. En cuanto a **UE 73**, es una estructura en forma de "L" donde su brazo largo -orientado N-S- mide 0'6 m y el corto 0'3 m. Arranca desde la cara E del muro **UE 3304** y está compuesta de mampuestos de pequeño tamaño trabados con mortero de cal. En último lugar tenemos al muro **UE 113**, que presenta el mismo aparejo. Está ligeramente orientado en sentido NW-SE y sus dimensiones son 3'7 x 0'85. Su cara W es el otro vano de acceso al A.

- **UE 144**, su límite W. Arranca de la cara N del muro **UE 3304**, más concretamente de su extremo W, formando un ángulo recto. Mide 4'6 x 0'42 m y está formado por mampuestos trabados con mortero de cal.
- **UE 358**, que cierra la estancia por su lado E y la separa del A30. Forma ángulo recto con el muro **UE 113**, con el que traba y comparte aparejo. Aunque sus dimensiones completas son de 5'4 x 0'6 m faltan por sacar a la luz 0'2 m de su tramo septentrional.
- **UE 343** y **479**, dos tramos del mismo muro que constituyen el extremo N del A y que marca la línea divisoria frente al A31. Están separados por la fosa del algarrobo -**UE 400**-, que parte en dos su recorrido. Su anchura es de 0'52 m. No se pudieron documentar 0'3 m de su trazado -que completo mide 4'6 m- ya que, tal y como ocurre con **UE 358**, el ángulo recto de unión de ambos muros se encuentra localizado más allá de los límites del yacimiento. Traba con los muros **UUEE 144** y **358**.

Tras retirar la **UE 553** accedimos a una plataforma de tierra que, a modo de cuña, ocupaba el ángulo NE del A. Nos referimos, muy especialmente, a los restos que fueron interpretados como pertenecientes a un horno metalúrgico y a los niveles asociados al mismo:



*Fig. 97. Vista de las UUEE que acompañan a los restos de horno UE 562*

- **UE 562.** Estructura de barro endurecido que traza una forma semicircular que se abre en dirección W. Es parte de la estructura **UE 369**, que fue documentada y retirada en 2018. A pesar de ello hemos optado por registrar este nuevo tramo bajo otra UE para facilitar su distinción. Constituía parte de la pared oriental de un horno metalúrgico.
- **UE 561.** Paquete de tierra de tonalidad marronácea y textura granulosa ubicada al E de la estructura **UE 562** y, por tanto, al exterior del horno.
- **UE 563.** Nivel de tierra de tonalidad grisácea y textura arenosa y apelmazada. Localizado inmediatamente al N de la estructura **UE 562**.



*Fig. 98. Planta estratigráfica del A29 tras la retirada de las UUEE 561 y 563*

Con la remoción de los niveles **UUEE 563** y **561** quedó completamente expuesto el fragmento del horno **UE 562**. Junto a él hallamos un nivel de tierra compacta de tonalidad anaranjada con presencia de adobes. Sus características y su ubicación nos mueven a interpretarlo como restos del colapso del propio horno que fueron identificados como **UE 565**.



*Fig. 99. Fondo del horno UE 562 tras la retirada de los últimos vestigios de su superestructura*

Para proseguir la excavación del A29 fue preciso retirar los últimos vestigios estructurales del horno metalúrgico con el fin de acceder a los niveles previos. La excavación del nivel de adobes **UE 565** fue seguida de la remoción de los restos de pared del horno de **UE 562**.



*Fig. 100. Fondo del horno UE 568 tras la retirada de los últimos vestigios de su superestructura*

Descubrimos que esta capa -**UE 565**- cubría tanto al paquete estratigráfico **UE 436** como a una serie sucesiva de lechadas de cal -**UE 568**- que corresponden al fondo del horno. Es la continuación de la misma capa que fue registrada como **UE 443**.



*Fig. 101. Planta estratigráfica del A29 tras la retirada de las UUEE 562 y 565*

Con la extracción de **UE 568** retomamos la extracción del paquete **UE 436**.



Fig. 102. Planta estratigráfica del A29 tras la retirada de la UE 568

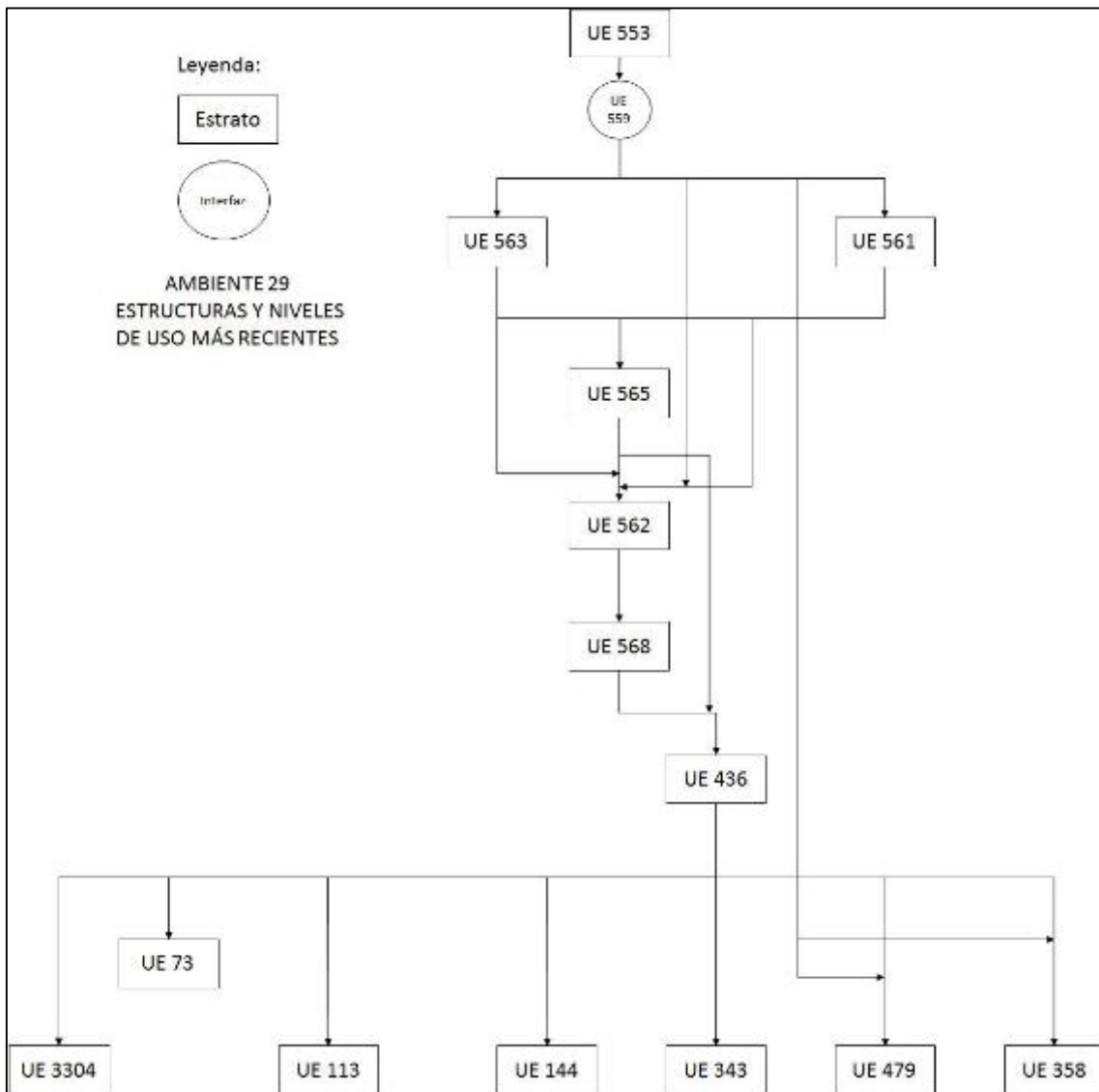
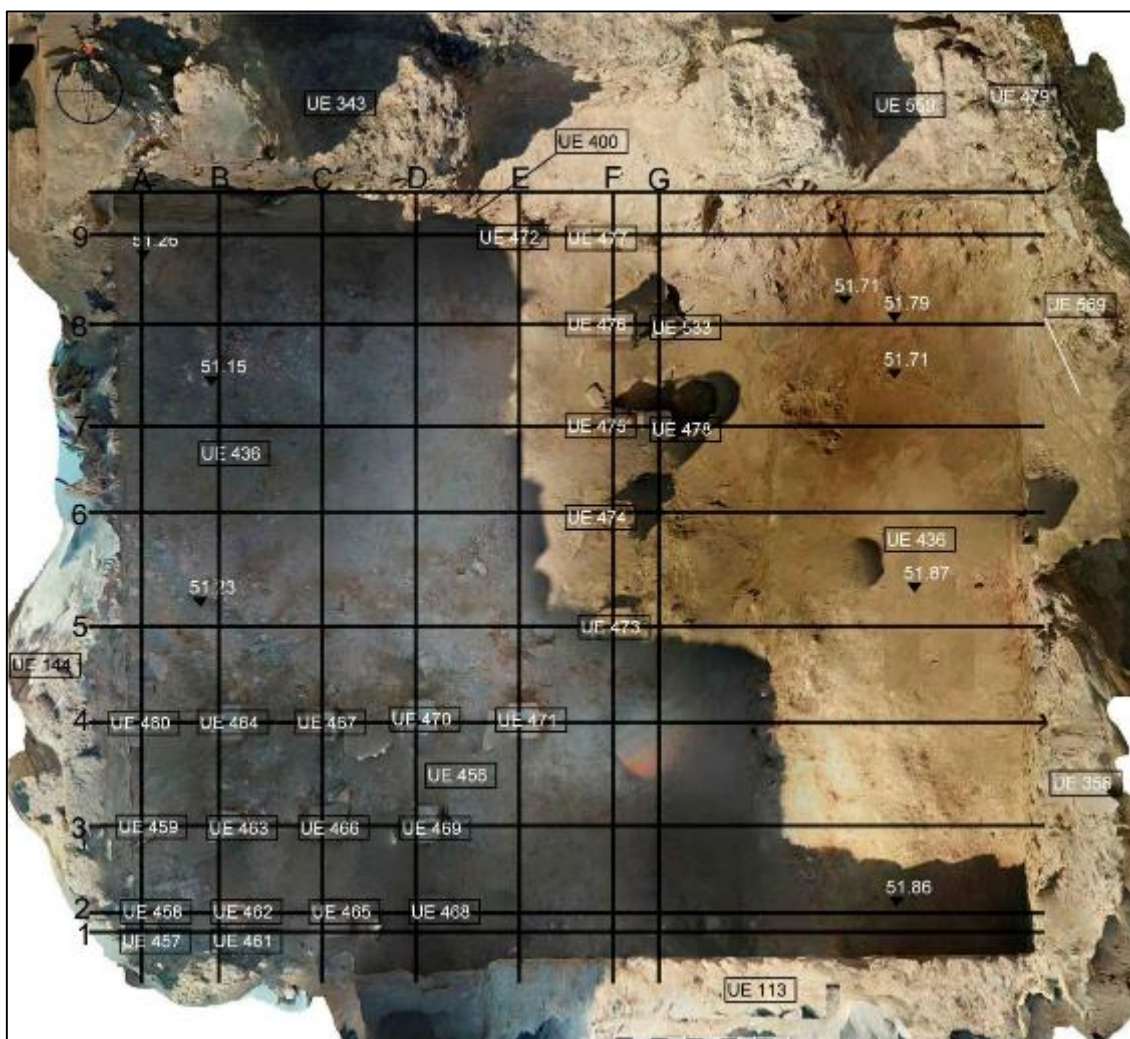


Fig. 103. Diagrama estratigráfico de la excavación realizada sobre los niveles de uso más recientes del A29

## Estructuras y niveles de amortización



*Fig. 104. Planta estratigráfica del A29 previa a iniciar la excavación de UE 436*

El nivel de suelo original del A29 había sido recortado y retirado, utilizándose su hipocausto como basurero. La impronta de la línea del pavimento -UE 486- en los muros de la estancia se encuentra a una cota de 52'34 m (s.n.m.) y, bajo la misma, aparecen las capas de vertidos. La más moderna de todas es **UE 436**, en la que se excava directamente la parte subterránea del horno metalúrgico que describimos en el epígrafe anterior. Parcialmente excavada en 2018, nuestro siguiente no podía ser otro más que finalizar esta tarea.

Pero antes de ello expondremos brevemente las distintas estructuras que salieron a la luz durante la remoción de **UE 436** en 2018.

---

Entre ellas destacan las *pilae* del hipocausto de la cámara, agrupadas como **GU 521**. Con el fin de facilitar su correcta identificación dentro del A recurrimos a un sistema de coordenadas:

- **UE 457.** *Pila* de hipocausto a base de ladrillos besales, situada en posición A1.
- **UE 458.** *Pila* de hipocausto a base de ladrillos besales, situada en posición A2.
- **UE 459.** *Pila* de hipocausto a base de ladrillos besales, situada en posición A3.
- **UE 460.** *Pila* de hipocausto a base de ladrillos besales, situada en posición A4.
- **UE 461.** *Pila* de hipocausto a base de ladrillos besales, situada en posición B1.
- **UE 462.** *Pila* de hipocausto a base de ladrillos besales, situada en posición B2.
- **UE 463.** *Pila* de hipocausto a base de ladrillos besales, situada en posición B3.
- **UE 464.** *Pila* de hipocausto a base de ladrillos besales, situada en posición B4.
- **UE 465.** *Pila* de hipocausto a base de ladrillos besales, situada en posición C2.
- **UE 466.** *Pila* de hipocausto a base de ladrillos besales, situada en posición C3.
- **UE 467.** *Pila* de hipocausto a base de ladrillos besales, situada en posición C4.
- **UE 468.** *Pila* de hipocausto a base de ladrillos besales, situada en posición D2.
- **UE 469.** *Pila* de hipocausto a base de ladrillos besales, situada en posición D3.
- **UE 470.** *Pila* de hipocausto a base de ladrillos besales, situada en posición D4.
- **UE 471.** *Pila* de hipocausto a base de ladrillos besales, situada en posición E4.
- **UE 472.** *Pila* de hipocausto a base de ladrillos besales, situada en posición E9.
- **UE 473.** *Pila* de hipocausto a base de ladrillos besales, situada en posición F5.
- **UE 474.** *Pila* de hipocausto a base de ladrillos besales, situada en posición F6.
- **UE 475.** *Pila* de hipocausto a base de ladrillos besales, situada en posición F7.
- **UE 476.** *Pila* de hipocausto a base de ladrillos besales, situada en posición F8.
- **UE 477.** *Pila* de hipocausto a base de ladrillos besales, situada en posición F9.
- **UE 478.** *Pila* de hipocausto a base de ladrillos besales, situada en posición G7.
- **UE 533.** *Pila* de hipocausto a base de ladrillos besales, situada en posición G8.

La exhumación parcial de **UE 436** también permitió documentar el extremo N de los conductos de aire caliente que ya habían sido detectados al excavar el A28, abiertos en el muro **UE 113: UUEE 211, 212 y 213**. Se trata de los conductos que permiten la circulación del aire caliente desde el hipocausto del A29 al del A28.



Fig. 105. Vista en detalle de los conductos de aire caliente UUEE 211, 212 y 213

Del mismo modo, en el lienzo formado por los tramos de muro **UUEE 343** y **479**, documentamos un arco **-UE 480-** por debajo del nivel de pavimento, cortado por **UE 728** y, posteriormente, también por la fosa de árbol **UE 400**. El nivel de colmatación del arco fue individualizado del resto de rellenos como **UE 729**. Dada la escasa distancia que separa a las *pilae* del hipocausto de las filas F y G proponemos que podría tratarse incluso de un arco doble, construido para permitir la circulación de aire caliente entre los A29 y 31. Su tramo localizado en el muro **UE 479** ha sido registrado como **UE 577** y su interfaz de ruptura como **UE 578**. En cuanto a su colmatación interna, le fue asignada la **UE 730**.

Tras haber liberado los muros del A29 hasta la altura de su pavimento nos encontrábamos en disposición de mostrar, en conjunto, las evidencias de su sistema de *concameratio* que venía a confirmar su interpretación como una estancia termal calefactada: todos los lienzos contaban con unas oquedades cuadradas de aproximadamente 0'14 m de lado aproximadamente destinadas a encajar en su interior *clavi coctiles*, parcialmente conservados -en algunos casos- en el interior de estos orificios. Para poder referirnos con la precisión necesaria a la localización de cada uno de ellos emplearemos un sistema de coordenadas para cada muro.

- **UE 410**. Orificio para *concameratio* en la cara N del muro **UE 3304**, en posición B1.
- **UE 411**. Orificio para *concameratio* en la cara N del muro **UE 3304**, en posición C1.

- **UE 528.** Orificio para *concameratio* en la cara N del muro **UE 3304**, en posición A2.
- **UE 412.** Orificio para *concameratio* en la cara N del muro **UE 3304**, en posición B2.
- **UE 413.** Orificio para *concameratio* en la cara N del muro **UE 3304**, en posición C2.
- **UE 414.** Orificio para *concameratio* en la cara N del muro **UE 3304**, en posición A3.
- **UE 415.** Orificio para *concameratio* en la cara N del muro **UE 3304**, en posición B3.
- **UE 416.** Orificio para *concameratio* en la cara N del muro **UE 3304**, en posición C3.
- **UE 516.** Fragmento de *clavus coctile* inserto en el orificio **UE 416**.

El conjunto de orificios de *concameratio* y de sus *clavi coctiles* fue unificado como **GU 522**.

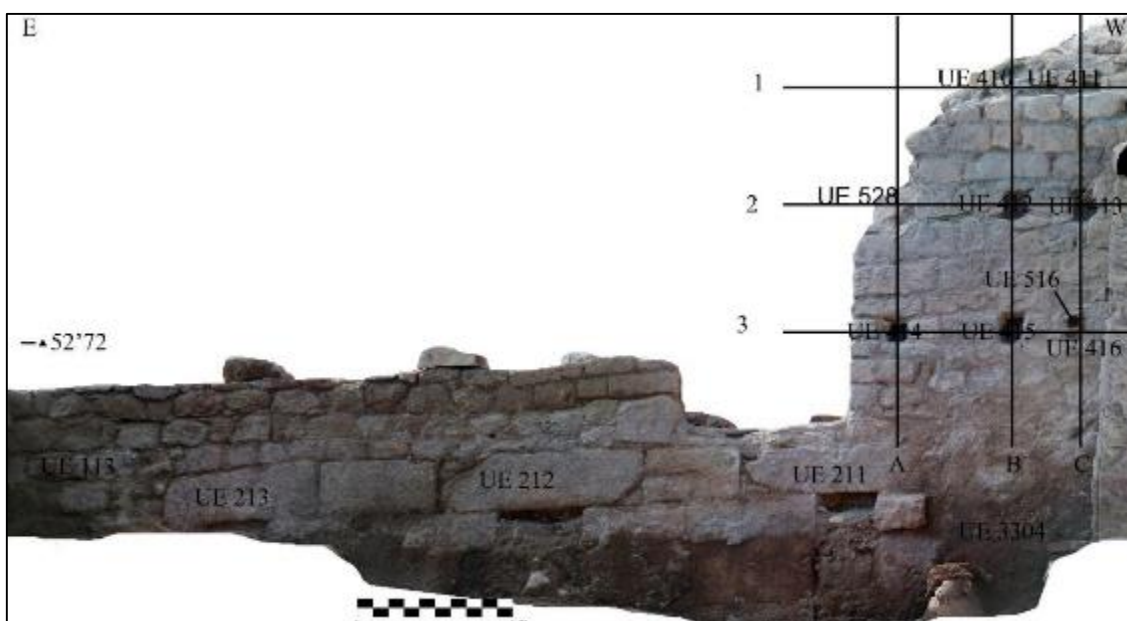


Fig. 106. Ortofotografía de los muros UUEE 3304 y 113 con los orificios de *concameratio*

- **UE 417.** Orificio para *concameratio* en la cara E del muro **UE 144**, en posición A1.
- **UE 418.** Orificio para *concameratio* en la cara E del muro **UE 144**, en posición B1.
- **UE 529.** Orificio para *concameratio* en la cara E del muro **UE 144**, en posición B6.
- **UE 530.** Orificio para *concameratio* en la cara E del muro **UE 144**, en posición B7.
- **UE 419.** Orificio para *concameratio* en la cara E del muro **UE 144**, en posición B8.
- **UE 420.** Orificio para *concameratio* en la cara E del muro **UE 144**, en posición C1.
- **UE 421.** Orificio para *concameratio* en la cara E del muro **UE 144**, en posición C2.
- **UE 422.** Orificio para *concameratio* en la cara E del muro **UE 144**, en posición C3.

- **UE 423.** Orificio para *concameratio* en la cara E del muro **UE 144**, en posición C4.
- **UE 424.** Orificio para *concameratio* en la cara E del muro **UE 144**, en posición C5.
- **UE 425.** Orificio para *concameratio* en la cara E del muro **UE 144**, en posición C6.
- **UE 426.** Orificio para *concameratio* en la cara E del muro **UE 144**, en posición C7.
- **UE 517.** Orificio para *concameratio* en la cara E del muro **UE 144**, en posición C8.
- **UE 518.** Fragmento de *clavus coctile* inserto en el orificio **UE 424**.
- **UE 519.** Fragmento de *clavus coctile* inserto en el orificio **UE 425**.
- **UE 531.** Fragmento de *clavus coctile* inserto en el orificio **UE 426**.

Todo este conjunto fue reunido en el **GU 523**.

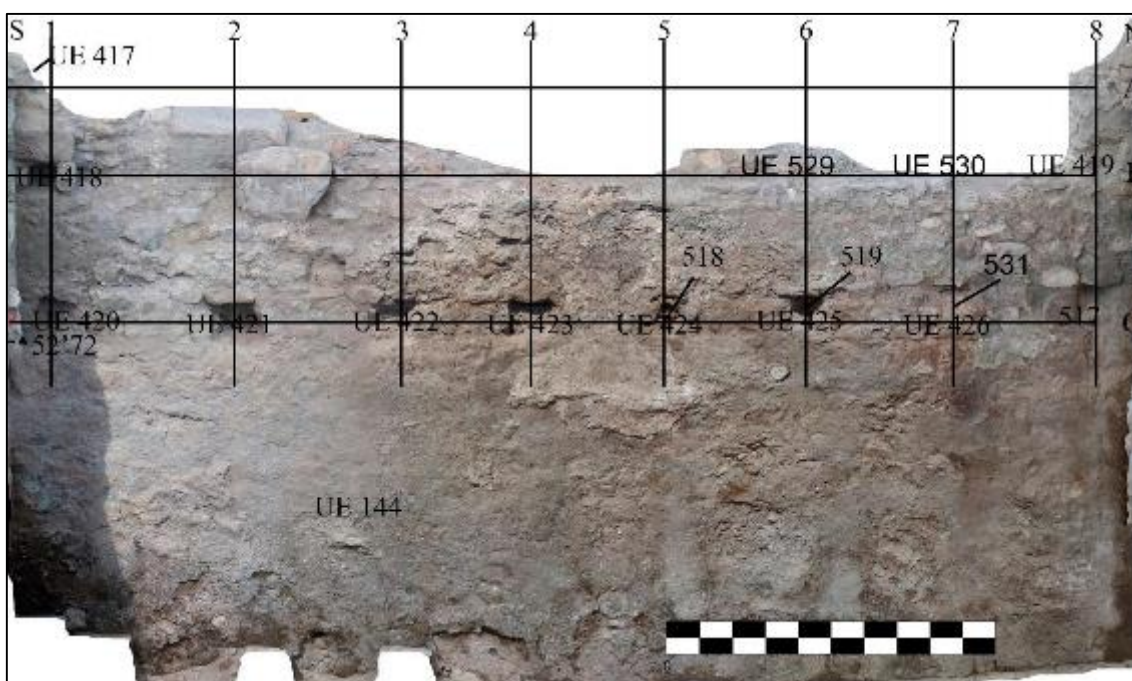


Fig. 107. Ortofotografía del muro UE 144 con los orificios de *concameratio*

- **UE 427.** Orificio para *concameratio* en la cara S del muro **UE 343**, en posición A1.
- **UE 428.** Orificio para *concameratio* en la cara S del muro **UE 343**, en posición B1.
- **UE 429.** Orificio para *concameratio* en la cara S del muro **UE 343**, en posición B2.
- **UE 430.** Orificio para *concameratio* en la cara S del muro **UE 343**, en posición C1.
- **UE 532.** Orificio para *concameratio* en la cara S del muro **UE 343**, en posición C2
- **UE 431.** Orificio para *concameratio* en la cara S del muro **UE 343**, en posición C3.
- **UE 432.** Orificio para *concameratio* en la cara S del muro **UE 343**, en posición C4.
- **UE 518.** Fragmento de *clavus coctile* inserto en el orificio **UE 428**.

- **UE 519.** Fragmento de *clavus coctile* inserto en el orificio **UE 429**.
- **UE 520.** Fragmento de *clavus coctile* inserto en el orificio **UE 432**.

Todos estos elementos de la *concameratio* de la estancia fueron recogidos dentro del **GU 524**.

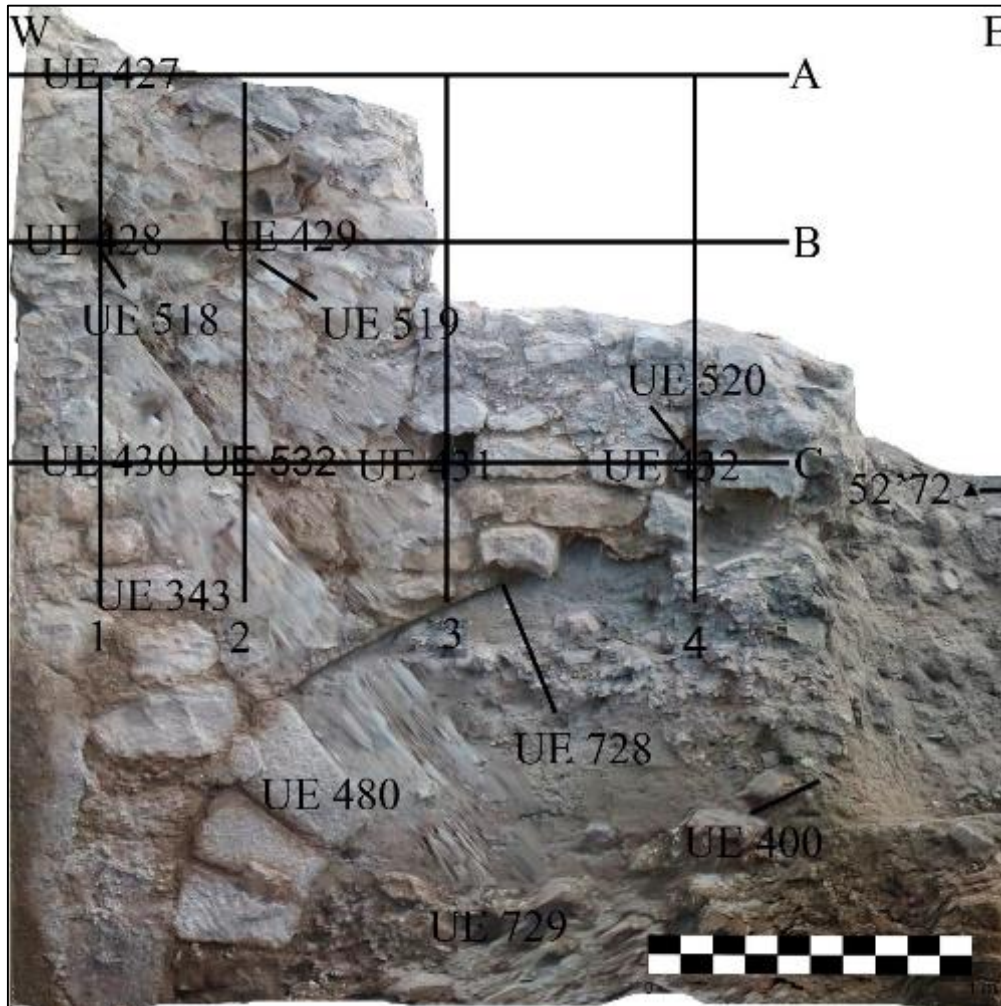


Fig. 108. Ortofotografía del muro UE 343 con los orificios de *concameratio*

- **UE 433.** Orificio para *concameratio* en la cara W del muro **UE 358**, en posición A1.
- **UE 534.** Orificio para *concameratio* en la cara W del muro **UE 358**, en posición A2.
- **UE 535.** Orificio para *concameratio* en la cara W del muro **UE 358**, en posición A3.
- **UE 434.** Orificio para *concameratio* en la cara W del muro **UE 358**, en posición A4.
- **UE 536.** Fragmento de *clavus coctile* inserto en el orificio **UE 534**.

La ampliación de la superficie excavada en el interior del A29 nos llevó a documentar un nuevo tramo del muro **UE 358**, en el que localizamos más evidencias de la *concameratio* de la estancia:

- **UE 716**. Orificio para *concameratio* en la cara W del muro **UE 358**, en posición A0.
- **UE 717**. Orificio para *concameratio* en la cara W del muro **UE 358** en posición A-1.
- **UE 718**. Fragmento de *clavus coctile* inserto en el orificio **UE 717**.

Estos orificios de *concameratio* conforman el **GU 525**.

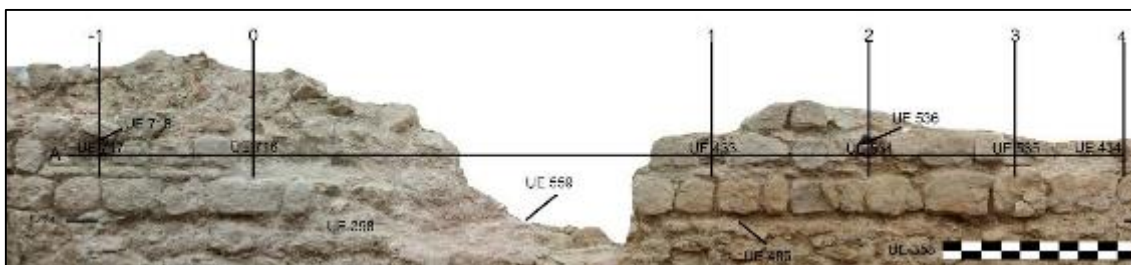


Fig. 109. Ortofotografía del muro UE 358 con los orificios de *concameratio*

Del mismo modo, también reveló indicios similares en el muro **UE 479**:

- **UE 719**. Orificio para *concameratio* en la cara S del muro **UE 479**, en posición A1.
- **UE 720**. Orificio para *concameratio* en la cara N del muro **UE 479** en posición A2.
- **UE 721**. Fragmento de *clavus coctile* inserto en el orificio **UE 719**.

Todos estos elementos de la *concameratio* integran el **GU 722**.

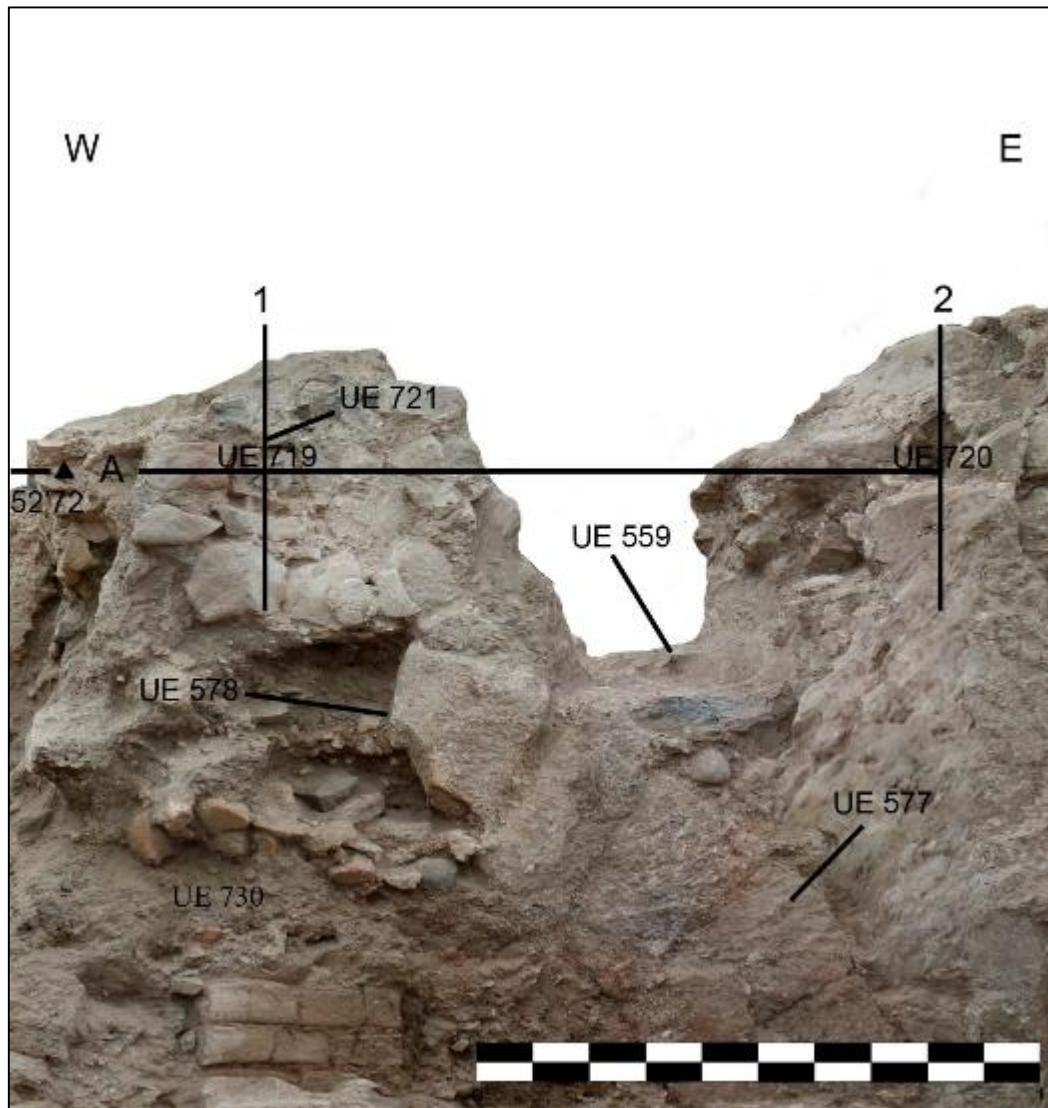


Fig. 110. Ortofotografía del muro UE 479 con los orificios de concameratio



Fig. 111. Vista en detalle de varios orificios de concameratio donde uno de ellos -UE 416- cuenta con parte de un clavus coctile en su interior



Fig. 112. Planta estratigráfica del A29 tras retirar UE 436

Proseguimos con la retirada del nivel superior del relleno del hipocausto -UE 436- de manera que, paulatinamente, fueron aflorando nuevas *pilae*:

- **UE 610.** *Pila* de hipocausto a base de ladrillos besales, situada en posición B6.
- **UE 611.** *Pila* de hipocausto a base de ladrillos besales, situada en posición C6.
- **UE 612.** *Pila* de hipocausto a base de ladrillos besales, situada en posición D6.
- **UE 596.** *Pila* de hipocausto a base de ladrillos besales, situada en posición E3.
- **UE 589.** *Pila* de hipocausto a base de ladrillos besales, situada en posición E5.
- **UE 537.** *Pila* de hipocausto a base de ladrillos besales, situada en posición E8.
- **UE 643.** *Pila* de hipocausto a base de ladrillos besales, situada en posición F2.

- **UE 592.** *Pila* de hipocausto a base de ladrillos besales, situada en posición F4.
- **UE 630.** *Pila* de hipocausto a base de ladrillos besales, situada en posición G6.
- **UE 538.** *Pila* de hipocausto a base de ladrillos besales, situada en posición G9.
- **UE 606.** *Pila* de hipocausto a base de ladrillos besales, situada en posición H1.
- **UE 602.** *Pila* de hipocausto a base de ladrillos besales, situada en posición H2.
- **UE 597.** *Pila* de hipocausto a base de ladrillos besales, situada en posición H3.
- **UE 593.** *Pila* de hipocausto a base de ladrillos besales, situada en posición H4.
- **UE 651.** *Pila* de hipocausto a base de ladrillos besales, situada en posición H5.
- **UE 547.** *Pila* de hipocausto a base de ladrillos besales, situada en posición I6.
- **UE 543.** *Pila* de hipocausto a base de ladrillos besales, situada en posición I8.
- **UE 539.** *Pila* de hipocausto a base de ladrillos besales, situada en posición I9.
- **UE 607.** *Pila* de hipocausto a base de ladrillos besales, situada en posición J1.
- **UE 603.** *Pila* de hipocausto a base de ladrillos besales, situada en posición J2.
- **UE 598.** *Pila* de hipocausto a base de ladrillos besales, situada en posición J3.
- **UE 594.** *Pila* de hipocausto a base de ladrillos besales, situada en posición J4.
- **UE 590.** *Pila* de hipocausto a base de ladrillos besales, situada en posición J5.
- **UE 548.** *Pila* de hipocausto a base de ladrillos besales, situada en posición J6.
- **UE 544.** *Pila* de hipocausto a base de ladrillos besales, situada en posición J8.
- **UE 540.** *Pila* de hipocausto a base de ladrillos besales, situada en posición J9.
- **UE 608.** *Pila* de hipocausto a base de ladrillos besales, situada en posición K1.
- **UE 604.** *Pila* de hipocausto a base de ladrillos besales, situada en posición K2.
- **UE 599.** *Pila* de hipocausto a base de ladrillos besales, situada en posición K3.
- **UE 549.** *Pila* de hipocausto a base de ladrillos besales, situada en posición K6.
- **UE 545.** *Pila* de hipocausto a base de ladrillos besales, situada en posición K8.
- **UE 541.** *Pila* de hipocausto a base de ladrillos besales, situada en posición K9.
- **UE 586.** *Pila* de hipocausto a base de ladrillos besales, situada entre las posiciones L7 y L8.
- **UE 609.** *Pila* de hipocausto a base de ladrillos besales, situada en posición L1.
- **UE 605.** *Pila* de hipocausto a base de ladrillos besales, situada en posición L2.
- **UE 600.** *Pila* de hipocausto a base de ladrillos besales, situada en posición L3.
- **UE 595.** *Pila* de hipocausto a base de ladrillos besales, situada en posición L4.
- **UE 591.** *Pila* de hipocausto a base de ladrillos besales, situada en posición L5.

- **UE 588.** *Pila* de hipocausto a base de ladrillos besales, situada en posición L6.
- **UE 587.** *Pila* de hipocausto a base de ladrillos besales, situada en posición L7.
- **UE 546.** *Pila* de hipocausto a base de ladrillos besales, situada en posición L8.
- **UE 542.** *Pila* de hipocausto a base de ladrillos besales, situada en posición L9.

Estas *pilae*, al igual que las anteriormente documentadas, afloran a través de un estrato de tonalidad cenicienta y muy disgregado -**UE 456**-. Es ahora cuando hemos sacado a la luz su superficie completa, que se extiende por todo el interior del hipocausto. En su composición encontramos abundante presencia de cenizas procedentes del hipocausto, así como un elevado volumen de restos de materiales constructivos (*clavi coctile*, fragmentos de enlucido y de mosaico). Todo ello nos lleva a proponer que se trata del primer nivel de relleno del hipocausto tras la rotura del pavimento de la sala: aprovechan el espacio subterráneo de la misma para dejar caer en su interior los restos del colapso de la *concameratio* y del suelo de la propia estancia. Una vez documentado procedimos a su remoción, aunque dejando un pequeño testigo entre las posiciones de *pilae* H1-H3 y H3-L3 a modo de muestra de su composición.

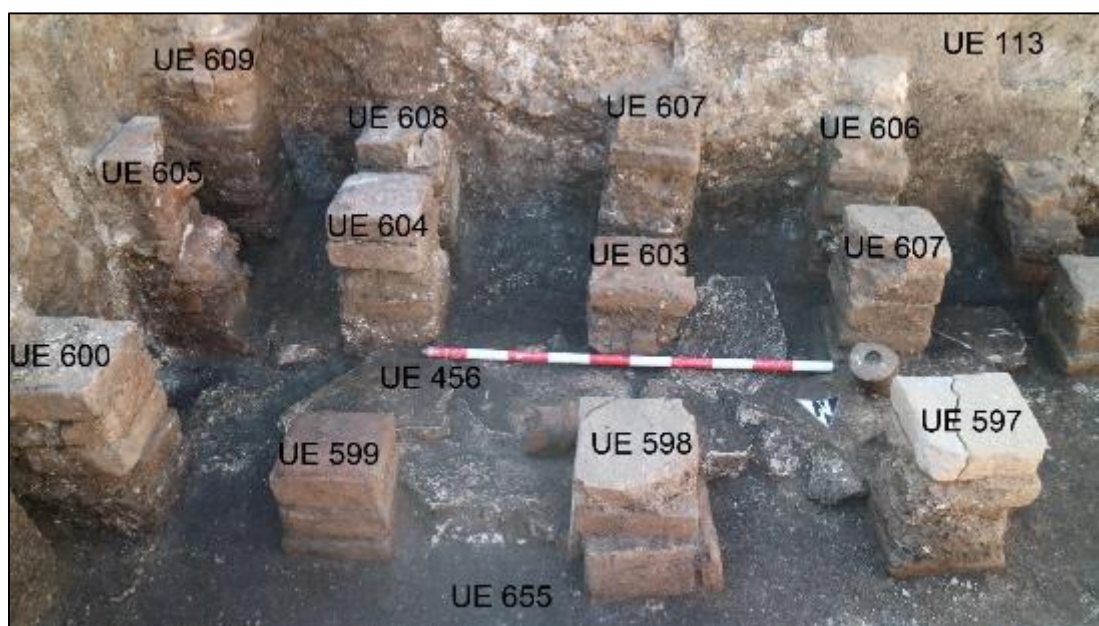


Fig. 113. Detalle de UE 456, donde se aprecia la presencia de materiales constructivos

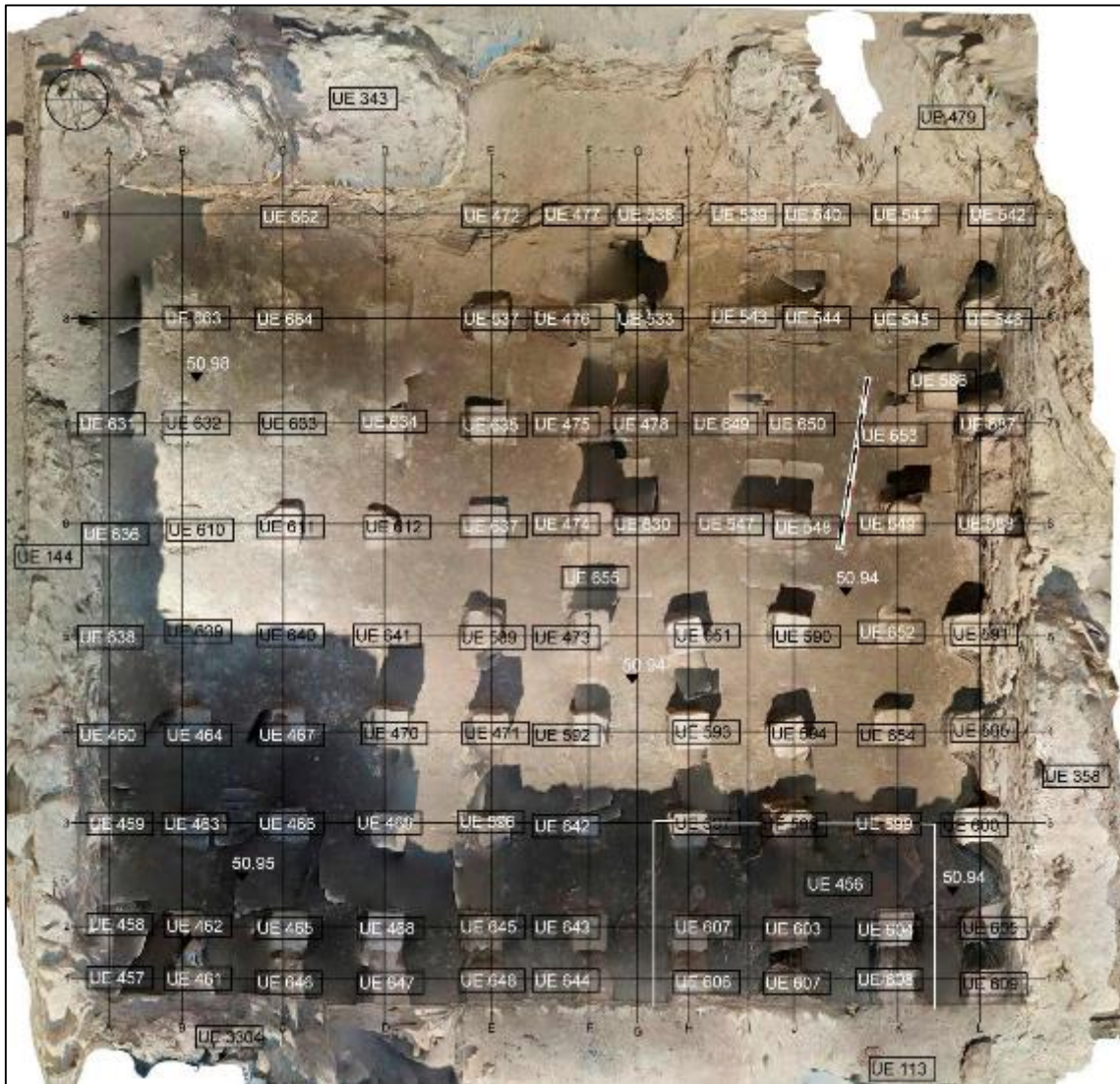


Fig. 114. Planta estratigráfica del A29 tras dejar visible el pavimento UE 655

Bajo este nivel hallamos una capa de mortero de tonalidad amarillenta, muy compacta y horizontal que ocupa todo el interior de la estancia a la que asignamos la **UE 655**. Se trata claramente de un nivel de pavimento del hipocausto. Sin embargo, en el ángulo NW de la estancia se insinuaba -al mismo nivel de **UE 655**- la presencia de *pilae* no documentadas que claramente arrancaban desde una cota inferior. Debía tratarse, por tanto, de un pavimento relacionado a una reforma o reparación de la sala calefactada y no su nivel de suelo original. La retirada de **UE 456** nos permitió documentar, por ende, nuevas *pilae*:

- **UE 638.** *Pila* de hipocausto a base de ladrillos besales, situada en posición A5.
- **UE 636.** *Pila* de hipocausto a base de ladrillos besales, situada en posición A6.

- **UE 631.** *Pila* de hipocausto a base de ladrillos besales, situada en posición A7.
- **UE 639.** *Pila* de hipocausto a base de ladrillos besales, situada en posición B5.
- **UE 632.** *Pila* de hipocausto a base de ladrillos besales, situada en posición B7.
- **UE 663.** *Pila* de hipocausto a base de ladrillos besales, situada en posición B8.
- **UE 646.** *Pila* de hipocausto a base de ladrillos besales, situada en posición C1.
- **UE 640.** *Pila* de hipocausto a base de ladrillos besales, situada en posición C5.
- **UE 633.** *Pila* de hipocausto a base de ladrillos besales, situada en posición C7.
- **UE 664.** *Pila* de hipocausto a base de ladrillos besales, situada en posición C8.
- **UE 662.** *Pila* de hipocausto a base de ladrillos besales, situada en posición C9.
- **UE 647.** *Pila* de hipocausto a base de ladrillos besales, situada en posición D1.
- **UE 641.** *Pila* de hipocausto a base de ladrillos besales, situada en posición D5.
- **UE 634.** *Pila* de hipocausto a base de ladrillos besales, situada en posición D7.
- **UE 648.** *Pila* de hipocausto a base de ladrillos besales, situada en posición E1.
- **UE 645.** *Pila* de hipocausto a base de ladrillos besales, situada en posición E2.
- **UE 637.** *Pila* de hipocausto a base de ladrillos besales, situada en posición E6.
- **UE 635.** *Pila* de hipocausto a base de ladrillos besales, situada en posición E7.
- **UE 644.** *Pila* de hipocausto a base de ladrillos besales, situada en posición F1.
- **UE 642.** *Pila* de hipocausto a base de ladrillos besales, situada en posición F3.
- **UE 650.** *Pila* de hipocausto a base de ladrillos besales, situada en posición J7.
- **UE 654.** *Pila* de hipocausto a base de ladrillos besales, situada en posición K4.
- **UE 652.** *Pila* de hipocausto a base de ladrillos besales, situada en posición K5.
- **UE 653.** *Pila* de hipocausto a base de ladrillos besales, situada en posición K7.

Con la extracción de los niveles de relleno del hipocausto -**UUEE 436** y **456**- quedó completamente visible una anomalía en la cara interna del muro **UE 358** que ya se intuía desde que se comenzó a excavar el basurero. Observamos una apertura semicircular en el centro de este lienzo murario que mide aproximadamente 1'4 m de anchura en su parte inferior y 1'2 m de altura, que fue registrada como **UE 623**. La parte inferior de su extremo S aparece flanqueada por un sillar que forma parte del propio muro **UE 358**, del que sobresale ligeramente. Esta cavidad estaba cegada mediante un tapiado realizado a base de material reutilizado -piedra y ladrillos- trabado con mortero de cal al que le asignamos la **UE 624**. Este cerramiento se asienta directamente sobre el

pavimento de **UE 655**. También lo hace un alzado de ladrillos -**UE 622**- que ocupa el espacio existente entre las *pilae* **UUEE 587** y **588** y que se apoya directamente contra la cara W de **UE 624**.



*Fig. 115. Vista en detalle de la apertura UE 623 y de su cerramiento UE 624*

La apertura **UE 624** fue interpretada como la entrada de calor de un *praefurnium* que estaría situado al E del A29. El sillar **UE 727** sería parte de su embocadura, mientras que la del extremo opuesto quedaría oculta tras las *pilae* **UUEE 587** y **588** y por el tapiado de ladrillos que las une -**UE 622**-.

Dado que el pavimento **UE 655** no era el suelo más antiguo de la estancia decidimos proceder a su desmonte con el fin de acceder al pavimento original.



Fig. 116. Excavación de UE 655 y hallazgo de la lucerna nº inv. LA'19-655-94

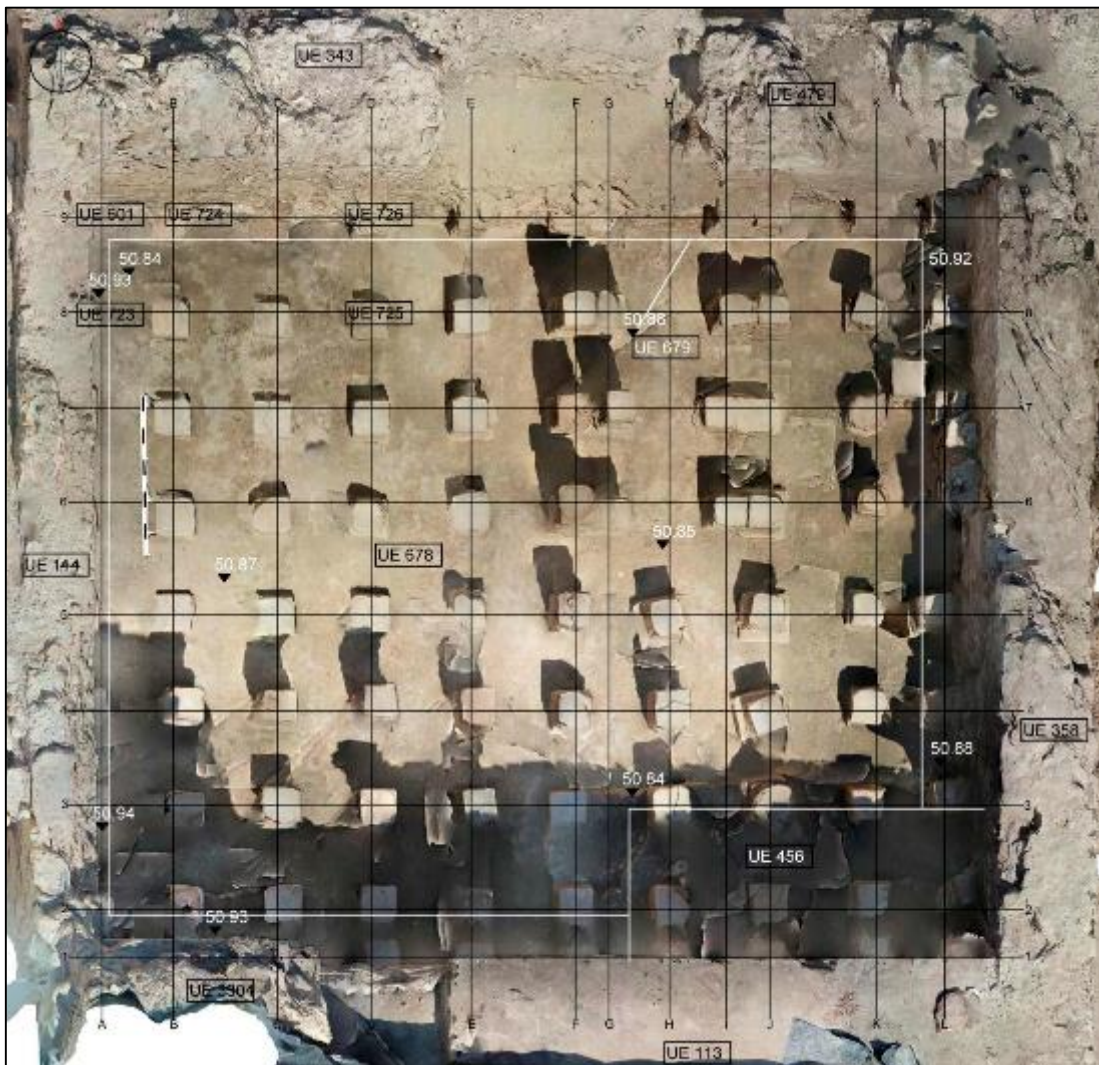
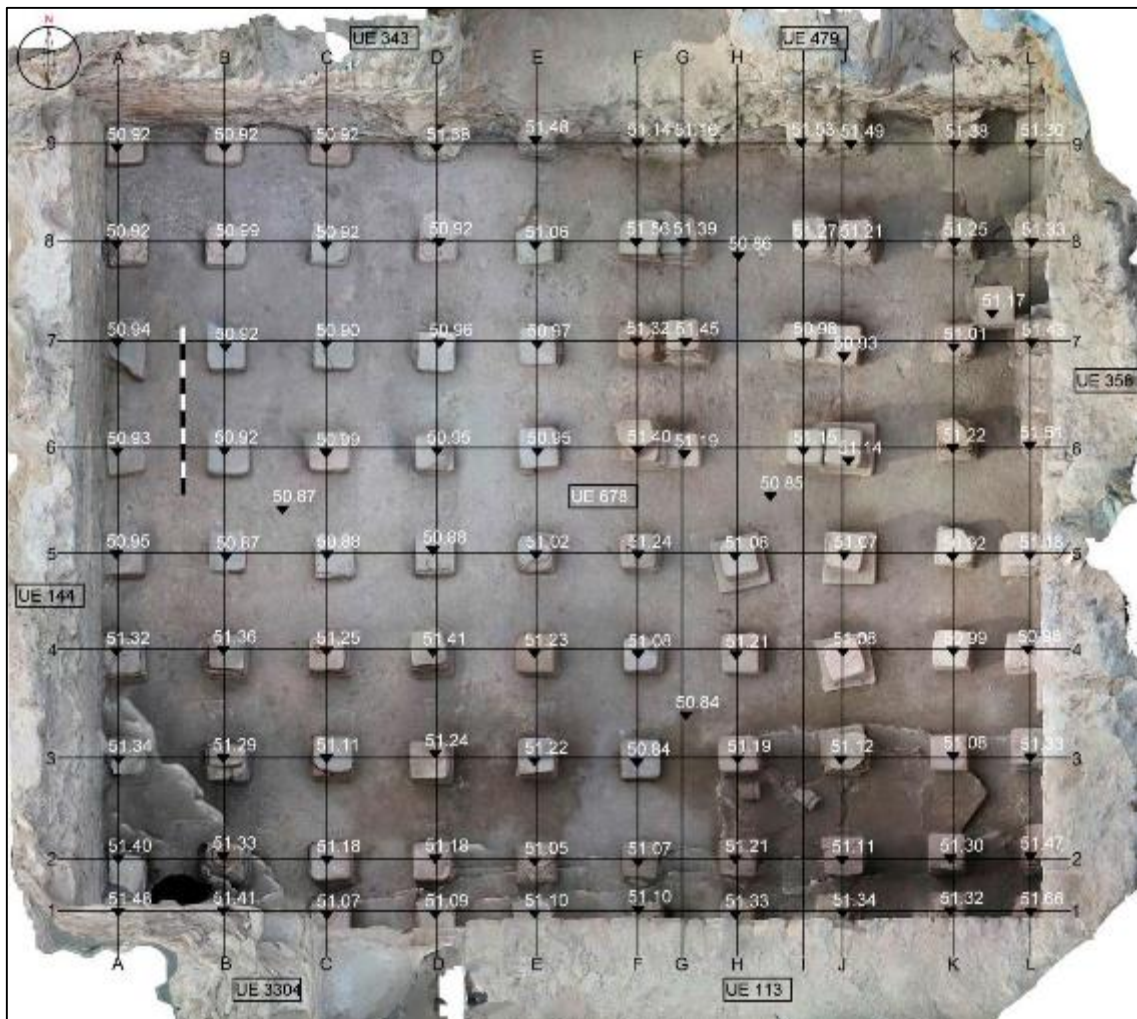


Fig. 117. Planta estratigráfica del A29 tras retirar el pavimento UE 655, en la que hemos indicado la UUEE de las nuevas pilae documentadas

Accedimos así a las últimas *pilae* que quedaban por documentar:

- **UE 723.** *Pila* de hipocausto a base de ladrillos besales, situada en posición A8.
- **UE 601.** *Pila* de hipocausto a base de ladrillos besales, situada en posición A9.
- **UE 724.** *Pila* de hipocausto a base de ladrillos besales, situada en posición B9.
- **UE 725.** *Pila* de hipocausto a base de ladrillos besales, situada en posición D8.
- **UE 726.** *Pila* de hipocausto a base de ladrillos besales, situada en posición D9.

Todas estas *pilae* fueron incorporadas al **GU 521**.

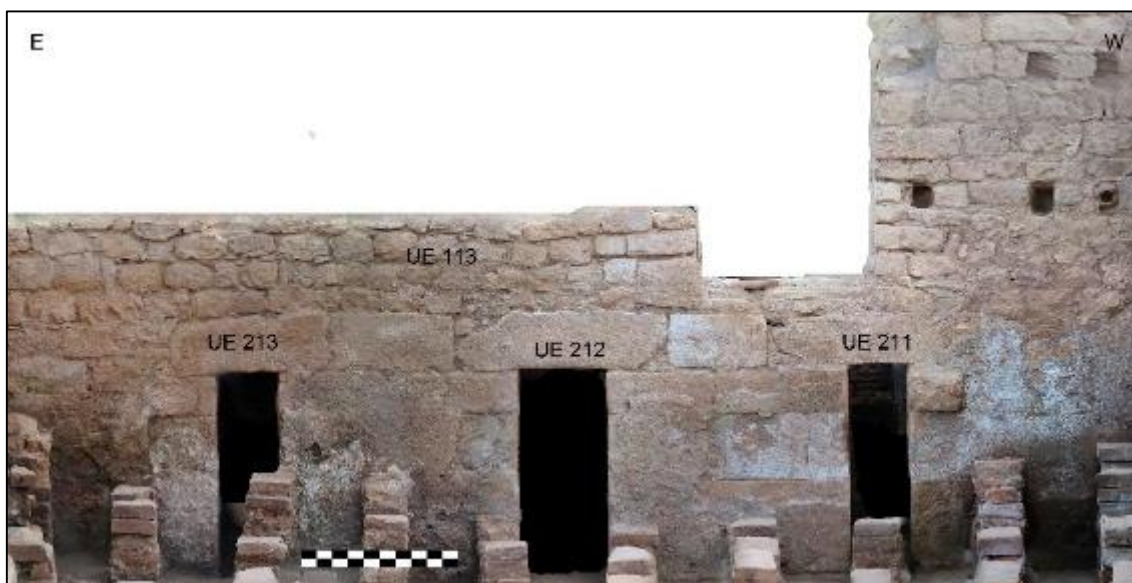


*Fig. 118. Planta estratigráfica del A29 una vez finalizada su excavación con las cotas correspondientes a sus pilae*

Y finalmente, alcanzamos el fondo de la estancia: **UE 678**. Un nivel de mortero de cal compacto sobre el que se alzan todas las *pilae* del hipocausto. Bordeando su perímetro encontramos, apoyado en los muros, una capa de ceniza muy disgregada -**UE 679**-. Son,

muy probablemente, los restos de la limpieza del hipocausto que no fueron retirados antes de pavimentarlo de nuevo con **UE 655**. Tras su remoción agotamos la estratigrafía en el interior de la estancia.

Únicamente quedaba pendiente excavar la colmatación de las aperturas para la circulación del aire caliente existentes en el muro **UE 113**: **UUEE 211, 212 y 213**. Su vaciado supuso la extracción de los paquetes estratigráficos **UUEE 686, 687 y 688** y el final a nuestra intervención arqueológica en el A29.



*Fig. 119. Vista en detalle del lienzo del muro UE 113 tras finalizar la excavación del A.*

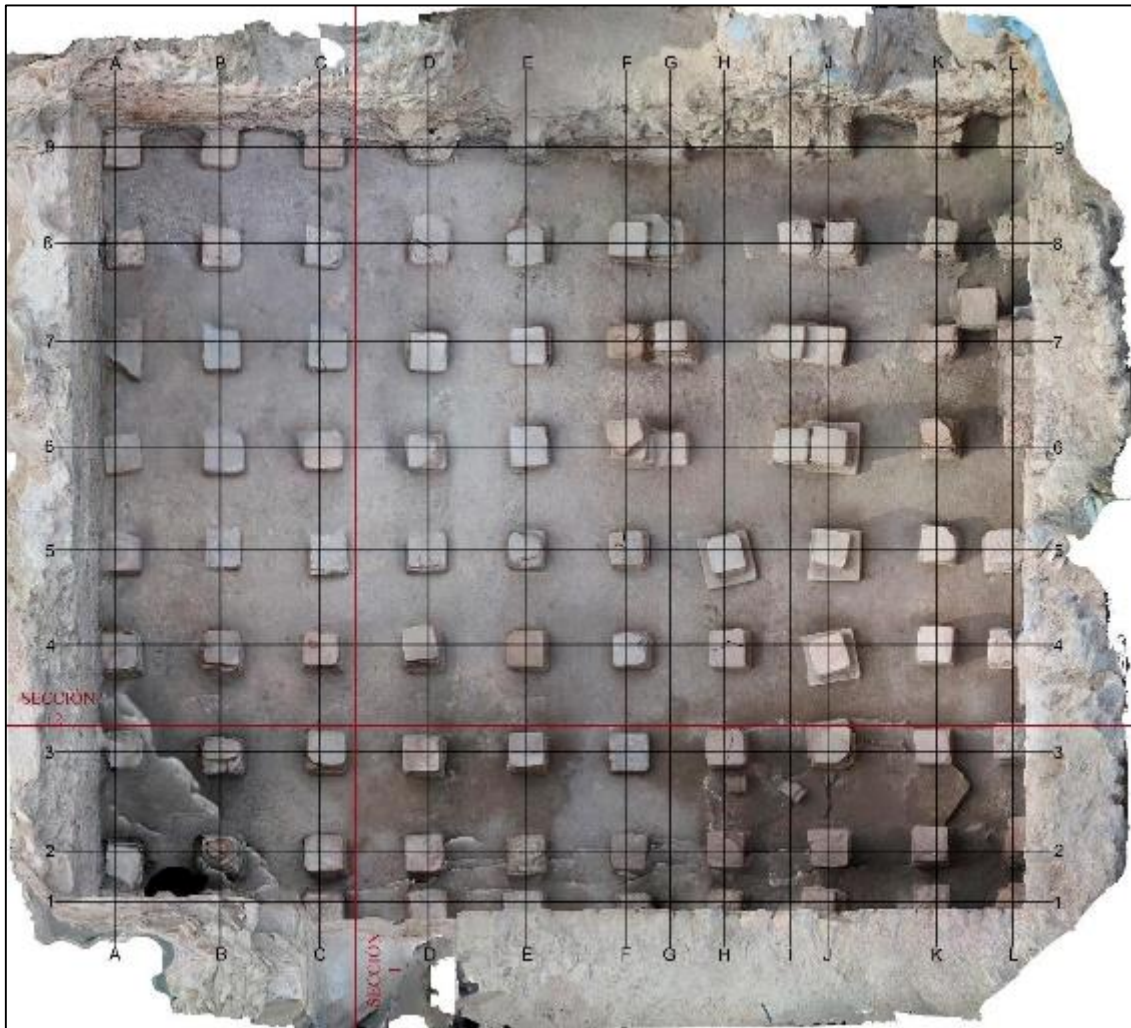
*Se aprecian las aperturas de calor UUEE 211, 212 y 213 sin su relleno*

Contamos con elementos de peso -cegamiento del *praefurnium* **UE 623**, repavimentación a través de **UE 655**- como para inferir una importante reestructuración de esta sala calefactada. Incide en ello el hecho de que varias de las *pilae* dan claras muestras de anomalías. Percibimos que, efectivamente, las *pilae* **UUEE 651, 594, 590 y 548** se asientan sobre un tipo de ladrillo de distinto módulo al del resto de su alzado - mide 0'3 m de lado en lugar de 0'18 m-. Pero incluso dentro de los ladrillos de 0'18 m de lado encontramos distintos calibres: 0'04 m y 0'06 m de altura. Hay una pila -**UE 598**- donde observamos que, directamente, asientan el alzado de ladrillos besales sobre una base construida con cuatro ladrillos que se sustentan sobre el firme por su cara más estrecha, apoyándose unos contra otros con el fin de obtener una altura mayor de la que se conseguiría colocándolos apilados.



*Fig. 120. Vista en detalle de algunas de las pilae en las que registramos anomalías*

El lugar de colocación de las *pilae* es otro elemento a considerar. El hecho de que alguna de ellas no se encuentre en ninguna de las filas existentes -como ocurre con **UE 586**- o que otras, como **UUEE 588** y **591**, no respeten el espacio de la apertura de *praefurnium* **UE 623** ayuda a concluir que toda esta modificación interna del hipocausto se debe, en buena parte, a un cambio en el circuito de circulación del aire caliente.



*Fig. 121. Ubicación de las secciones de las estructuras y niveles de relleno del A29*

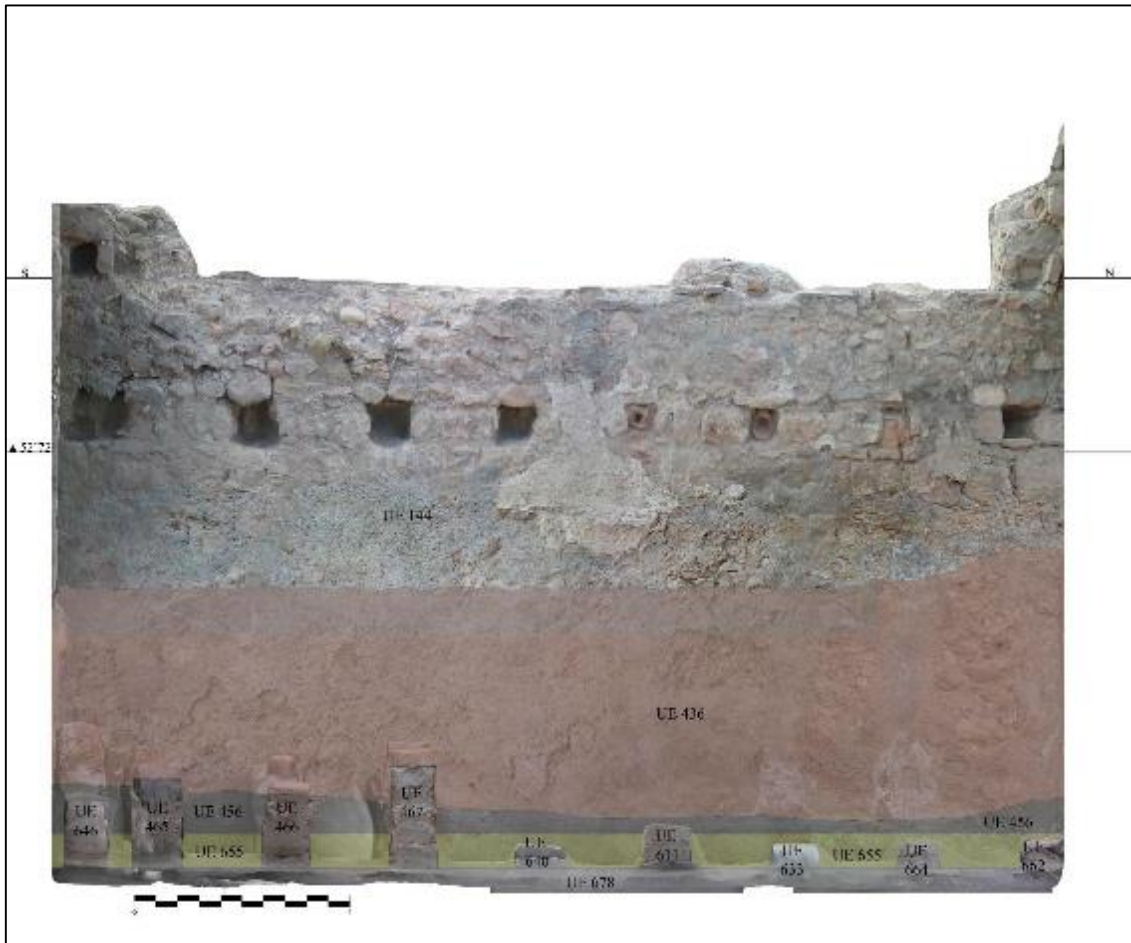


Fig. 122. Sección 1 (sentido N-S) de las estructuras y niveles de relleno del A29

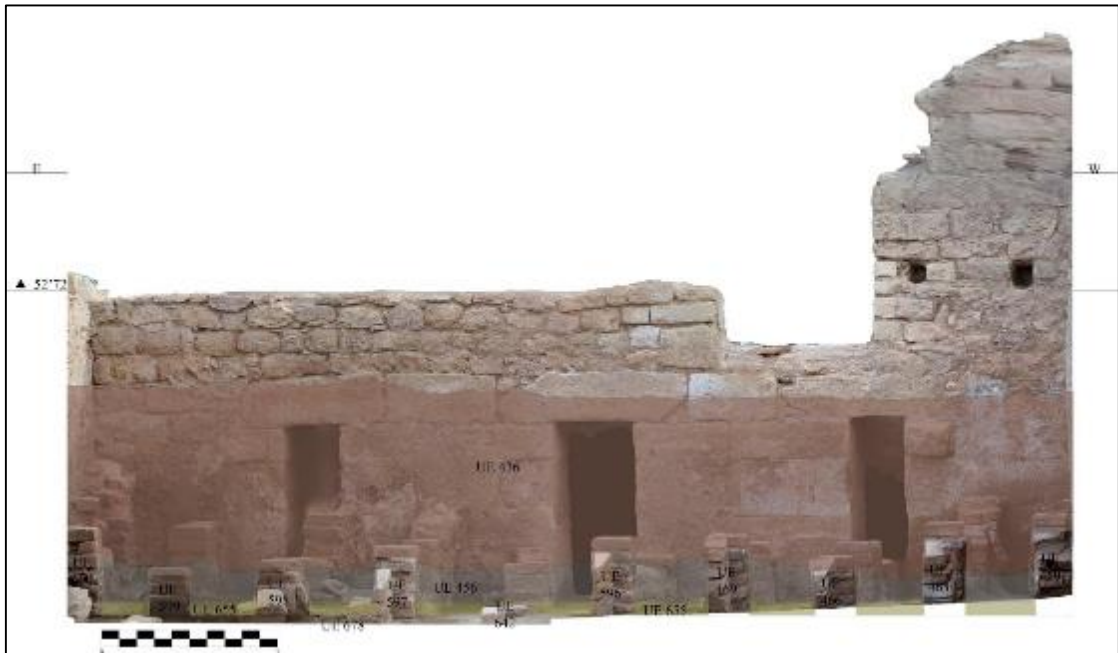


Fig. 123. Sección 2 (sentido E-W) de las estructuras y niveles de relleno del A29

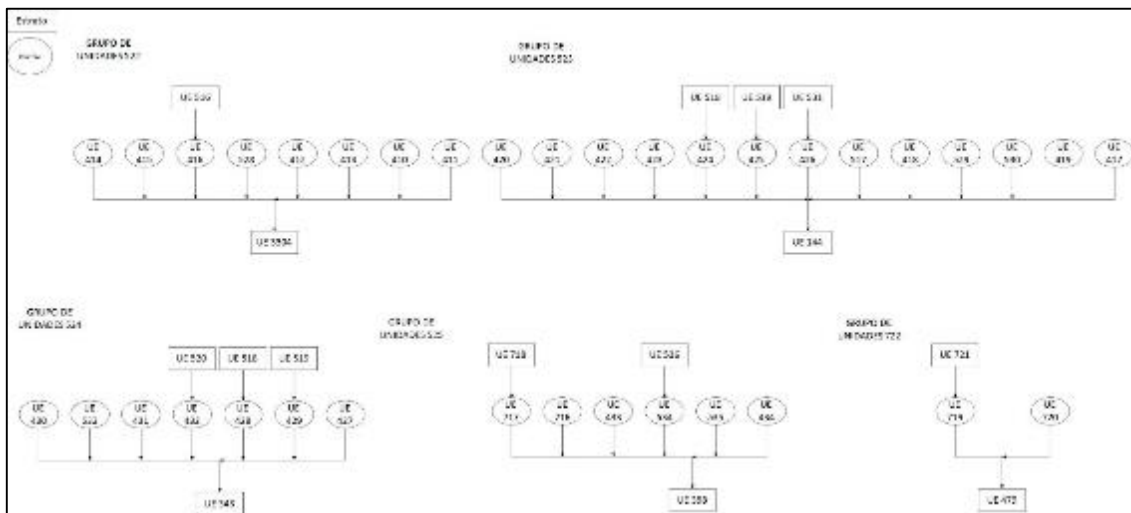


Fig. 124. Diagrama estratigráfico de los Grupos de Unidades correspondientes a los alzados de los muros del A29

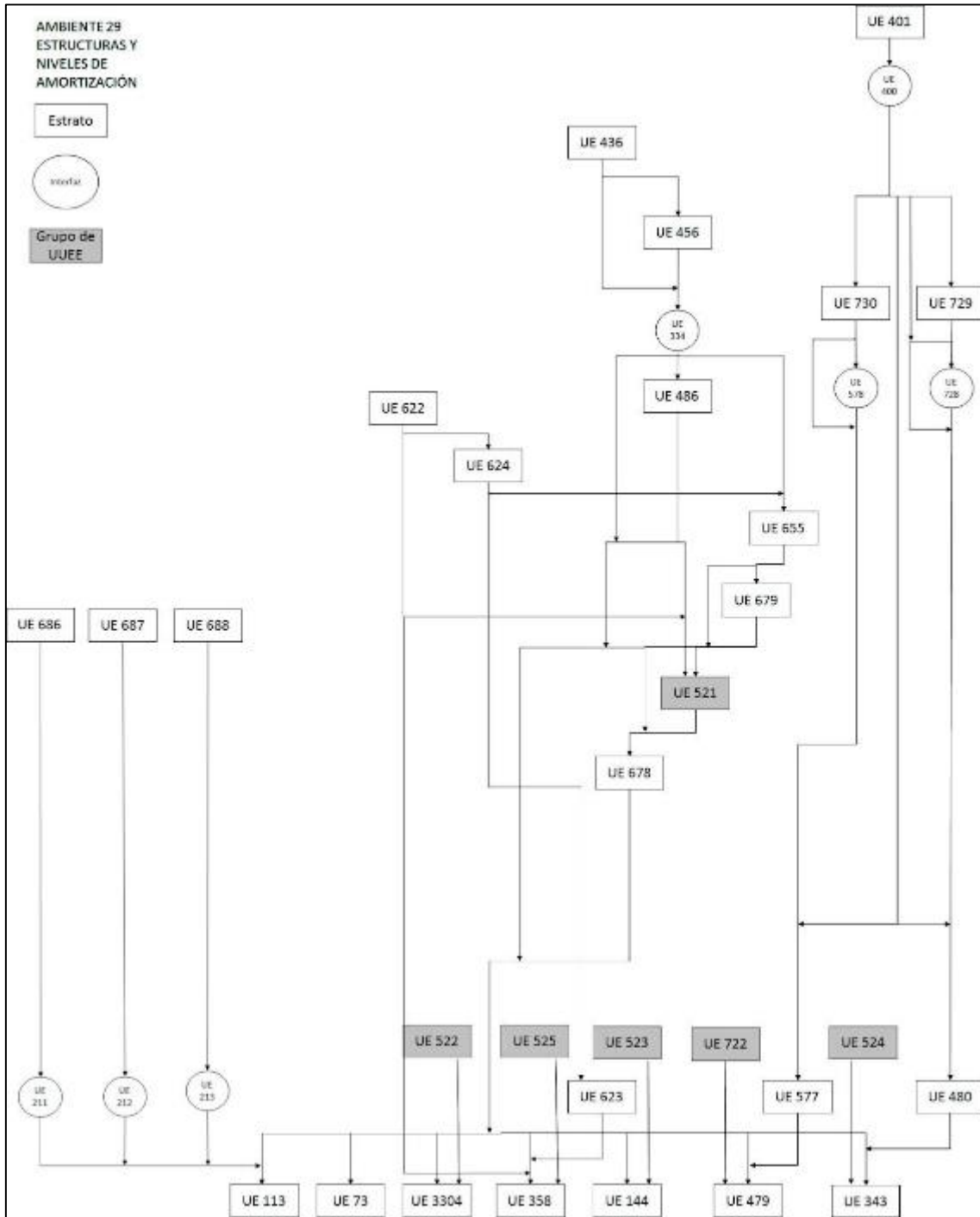


Fig. 125. Diagrama estratigráfico de la excavación sobre las estructuras y los niveles de amortización del A29

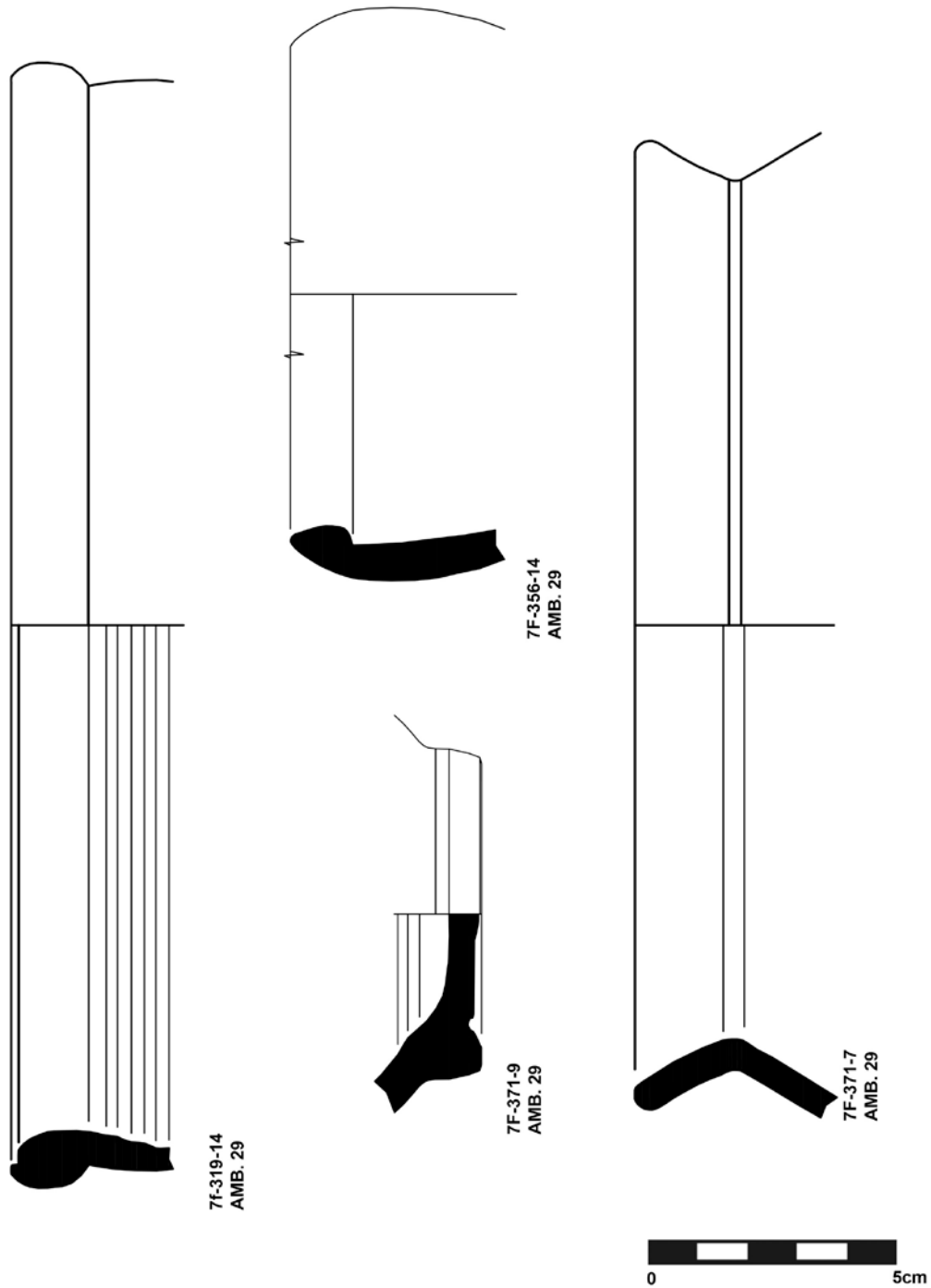


Fig. 126. Lámina con dibujos de materiales arqueológicos aparecidos en el A29

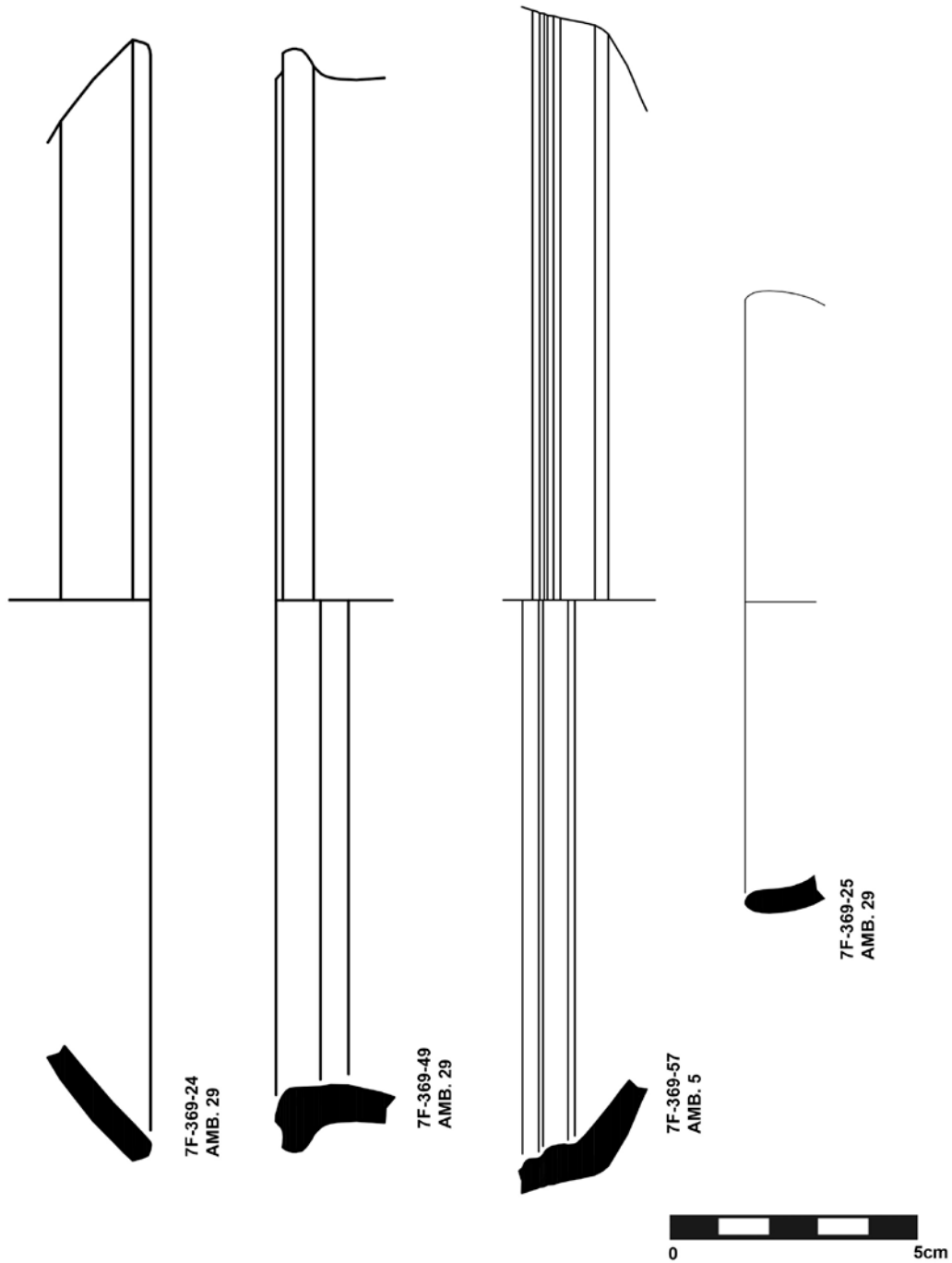


Fig. 127. Lámina con dibujos de materiales arqueológicos aparecidos en el A29

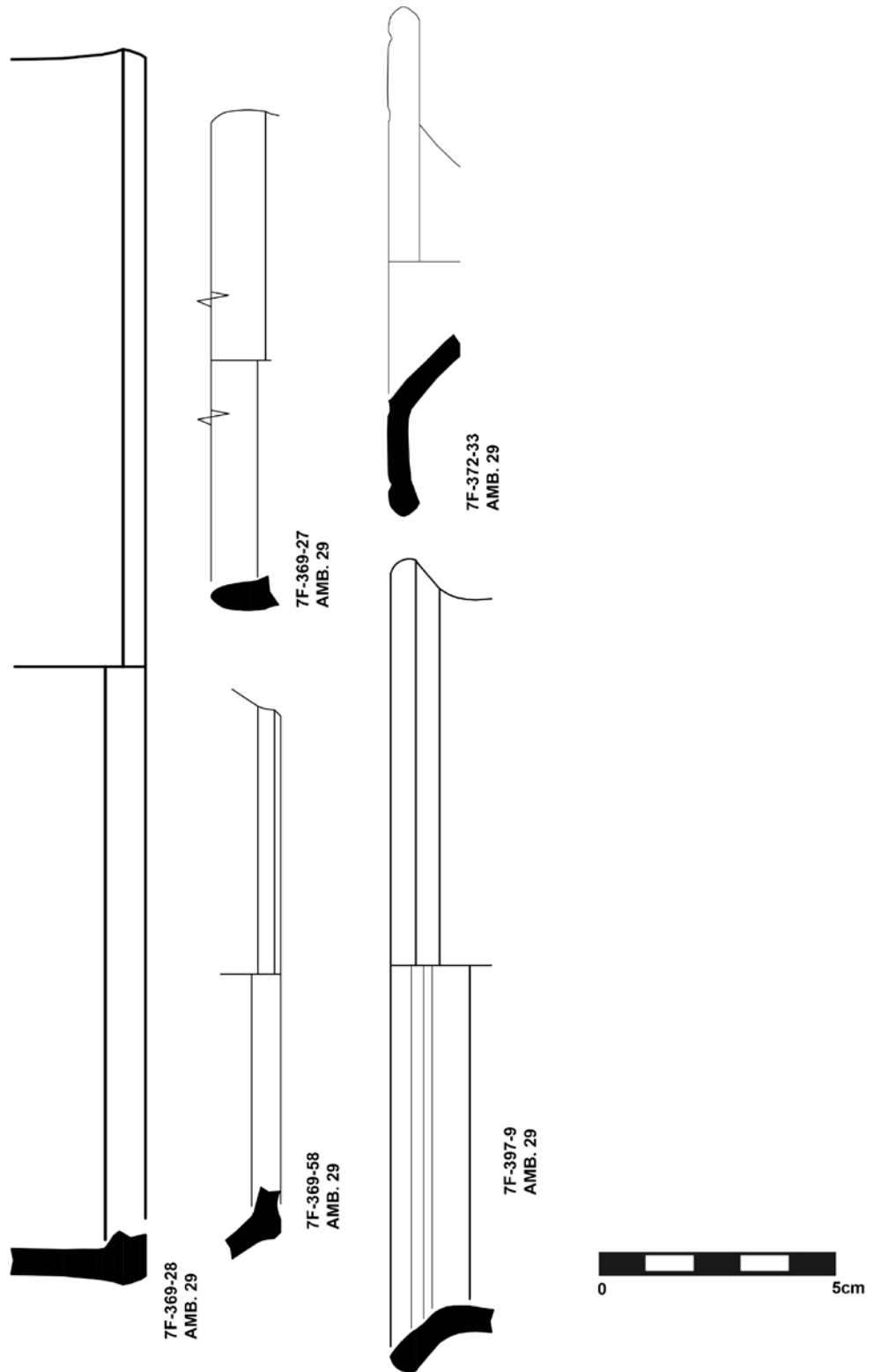


Fig. 128. Lámina con dibujos de materiales arqueológicos aparecidos en el A29

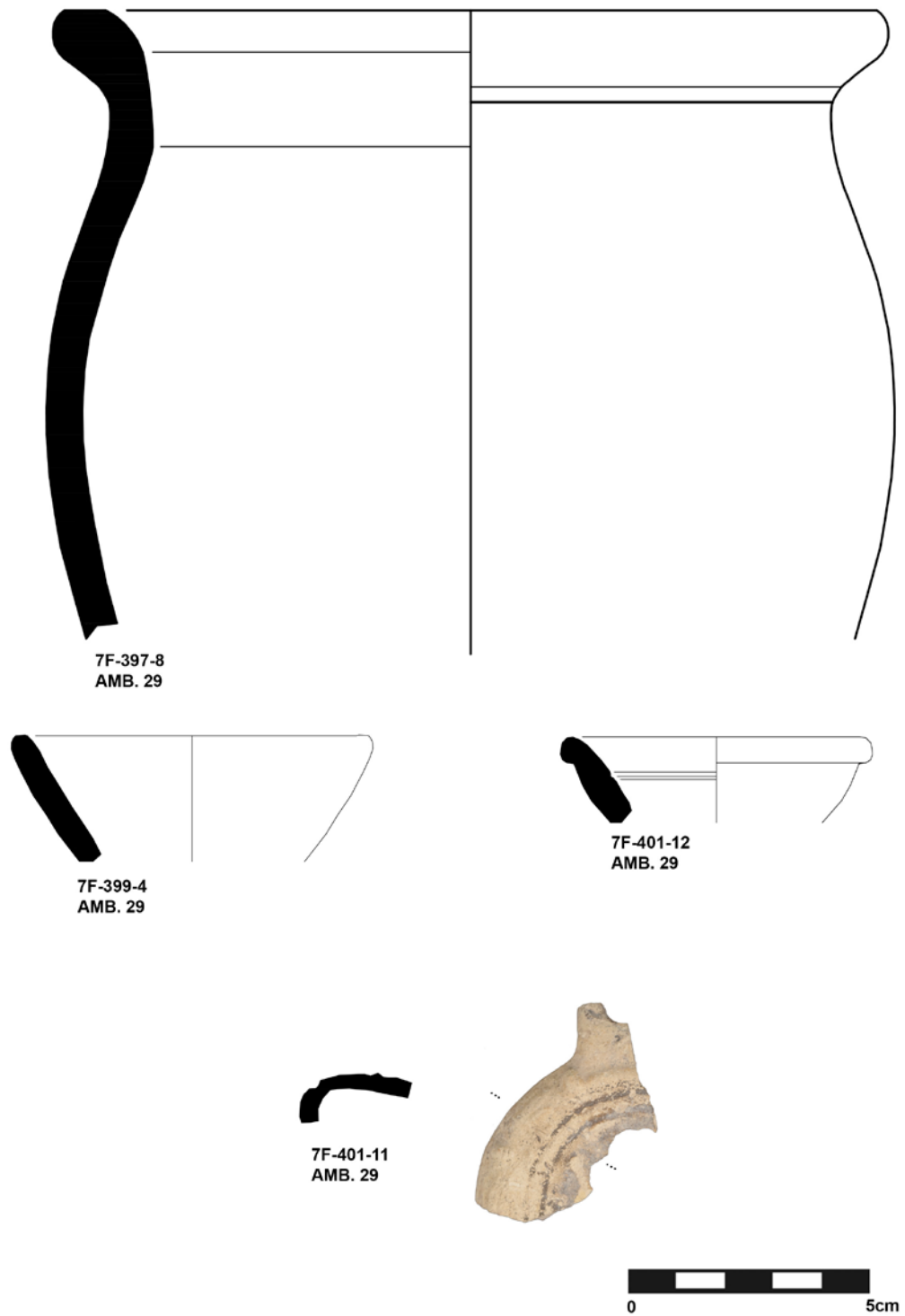


Fig. 129. Lámina con dibujos de materiales arqueológicos aparecidos en el A29

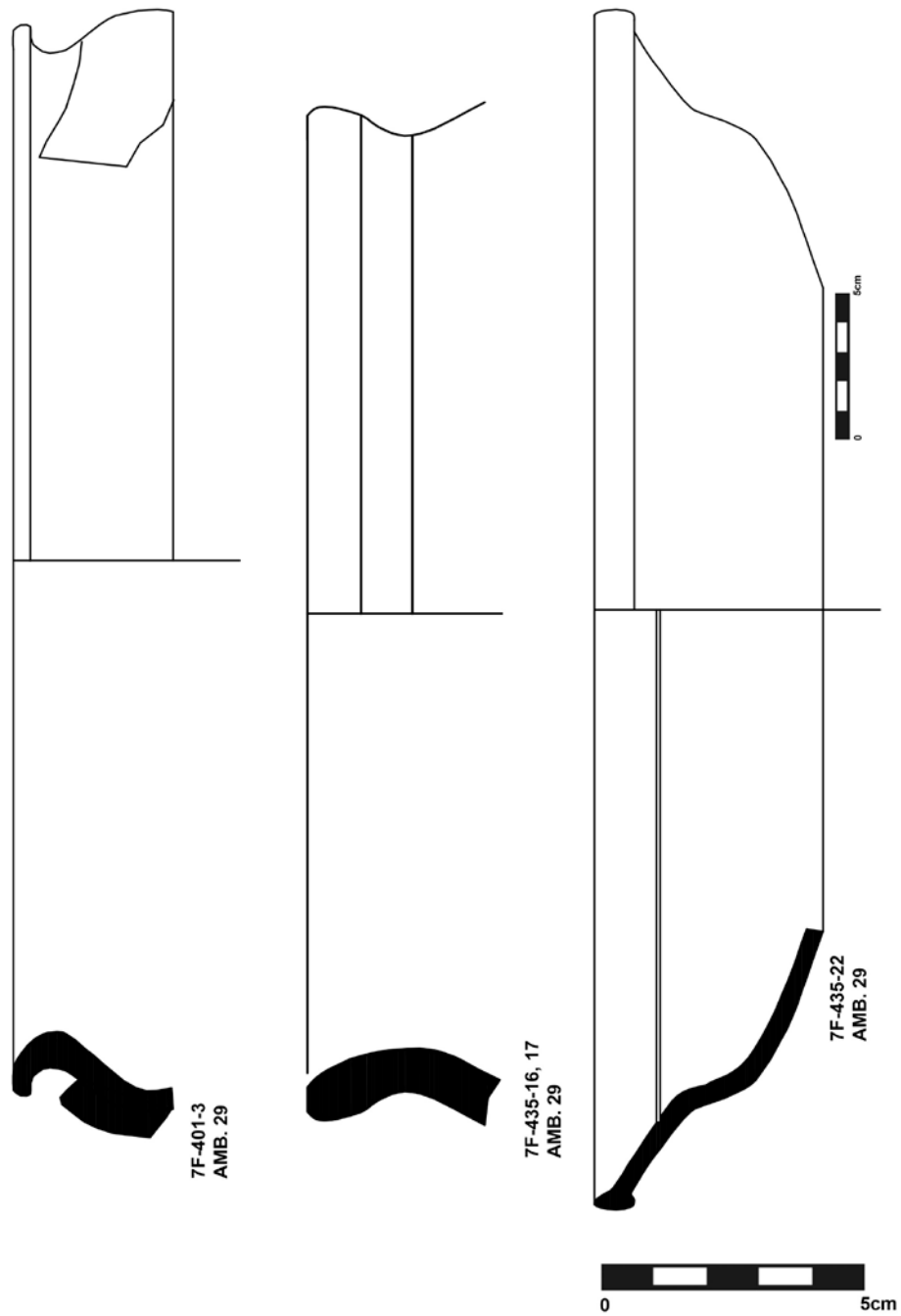


Fig. 130. Lámina con dibujos de materiales arqueológicos aparecidos en el A29

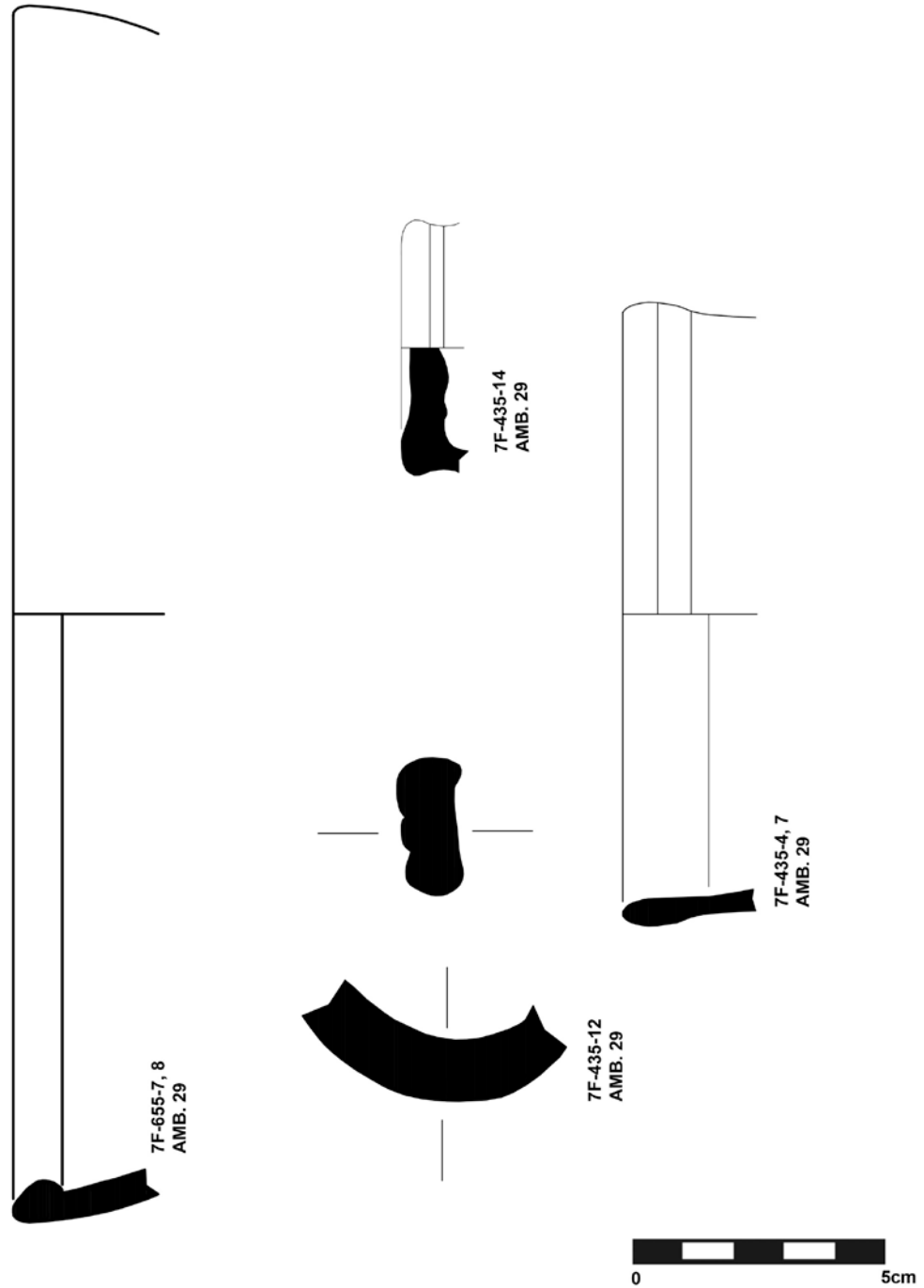


Fig. 131. Lámina con dibujos de materiales arqueológicos aparecidos en el A29

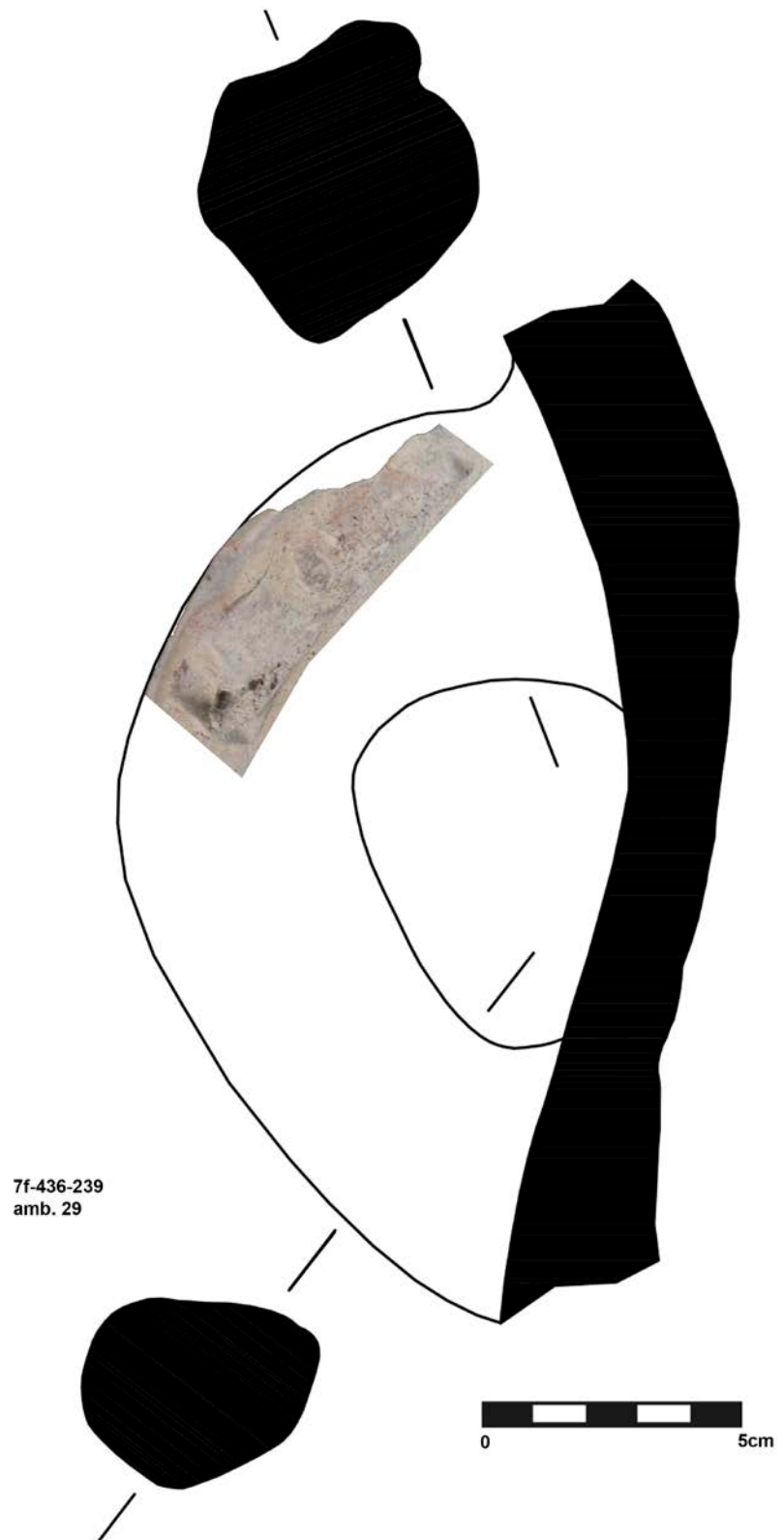
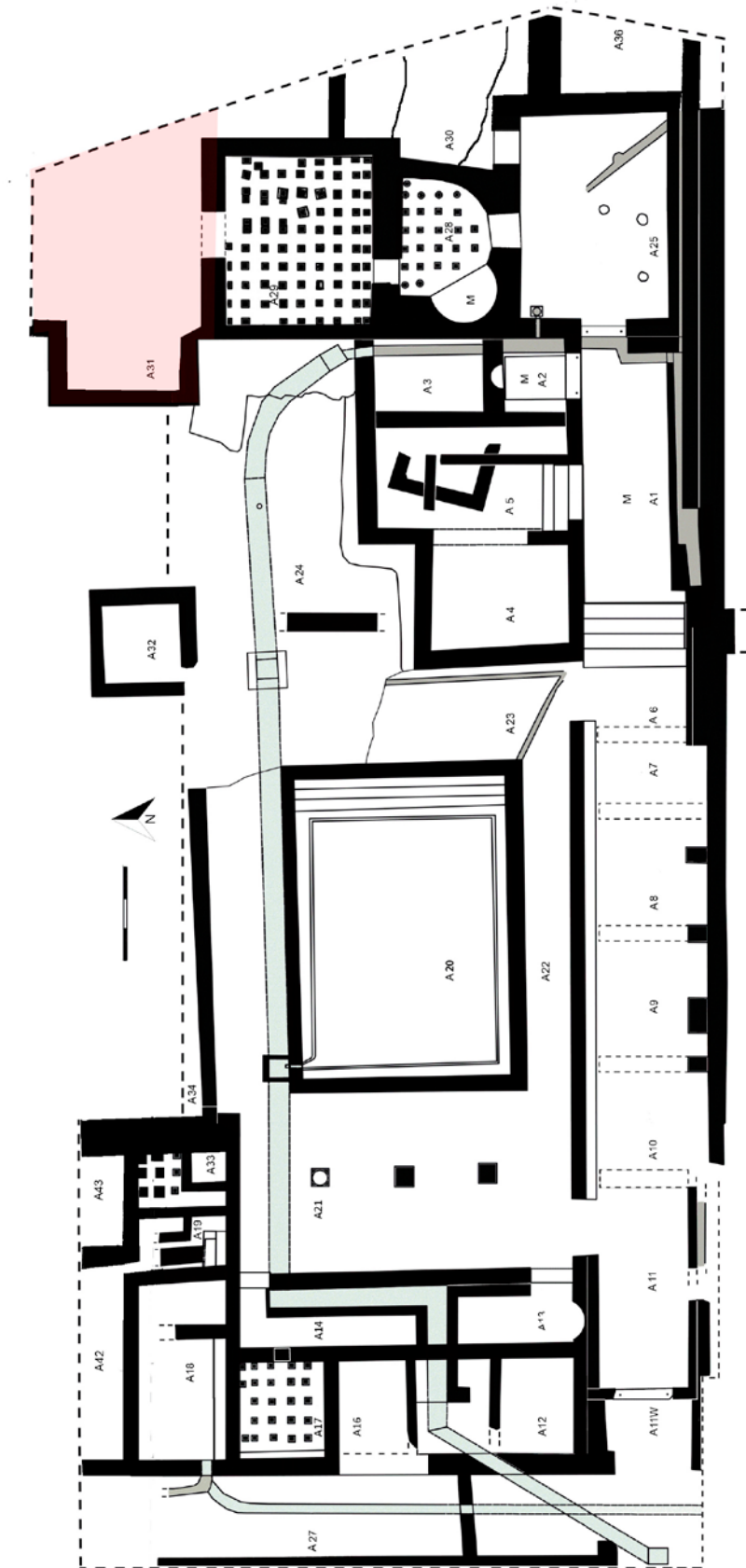


Fig. 132. Lámina con dibujos de materiales arqueológicos aparecidos en el A29

## 9. AMBIENTE 31





*Fig. 133. Planta estratigráfica inicial del A31*

El hallazgo del muro de **UE 343** hizo posible separar al A31 del A29. Es una estancia que se corresponde con el brazo corto de la explanada en forma de “L” que encontramos en este Sector al iniciar la presente campaña y con su intersección con el brazo largo. Sin embargo, desconocemos su morfología: únicamente tenemos información acerca de uno de sus límites -el S-, conformado por los muros de **UUEE 258** y **343/479**. El extremo E se pierde más allá del límite del yacimiento, mientras que los extremos N y W coinciden con los perfiles provisionales de la excavación.

La acequia de **GU 23** parte al A31 en dos partes. La primera de ellas, tal y como ya expusimos, fue excavada antes del hallazgo del muro **UE 343**. A lo largo de este proceso se desmontó la propia acequia **UE 23** y se dejó visible en superficie a la **UE 56**. En el extremo opuesto de la acequia **GU 23** -a su W- se extendía el mismo nivel superficial que cubría a toda la explanada -**UE 1**-. Bajo él encontramos un nivel de tierra y cantos que forma un talud descendente en sentido E-W -**UE 314**-. Esta capa fue cortada en su extremo E para la realización de la acequia **GU 23**.

Dado que decidimos priorizar la excavación del A29 en detrimento del A31 se optó por interrumpir la actividad en este último. Queda, por tanto, pendiente para futuras campañas.

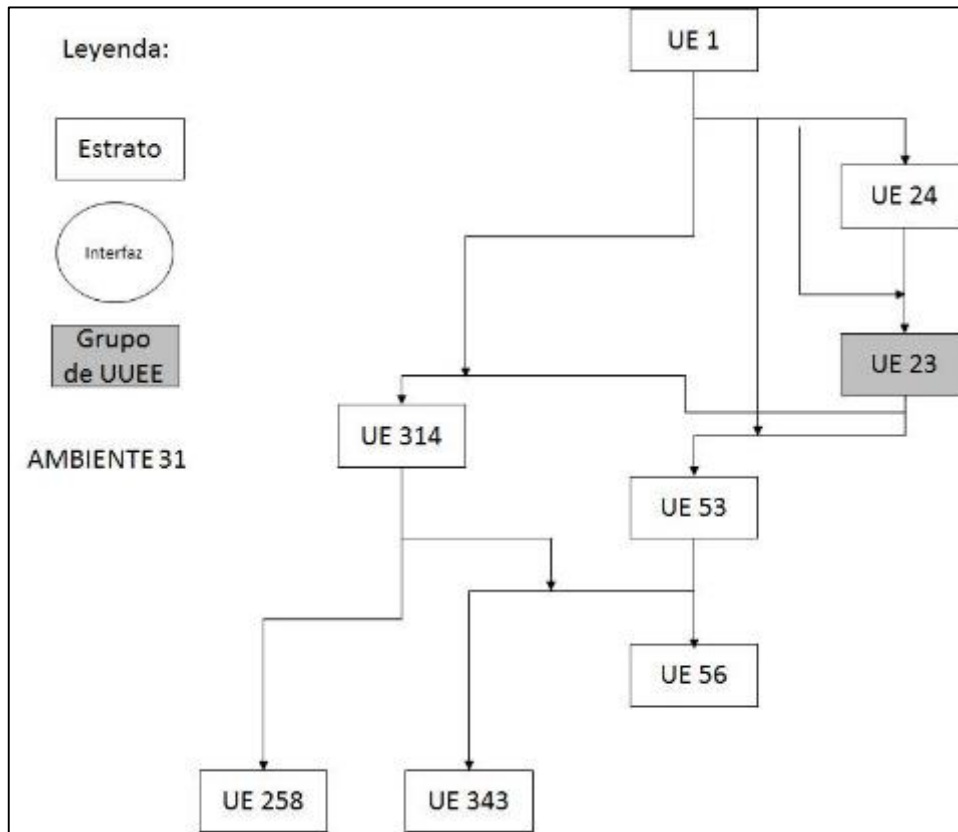


Fig. 134. Diagrama estratigráfico de la excavación del A31

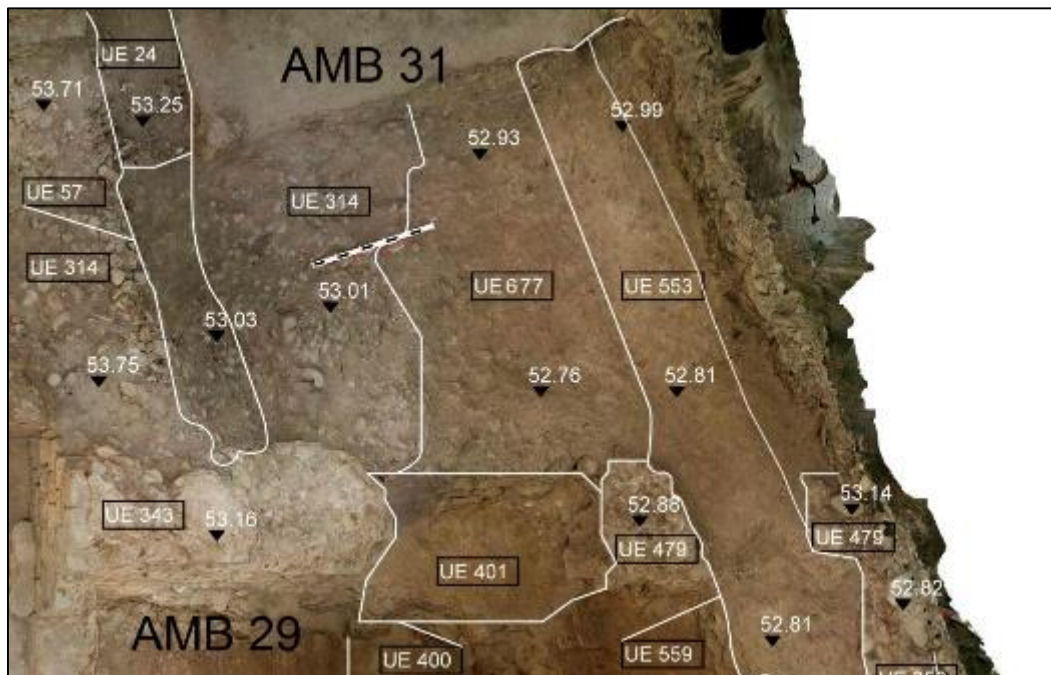


Fig. 135. Planta estratigráfica inicial de Sobre A31 y 37

Una vez delimitado el A29 su excavación quedó separada de la plataforma que se extiende al N de dicha estancia. Es una zona marcada por su potente perfil N, conformado por escombros de obra y niveles agrícolas. Este perfil ya había sido retirado parcialmente para dejar a la luz el extremo N del A29. Gracias a ello y a la excavación de las primeras capas agrícolas logramos documentar los primeros niveles arqueológicos.

La capa superficial del firme, **UE 677**, es una capa de tierra de tonalidad pardo-grisácea y textura granulosa, con presencia de cantos. Está cortada por la acequia **UUEE 559/553**. En el extremo W se encuentra **UE 314**, un talud de piedras y cantos que desciende en sentido E. Esta UE ya fue documentada -al menos parcialmente- en la campaña anterior. Parcialmente cubierta por **UE 677**, está cortada por la acequia **GU 24**.

Proseguimos el desmonte de los niveles de escombros y las capas agrícolas del perfil N, desplazándolo en esta misma dirección, hasta que afloraron los tramos de muro **UUEE 618** y **616**, que marcan los extremos N y W de una estancia. Dado que el lado S queda compartido con el A29 y que el E se pierde más allá de los límites del yacimiento, contábamos con los elementos suficientes para separar al A31 del 37 y a intervenir en ellos de forma individualizada.

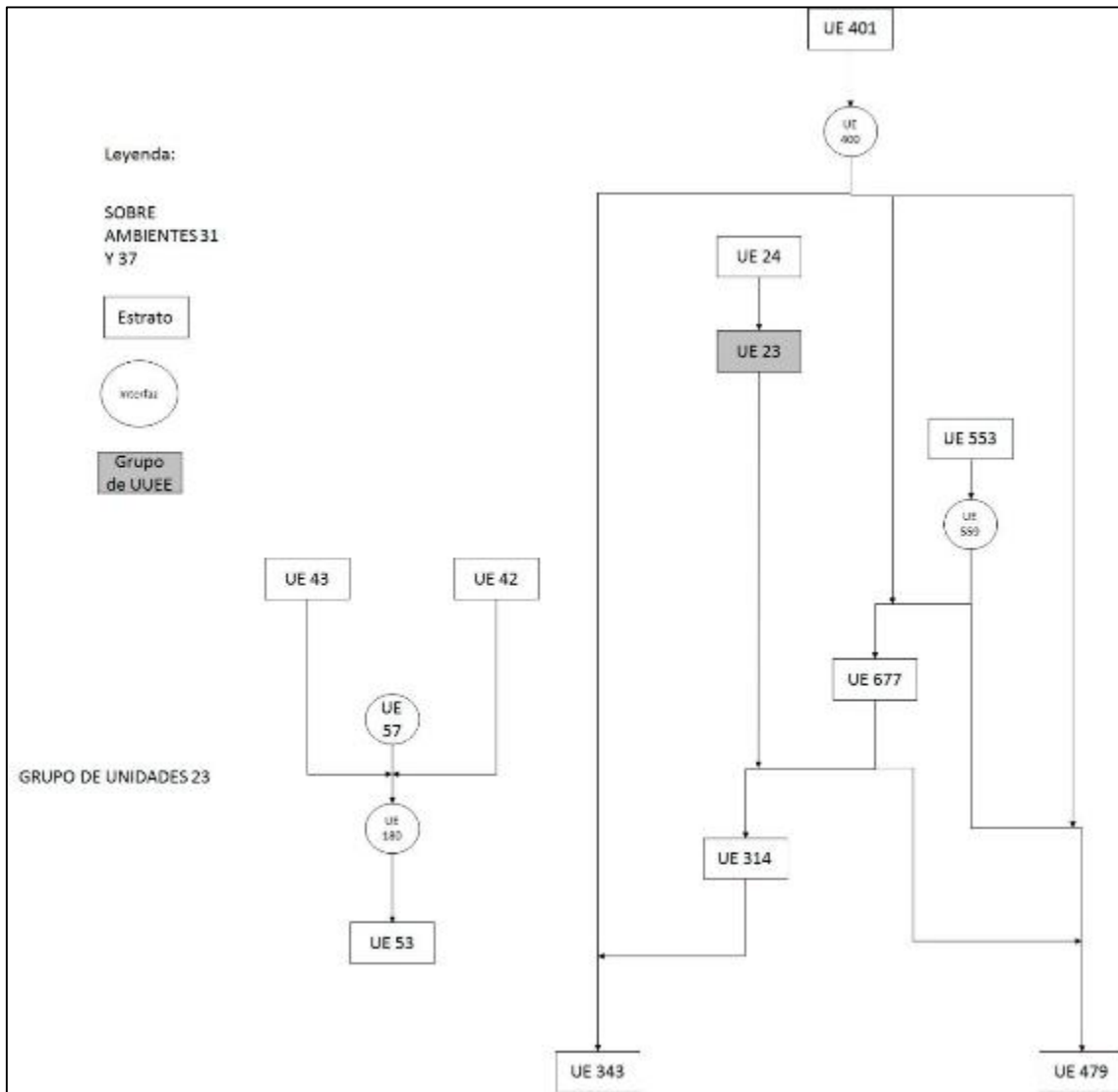
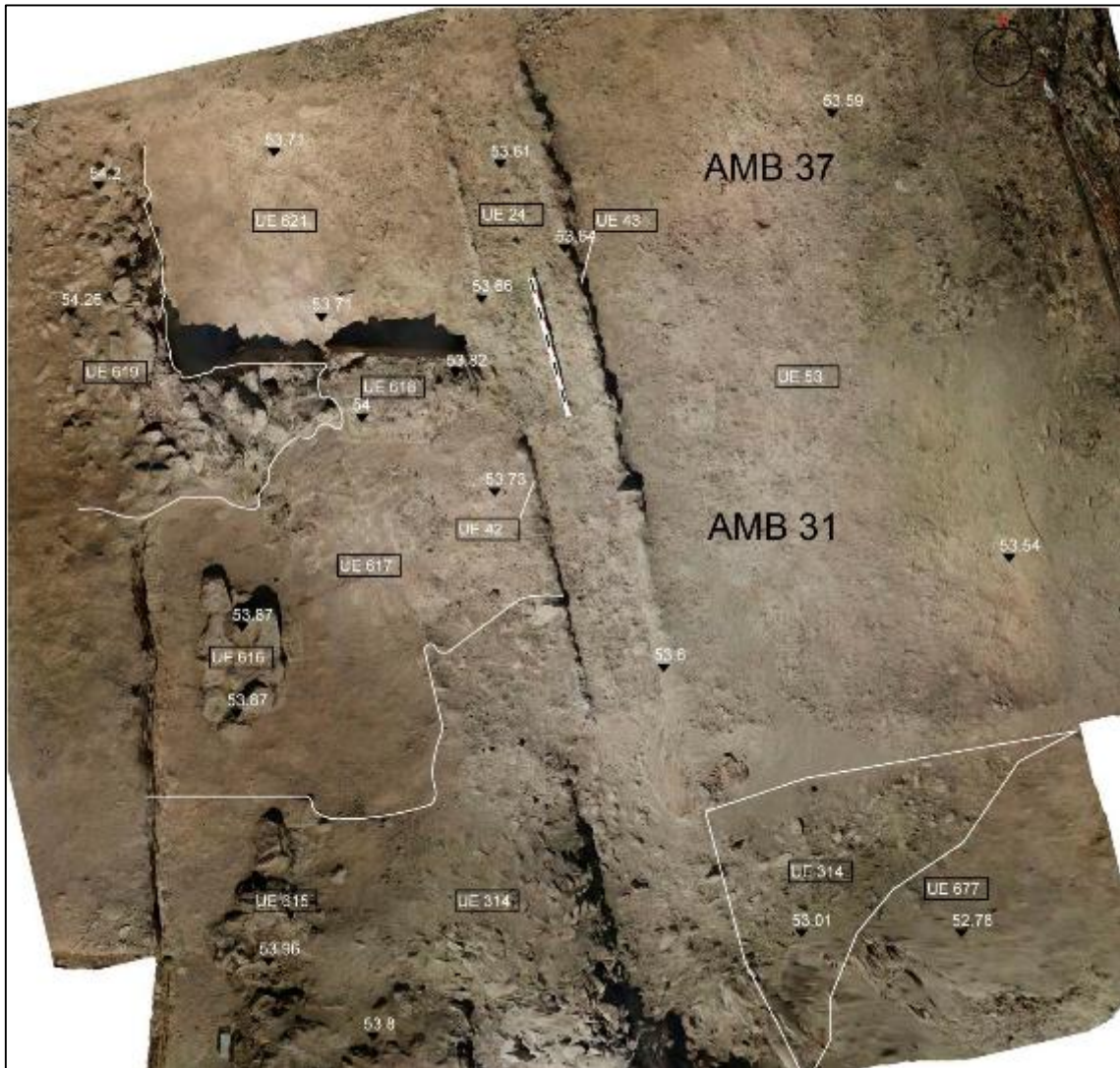


Fig. 136. Diagrama estratigráfico de la excavación realizada en la campaña 2019 en Sobre los A31 y 37

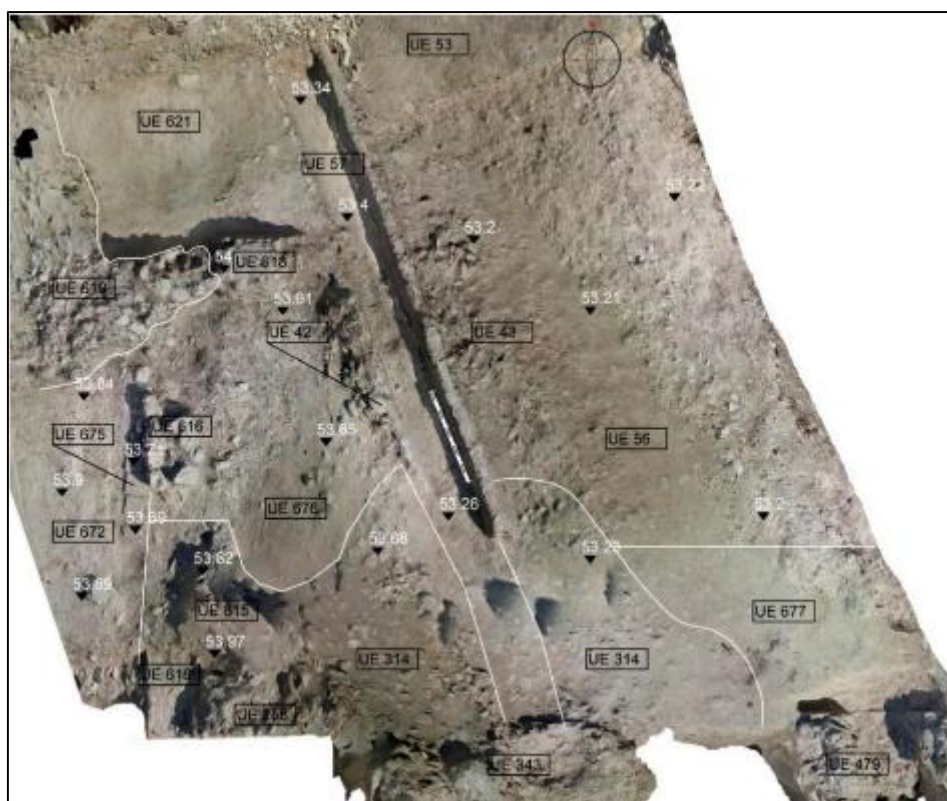


*Fig. 137. Planta estratigráfica inicial del A31*

El avance del perfil hacia el N nos llevó a algunas de las estructuras que constituyen los límites del A31. Ya conocíamos su extremo S, compartido con el A29 y formado por los muros **UUEE 343** y **479** y con el A24 a través del muro **UE 258**, que forma ángulo recto con **UE 343**. El muro **UE 618**, de orientación E-W y construido con sillares trabados con mortero de cal, cierra la estancia por el N. De cerca de 0'5 m de anchura, únicamente hemos podido documentar unos 1'5 m de su trazado. En lo que respecta al extremo W, hemos hallado dos tramos de muro que, por su orientación y composición hemos considerado parte de una misma estructura. Nos referimos al muro **UE 616**, de características constructivas equivalentes a las observadas para **UE 618**. A falta de avanzar más en el proceso de excavación, todo apunta a que el límite E de la nueva cámara se pierde más allá de los terrenos del yacimiento. No podemos indicar, por

tanto, unas dimensiones precisas para el A31. Pero con los datos disponibles podemos estimarle, al menos, una superficie aproximada de 4 x 7'4 m.

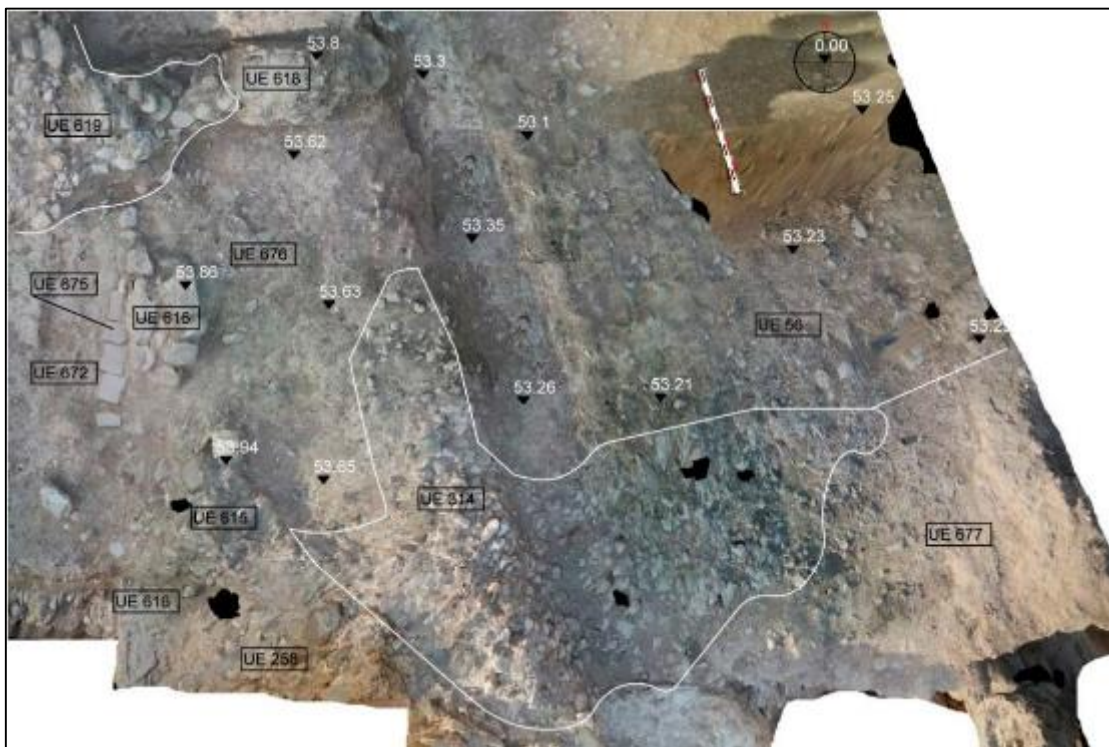
Pero la retirada parcial de los escombros y de las capas agrícolas superficiales también hizo visibles toda una nueva serie de estructuras y capas estratigráficas. La acequia de **GU 23** divide en dos la superficie del A31. La mitad E queda ocupada por el estrato agrícola **UE 53**. En el extremo opuesto, sin embargo, nos encontramos con una situación bien distinta. El extremo W del muro **UE 618** quedaba oculto bajo un talud de piedras que fue registrado como **UE 619**. Al S de este muro nos encontramos con un firme **-UE 617-** de tendencia horizontal, formado por tierra de tonalidad marrón con inclusiones de cal y arcillas. Las piedras que corresponden a uno de los tramos del muro **UE 616** aflora hacia el exterior desde este estrato.



*Fig. 138. Planta estratigráfica del A31 tras la remoción de UUEE 23, 53 y 617*

Por otra parte, procedimos a retirar -si bien parcialmente- el nivel de cantos **UE 314**. Hallamos que cubría a una acumulación de piedras que fue individualizada como **UE 615**.

Nuestros siguientes pasos fueron vaciar la colmatación interna de la acequia **GU 23** y retirar los paquetes estratigráficos en los que fue recortada. Este objetivo precisaba la excavación de las **UUEE 23, 53 y 617**.



*Fig. 139. Planta estratigráfica del A31 tras el desmonte de la acequia GU 23*

La extracción del relleno de la acequia **GU 24 -UE 23-** nos llevó a alcanzar su fondo **-UE 57-**, que no es más que el propio firme. Al mismo tiempo, retiramos el suelo agrícola contemporáneo al uso de esta conducción de agua **-UE 53-** para dejar en superficie la capa agrícola previa al canal **-UE 56-**. Esta acción, llevada a cabo al E de la acequia, tuvo su equivalente en el lado opuesto de la misma. Excavamos la capa **UE 617**, hallando un nuevo conjunto estratigráfico. Al W del muro **UE 616** encontramos un nivel de tierra de tonalidad castaña y textura granulosa, que adopta una tendencia horizontal. Es **UE 672**, la nueva capa superficial. Sobre ella se localiza una alineación de 4 ladrillos besales dispuestos en sentido NW-SE. Las dimensiones visibles de esta estructura **-UE 675-** son 1'2 x 0'18 m. Pero tanto **UE 672** como **UE 675** están situadas fuera del A31 y, por tanto, serán correctamente atendidas cuando acometamos la excavación del área externa de esta cámara. Por el contrario, una de las UUEE documentadas bajo **UE 617 -UE 676-** sí

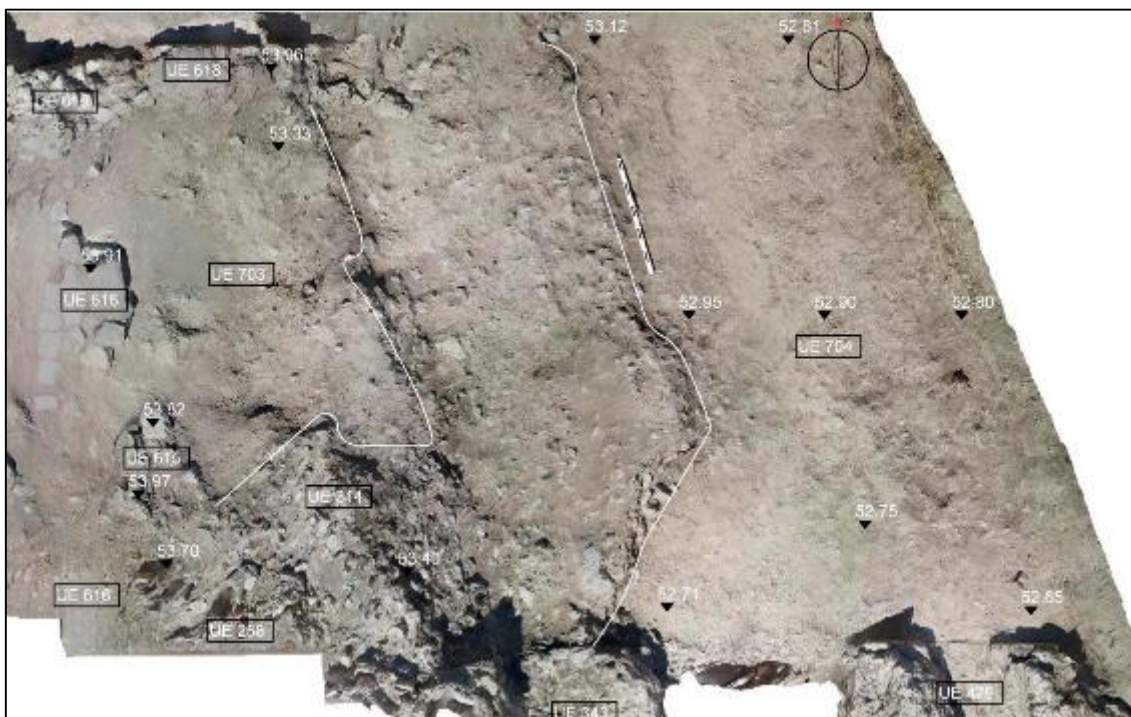


En el lado opuesto de la estancia hicimos lo propio con **UE 676** y, del mismo modo, proseguimos el desmonte del talud de piedras **UE 314**.

Estas acciones revelaron una nueva situación estratigráfica:

- **UE 693**. Es un estrato de tierra de tonalidad marrón con presencia de guijarros que se extiende por toda la mitad oriental del A31, bajo **UE 677**.
- **UE 703**. Nivel de tierra de tonalidad castaño con presencia de fragmentos cerámicos. Localizado bajo **UE 676**.

Continuamos nuestra excavación con la remoción de otro de los niveles que cubría parcialmente al talud de cantos **UE 314**. Nos referimos a **UE 693**. Su extracción dio como resultado el hallazgo de **UE 704**, una capa de tierra de tonalidad marrón y textura arcillosa con presencia de cantos.

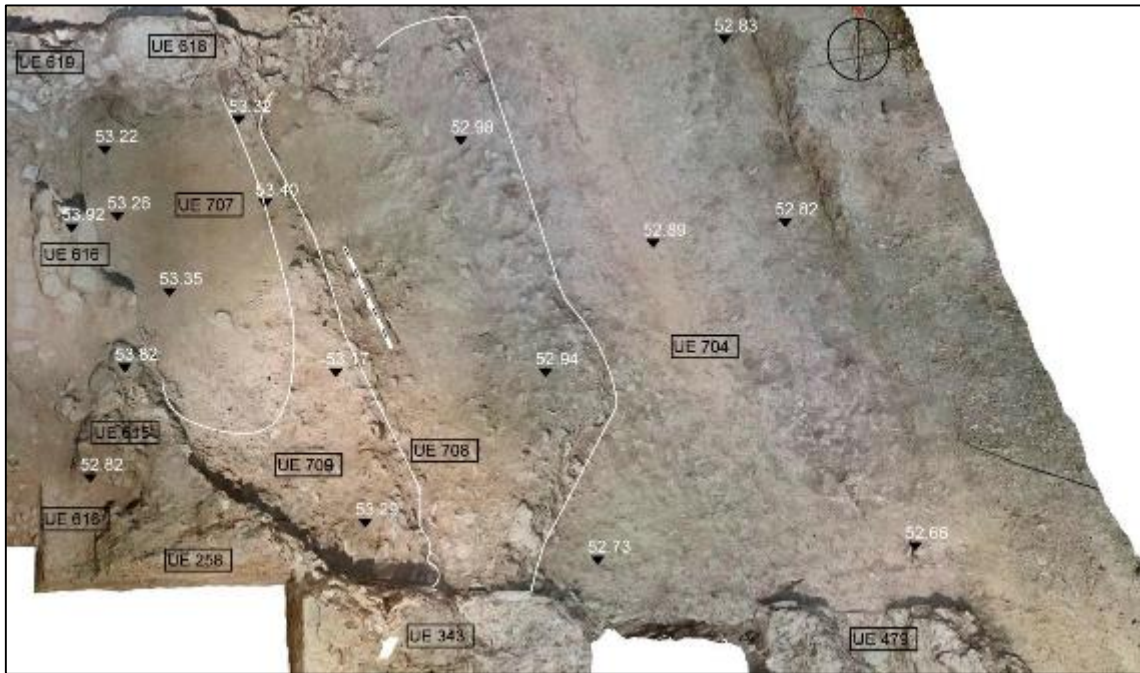


*Fig. 141. Planta estratigráfica del A31 tras retirar la UE 693*



*Fig. 142. Planta estratigráfica del A31 tras retirar la UE 703 y proseguir con el desmonte de UE 314*

Proseguimos con la extracción de las capas más superficiales de la colmatación interna del A31 mediante la excavación de **UE 703**, combinada nuevamente con un progresivo y parcial desmonte de **UE 314**. Esta acción nos permitió acceder a una capa de tendencia horizontal situada en el extremo occidental de la estancia, formada por tierra de textura arcillosa con presencia de cenizas que fue registrada como **UE 707**. Al W de la misma, bajo **UE 314**, localizamos la capa **UE 709**, formada por tierra de tonalidad gris-marronácea y una escasa densidad de cantos.



*Fig. 143. Planta estratigráfica del A31 tras finalizar el desmonte de UE 314*

La retirada total del talud de cantos UE 314 dejó visible una mayor parte de la superficie abarcada por las **UUEE 615 y 709**. En este punto detuvimos nuestra intervención en el A31 para la campaña 2019, por lo que habrá que esperar a futuras excavaciones para finalizar su exhumación y documentación.

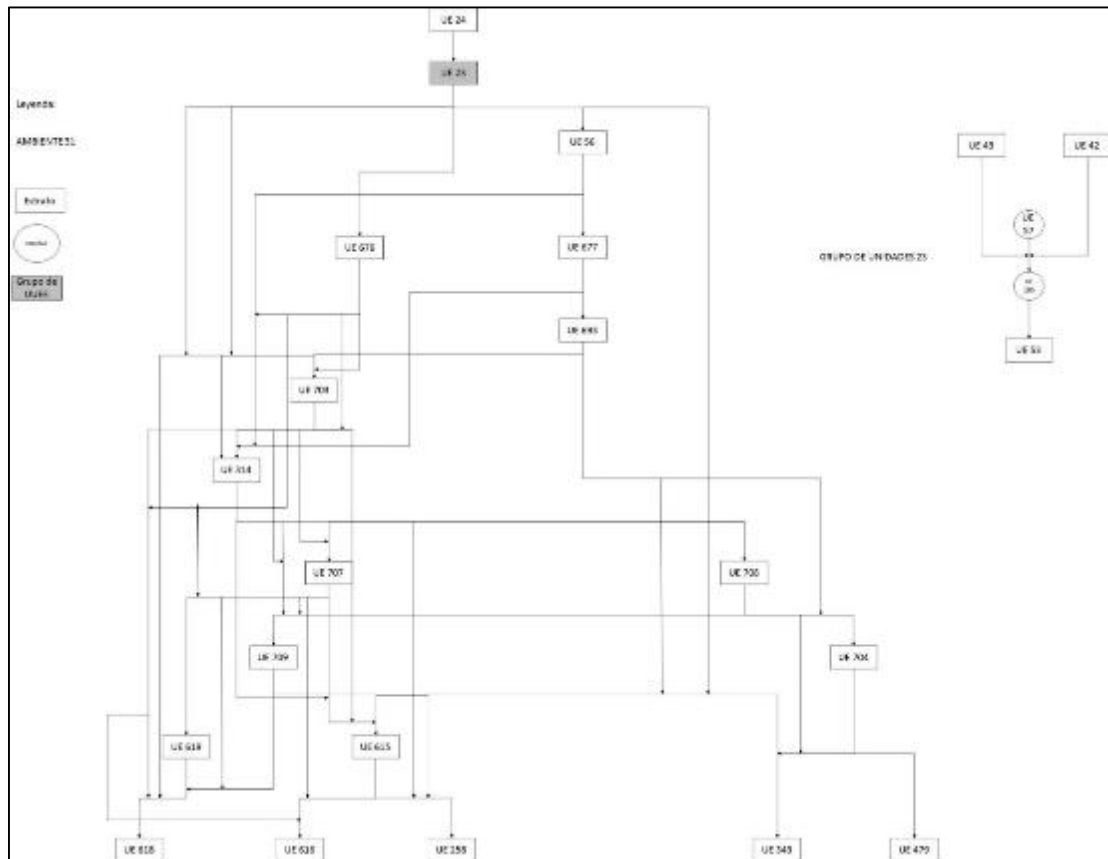


Fig. 144. Diagrama estratigráfico de la excavación del A31



*Fig. 145. Planta general del A31 tras retirar las UUEE 619 y 707*

Su retirada hizo visible la unión de los muros **UUEE 616** y **618** en el ángulo noroeste de la estancia y el extremo oriental del muro **UE 618**. También reveló que el trazado del muro **UE 616** presentaba una alteración -posible cambio de aparejo y una ligera dislocación- en su parte central -**UE 615**-.

Esta limpieza de los muros reveló que contaban con oquedades en su cara interna que identificamos como anclajes de *clauis coctile*:

- **UE 846**. Orificio para *clauis coctile* en la parte superior del muro **UE 258**, en su extremo oeste.
- **UE 847**. Orificio para *clauis coctile* en la parte superior del muro **UE 616**, en su extremo sur.

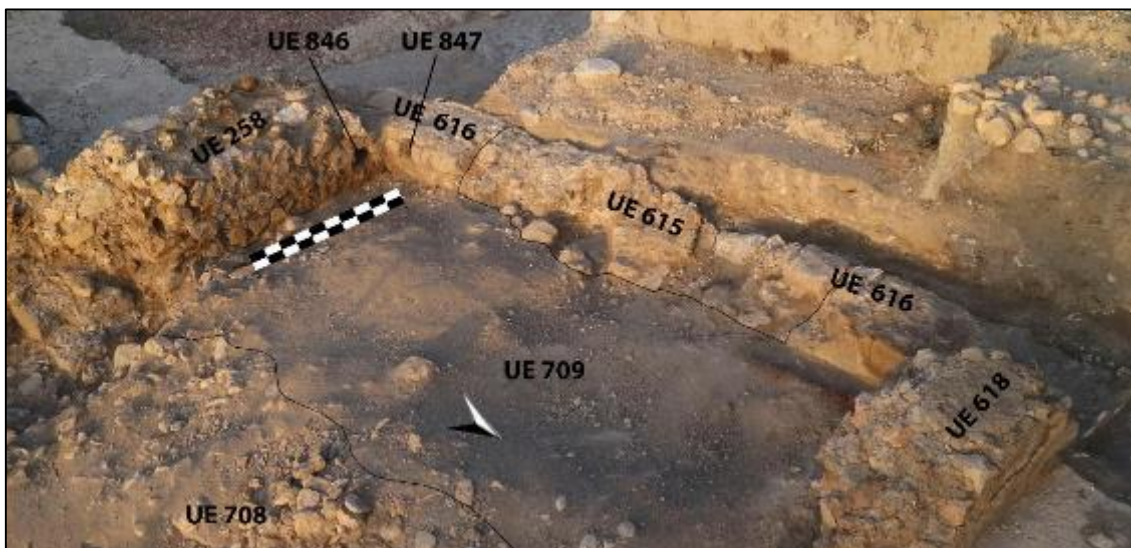


Fig. 146. Vista en detalle del ángulo suroeste del A31 donde destacamos los orificios de clauis coctile **UUEE 846 y 847**

- **UE 848.** Orificio para *clauus coctile* en la parte superior del muro **UE 616**, en su extremo norte.
- **UE 849.** Orificio para *clauus coctile* en la parte superior del muro **UE 618**, en su extremo oeste.
- **UE 850.** Orificio para *clauus coctile* en la parte superior del muro **UE 618**, en su extremo este.

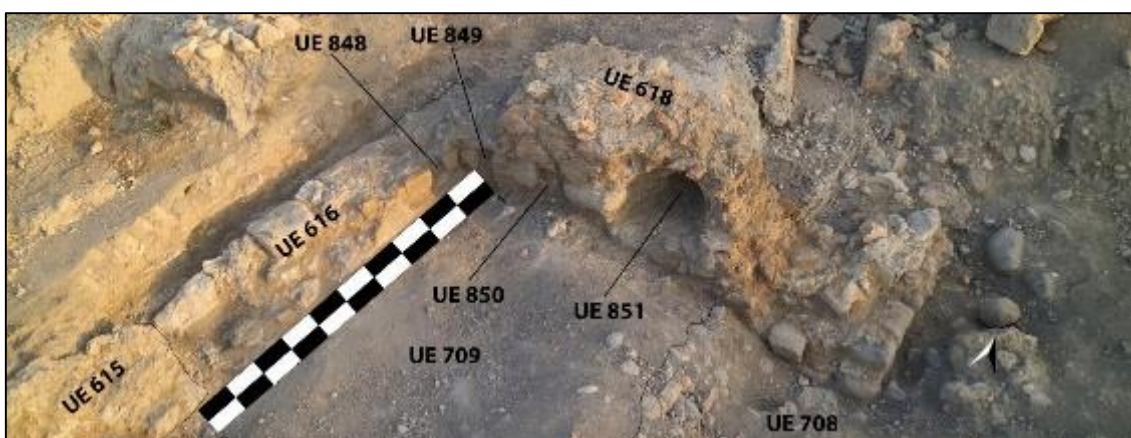


Fig. 147. Vista en detalle del ángulo noroeste del A31 donde destacamos los orificios de clauis coctile **UUEE 848, 849 y 850** y el orificio **UE 851**

También salió a la luz un orificio de tendencia circular -**UE 851**- en la cara interna del muro **UE 618**. Al igual que ocurre con el resto del A31 y de sus estructuras, habrá que

esperar a futuras campañas para concluir su exhumación, documentación e interpretación.

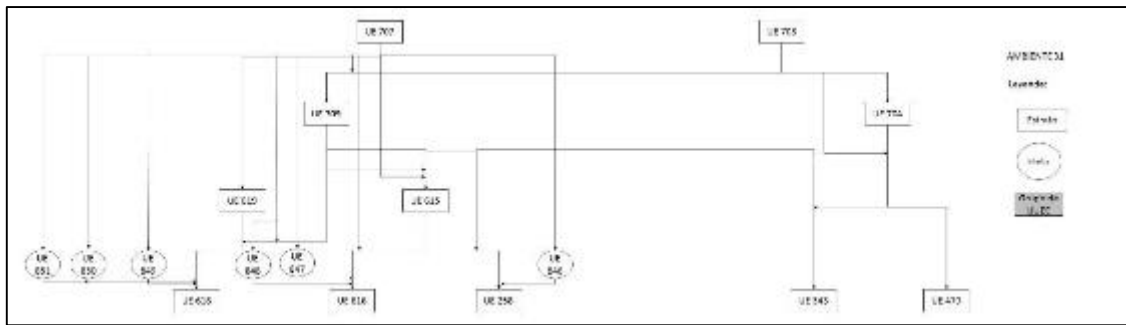
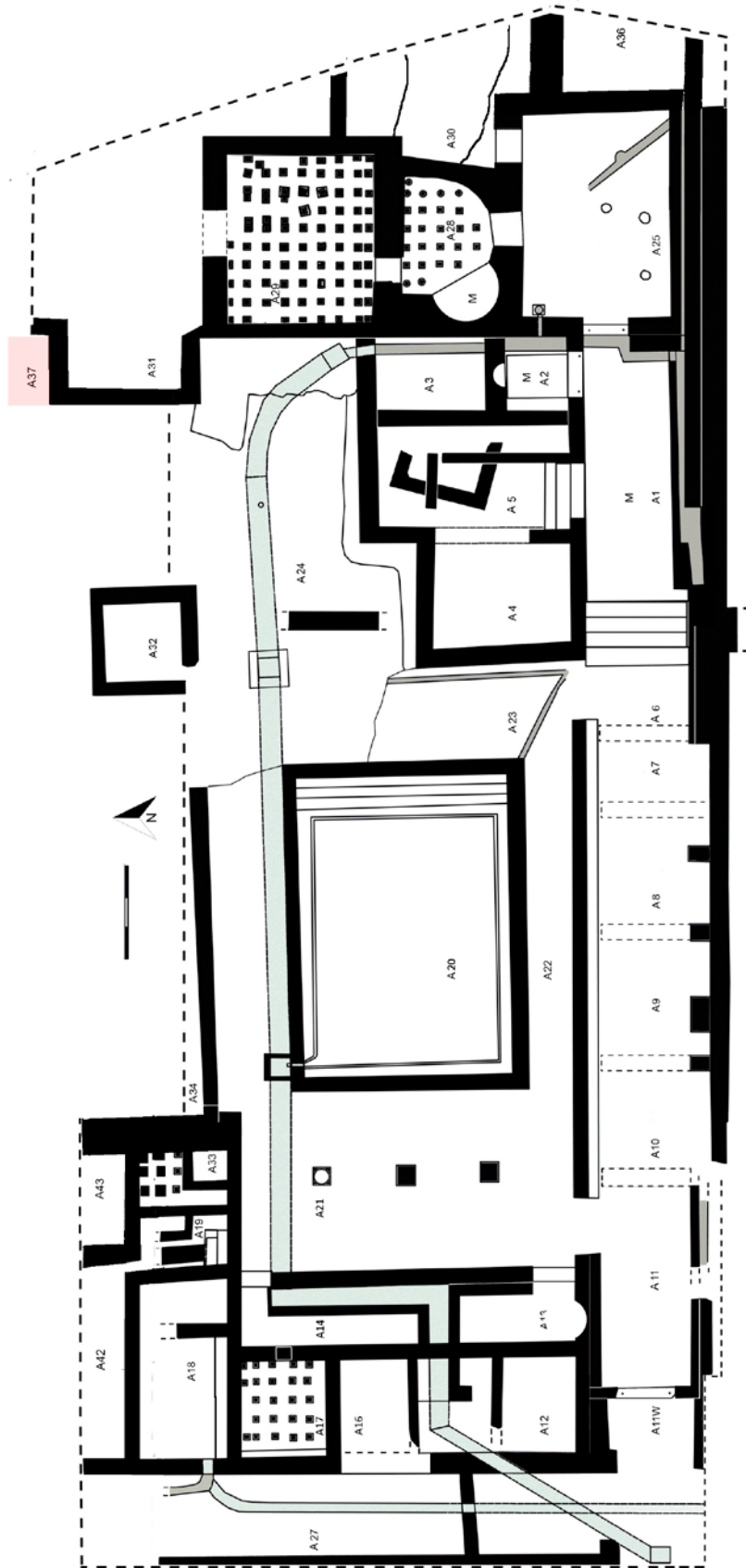
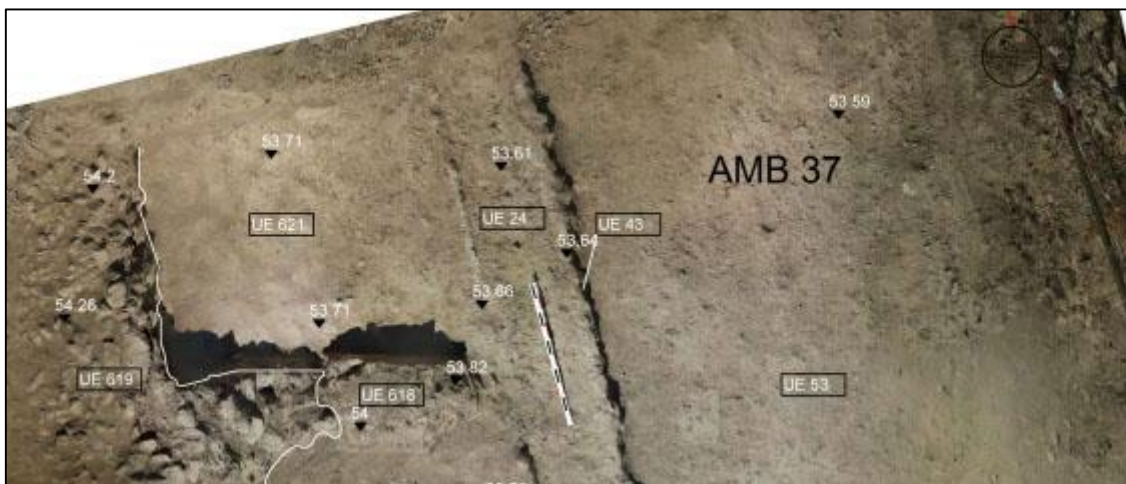


Fig. 148. Diagrama estratigráfico de la excavación del A31

# 10. AMBIENTE 37





*Fig. 149. Planta estratigráfica inicial del A37*

La identificación de las estructuras que delimitan al A31 permitió asimismo separarlo de la estancia contigua al N del mismo. A este espacio se le asignó el A37. Únicamente conocemos -y de manera parcial- su límite S, compartido con el A31: el muro **UE 618**. En cuanto al límite E, se pierde más allá de la linde del yacimiento. Su extremo N queda oculto bajo el perfil de escombros contemporánea. Del mismo modo, también sería necesario proseguir con la excavación para detectar su extremo W. Ante la falta de datos más concretos no podemos aventurarnos a estimar la superficie de esta cámara.

Tal y como ya ocurría en el A31, la acequia **GU 23** surca longitudinalmente este espacio. Al E de la misma se encuentra el nivel agrícola que asociamos a esta conducción de agua -**UE 53**- mientras que, en el lado opuesto, identificamos una nueva capa. Nos referimos a **UE 621**, nivel de tierra de tonalidad anaranjada con presencia de fragmentos de cerámica. Se extiende por toda la superficie comprendida entre la acequia **GU 23**, el perfil N, el muro **UE 618** y un posible derrumbe identificado como **UE 619**. Este paquete cubre parcialmente al muro **UE 618** por su lado W. Formado por tierra de tonalidad marrón y piedras, cuenta en su interior con elementos constructivos destacados, como la basa de columna individualizada como **UE 620**.



Fig. 150. Planta estratigráfica inicial del A37

Una vez retiramos el paquete **UE 24** que rellena el interior de la acequia **GU 23**, detuvimos nuestra intervención en este A. Su delimitación y excavación serán acometidas en futuras campañas.

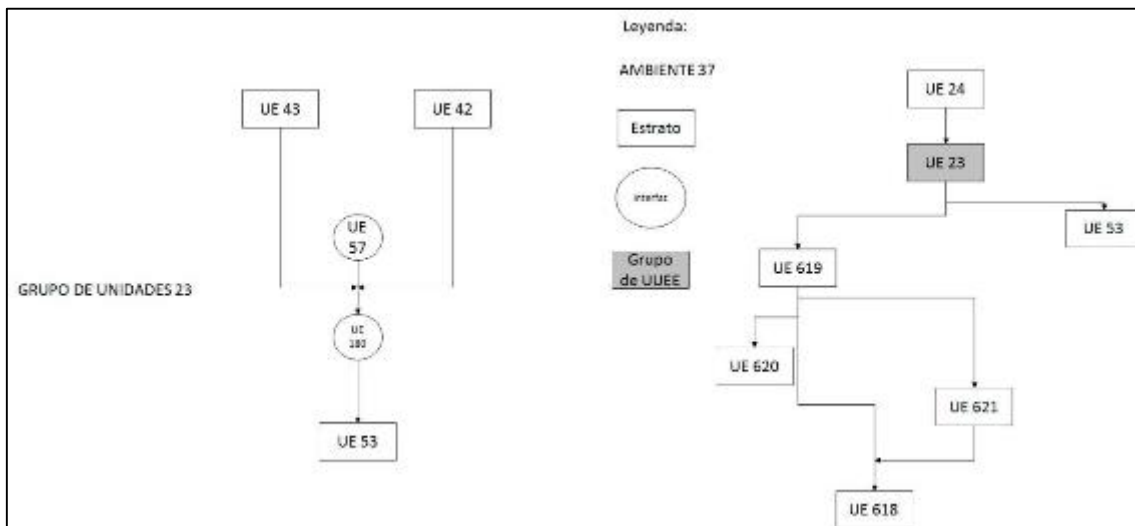


Fig. 151. Diagrama estratigráfico de la excavación del A37

La limpieza superficial y retirada de derrumbes en el A31 fue acompañada de acciones similares en su espacio adyacente al norte, el A37. En este caso, se intervino en la **UE 621** con la finalidad de definir la cara externa del muro **UE 618**. Esta tarea reveló que el extremo este del muro **UE 618**, tras finalizar su trazado completo de 2'3 m de longitud,

trababa formando ángulo recto con un muro -UE 843- que avanzaba desde su cara norte y que presentaba una orientación N-S.

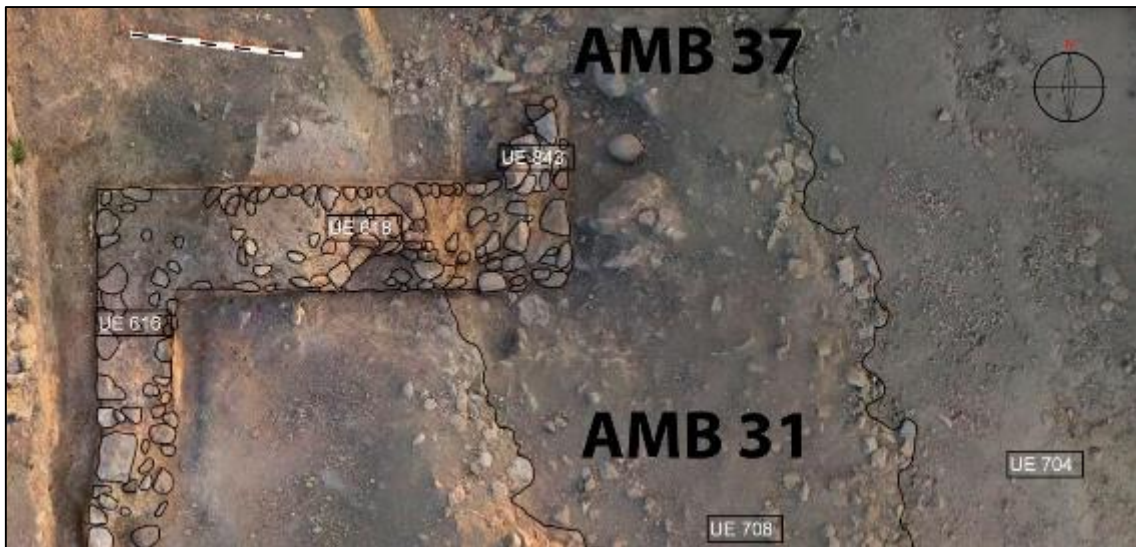


Fig. 152. Planta general A37. Se distingue en la misma el muro UE 843

El muro **UE 843** es, a día de hoy, el único elemento estructural del A37. Carecemos de información acerca de su superficie o incluso de su morfología. Siendo así, solo podemos esperar que futuras intervenciones proporcionen nuevos datos acerca de este espacio de las Termas Orientales y de su encaje en en circuito termal.

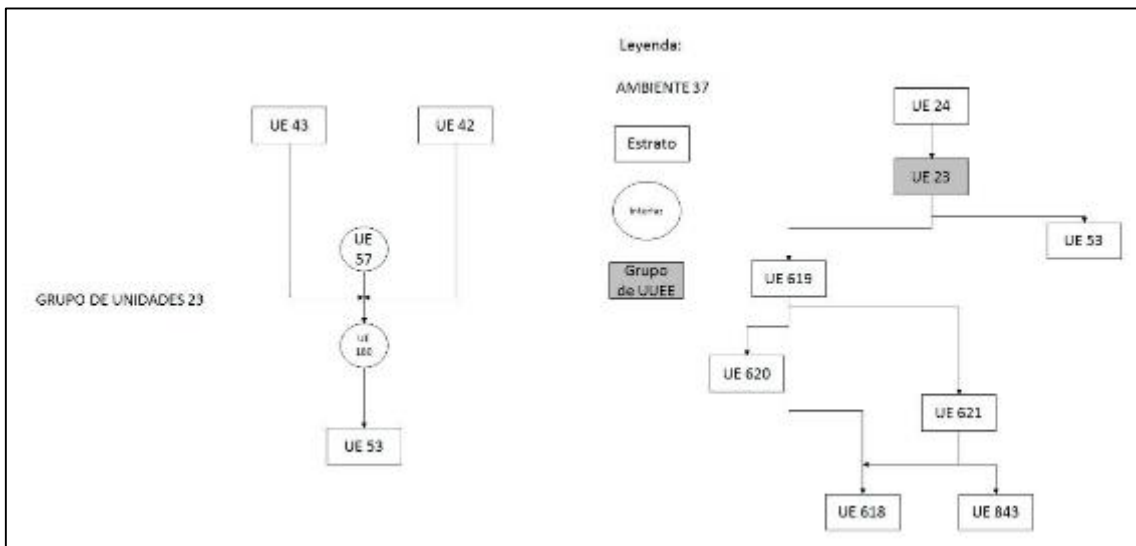


Fig. 153. Diagrama estratigráfico de la excavación del A37

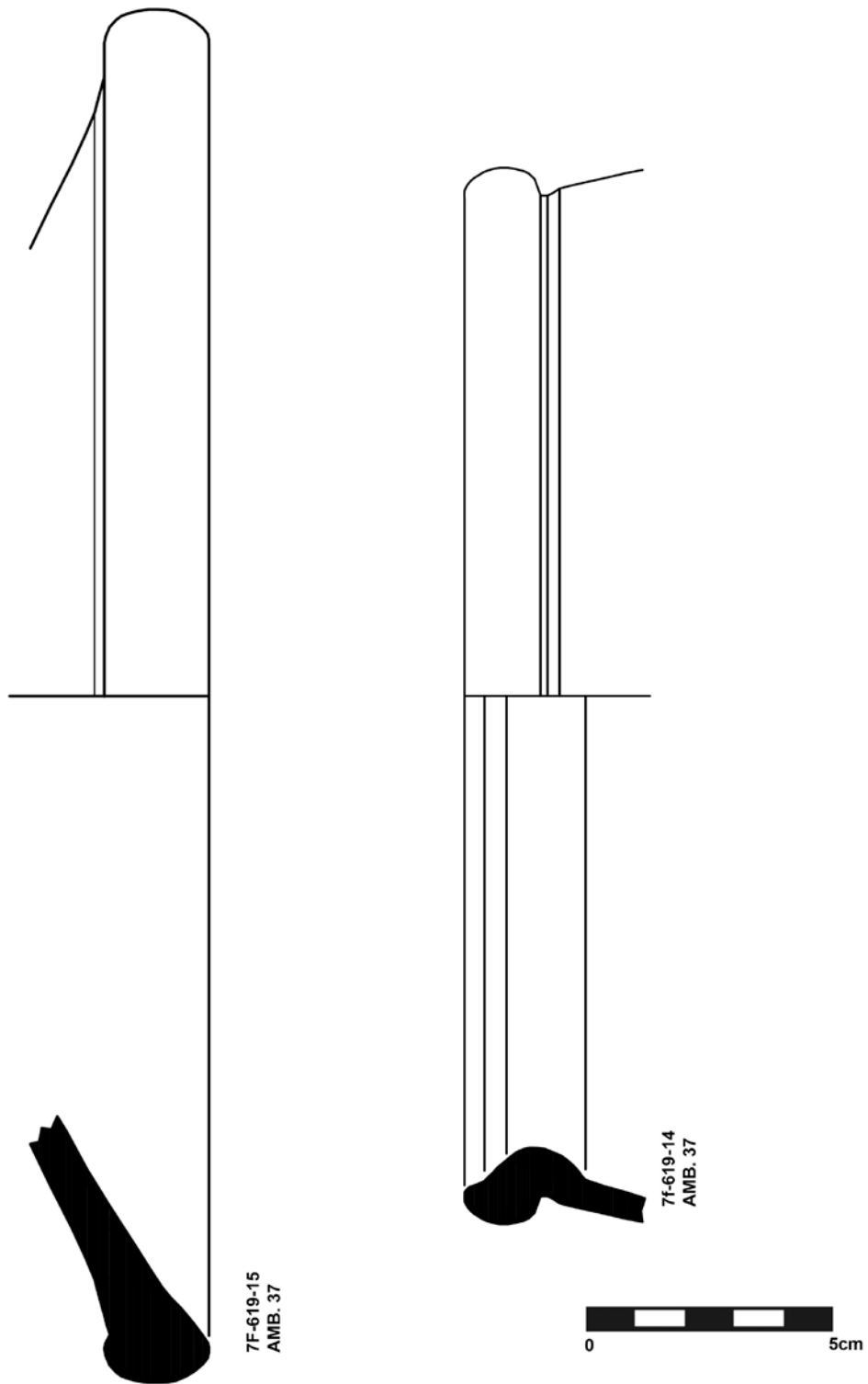
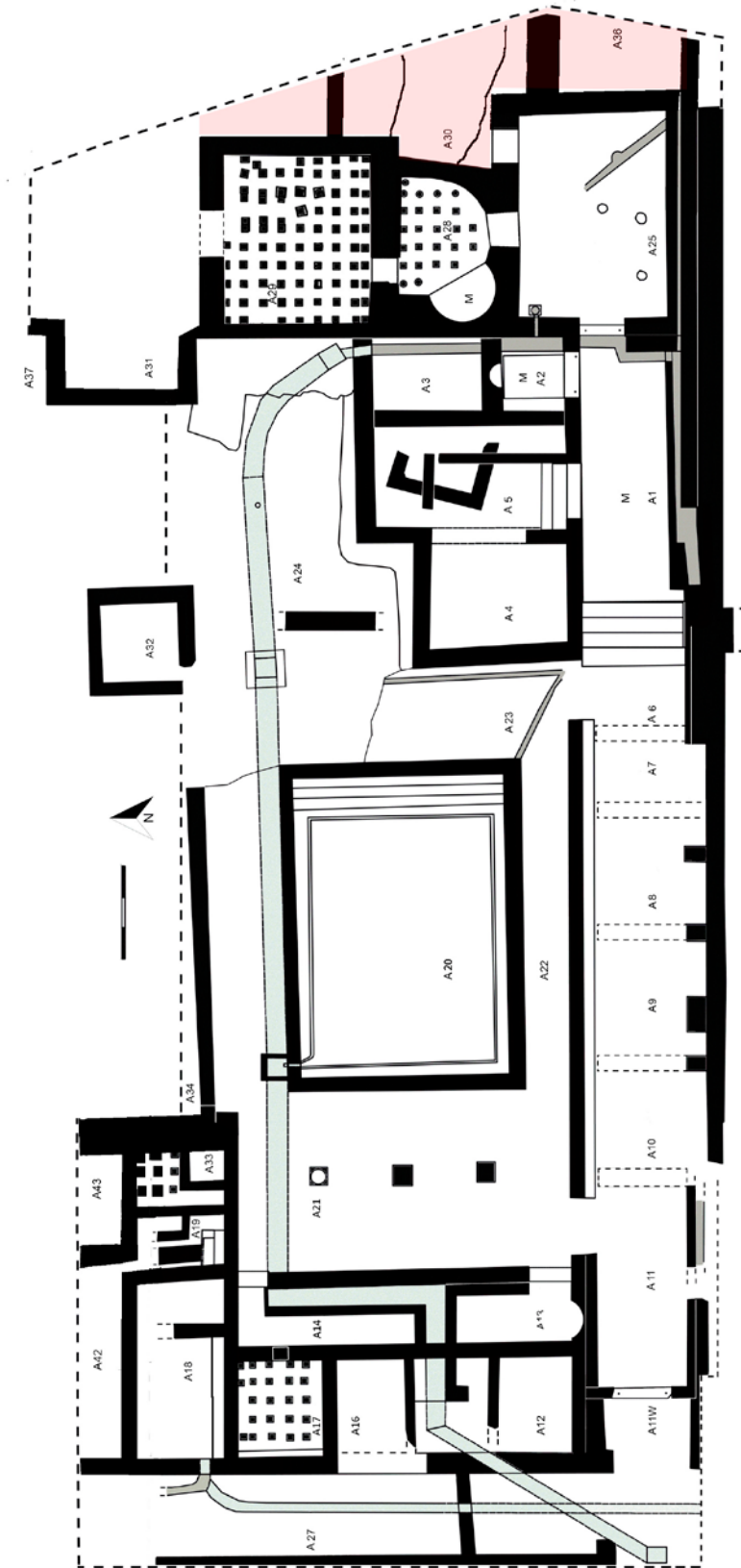


Fig. 154. Lámina con dibujos de materiales arqueológicos aparecidos en el A37

11. NIVELES SUPERFICIALES ZONA NORTE: AMB. 36, 30 y 38



Debido a que en campañas anteriores se había intervenido de forma puntual en el extremo oriental del sector, en concreto en la zona comprendida entre los A28 y 29 y el vallado perimetral del yacimiento, se había procurado una zona de seguridad para impedir un desprendimiento de la valla. De este modo, además, asegurábamos una zona de tránsito perimetral al conjunto termal. Pero ante la posibilidad de un posible desprendimiento de los perfiles orientales y consecuentemente del vallado se decidió en la Campaña 2019 una eliminación de la zona de paso comentada y un desmontado provisional de la valla. Esto último permitiría una excavación más cómoda y una eliminación del peligro que podría suponer la caída de la valla hacia el yacimiento. Debido a que el vallado de torsión estaba anclado al firme mediante unos postes cimentados en hormigón consideramos conveniente iniciar la excavación al oeste del cercado para dejar a la vista dichas cimentaciones, evitando así la realización de orificios que alterasen la estratigrafía.

De este modo, la excavación se inició por la zona sureste del sector, que ofrecía un espacio más accesible para la retirada de tierra. Puesto que en la campaña 2019 se pudo dejar a la vista tanto el muro sur del A30 así como el muro que delimita el A25 en su extremo este, disponíamos de un posible nuevo espacio parcialmente delimitado que pasamos a denominar A36. Éste quedaba definido al norte por el muro **UE 570** y al oeste por el muro **UE 189**, mientras que tanto en su lado sur como en su lado este aparecía el perfil del yacimiento sobre el que se situaba la valla que lo separa de la parcela colindante.



*Fig. 155. Planta de la UE 1 en la zona este del sector, junto a los A29, 30 y 25*

El primer estrato excavado, **UE 1** (fig. 3), estaba compactado debido a haber sido una zona de paso en campañas anteriores. Estaba compuesto por tierra de tonalidad marrón claro, con alguna piedra de mediano tamaño, extendiéndose de forma homogénea por la zona a excavar. La superficie presentaba una tendencia horizontal, aunque observamos que, a lo largo de todo el corte, su extremo oriental había sido alterado para la creación del bancale que separa el yacimiento de la parcela colindante. Se trata de una capa superficial que, además, da muestras de contaminación adicional a causa del abancalamiento y del posterior vallado.



*Fig. 156. Vista de UE 1 desde el sur antes de iniciar su excavación*

Al igual que sucedió en la excavación de los A29 y 31, bajo la **UE 1** localizamos la **UE 53** (fig. 4 y 5), estrato que se extendía por toda la zona oriental del sector de manera uniforme. Presenta una gran dureza y está compuesta por tierra marrón claro, observándose la presencia de alguna piedra de pequeño tamaño y cantos rodados. Los materiales presentes en el estrato combinan cerámicas que van desde la época tardo republicana hasta recipientes de la década de los 50 y 60 del s. XX Su disposición así como el material observado tras su excavación nos lleva a pensar que estamos ante el nivel de frecuentación de la zona desde mediados del s. XX en esta zona del yacimiento, amortizando este estrato el uso de la acequia de riego (**GU 23**) detectada en anteriores

campañas sobre los A25, 28 y 29. Del mismo modo, la **UE 53** también amortiza la nueva acequia (**UE 553-559**) hallada durante la excavación de la parte oriental del A29 y el 37.



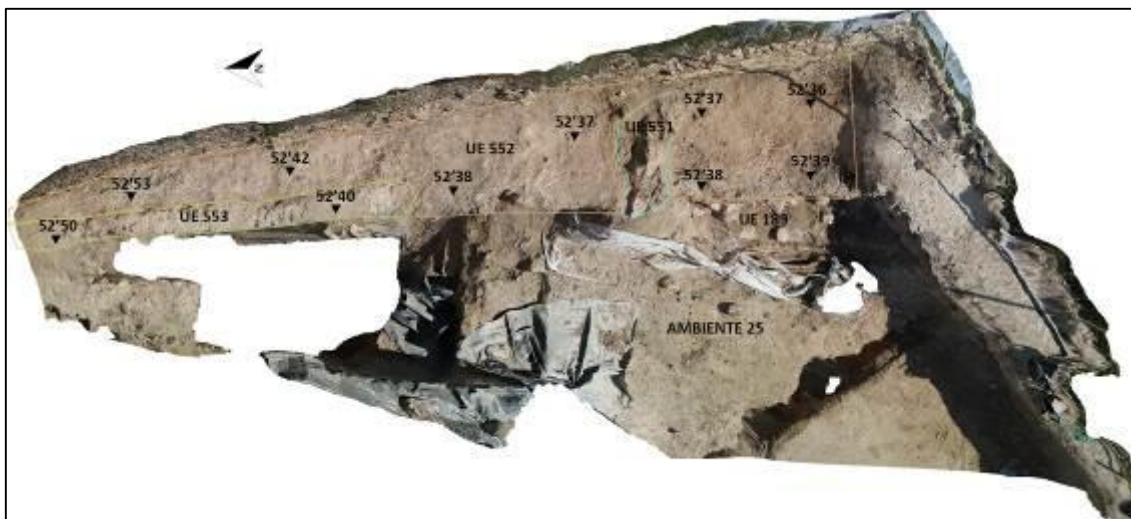
*Fig. 157. Planta de estrato de la UE 53 previa a su excavación donde se aprecia cómo la unidad estratigráfica se extiende por todo el extremo este del Sector 7F*



*Fig. 158. Vista de la UE 53 desde el sur previo a su excavación*

De este modo, tal como se detectó en la excavación de la zona septentrional (As 29 y 37), en la zona más al norte de nuestro corte llegamos a detectar restos de la **UE 553**. Tal como se describió en el proceso de excavación del A29, se trata de “un estrato de tierra de tonalidad amarillenta muy arcillosa, con presencia de gravas que identificamos como **UE 553**. Las características de este nivel son las propias de paleo-acumulaciones de aguas lo que, unido al trazado de la trinchera a la que rellena, nos ha llevado a identificarlo como una posible acequia de riego. El canal de dicha acequia estaba directamente excavado en el firme, sin ninguna construcción que ayudase a encauzar sus aguas”. Asociado a este nivel localizamos la **UE 552** (fig. 6), un nivel tierra marrón

claro, muy compacto, apenas sin piedras en su composición, a la que se asocia la **UE 553** (fig. 6). Es por tanto el nivel previo a la construcción de la acequia, en el cual se practica la zanja de la canalización. Probablemente los trabajos de desmonte y abancalamiento practicados en esta zona afectaron tanto la conducción hidráulica **UE 553** como al nivel de uso vinculado a la misma -**UE 552**-.



*Fig. 159. UUEE 552 y 553, con la aparición del muro UE 551 y niveles de amortización de la zona este del Sector 7F*

Finalmente, también hay que señalar que durante la limpieza de los niveles superiores de **UE 552** detectamos la aparición del muro **UE 570** en su extremo meridional. Dicha estructura ya había sido documentada en la campaña 2018, lo que permitió delimitar el A30 por el sur. Llama la atención que la cresta del muro en esta zona aparece realmente alterada, seguramente fruto del desmonte llevado a cabo en el linde que separa el yacimiento de la parcela colindante.

Una vez identificados y excavados los niveles correspondientes al uso contemporáneo de la zona y teniendo delimitados los dos As -A30 al norte y A36 al sur- se individualizaron los cortes de excavación por estancias.

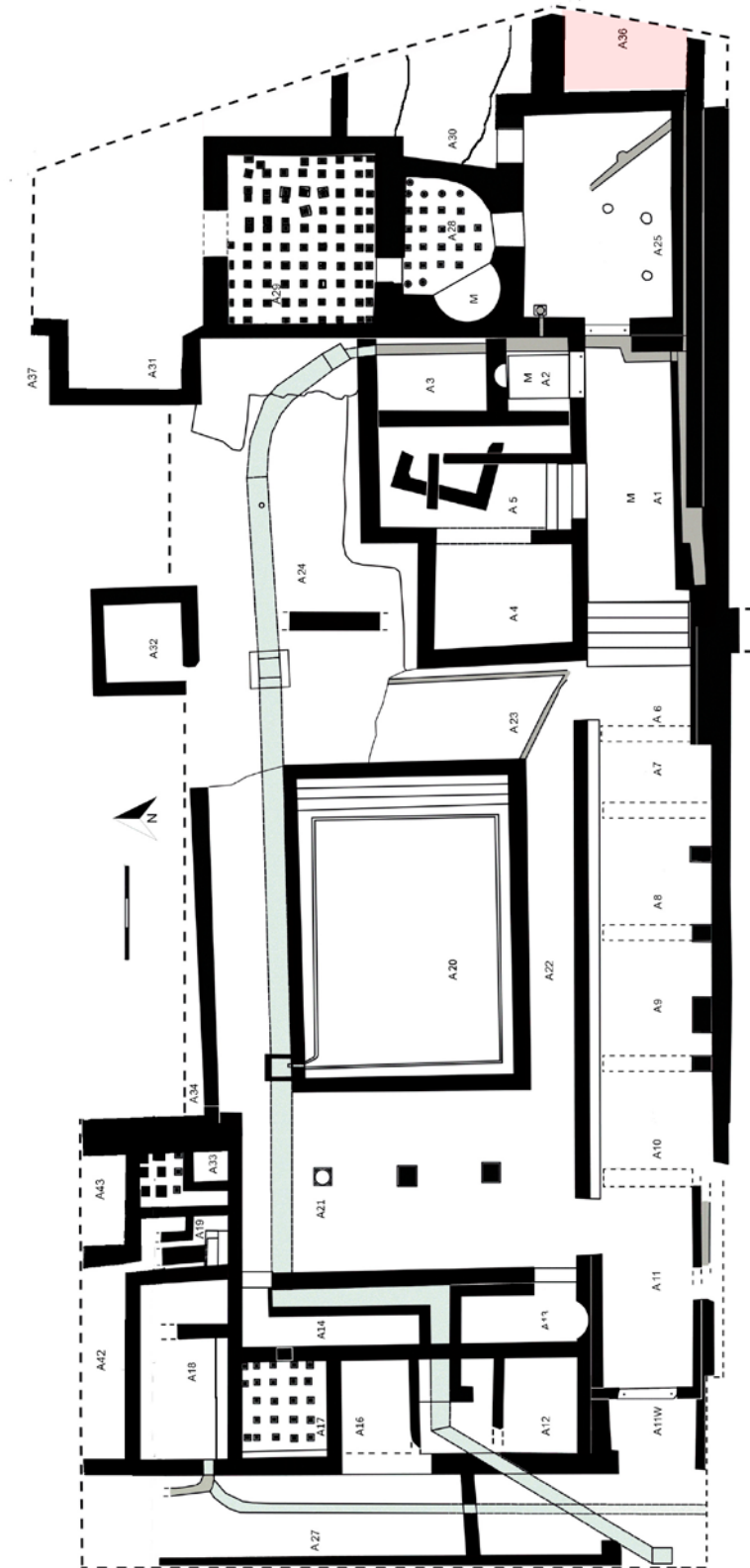


*Fig. 160. Vista del nuevo A36 con la UE 552 previa a su excavación*



*Fig. 161. Vista del nuevo A36 con la UE 552 previa a su excavación*

# 12. AMBIENTE 36

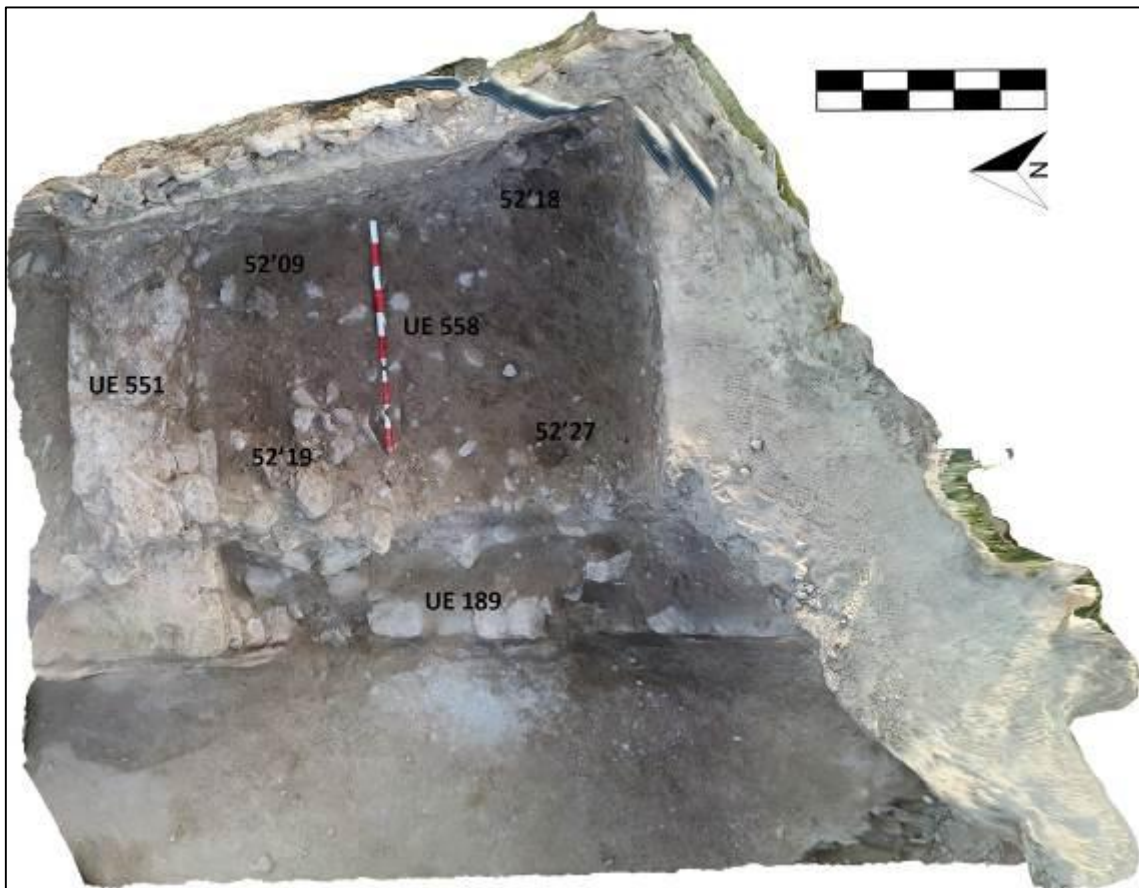


Del mismo modo que en el A30 habíamos detectado un posible nivel de uso contemporáneo al uso de la acequia -**UE 553** y **UE 552**- también inmediatamente al sur del muro **UE 570** encontramos un estrato de similar morfología y composición que denominamos **UE 556**. Este estrato presentaba una superficie tendente a la horizontalidad, compuesto por tierra de tono marrón claro y algún canto rodado o piedra de pequeño tamaño, presentando una cota superior similar a la de la **UE 552**. Aunque no llega a tener contacto con esta última unidad estratigráfica llega a cubrir parcialmente la cara norte del muro divisor entre los dos As, por lo que no nos queda duda que se trata de un nivel posterior a la construcción del paramento.



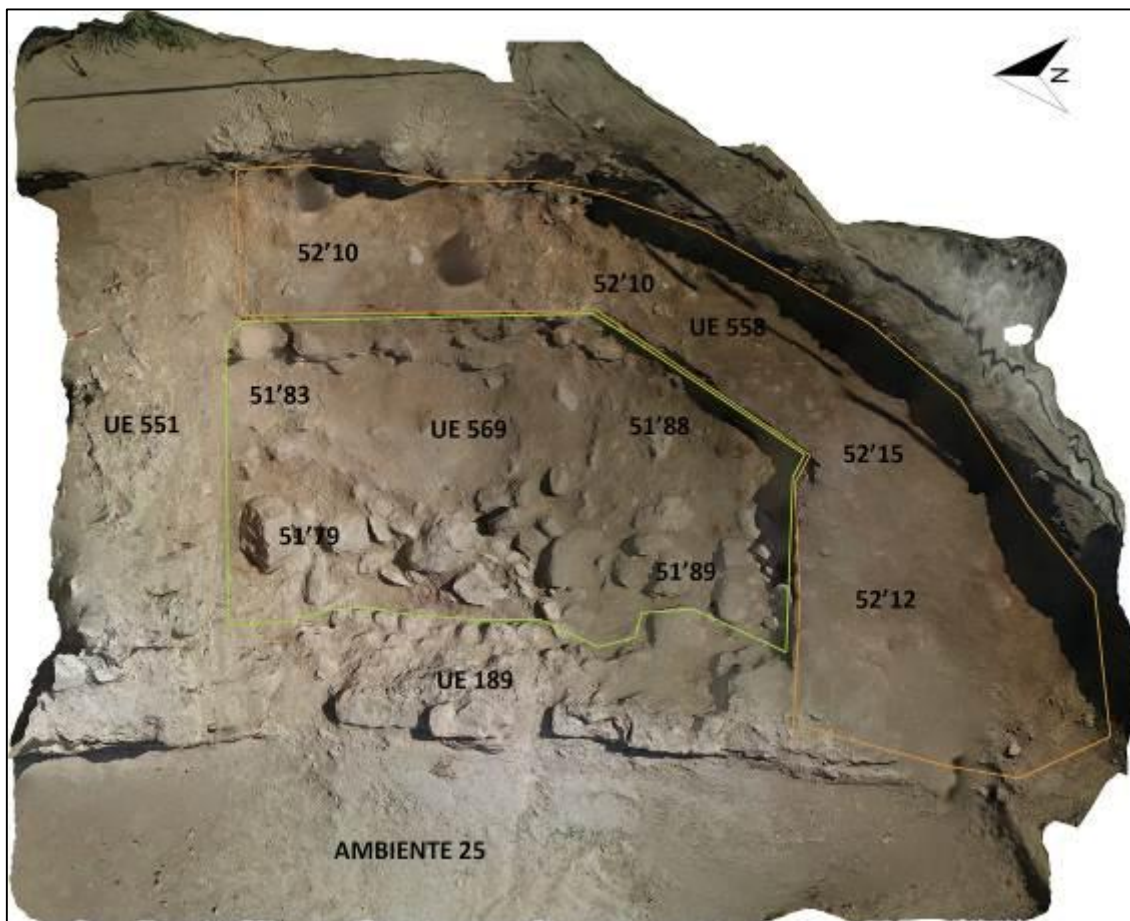
*Fig. 162. Planta de estrato de la UE 556*

Bajo la **UE 556** localizamos un nuevo estrato, **UE 558**, de una composición considerablemente distinta al superior, formada por tierra marrón oscuro y abundantes piedras de mediano tamaño. Se distribuye de forma irregular por todo el A33, apoyándose en la cota superior del muro **UE 570** y de una forma uniforme sobre la cresta del muro este del A25. Hemos relacionado este estrato con el desplome o derrumbe de los paramentos que definirían al A36, aunque la aparición de este nivel de una forma tan uniforme sobre el muro oriental del A25 no nos permite descartar que estemos ante una acción intencionada de desmonte o arrasamiento de las estructuras. La cercanía de este espacio al bancal delimitador del yacimiento nos lleva a pensar que esta zona fue afectada por los trabajos de desmonte. De hecho, la excavación que prosiguió en la esquina sureste del corte nos llevó a corroborar una fuerte transformación, muy probablemente de época contemporánea.



*Fig. 163. Planta de estrato UE 558*

Antes de proseguir con la excavación de la **UE 558** se llevó a cabo la remoción de los niveles superiores en el extremo sur del corte, correspondiente a la zona donde hipotéticamente debería ubicarse la esquina sureste del A25. Es precisamente en este punto donde debía encontrarse la prolongación del muro **UUEE 3211-3213**, que cerraría la parte meridional del A36. Sin embargo, tal y como se constató durante la excavación del A25, la zona se encuentra muy afectada por la retirada de tierras mediante métodos mecánicos durante la segunda mitad del s. XX. Tanto es así que en la zona oriental del A dichas remociones llegaron a afectar incluso a las estructuras termales documentadas. Precisamente, y en relación con la zona que nos ocupa, documentamos un gran estrato compuesto por piedras de mediano y pequeño tamaño cuya cota inferior coincidía con la cota superior de las estructuras que circundan al A25. Por tanto, tras la eliminación de este abanalamiento hallamos el muro que cierra el A25 por su lado sur y su prolongación hacia el este cerrando meridionalmente el A36, así como la destrucción de la esquina sureste del primer A.



*Fig. 164. Planta de estrato de la UE 569 y la UE 558 (que cubre a la anterior) tras el desmontado de la valla perimetral. La zona donde podemos ver de nuevo la UE 558 corresponde al testigo dejado al inicio de la excavación como zona de paso entre el vallado y la propia excavación*

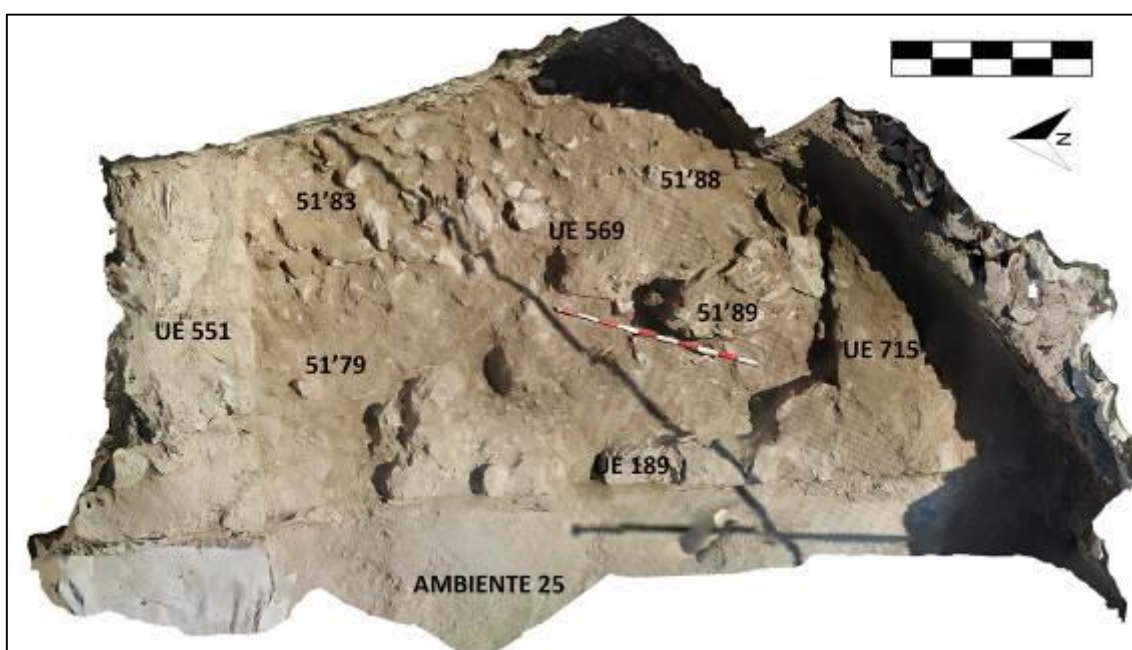
El uso de maquinaria tracto-mecánica queda evidenciado en la forma en la que la esquina sureste del A25 ha quedado destruida, resultando arrasados a un mismo nivel tanto el muro meridional como la parte del pavimento que allí habría en origen.

El registro de tan alterada situación estratigráfica sacó a la luz un nuevo muro en dirección este-oeste que cierra el A36 al sur. Comprobamos sin embargo que este nuevo eje este-oeste no es la continuación del muro meridional del A25, **UUEE 3211-3213**. De hecho, tal como ya hemos comentado, este último muro no se ha localizado en el extremo oriental del A a causa de los trabajos de abanalamiento antes descritos.

El nuevo muro, **UE 715**, tiene una anchura de 60 cm. Hace esquina al oeste con el muro **UE 189**, mientras que en su extremo oriental queda bajo el perfil del yacimiento en su

límite con la parcela colindante, por lo que por el momento no nos es posible definir las dimensiones reales del A en su extremo este. Por tanto, el A36 queda definido por los muros **UE 715** al sur, el muro **UE 189** al oeste y el muro **UE 551** al norte, compartiendo este último con el A30.

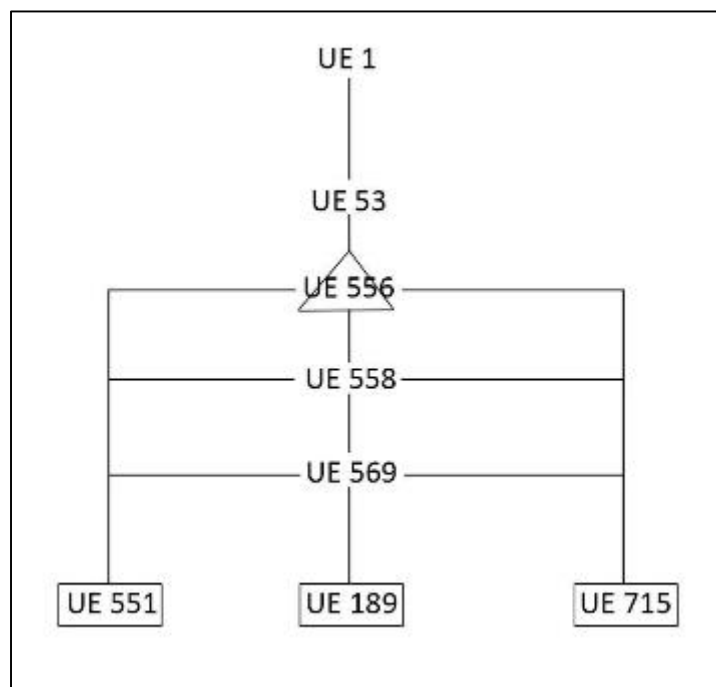
El interior del A está colmatado por la **UE 558**, anteriormente descrita. Se procedió a su excavación para determinar la secuencia estratigráfica interna del A36. Bajo la **UE 558** localizamos un nuevo estrato de similar composición al anterior, aunque en este caso la tierra adquiriría un color marrón más claro y estaba considerablemente menos compacta. También se apreció durante su limpieza que la presencia de piedras era algo menor, pero de mayor tamaño. Este nuevo estrato, **UE 569**, se extendía también por toda la superficie del A, apoyando claramente en las caras interiores de los paramentos que lo delimitan.



*Fig. 165. Planta de estrato de la UE 569 en el su estado final de excavación*

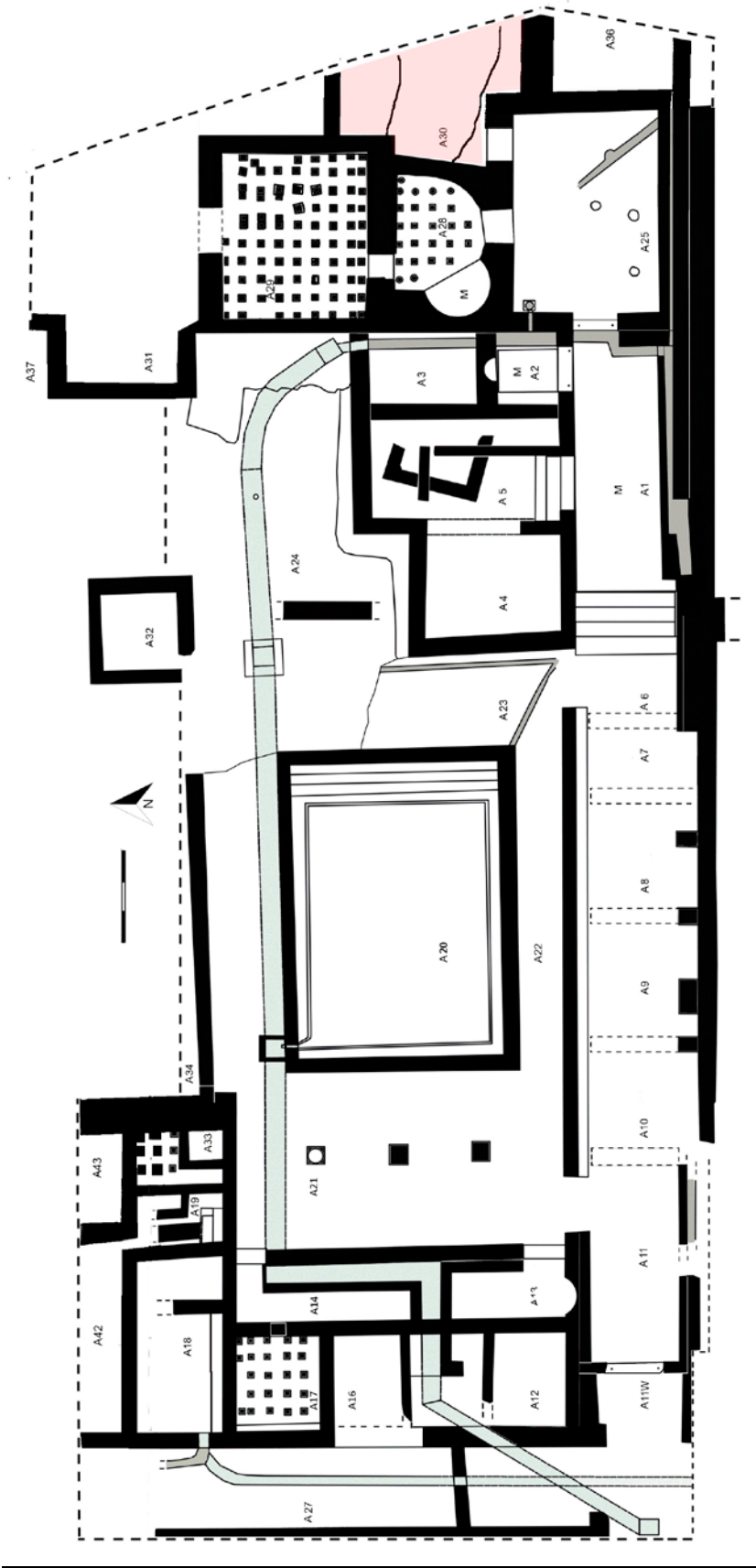
Para poder avanzar en los ambientes situados inmediatamente al norte y ante la imposibilidad de poder definir este ambiente en su extremo este por tener demasiado cerca el perfil que nos separa del bancal colindante, dejamos la excavación en este punto. En cualquier caso, el objetivo que habíamos planteado inicialmente para la excavación del A36 quedaban solucionadas:

- El muro que delimita el A36 por su lado sur no es la prolongación del muro **UUEE 3211-3213**, sino que la cara norte de éste coincide con la cara sur del muro **UE 715**. La ausencia de una unión entre el cierre del A36 y el 25 por el sur nos lleva a pensar que el complejo termal no finalizaba en su zona meridional con estos dos As. Resulta por tanto perfectamente plausible que el complejo termal se extendiese al sur a través de otros espacios todavía sin descubrir.
- Queda pendiente la excavación de la **UE 569** y verificar si dentro del A36 conservamos niveles de uso correspondientes al momento de vida del complejo termal, o incluso anteriores.



*Fig. 166. Diagrama estratigráfico del A36*

# 13. AMBIENTE 30





*Fig. 167. Planta estratigráfica del interior del A30 tras la extracción de UE 254*

Durante la excavación del A25 en la campaña previa documentamos una estructura -**UE 288**- perfectamente alineada con el lienzo murario N de esta estancia, que continuaba ese mismo recorrido hasta cerrar en el ángulo NE con el muro **UE 189**. Interpretamos que podría tratarse del vano que daba acceso a un nuevo espacio -A30- que solo pudo ser excavado parcialmente. No conocemos ni el tamaño ni la forma que caracterizan a este A, ya que parte del mismo se encuentra más allá del límite E del yacimiento. Como resultado traza una superficie de tendencia trapezoidal. Presenta dos lados más largos: su extremo W -conformado por los muros **UEE 89, 192, 113 y 358**-, de 4'9 m de longitud, y un tramo del propio perfil E del yacimiento, de 4'8 m. Por el contrario, su lado S -**UE 288**- mide 2 m y el opuesto, formado por el perfil N provisional, únicamente 0'8 m.

Proseguimos la excavación de un nivel horizontal -**UE 254**- que no pudo ser retirado completamente en la campaña anterior. Tras descender aproximadamente 0'8 m percibimos un cambio de estrato, donde una capa de tierra compacta, con abundante presencia de cal y de piedras -**UE 319**-, constituye el nuevo firme. También permitió

revelar partes de estructuras que habían quedado ocultas bajo este relleno superficial. La primera de ellas, **UE 318**, es una estructura. Se trata de una plataforma rectangular de piedras y mortero que flanquea por el lado E al vano **UE 288**. Interpretamos que, al igual que **UE 192**, haría de jamba al acceso del A30. La otra son restos de enlucido parietal de cal -**UE 320**- que revisten parcialmente la cara E del muro **UE 89**.

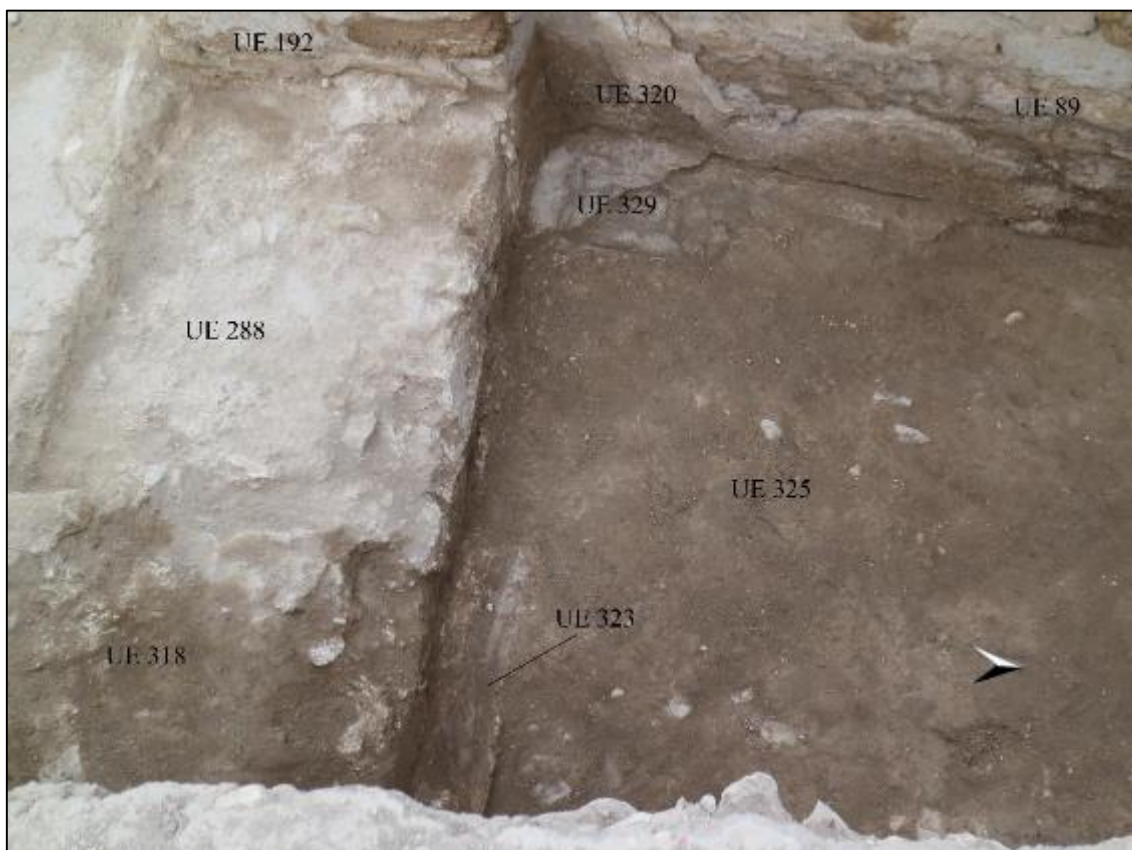


*Fig. 168. Vista en detalle del A30 donde se aprecia el enlucido parietal UE 320*



Fig. 169. Planta estratigráfica del interior del A30 tras la extracción de UE 319

Continuamos la excavación de este espacio con la exhumación de su colmatación interna -**UE 319**-. Bajo ella encontramos un nuevo nivel de tendencia horizontal -**UE 325**-, de tonalidad anaranjada y con una elevada densidad de piedras y cal en su composición. Salieron a la luz nuevos elementos estructurales de la estancia. Nos referimos concretamente a **UE 323**, una placa de *opus signinum* hallada en su ubicación original - adosada a la cara N de las estructuras **UUEE 288** y **318**-. Presenta un canal con un seno de forma semicircular, alineado en sentido E-W. La tierra que colmataba el interior de dicho canal, pese a ser similar en composición a **UE 325**, fue individualizada como **UE 324**. En el extremo W, adosándose a las estructuras de **UUEE 288**, **192** y **89**, se vislumbraba lo que parecía ser otro fragmento de una gran placa de *opus signinum*, que quedaba parcialmente cubierta por **UE 325**.



*Fig. 170. Vista en detalle del A30 donde se vislumbran los restos de placas de opus signinum de UUEE 323 y 329*

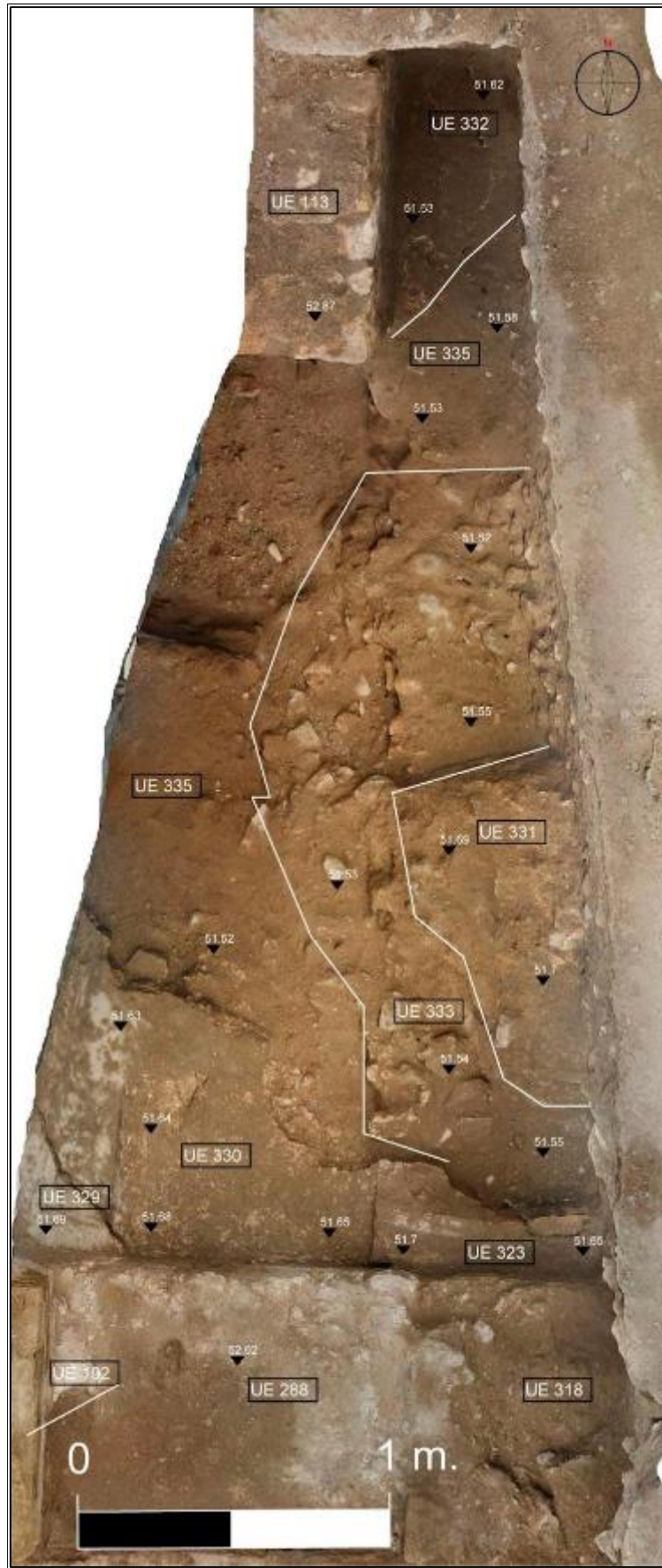


Fig.171. Planta estratigráfica del interior del A30 tras la extracción de UE 325

Como ya adelantamos, la remoción de **UE 325** sacó completamente a la luz a la estructura **UE 329** y nos permitió documentarla adecuadamente. Confirmamos que, como **UE 323**, se trataba de una placa de *opus signinum*. Cuenta con un cuarto de caña hidráulica que se adosa a los muros **UUEE 89** y **192** con el fin de protegerlos de la humedad. Esta placa está fracturada y ligeramente vencida hacia el W. A pesar de ello es evidente que formaría parte de un nivel de pavimento junto a **UE 325**.

Entre **UUEE 323** y **329** encontramos una impronta rectangular de mortero -**UE 330**- bordeada por un cuarto de caña hidráulica, que cubre a **UE 329** y que se adosa al vano de **UE 288**. Hemos interpretado que podría corresponder a la marca del escalón que permitiese descender desde el vano **UE 288** hasta el nivel de paso del A30. Esta realidad coincide con los hallazgos realizados en la mitad N del A, donde apareció otro fragmento de pavimento de mortero -**UE 332**- con un cuarto de caña hidráulica adosada a la cara E del muro **UE 113**. Esta placa apareció ligeramente desplazada de su posición original y cedida hacia el SE. Otro pequeño fragmento de pavimento -**UE 342**- se encuentra todavía *in situ* en el ángulo que forman los muros **UUEE 113** y **89**.

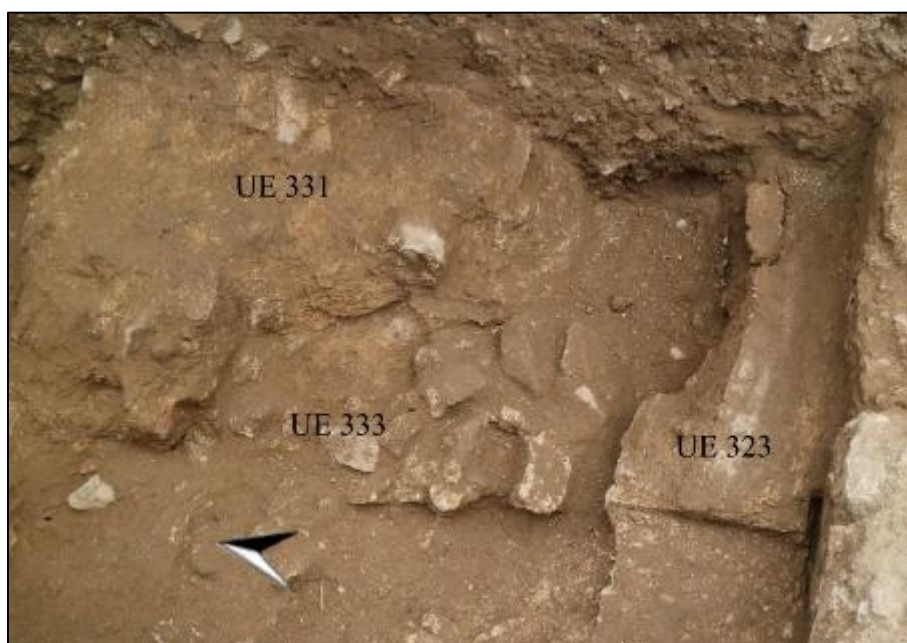


*Fig. 172. Vista en detalle de los fragmentos de pavimento UUEE 323, 330, 329 y 342*

Resulta evidente que el pavimento del A30 fue roto en algún momento posterior a su abandono a través de una fosa que hemos registrado como **UE 321**. Únicamente algunos fragmentos -**UUEE 323, 329, 332** y **342**- pervivieron hasta nuestros días.



*Fig. 173. Vista en detalle del fragmento de pavimento UE 332*

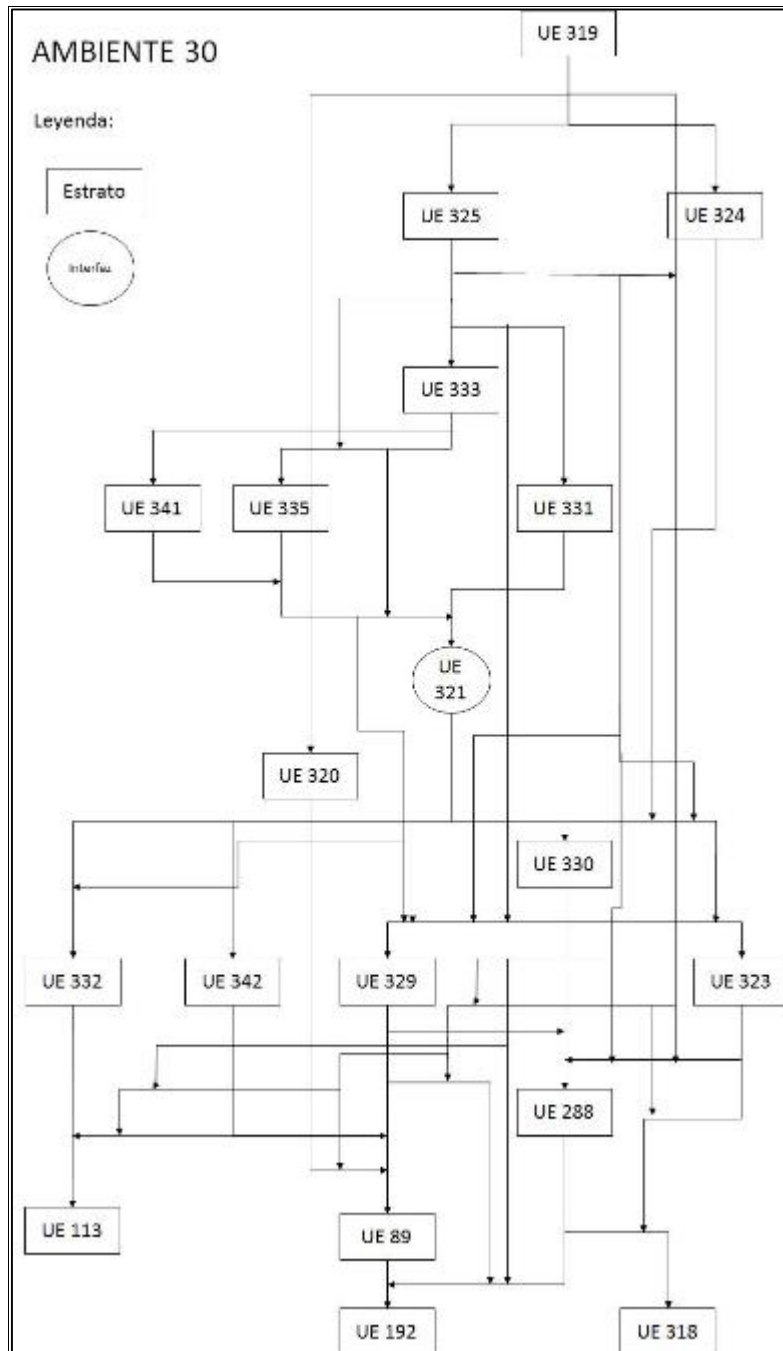


*Fig. 174. Vista en detalle de la estructura UE 331 durante el proceso de retirada del derrumbe UE 333*

Dentro de la fosa generada al romperse el pavimento -**UE 321**- registramos nuevas UUEE. Destacan particularmente los restos de una estructura maciza de piedras y mortero de cal -**UE 331**- situada en el extremo E del A. Parte de la misma se pierde precisamente en este perfil, por lo que no podemos definir su morfología. Aparece circundada por un nivel revuelto de piedras -**UE 333**- que, desde el mismo contorno de **UE 331**, desciende en suave talud hacia el interior del A. El resto del espacio del interior

de la fosa **UE 321** está colmatado por **UE 335**, un estrato de tierra de tonalidad parda que presenta una densidad media de piedras.

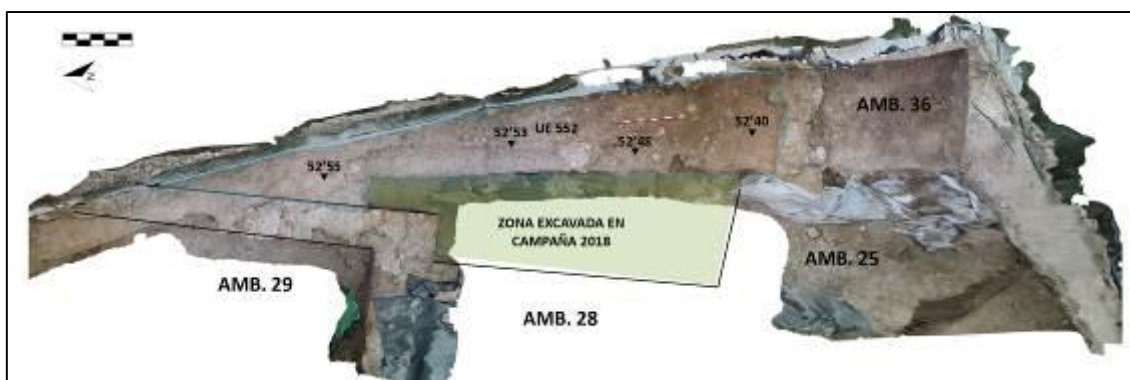
Interpretamos que **UE 333** era un derrumbe parcial de la estructura **UE 331** por lo que procedimos a su retirada. Comprobamos que cubría parcialmente a **UE 335** y que, al mismo tiempo, ocultaba a un nuevo estrato al que le asignamos la **UE 341**. Este nuevo nivel se caracterizaba por su textura compacta y su tonalidad marrón oscuro.



*Fig. 175. Diagrama estratigráfico correspondiente al A30*

El A30 quedó definido durante la campaña de excavación de 2018, tras el hallazgo de un umbral en el lado norte del A25 que comunicaba con este espacio. En esa campaña se decidió realizar un sondeo, verificándose la existencia de un espacio asociado al conjunto termal entre el lado oriental del A28 y el límite este del yacimiento, donde se encuentra la valla de separación entre el espacio arqueológico y la siguiente parcela.

Aunque el A30 quedó inicialmente definido por el muro **UE 89** (paramento este del A28) y el umbral que comunicaban este espacio con el A25 quedaba todavía por dilucidar de qué forma quedaba acotado por su lado norte.



*Fig. 176. Planta de estrato de la UE 552, con ubicación de los distintos As que rodean al A30.*

De este modo, tras la excavación de las unidades estratigráficas que cubrían a esta zona (**UUEE 1, 552 y 553**) correspondientes al uso y amortización de la canalización de riego del s. XIX nos encontramos un nuevo estrato que cubría todo el espacio que comprendía el A30. Tras la eliminación de las **UE 552 y UE 553** observamos la aparición de un nuevo nivel de tendencia horizontal, **UE 557**, compuesto por tierra marrón claro, sin apreciarse la presencia de piedras. A falta de un análisis de los materiales arqueológicos recuperados, podríamos estar ante el nivel previo a la construcción del sistema de canalizaciones de riego documentado en la secuencia estratigráfica superior. En cualquier caso, su delimitación permitió ver con mayor claridad el muro que delimita el A30 en su lado sur, que lo separara del A36.



*Fig. 177. Ortoimagen-planta de estrato de la UE 557*

El desmonte de la valla de torsión que delimitaba el yacimiento en este extremo permitió de forma colateral poder limpiar con mayor facilidad el corte que ya se abrió en anteriores campañas, dejando a la vista también la estratigrafía que colmataba el uso del A.



*Fig. 178. Vista desde el norte de la zona de excavación tras el desmontaje de la valla*



*Fig. 179. Vista desde el sur de la zona de excavación tras el desmontaje de la valla*

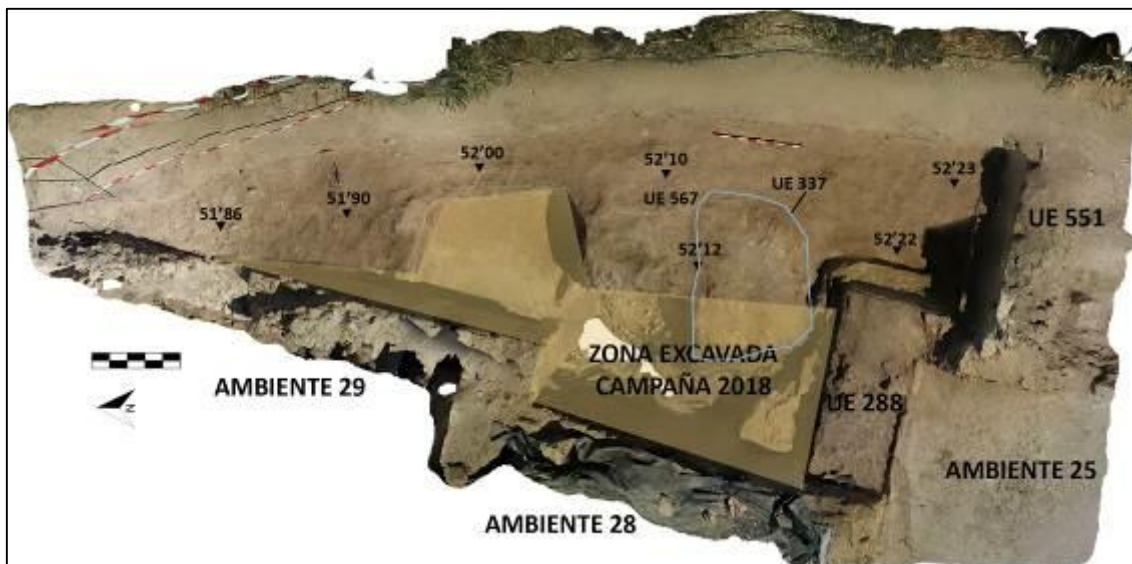
Es interesante recordar que, en campañas anteriores, además de constatar la existencia de un paramento y umbral en el lado sur del A, también se pudieron documentar varios fragmentos de pavimentos y de una media caña hidráulica asociada al mismo. Ya se pudo apreciar en su momento que existía una gran rotura del pavimento documentado en su zona central, sin haber podido identificar su origen.

En la presente campaña, gracias a disponer de más espacio para la excavación del A30 pudimos determinar no solo el colapso de esta zona, sino la razón de la destrucción de los niveles de uso termales.

Gracias a la retirada de la valla pudimos realizar un desplazar el perfil cerca de 0'5 m hacia el este. Esta nueva zona fue incorporada al yacimiento con su estratigrafía intacta, por lo que hubo que acometer su excavación desde el nivel más superficial -**UE 1**- hasta alcanzar las últimas capas documentadas en 2018, sin que en este proceso percibiesen variaciones en la superposición de los estratos.

Una vez alcanzamos la **UE 557** se procedió a dejarla visible en todo el corte. Comprobamos que este nivel, registrado en la campaña de 2018 en el extremo oeste del A, cubría tanto al pavimento **UE 582** en su extremo norte hacía lo propio con el resto de estructuras documentadas con anterioridad. Aunque en anteriores campañas no se

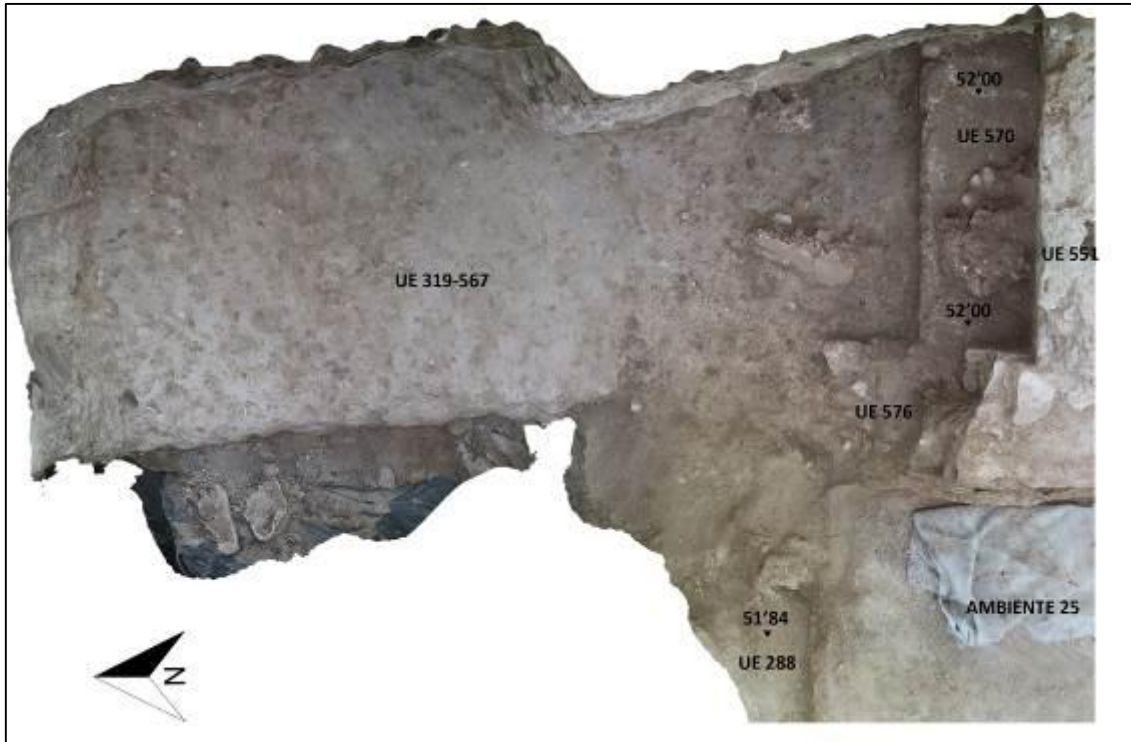
pudo definir con claridad el límite del A30 en su lado norte sí que se observó la presencia de un pavimento, **UE 583**, similar al documentado en la zona sur. Contaba con una media caña hidráulica, **UUEE 573-574**, pero no se pudo determinar la existencia de un muro. Con la limpieza antes comentada pudo comprobarse que, efectivamente, había un muro en este extremo, **UE 571**, con una orientación este-oeste, paralelo al muro **UE 570**.



*Fig. 180. Ortoimagen-planta de estrato de la UE con indicación de la estructura UE 337*

Una vez excavada la **UE 557** localizamos un nuevo estrato que se extendía por todo el A30, **UE 567** (se iguala a la **UE 566**), de color marrón anaranjado, con algún carbón y escasas piedras. Además, en la zona más cercana al extremo meridional de la estancia pudimos observar la presencia de fragmentos de enlucidos que muy probablemente provendrían del paramento **UE 551**. Hay que subrayar que, durante la excavación del estrato anterior, detectamos una estructura en el extremo sur del A: un banco adosado a la cara norte del muro **UE 551**. Esta nueva estructura tiene una anchura de 50 cm y presenta una superficie plana, lo que llevó a interpretarlo como un banco corrido dispuesto en sentido este-oeste. Tal como ya hemos comentado, en la campaña anterior se detectó una estructura en la zona central de la habitación, **UE 337**, que no pudo definirse adecuadamente y cuya relación con las estructuras termales estaba por aclarar. **UE 567** cubría claramente dicha estructura, por lo que aún nos encontramos en niveles posteriores a la destrucción y abandono del espacio termal. Dicho estrato es igual a uno ya excavado en 2018, registrado como **UE 319**. La **UUEE 567-319**, cubría todo

el espacio hasta llegar al límite que marcaba el perfil del yacimiento por el este, mientras que hacia el oeste alcanzaba el muro oriental, **UE 358**, del A29.



*Fig. 181. UUEE 567-319 donde puede apreciarse la aparición en la zona sur del A30 fragmentos en revestimiento parietal y el banco UE570 junto al muro UE 551.*

Podría corresponder al último de los niveles de amortización de esta zona del complejo termal, puesto que anulaba de una forma clara no solo las estructuras termales, sino también los elementos que las obliteraban, como la estructura **UE 337**. Tras un estudio preliminar de los materiales aparecidos durante la excavación de esta unidad estratigráfica podemos asignarle una cronología del s. IX-X d.C. (LA'19-7F-566-57, 58 y 59).

Con la excavación de la **UUEE 567-319** la situación estratigráfica cambiaba considerablemente, ofreciéndonos una nueva relación de estratos en función de la estructura **UE 337**.

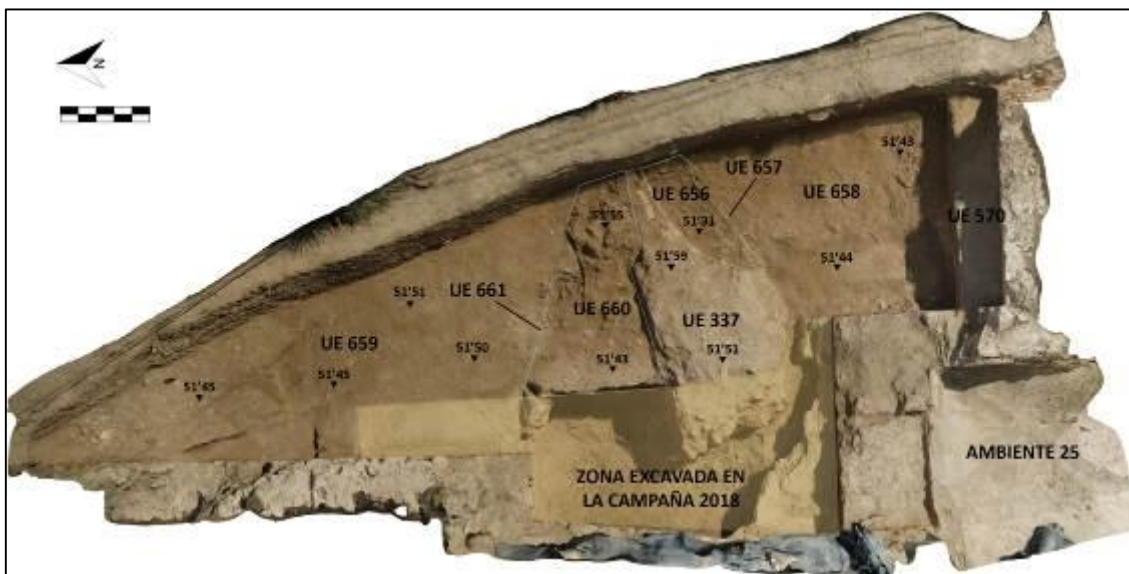


Fig. 182. Planta de estrato del A30 con las UUEE 659-658 con las fosas o zanjas UUEE 661-657 relacionadas con la estructura UE 337.

Llegados a este punto el siguiente paso fue poner en relación las estructuras ya exhumadas en la campaña 2018 con la nueva estratigrafía recién obtenida. En la zona meridional, inmediatamente al norte del umbral que comunica el A25 con el 30, ya se conocía la existencia de un pavimento de *opus signinum* -UE 583- Presentaba una rotura en su lado norte en sentido diagonal desde el muro oriental del A28 hasta la esquina del muro UE 551 y muro UE 570. Allí fue hallada una nueva estructura tipo canal que discurriría hacia el este, siempre de forma paralela al banco UE 581. Esta nueva estructura aparece colmatada por un estrato, UE 584, compuesto por tierra marrón claro, con nódulos de cal y fragmentos de enlucido provenientes del deterioro tanto del muro UE 551 como del banco UE 580.

Con la limpieza de la zona norte pudimos sacar a la vista toda la superficie conservada el pavimento UE 583. Contaba con una media caña hidráulica en la zona de contacto con el muro oriental del A28 y con el muro UE 571. Al igual que sucedía con el fragmento de pavimento conservado al sur del A, también presentaba una rotura en su extremo septentrional. La línea de fractura marcaba una orientación este-oeste, observándose por tanto en la zona central del A la estructura UE 337.

Tanto por el aspecto de los pavimentos UE 583 y UE 582 como por sus cotas consideramos que estamos antes el mismo nivel de piso.

Procedemos finalmente a la descripción de la estratigrafía en los extremos norte, sur y este del A correspondiente a la presente campaña, tras la remoción de **UUEE 567-319**. Bajo este paquete localizamos:

- **UE 659**, un estrato de tierra marrón claro, con alguna piedra y canto rodado de pequeño tamaño y algún fragmento de cal, lo que le confiere el color claro. Cubre directamente al pavimento **UE 583** y al muro **UE 571**. Está recortado en su extremo sur por la fosa **UE 661**.
- **UE 658**, un estrato de similar morfología y composición que la **UE 659**, apreciándose mayor cantidad de cal y mortero en su extremo sur -más concretamente, en la zona de contacto con el banco **UE 570**-. Cubre al canal que discurre de forma paralela al banco **UE 570**. En su extremo norte aparece recortado por la fosa **UE 657**.
- **UE 660**, estrato de tierra marrón claro, con alguna piedra de mediano y pequeño tamaño, textura granulosa y poco compactada. Rellena a la fosa **UE 661**, apoyándose por tanto en su perfil norte y en la cara sur de la estructura **UE 337**.
- **UE 656**, estrato de tierra marrón claro, con alguna piedra de mediano y pequeño tamaño y textura similar a la **UE 661**. Se apoya en el perfil norte de la fosa **UE 657** y en la cara sur de la estructura **UE 337**.
- **UE 661**, interfaz que separa la **UE 660** de la **UE 659**. Recorta al pavimento **UE 583**.
- **UE 657**, interfaz que separa la **UE 656** de la **UE 658**. Provoca la rotura del pavimento **UE 582**.

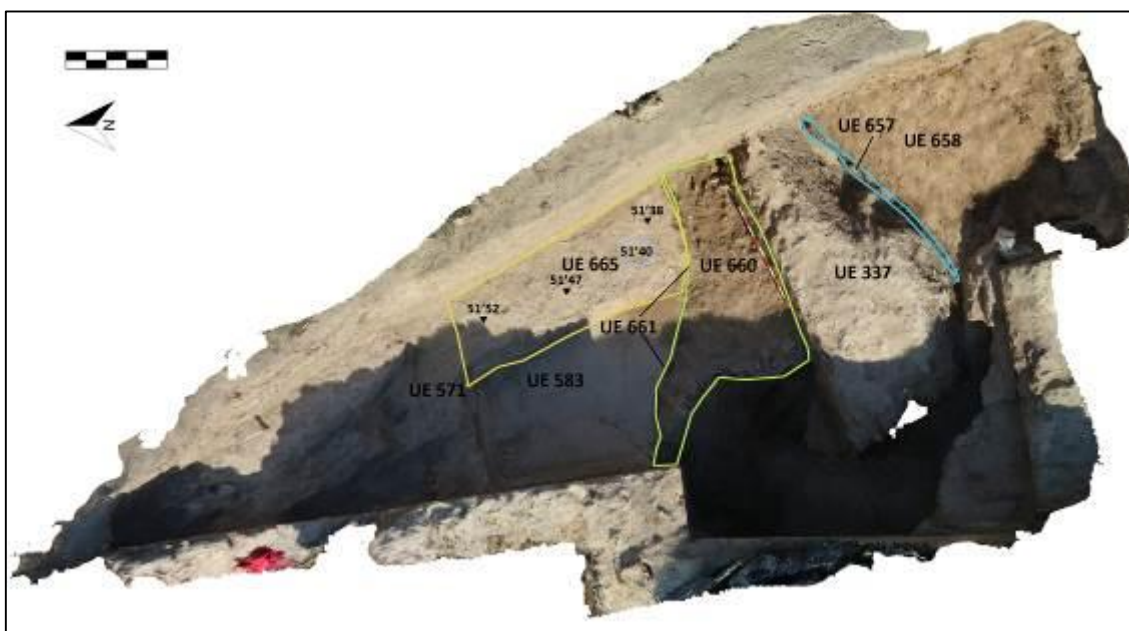
Una vez presentadas las distintas UUEE registradas tras la excavación de **UUEE 567-319** pasamos a describir tanto su relación como interpretación.

A la vista de sus morfologías y cota superior podemos decir que **UE 659** y **UE 658** son el mismo estrato, solo que recortado por las fosas **UUEE 661** y **657**. De este modo se genera un espacio en la zona central del A relleno por la **UE 660** en el norte y por la **UE 656** en el sur, donde ambos paquetes cubren a la estructura **UE 337**.

La capa **UUEE 658-659** cubre el pavimento **UUEE 582-583**, lo que nos lleva a interpretarla como un nivel de abandono del A30. Dado que dicho nivel está cortado -al igual que los pavimentos- por las fosas **UUEE 661-657** resulta evidente que la aparición de la

estructura **UE 337** es posterior a la amortización de la estancia termal. Tras esta alteración del nivel de amortización **UUEE 658-659** el A quedó nuevamente amortizado, esta vez por **UUEE 567-319**.

Proseguimos nuestra actividad con la excavación de los rellenos **UUEE 660-656** que rellenaban las fosas **UUEE 661-657**. Durante este proceso observamos que el relleno meridional cubría parcialmente el nivel de pavimento **UE 582**, estrechándose así la zanja **UE 657** hasta adquirir prácticamente la forma que tiene el contorno de la estructura **UE 337** en su cara sur. Por tanto, en la zona sur del A30, tras la excavación de la **UE 656** quedaría a la vista el nivel de amortización **UE 658**, coincidiendo su límite norte con el propio perfil de la estructura **UE 337**.



*Fig. 183. Ortoimagen-planta de estrato donde podemos ver la UE 665 y de nuevo las fosas UUEE 661-658, y la UE 658 en proceso de excavación*

Por el contrario, en el caso de la zanja **UE 661** se procedió a la excavación del relleno **UE 660** hasta el nivel que indicaba la cota superior del pavimento **UE 583**. Aunque en este punto el relleno **UE 660** se volvía de una tonalidad más oscura consideramos que se trataba del mismo estrato, ligeramente teñido por un nivel más elevado de humedad. Bajo la **UE 659** localizamos un nuevo nivel de amortización, **UE 665**, compuesto por tierra marrón oscuro, de aspecto arcilloso, compacto y sin apreciarse piedras o cantos rodados. Esta nueva unidad estratigráfica ya no cubría el paramento **UE 571** sino que

apoyaba en su cara sur, mientras que en su extremo meridional se interrumpía por la acción de la fosa **UE 661**.

Durante la limpieza de la **UE 665** pudimos observar que en su zona sur se apreciaba un recorte o fosa de pequeño tamaño y de tendencia circular de aproximadamente 15 cm de diámetro, **UE 666**, rellena a su vez por un estrato, **UE 667**, de tierra marrón claro, no muy compacta y con algún fragmento de carbón.

Tras observar el aspecto de la **UE 665** y viendo cómo su cota superior coincidía con la del muro **UE 571** no habría que descartar que estemos ante un nivel de frecuentación de esta zona en momentos posteriores al abandono de las estancias termales. La coincidencia de ambos niveles hace pensar en la creación de un nivel uniforme de paso como mínimo desde la fractura de la **UE 665** por la fosa **UE 661** hasta el límite septentrional con el A29. La aparición de la fosa **UUEE 666-667** viene a reforzar esta propuesta: podría corresponder a un agujero para la sujeción de poste, similar a los documentados en el A25.

Si consideramos la cota superior de la **UE 665** como un nivel de frecuentación, la instalación de la estructura **UE 337** tuvo lugar en momentos contemporáneos o posteriores al uso de esta zona, en todo caso claramente posteriores al abandono de las estancias termales.

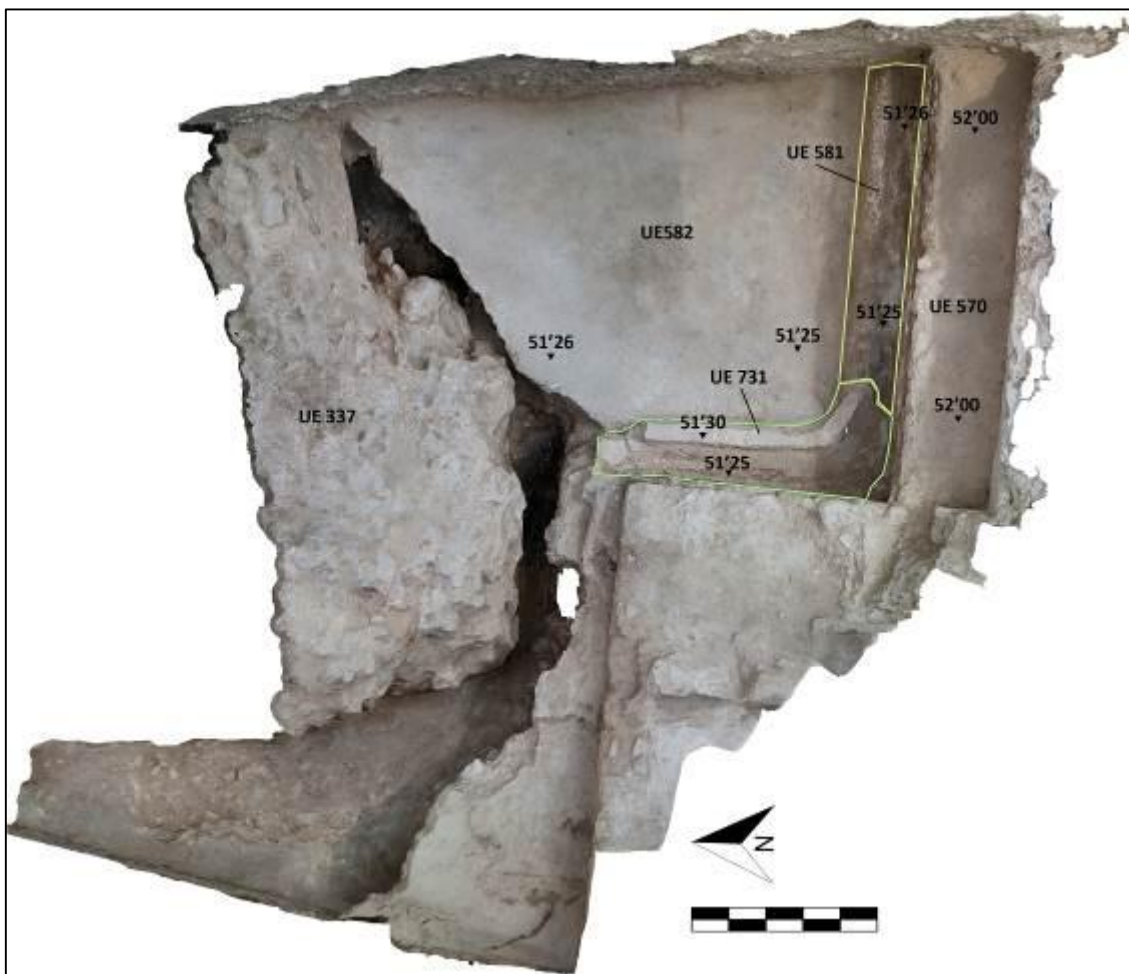
Retomamos la excavación con la retirada de la **UE 658**, que cubría directamente al pavimento **UE 582**. En la zona en la que contacta con el banco **UE 570** localizamos dos estratos:

- **UE 673**, capa de tierra marrón muy oscuro, tendente al negro, de aspecto muy arcilloso y sin material arqueológico. El estrato se ubicaba en la esquina sureste del A, en contacto con el banco **UE 570**, con apenas unos 10 cm de potencia.
- **UE 674**, estrato de tierra marrón claro, con abundantes nódulos de cal y enlucido, procedentes del recubrimiento tanto del banco **UE 570** como del muro en el que se apoya, **UE 551**. El estrato se concentraba en la esquina suroeste del A y apenas tenía una potencia de 5 cm.



de tierra marrón oscuro, compacta, y con abundantes fragmentos de mortero de cal a causa de la degradación de los enlucidos del banco y del muro que delimitan el A en este extremo. Tras su excavación quedó totalmente expuesto el conjunto de estructuras que cierra el A30 en su extremo sur, compuesto por:

- **UE 551**, muro de mampostería irregular con mortero de cal, de 50 cm de anchura y con una orientación este-oeste. Su extremo oriental queda oculto más allá del perfil del yacimiento, lo que nos imposibilita por el momento determinar las dimensiones reales de la estancia. En su extremo oeste hace esquina con el muro **UE 576**, que en su lado occidental da lugar al umbral **UE 288**.
- **UE 570**, muro de mampostería irregular con mortero de cal y 40 cm de anchura. Presenta una superficie plana y una orientación este-oeste, similar al muro **UE 551**, con el que imbrica en su lado sur. La cara norte del muro aparece revestida por un enlucido color blanco.
- **UE 581**, estructura realizada en *opus signinum*, con sección que combina en su lado sur un bocel cóncavo y en su lado norte una media caña de superficie convexa, creándose por tanto en su lado meridional un canal que discurre de forma paralela al muro **UE 570**, en el que se apoya. Por el contrario, en su lado norte, la media caña une en una misma obra con el pavimento **UE 582**, determinando así que tanto la pavimentación como la canalización son contemporáneas.
- **UE 735**, revestimiento o enlucido realizado con mortero de cal cuya capa externa presenta un color blanquecino, cubriendo totalmente la cara norte del muro **UE 570**. Alcanza incluso su parte inferior, donde se adosa la estructura **UE 581**.
- **UE 731**, continuación de la estructura **UE 581** hacia el oeste, paralela a la cara este del muro **UE 576**. La construcción de ambas estructuras no es contemporánea, sino que la última se apoya en la primera según se observa en la media caña hidráulica de contacto con el pavimento **UE 582**, cubierta por **UE 731**.



*Fig. 185. Planta de estrato con ubicación de las estructuras relacionadas con la fase termal y las dos fases constructivas de la media caña UUEE 731-581*

Se establece por tanto una estratigrafía que nos muestra, al menos, tres momentos constructivos dentro del A30 en su extremo sur:

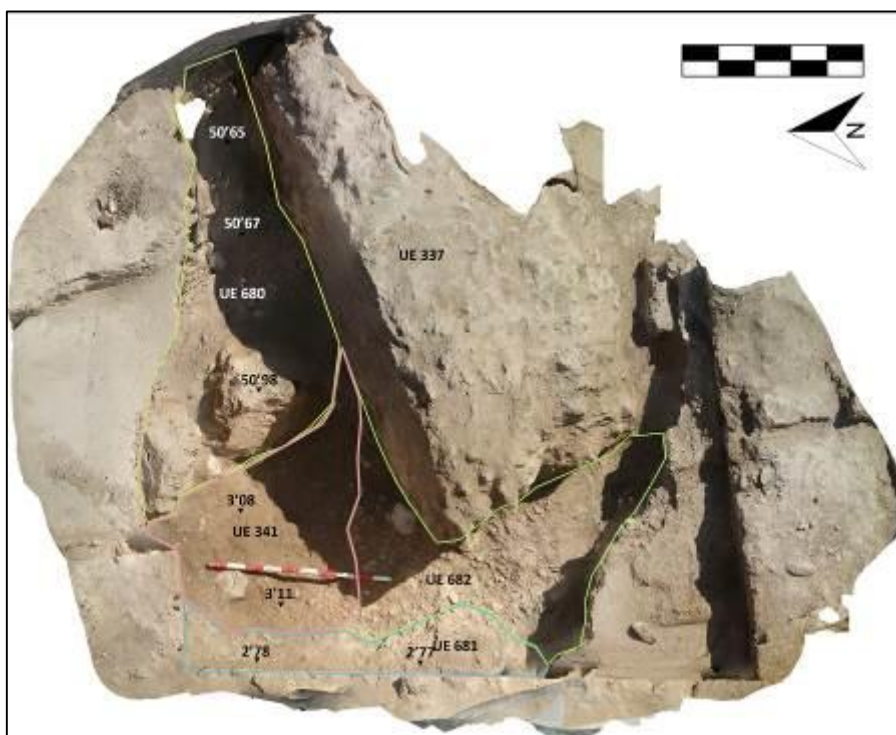
- 1er. momento constructivo, muros **UE 551** y **UE 576**.
- 2º momento constructivo, banco **UE 570** que se apoya en la cara norte del muro **UE 551** y en la cara este del muro **UE 576**, junto con el enlucido **UE 735**.
- 3er. momento constructivo, pavimento **UE 582** junto con la estructura **UE 581**.

Hay que señalar que en el extremo norte del A30 no se apreció la complejidad constructiva que hemos podido registrar en su lado sur, observando la existencia de un único momento constructivo en relación con el pavimento **UE 583** y el muro **UE 571**.

Por una cuestión de logística dejamos para la parte final de la excavación del A30 los niveles o estratos correspondientes a la colmatación de la fosa **UE 661**. De forma previa

habíamos excavado parcialmente la **UE 660**, haciendo coincidir su cota superior con la cota superior del pavimento **UE 583**. Una vez delimitado correctamente proseguimos con la excavación de la **UE 660** hasta llegar una nueva situación estratigráfica:

- **UE 680**, estrato de tierra marrón claro de aspecto arcilloso con piedras de gran tamaño. Se apoya contra la cara norte de la estructura **UE 337**, rellenando la fosa **UE 661**.
- **UE 681**, estrato de tierra amarillenta, compacta que se localiza en la zona oeste del A, en contacto con la cara este del muro **UE 89**.
- **UE 682**, estrato de tierra marrón claro, con piedras de mediano y pequeño tamaño que conforma un conglomerado homogéneo.

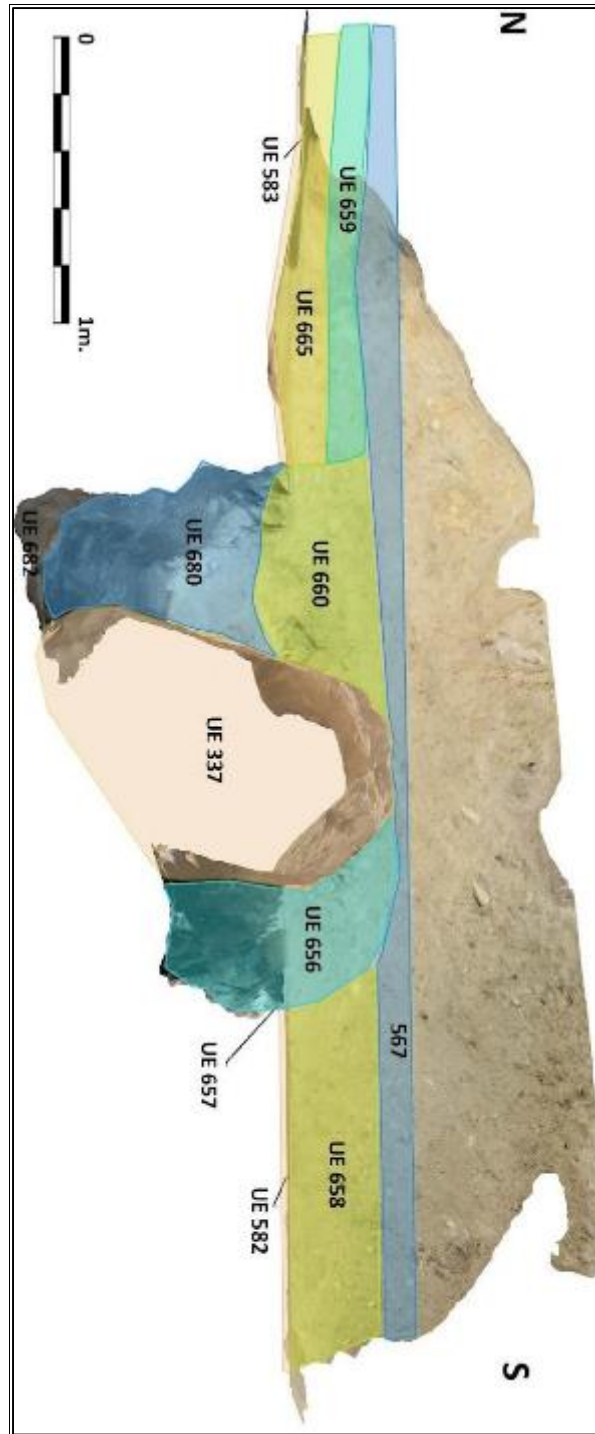


*Fig. 186. Ortoimagen-planta de estrato con la UE 680, donde se aprecia que aún queda parte de la UE 341 cubriendo a las UUEE 681 y 682 en el extremo oeste*



*Fig. 187. Estado final de la excavación en el A30*

La situación estratigráfica descrita corresponde al momento en el que finalizamos la campaña 2019. Aunque es cierto que algunas de las relaciones entre estratos, debido a este motivo, no pudieron ser analizadas sí que alcanzamos un conocimiento suficiente como para discernir las más relevantes a la hora de entender la evolución de este espacio: **UE 680** corresponde al momento de colmatación de la fosa en la que se encuentra la estructura **UE 337**. Este estrato cubría a **UE 681** y a **UE 682**, que muy probablemente corresponden a los niveles de construcción del pavimento **UUEE 582-583**.



*Fig. 188. Sección sobre ortoimagen de la zona central del A30, donde se aprecian las fosas UUEE 661 y 657 junto a la estructura UE 337*

A pesar de toda la información obtenida acerca del A30 durante la presente campaña no se ha logrado esclarecer algunas cuestiones destacadas, como definir completamente la extensión y morfología de este espacio o aproximarnos al conocimiento acerca del uso que pudo tener la estructura **UE 337**. La resolución del

primero pasa necesariamente por una nueva excavación que alcance a la parcela colindante al yacimiento, en la que se adentra parte de las estructuras del A30.

Recapitulando, es evidente que podemos identificar el A30 como una estancia asociada al uso termal. Dispone de una pavimentación de *opus signinum*, perfectamente adaptada a la humedad, así como medias cañas hidráulicas que permiten salvaguardar la cimentación de las estructuras de posibles filtraciones. Además, la existencia de un banco en la zona sur junto a la conducción para el agua que lo circunda incide en esta interpretación.

Hemos de destacar la existencia de, al menos, dos fases constructivas en esta sala. Una de ellas es previa a la construcción de la canalización y, por tanto, del propio pavimento en *opus signinum*. Así lo sugiere la existencia del enlucido que queda por detrás de la canalización. Sin embargo, esta relación estratigráfica podría explicarse como un hecho constructivo, de manera que estaríamos ante estructuras contemporáneas. No podemos afirmar lo mismo acerca de las canalizaciones **UUEE 581 y 734**, donde se documentaron claras evidencias de refacción.

El momento de abandono y amortización de este espacio termal está intrínsecamente ligado a la naturaleza de la estructura **UE 337**, uno de los principales problemas interpretativos de esta parte de la excavación. Está realizada con mampostería trabada con mortero de cal, que presenta una gran solidez. Desconocemos su morfología, dado que parte de la misma se pierde más allá del perfil este del yacimiento. No sabemos siquiera si se trata de una estructura construida *in situ* en el lugar en el que fue hallada o si, por el contrario, estamos ante un elemento constructivo desplomado.

De haber sido construido en su ubicación habría que considerar que las roturas **UUEE 661-657** en el pavimento **UUEE 583-582** corresponden a zanjas de cimentación para la construcción del elemento **UE 337**, algo que invalidaría el uso del A30 como espacio termal y que por tanto correspondería a un uso posterior. Pero, del mismo modo, la interfaz **UUEE 661-657** puede interpretarse como una rotura de la estructura termal derivada del desplome de **UE 337**. La posibilidad de hallar fragmentos del pavimento **UUEE 583-582** bajo la estructura **UE 337** sería especialmente revelador, ya que proporcionaría un indicio clave para su interpretación. Pero las grandes dimensiones de

**UE 337** imposibilitaron esta opción. Por otro lado, en caso de que **UE 337** provenga del desplome de una estructura, nos resulta complicado entender cómo ha podido asentar su base a tal profundidad tras la rotura del pavimento. De haberse producido este tipo de situación no debería haber ningún tipo de relleno bajo el pavimento, salvo que fuese desplazado a ambos lados por la propia caída de **UE 337**. Lo cierto es que, *a priori*, no hay indicios que apunten a esta situación.

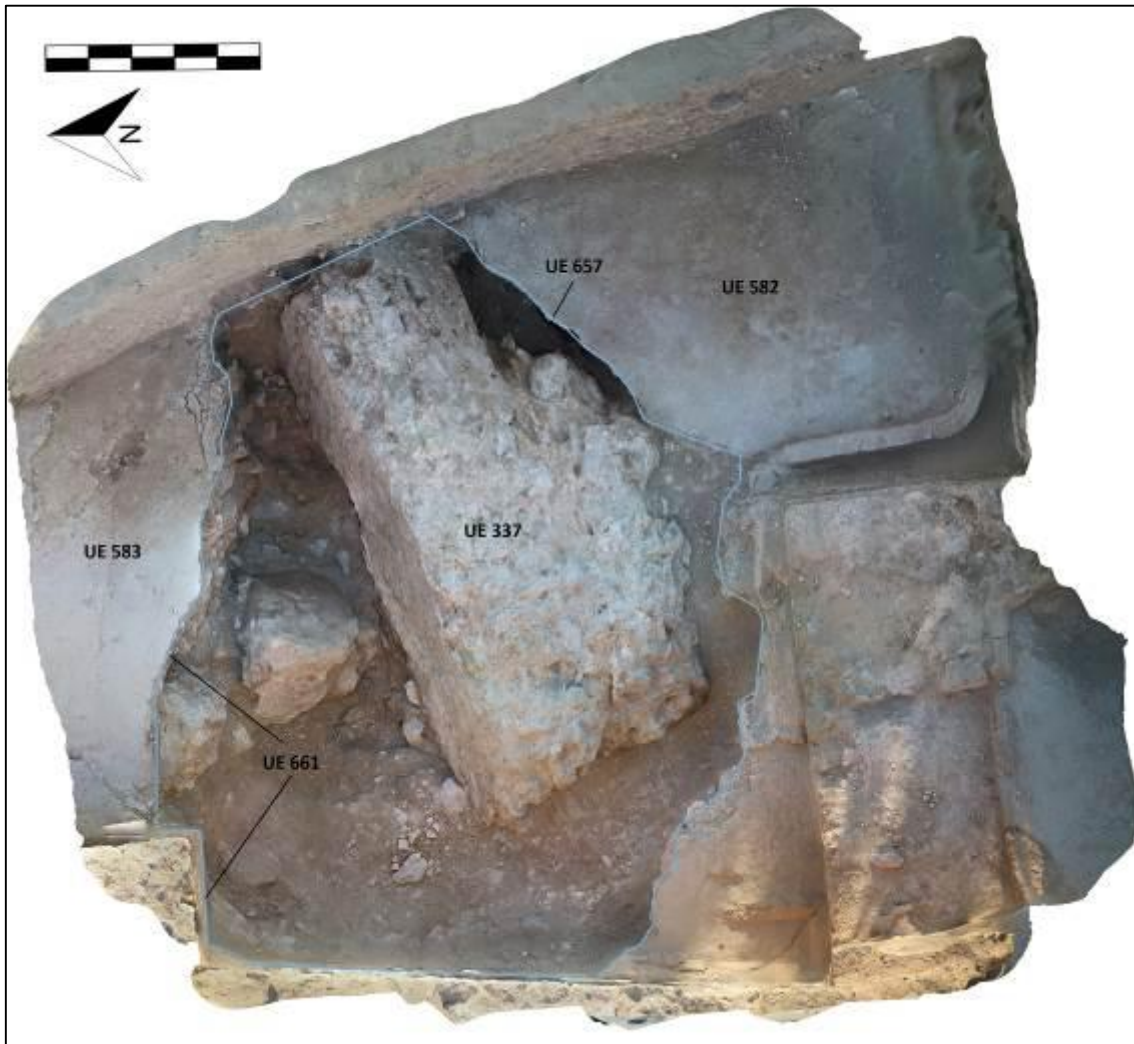


Fig. 189. Planta de estrato de las fosas UUEE 657-661 con niveles de pavimentación de las termas, y en el lado oeste coincide con el paramento este del A28

Así, a falta de una retirada del elemento constructivo **UE 337**, por el momento nos parece más plausible que se trate de un elemento constructivo *in situ* cuya función y morfología desconocemos. Esperamos que futuras campañas puedan arrojar más luz sobre este particular.

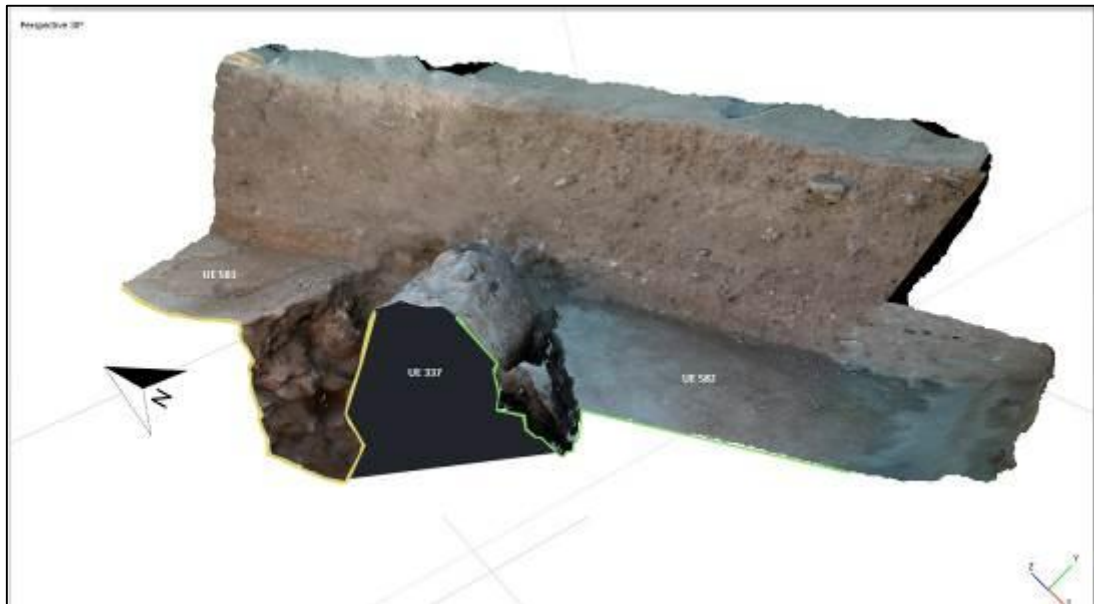
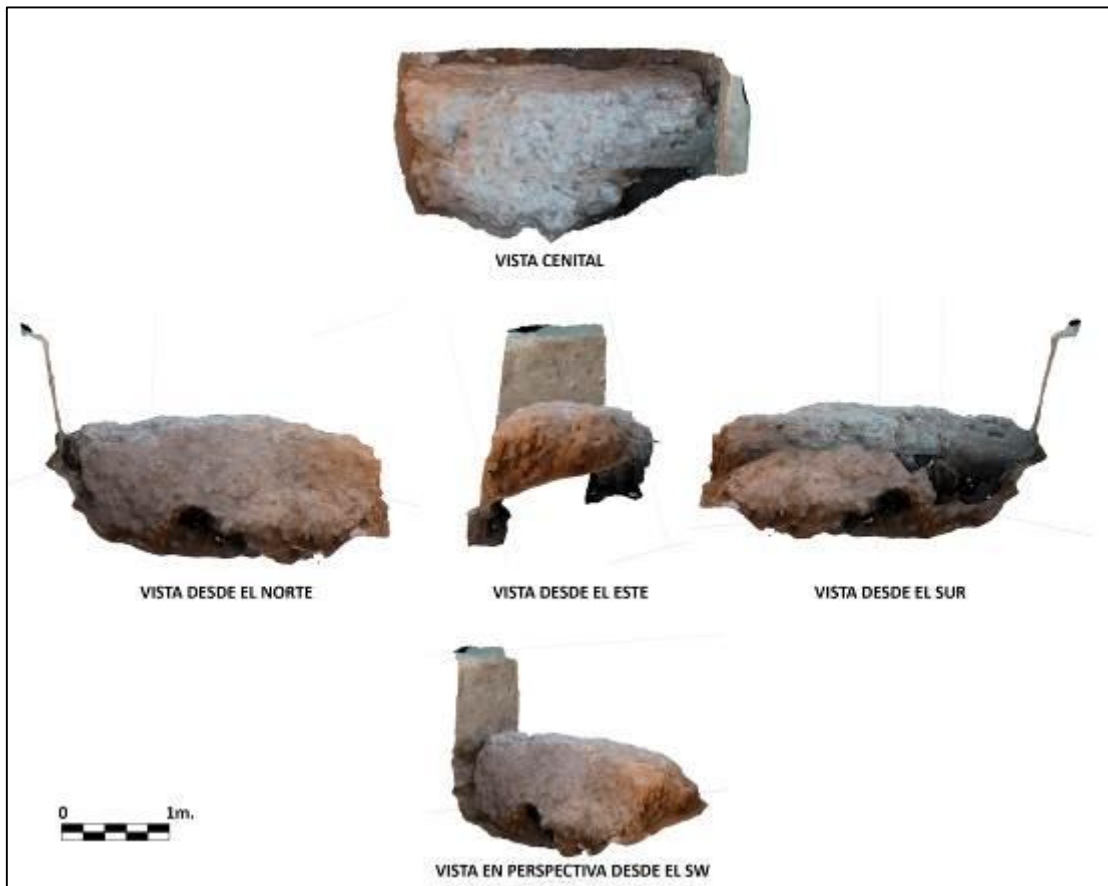


Fig. 190. Distintas vistas de la estructura UE 337

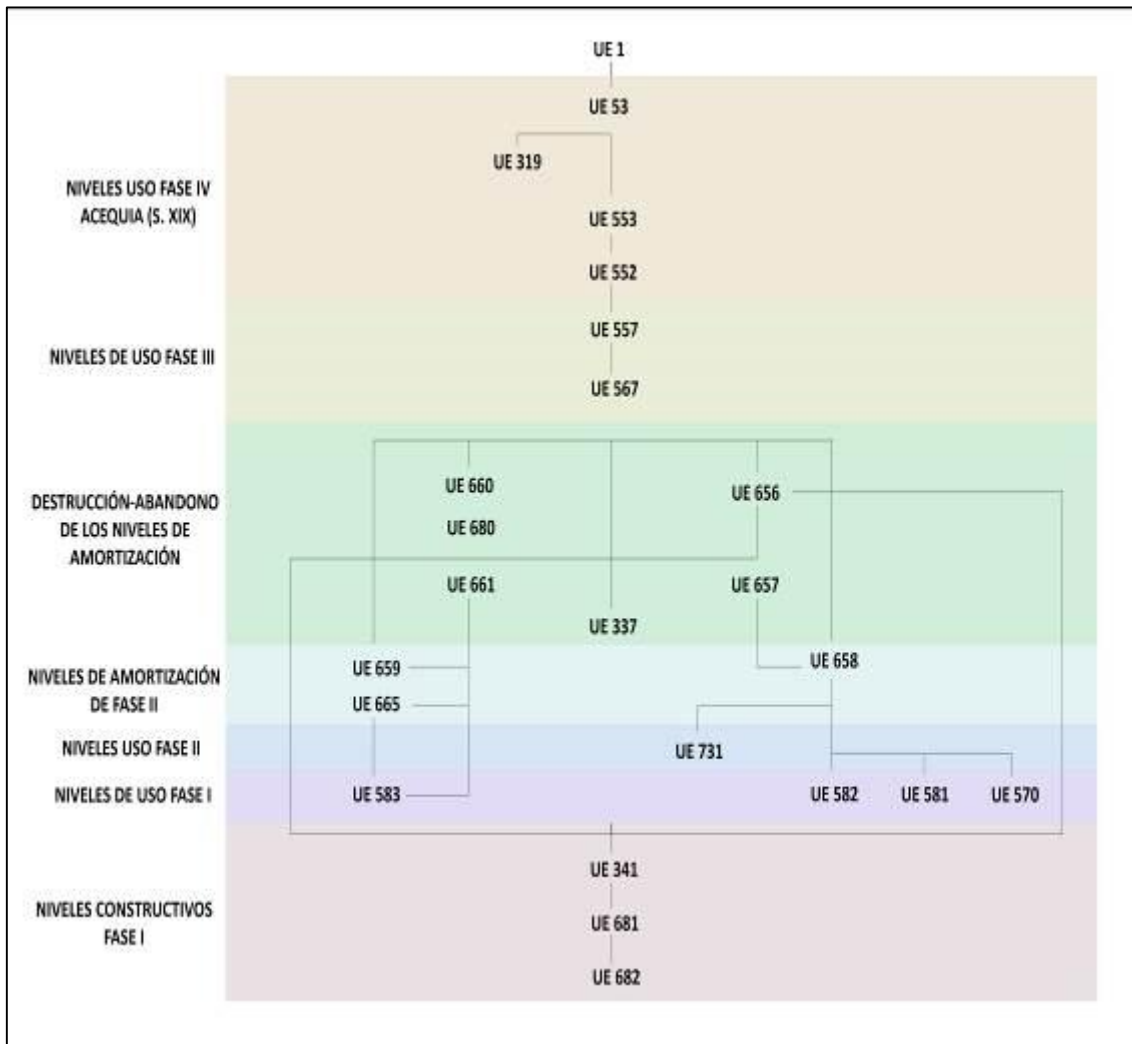
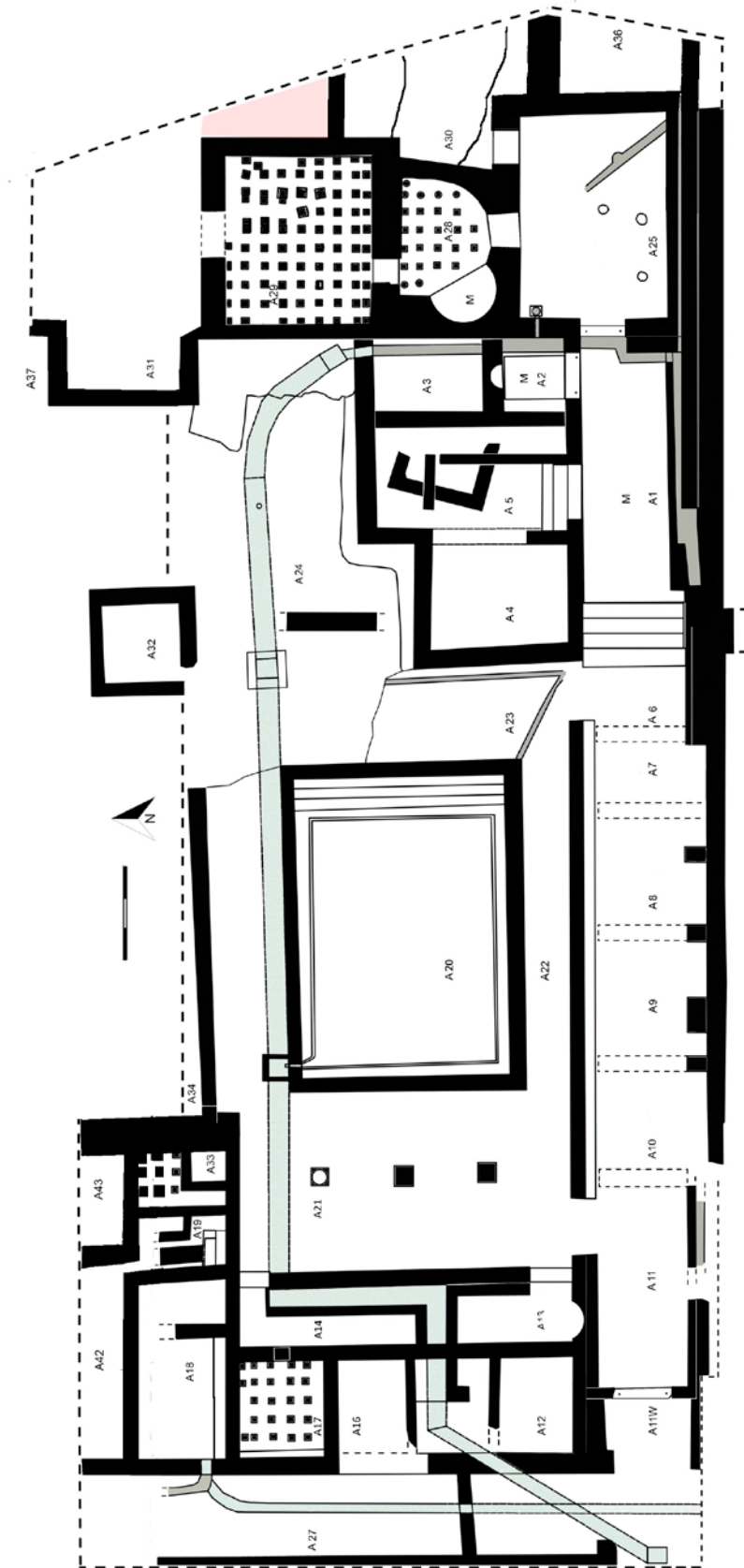


Fig. 191. Diagrama estratigráfico e interpretativo del A30

# 14. AMBIENTE 38



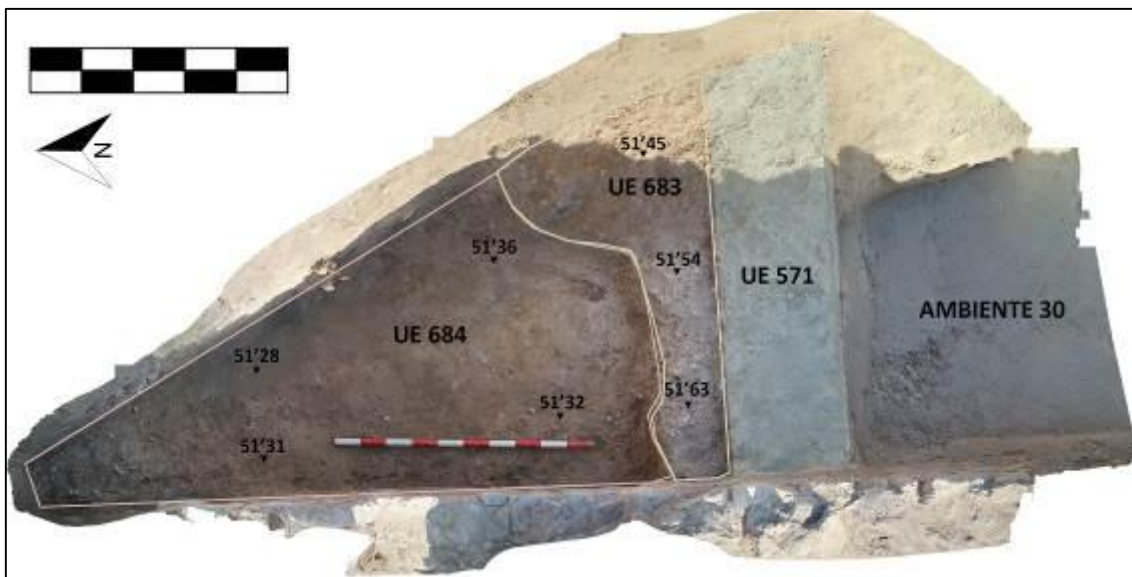
Tal como ya hemos detallado con anterioridad, durante la campaña de 2018 se dejó a la vista parte del pavimento **UE 583** en el A30, así como la media caña hidráulica que se adosaba al muro **UE 571**. Resultaba evidente, por tanto, que localizaríamos un nuevo espacio al norte de dicha estancia. Durante nuestra descripción del proceso de excavación del A30 hemos detallado que la **UE 665** cubría al muro **UE 571**, extendiéndose más allá del mismo en dirección norte y generando un posible nivel de frecuentación en la zona oriental del sector.

Bajo la **UE 665**, tras sacar a la luz el trazado del muro **UE 571** quedaba definido un nuevo espacio que denominamos A38. Su superficie quedaba condicionada por el perfil oriental del yacimiento, creándose un espacio de forma triangular, delimitado al norte por el muro **UE 571** y al oeste por el muro **358**, paramento oriental del A29. Aunque por el momento nos resulta imposible determinar la forma y tamaño real de este nuevo A decidimos llevar a cabo la excavación del espacio descrito con el fin de determinar su relación con las termas.

De este modo, bajo la **UE 665** localizamos un nuevo nivel, **UE 669**, un estrato de tierra marrón oscuro, donde se observaba la presencia de carbones y alguna piedra de mediano y pequeño tamaño. Resulta especialmente reseñable la existencia de fragmentos de adobe. Fue precisamente este hecho lo que nos llevó a pensar que podríamos estar ante la amortización de un nivel de uso. Tras el análisis de los materiales cerámicos recuperados hemos podido comprobar que no hay presencia de objetos de época tardoantigua. A falta de un estudio exhaustivo, estos materiales nos podrían situar en los niveles correspondiente al abandono de este A termal. Adquiriría aún más sentido si lo ponemos en relación con el nivel superior, **UE 665**, que fue interpretado como un posible nivel de frecuentación tras el abandono de las termas.

A continuación, procedimos a excavar la **UE 669**, revelando una nueva situación estratigráfica. En la zona más cercana a la cara norte del muro **UE 571** apareció un nuevo estrato, **UE 683**, que apoyaba y cubría parcialmente la cara septentrional de muro. Este estrato, compuesto por una tierra marrón claro, blanquecina, muy compacta y de aspecto arcillosa, presentaba una forma curva en su extremo norte.

Desafortunadamente, las dimensiones del corte no facilitaron delimitar completamente el estrato. Sí permitieron al menos comprobar cómo apoyaba claramente en la cara oriental del A29, describiendo desde aquí un arco que se acaba introduciendo hacia el perfil este de la excavación. Cubriendo parcialmente la parte oriental del estrato descrito y ocupando todo el espacio septentrional del A apareció otro estrato, **UE 684**, de color marrón algo más oscuro, con presencia de piedra de pequeño tamaño y de carbón en su superficie. La relación estratigráfica entre ambas capas nos llevó a determinar que la última debía ser un nivel de amortización o relleno.



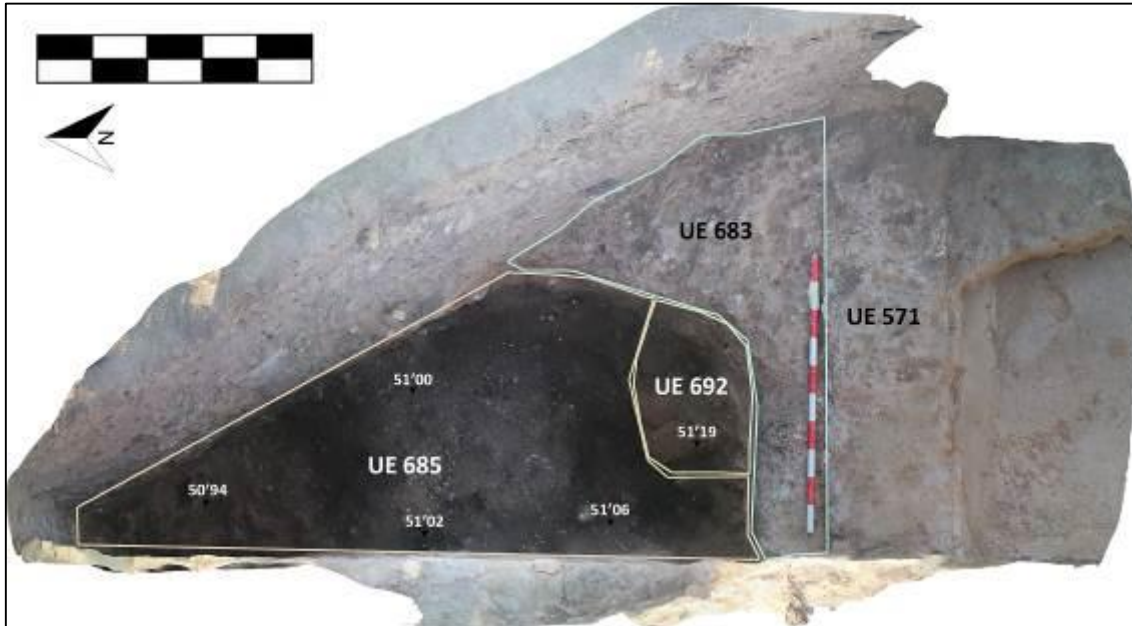
*Fig. 192. Ortoimagen-planta de estrato con presencia de UE 683 y UE 684*

Bajo la misma encontramos otro paquete, **UE 685**, un estrato de tierra gris, de aspecto ceniciento, con carbones y abundante material constructivo que se extiende por toda la superficie excavada al norte de **UE 683**. Dado que comparte fragmentos de materiales arqueológicos pertenecientes a las mismas piezas con las capas que se le superponen - **UUEE 669 y 684**- cabe pensar que, aunque se realizó una distinción estratigráfica en función de su morfología, los tres estratos se conformaron en un mismo momento.

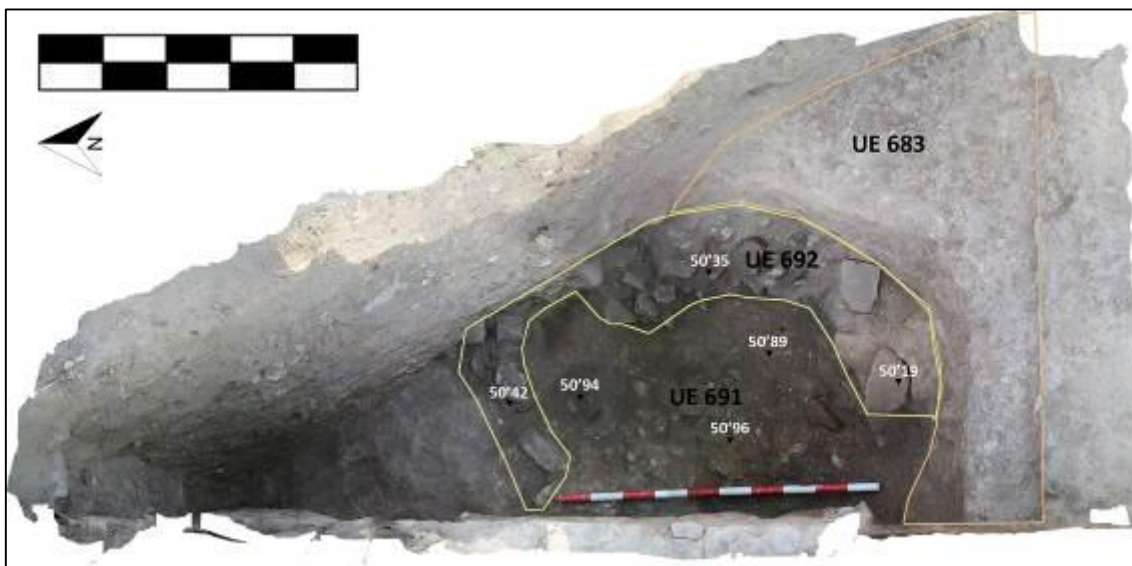
La excavación de esta unidad dio lugar a la aparición de dos estratos más:

- **UE 691**, estrato de tierra compacta, de tonalidad anaranjada, aunque con manchas de adobes disgregados, carbones, cenizas y cal debido al contacto con el nivel que lo cubre, **UE 685**.

- **UE 692**, estrato compuesto por tierra marrón anaranjado, de aspecto arcilloso, ceniza, piedras de mediano tamaño y abundante material constructivo, concentrándose en la cara norte de la **UE 683**.



*Fig. 193. Vista de la UE 685, y cota superior de la UE 692, que fue extendiéndose conforme se excavó la UE 685*



*Fig. 194. Forma completa de la UE 692*

La superposición de los estratos descritos constituye un relleno del espacio comprendido entre la cara norte de la **UE 683**, la cara este del muro **UE 358** del A29 y el perfil oriental del corte. La existencia de este espacio nos lleva a pensar que muy

probablemente nos encontremos en una zona donde se han llevado a cabo actividades que implican una combustión continuada: además de la presencia de residuos de carbón y ceniza, la **UE 692** da muestras de rubefacción en esa zona como consecuencia de haber soportado altas temperaturas.

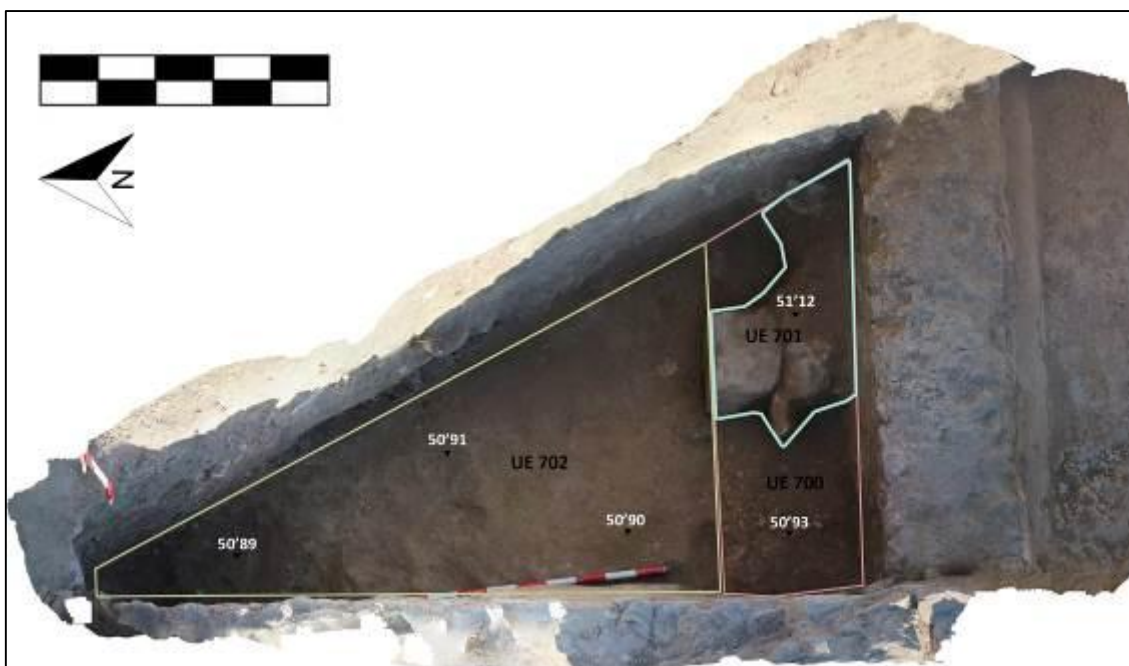
En coincidencia con la ubicación de estos niveles, en la cara oeste del muro **UE 358** del A29 se localizó una posible abertura, cegada con posterioridad. Fue interpretada como una entrada de calor asociada a una de las fases de funcionamiento del hipocausto del A29. Este hallazgo viene a reforzar la propuesta de la zona de combustión.



*Fig. 195. Ortoimagen-planta de estrato de la interfaz UE 694, que hemos identificado con restos de un posible horno que alimentaría el A ubicado al oeste*

A continuación, procedimos a excavar la **UE 683** que, aunque en su cota superior ofrecía un aspecto blanquecino, a lo largo de la interfaz de contacto -**UE 694**- con la **UE 685** adquiría un aspecto más oscuro. Su remoción expuso una nueva situación estratigráfica. La **UE 683**, en su extremo sur, cubría tanto a la cara norte del muro **UE 571** como a una nueva estructura. Nos referimos a **UE 700**, un paramento de 40 cm de anchura realizado con mampuestos y mortero de cal que se adosada a la cara septentrional del muro sur del A. Además, su cara superior aparece totalmente plana, a modo de banco o escalón. Desde la cara norte de esta nueva estructura hacia la parte septentrional del corte se

extendía un nuevo estrato, **UE 702**, de tierra marrón anaranjado, con alguna piedra o canto rodado de pequeño tamaño y no muy compacta.



*Fig. 196. UE 700 (banco) junto al nivel de amortización, UE 702, existente entre el posible horno y el pavimento bajo esta unidad*

Bajo este nuevo estrato, que cubría todo el espacio del A38 desde la cara norte de la estructura **UE 700**, localizamos varios estratos que ocupaban toda la superficie visible una cota superior coincidente, creando así una superficie horizontal:

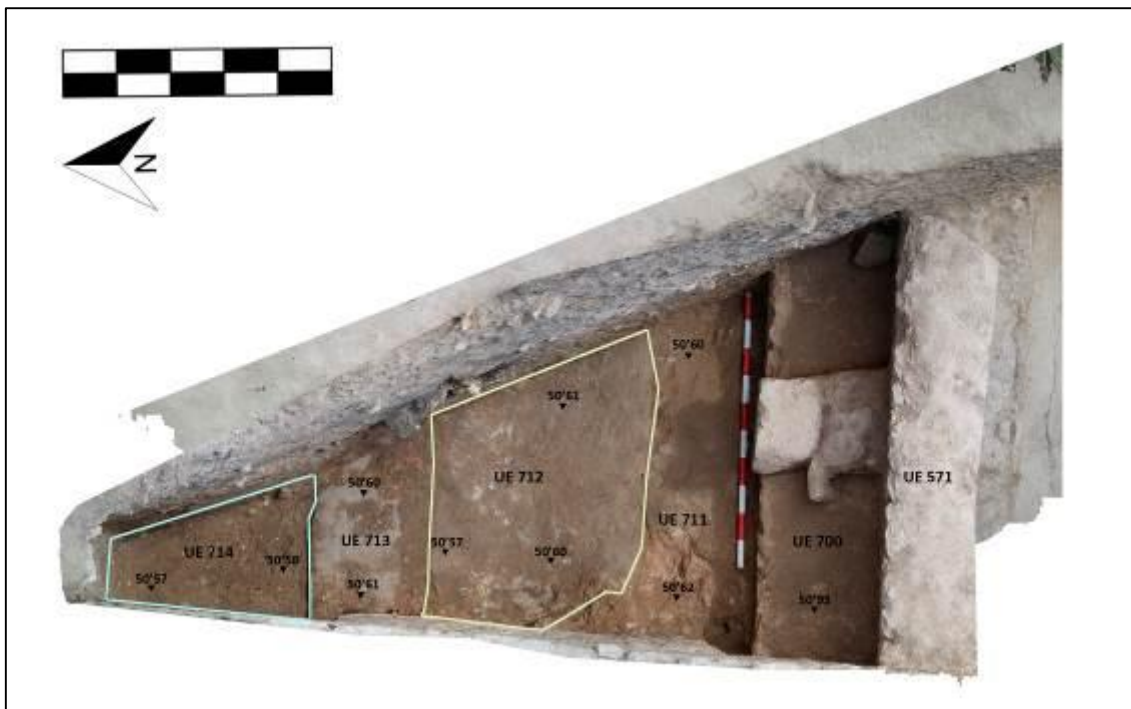
- **UE 711**, ubicada en el extremo sur del A, realizado con mortero de cal y cerámica triturada confiriéndole a la superficie un color marrón anaranjado. De consistencia sólida y presentando una superficie horizontal.
- **UE 712**, situada inmediatamente al norte de la **UE 711**. Compuesto por mortero de cal y, aunque también se apreciaba cerámica triturada, su superficie ofrecía un color más blanquecino. Su consistencia era muy compacta y ofrecía un nivel horizontal a la misma cota que el estrato anterior.
- **UE 713**, losa de piedra de tendencia rectangular con orientación este-oeste (los lados cortos se orientan hacia estos extremos), quedando envuelta por la **UE 712** y la **UE 714**, presentando una cota superior similar a las unidades estratigráficas anteriormente descritas.

- **UE 714**, estrato de tierra marrón anaranjada y compacta, observándose en su superficie carbones, nódulos de cal y lo que podrían ser fragmentos de adobe. Su cota superior coincide con la de los estratos anteriormente enumerados.

La campaña 2019 concluyó al alcanzar estos niveles, debido en parte a los problemas logísticos que planteaba la remoción de **UE 714**.

Podemos concluir que nos encontramos ante un nivel de uso o pavimento correspondiente a este espacio de las termas, que en el extremo sur se cerraba con el muro **UE 571** y el banco corrido **UE 700**. Contemporáneo al uso de estas estructuras encontramos los niveles de pavimentación **UUEE 711, 712 y 713**.

Quedaría pendiente por resolver si la losa de piedra **UE 713** corresponde al propio nivel de paso del A o estamos en realidad antes un primer peldaño que daría acceso a un nuevo espacio más al norte, colmatado por la **UE 714**.



*Fig. 197. Ortoimagen con vista general del A38*

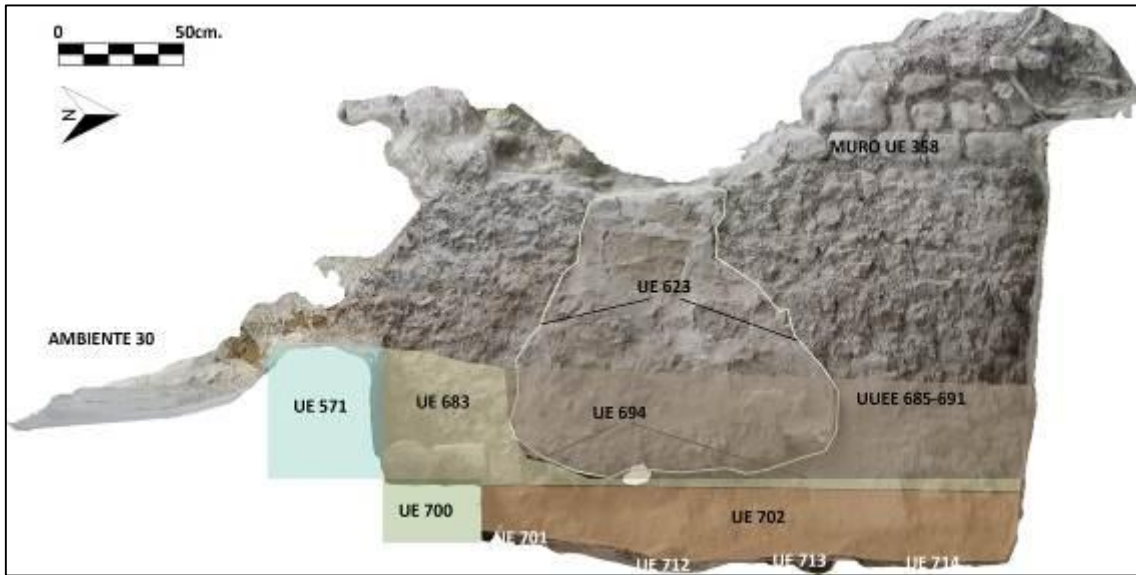


Fig. 198. Sección N-S del A38: la Interfaz UE 694 (correspondiente con el uso del posible horno) coincide con la cota inferior de la interfaz UE 623, correspondiente al cegado de la oquedad que comunicaría el A38 con el A29

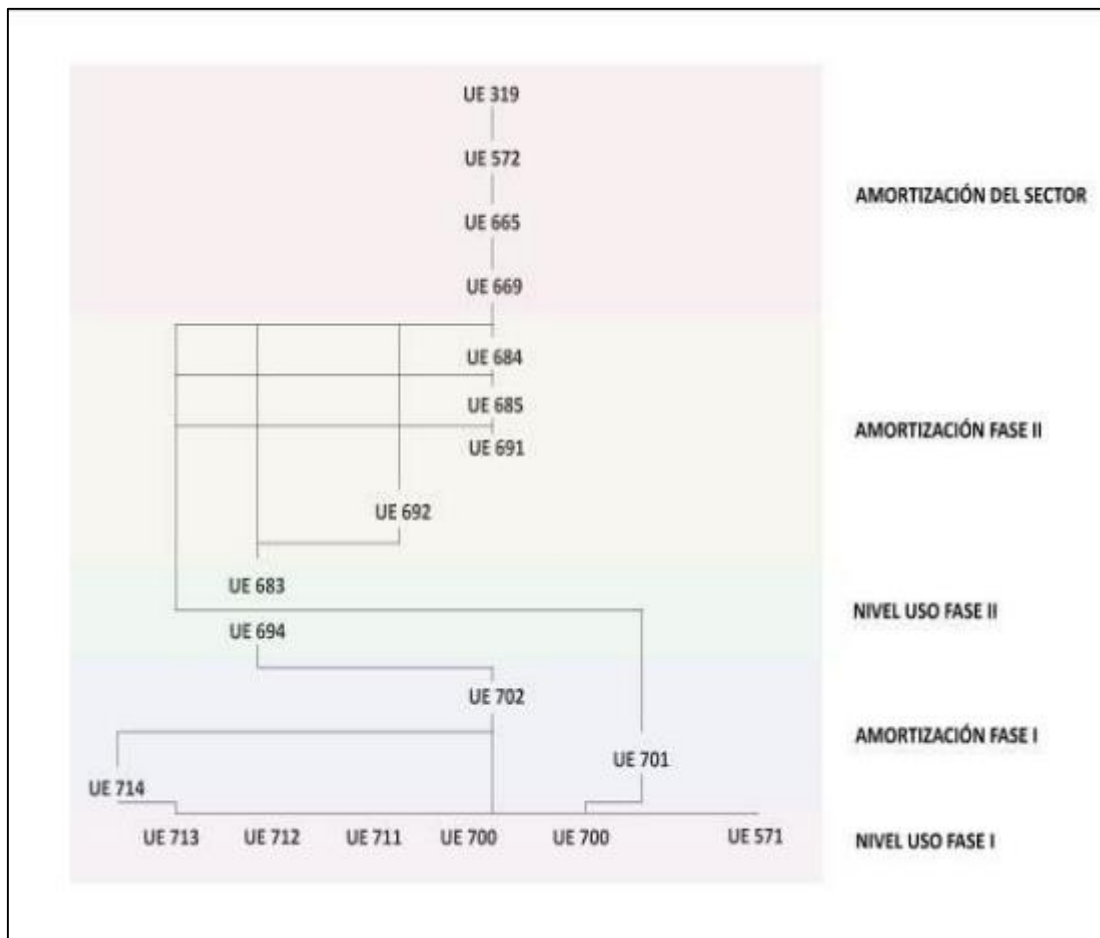
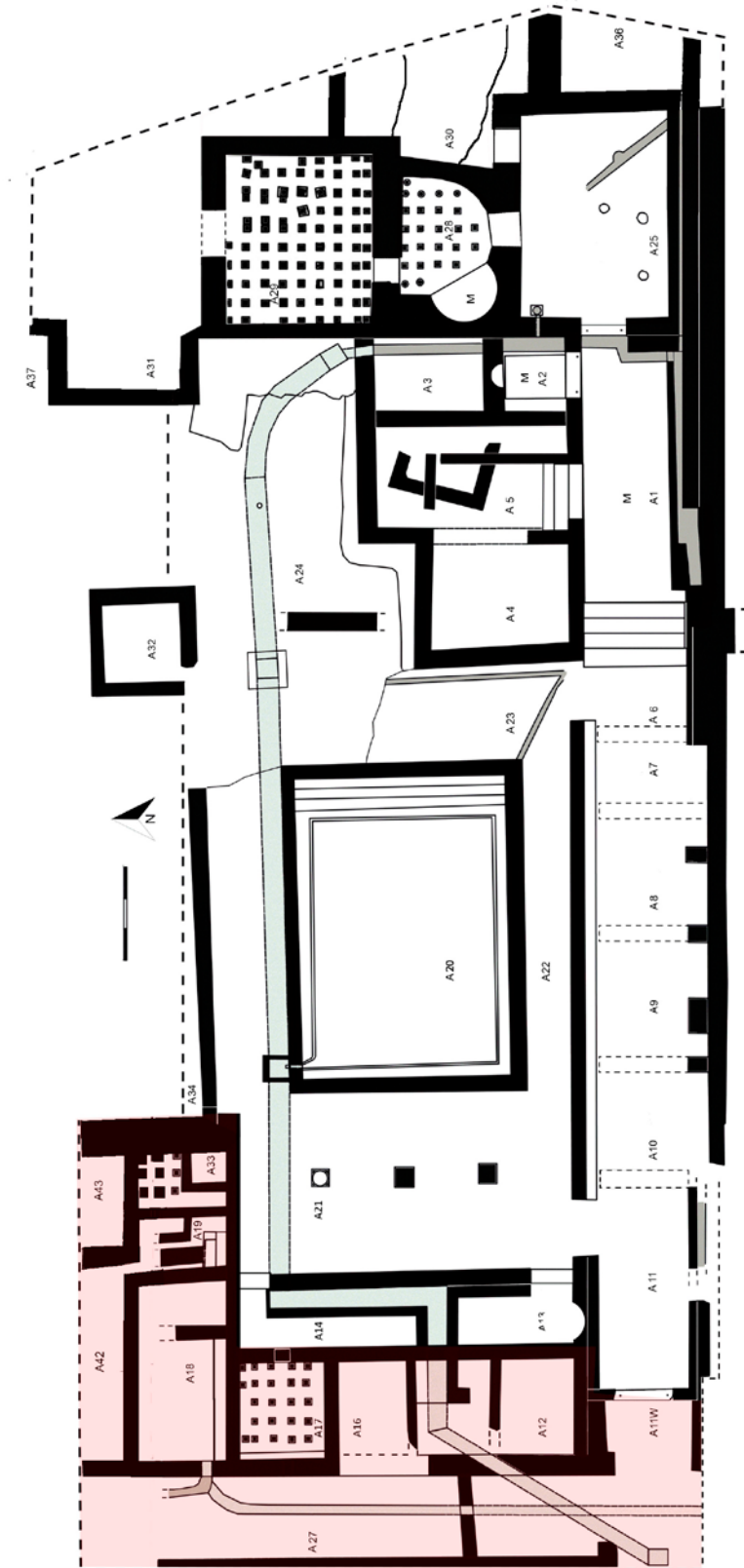


Fig. 199. Diagrama estratigráfico del A38

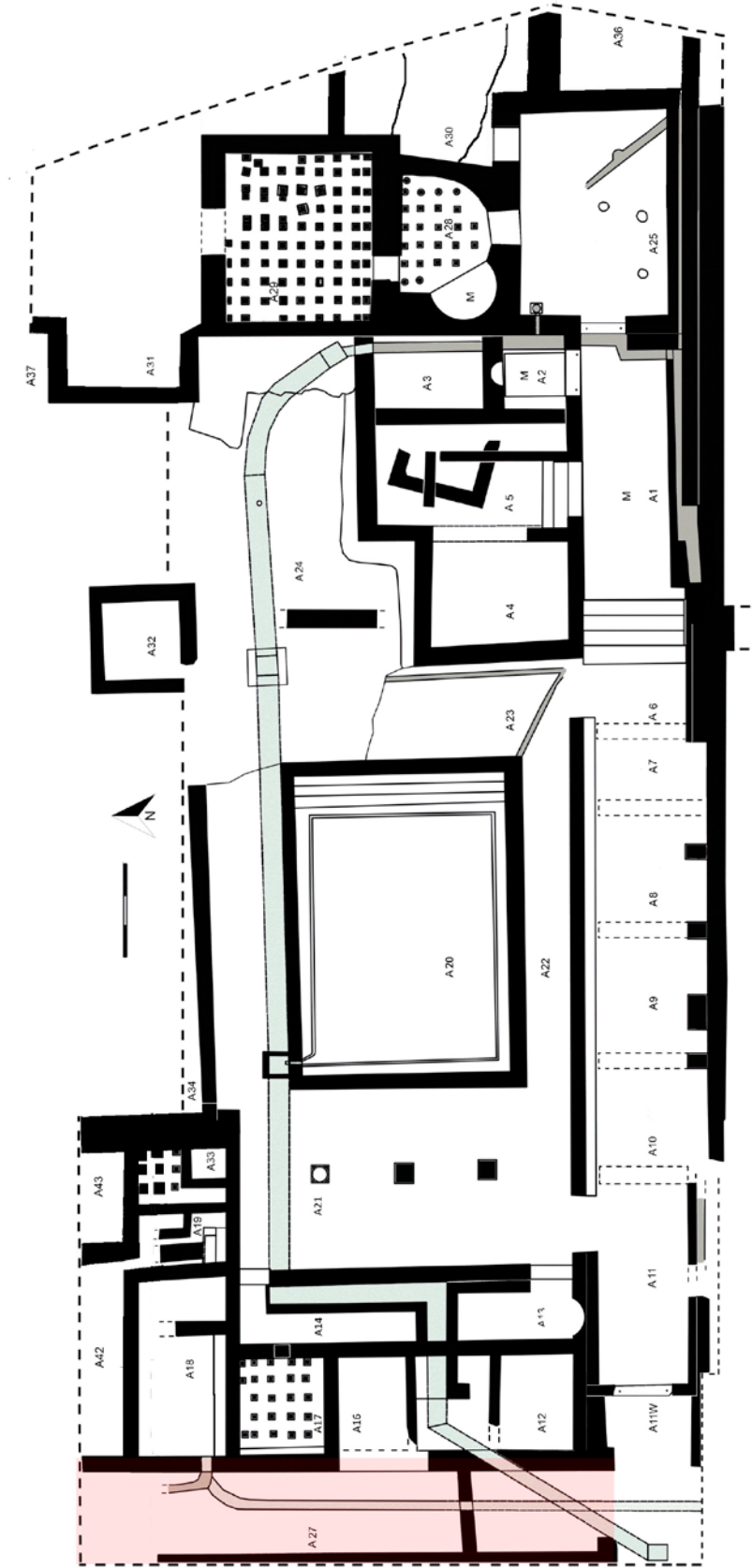
## 15. SECTOR OCCIDENTAL: ENTRADA, LETRINAS Y SEGUNDO CONJUNTO TERMAL



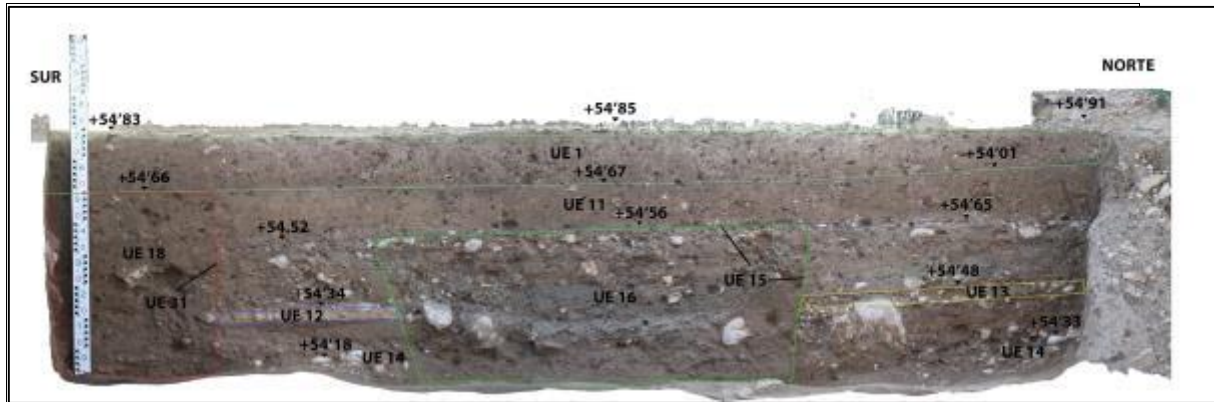
En la zona occidental de las termas orientales de La Alcudia, Sector 7F, anteriormente conocido como Sector del Alcantarillado, se plantea una excavación con un doble objetivo, por un lado, conocer los límites del edificio en este extremo y por otro lado registrar la estratigrafía del sector en una zona donde previamente no se había excavado.

En primer lugar, se procedió a una limpieza del sector así como a reavivar los perfiles en las zonas donde se había excavado con anterioridad, algo que ayudó enormemente en la documentación y posterior conocimiento de las distintas fases.

16. AMBIENTE 27W



Dentro de la intervención en la zona oeste del Sector 7F, el primer corte se llevó a cabo en el A27W, realizando una limpieza del perfil occidental, lo que nos permitió visualizar al menos tres niveles horizontales (UE 11, UE 12 y UE 14) que a priori identificamos con niveles de paso. También se podía ver claramente en el perfil como la UE 12 estaba rota por una gran fosa (UE 15) rellena a su vez por una bolsada de tierra cenicienta que claramente correspondía a un vertido (UE 16).



*Fig. 200. Perfil W del corte A27W previo a la excavación*

Siguiendo la secuencia estratigráfica identificada en el perfil comentado, procedemos a una descripción pormenorizada de cada uno de los estratos, a falta de una excavación de los mismos. Nos encontramos en primer lugar con la UE 1 (54,91/54,83), compuesta por tierra marrón oscura, sin apenas piedras y con algún canto rodado, muy apelmazada, sin olvidar que toda esta superficie ha sido la zona de tránsito desde el 2011 para visitar el conjunto termal. Bajo la UE 1 se puede observar claramente la UE 11, un estrato que describe un plano horizontal (54,66/54,61) formado por tierra compacta de color marrón grisáceo y abundantes piedras de pequeño tamaño. Bajo este estrato, que identificamos con un pavimento, la situación estratigráfica se complicaba, apareciendo una gran fosa en la zona central del perfil cuya cota inferior llegaba hasta el último nivel visible en la sección. Dicha fosa (UE 15) estaba rellena por un estrato de tierra color gris, de aspecto ceniciento, y que permitía ver varios niveles, aunque difícilmente diferenciables sin su excavación, de ahí que no nos hayamos aventurado a una división estratigráfica de este relleno (UE 16) (superior 54,56 e inferior 54,13).

Lo que puede observarse con total claridad es el modo en que esta fosa altera todo el registro estratigráfico presenta en el sector, llamando la atención como en ambos

---

extremos del corte aparece un mismo estrato de tierra marrón grisácea, con piedras mediano tamaño, que aun quedando claro que estamos ante el mismo estrato hemos decidido denominar al meridional UE 302 (+54,54/+54,65) y al septentrional UE 303 (+54,65/+54,70), y del mismo modo se procedió con el pavimento que cubre los estratos descritos: UE 12 (+54,34) en la zona sur y UE 13 (+54,48) en la zona norte, que corresponden a estratos de similar morfología y cotas concordantes: un estrato de tierra color amarillento, con un alto contenido de mortero y pequeños cantos rodados. Su horizontalidad nos hace pensar en un nivel de paso realmente compacto, cubriendo a su vez a otros dos estratos, UE 304, al sur, y UE 305, al norte, formados por tierra marrón, tendente al naranja, con piedras de mediano tamaño. Finalmente, estos dos estratos, similares pero afectados por la fosa UE 15, cubren otro nivel, también de tendencia horizontal cuya composición nos ha resultado complicado describir puesto que se encuentra parcialmente excavada. El estrato, UE 14 (+54,18/+54,33), parece estar también partido por la fosa UE 15, aunque debido a su cota no pudimos verificar esto con total claridad, de ahí que no hayamos podido dar un número distinto al estrato en su lado sur y en su lado norte.

Esta secuencia identificada en el perfil resultó desde el principio todo un indicio para pensar que nos encontrábamos en todo momento fuera del edificio, pero a pesar de ello se procedió a la apertura del primer corte en la zona. Así, identificamos hasta tres posibles niveles de paso en esta zona, dos de ellos afectados por una fosa, situando esta en un momento anterior a su relleno, UE 16 y a al uso del nivel UE 11, pero posterior al uso de los niveles de pavimentación UE 12-13 y UE 14.

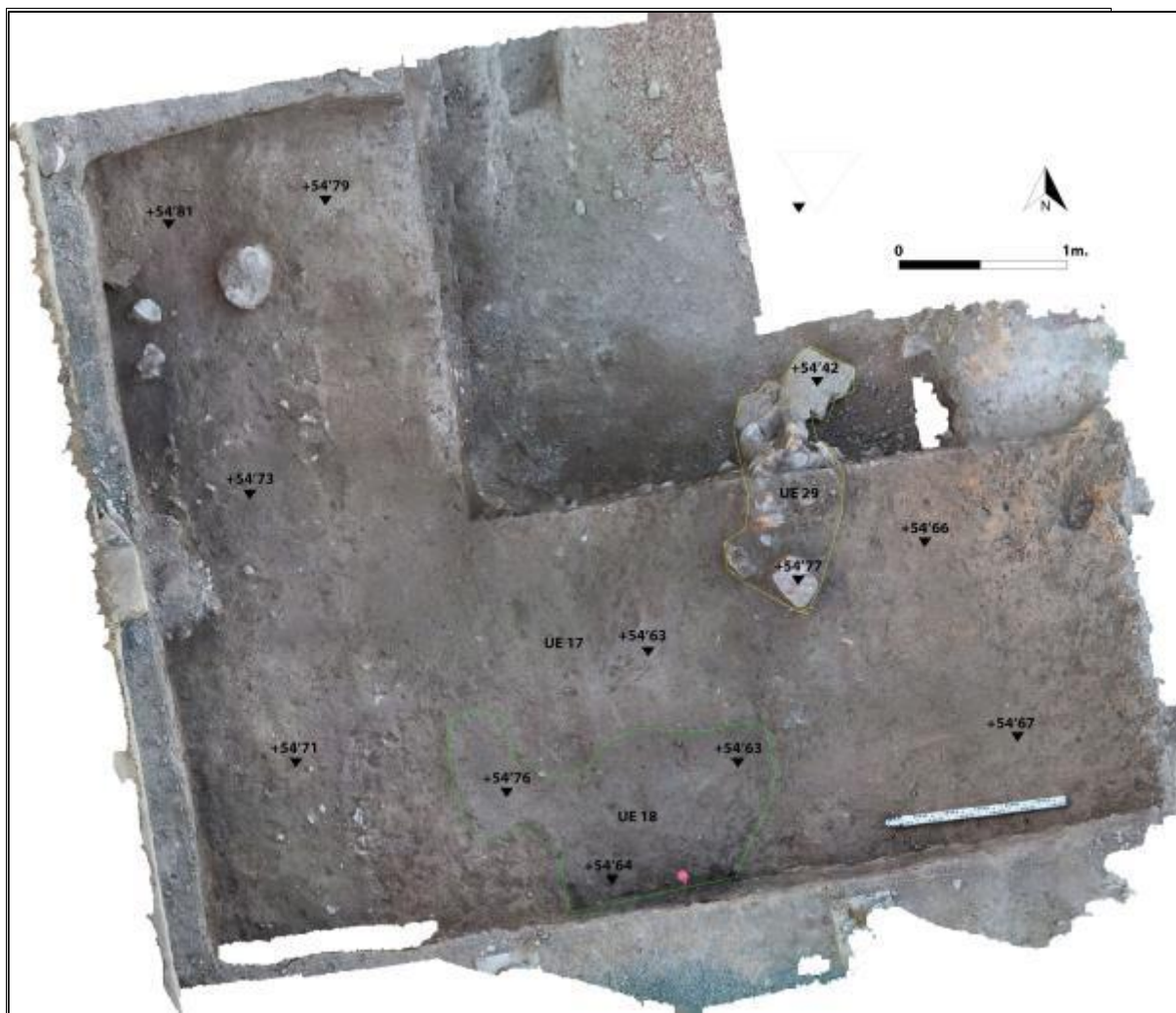
De este modo, nos decidimos a plantear un corte inmediatamente al sur del perfil y el oeste, en forma de L, para conocer con más detalle la estratigrafía descrita.

Tras la excavación de la UE 1 (+54,83/+54,95), un estrato de tierra marrón oscuro, muy compactada, con presencia de gravas azules provenientes del acondicionamiento del entorno, pudimos apreciar la presencia de distintos estratos que a continuación pasamos a describir.



*Fig.201. Vista del corte 27W previo al inicio de la excavación, UE 1*

De forma general se extendía por casi toda la mitad occidental del corte un estrato, UE 17(+54,81/+54,67), de tierra marrón oscuro, similar en color a la UE 1, aunque menos compacta y con alguna piedra de mediano tamaño. Este cubría casi parcialmente una incipiente mancha de tierra marrón oscuro, tendente al gris, y ostensiblemente más suelta, que se concentraba en la zona central del corte, UE 18 (+54,63/+54,76), quedando delimitada en su zona este por una dispersión de piedras de mediano y pequeño tamaño que parecían mantener una alineación norte-sur. De hecho, conforme avanzó la excavación de la zona pudimos ver que en efecto este estrato corresponde a la zona superior del muro UE 29 (+54,77/+54,42), que delimita el A27 en su extremo oeste. Hay que añadir también, como la UE 17 cubría parcialmente la zona oeste del corte, dejando ver conforme avanzó la excavación un muro con orientación este-oeste, apoyándose en su extremo occidental en otro orientado en dirección norte-sur a lo largo de todo el corte.



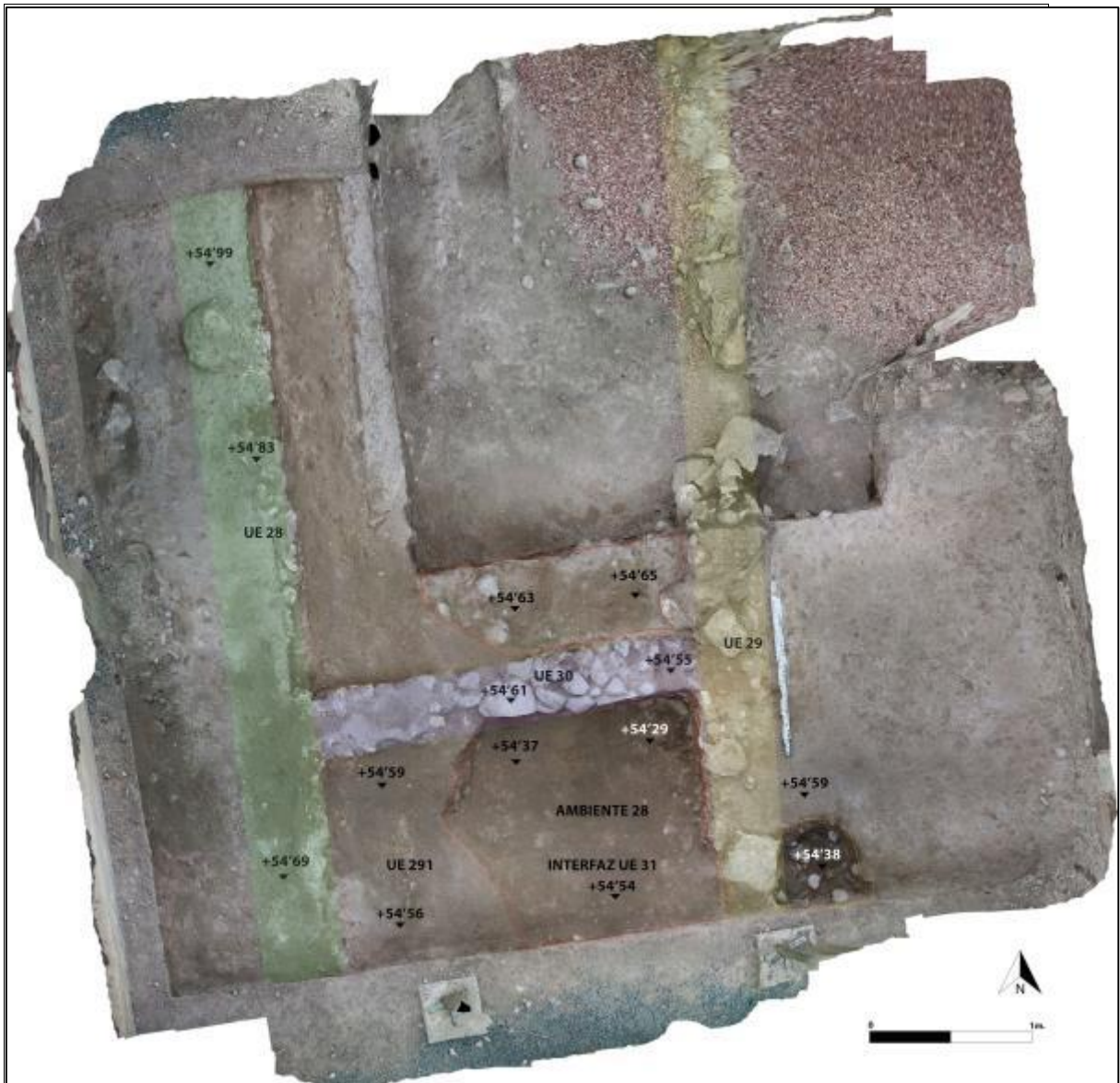
*Fig.202. UE 17 en el A27W*

Una vez finalizada la excavación de la UE 17 la situación quedó del siguiente: la aparición de un muro, UE 30 (+54,75/+54,65) compuesto por pequeños mampuestos trabados entre sí con barro, usando dentro de su obra incluso fragmentos de enlucido pintado muy probablemente provenientes del entorno más cercano, con una orientación este-oeste. Este muro parece apoyarse en la cara oriental del muro UE 28 y en la cara occidental del muro UE 29, con los que hace esquina en ambos extremos. También bajo la UE 17, y apoyándose en toda la cara meridional del muro UE 28, rellenando así el espacio creado entre los muros UE 28, UE 30 y UE 29 (A28), apareció un estrato de tierra marrón pardo, no muy compacta, con abundante material cerámico y de descomposición orgánica que denominamos UE 48. Bajo esta unidad estratigráfica, de apenas 30 cm. de espesor, pudimos apreciar una gran mancha de tierra grisácea, UE 18, que adquiere una tendencia ovalada-circular, hasta ver claramente como el muro UE 30



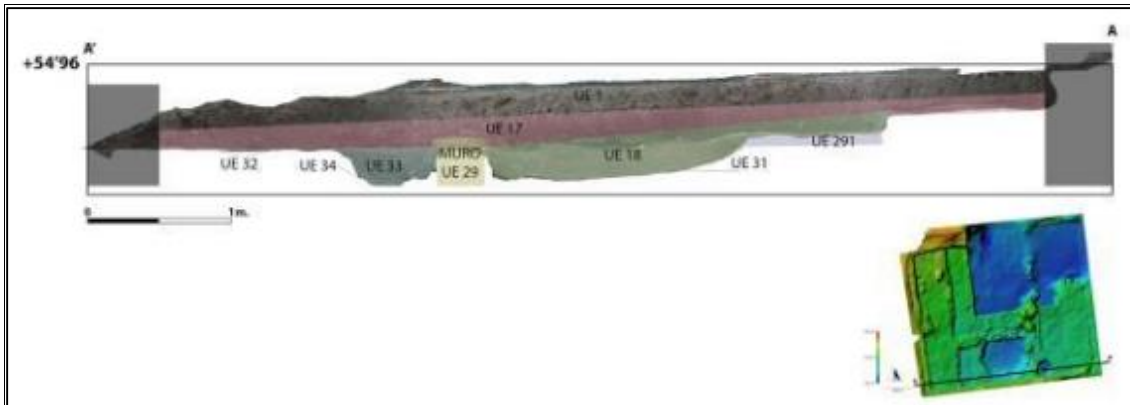
piedra de pequeño tamaño. El extremo sur de la fosa queda por definir puesto que se adentra en el perfil meridional del corte.

Excavada la UE 18 pudimos ver como la fosa UE 31 rompía también parcialmente un estrato compuesto por tierra marrón anaranjado, de tendencia horizontal y con un apreciable alto número de cantos rodados en su superficie, lo que le confiere cierta consistencia al nivel, que identificamos con un nivel de uso o pavimento. Este nuevo estrato, UE 291(+54,56+54,59), aparece recortado en su extremo este por la fosa UE 31, aunque parece extenderse tanto en dirección norte como dirección sur.

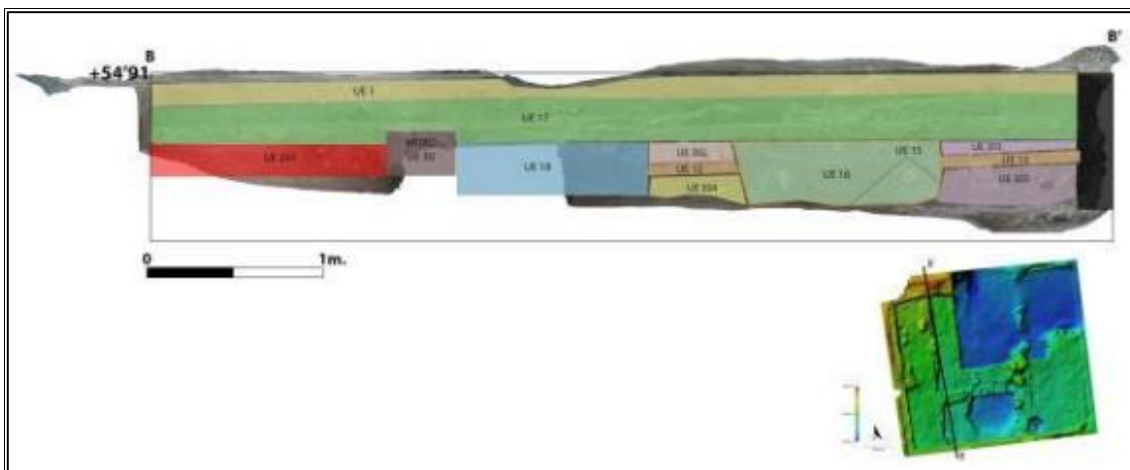


*Fig. 204. Fosa UE 31 y A28*

De este modo, la situación en el corte 27W quedó del siguiente modo: el espacio comprendido entre el A27, al este, y el muro UE 28, que inicialmente interpretamos como una posible zona viaria que daría acceso al conjunto termal, quedaba interrumpido en su última fase de ocupación por el muro UE 30, dividiendo la posible calle en dos espacios. A su vez, de forma previa a la construcción del muro UE 30, la zona fue alterada mediante la realización de una gran fosa, UE 31, cuyas dimensiones y forma no hemos podido definir en su totalidad, cortando así al menos un nivel de paso, que en efecto podría corresponder al espacio viario comentado inicialmente. Por otro lado, este pavimento, UE 291, afectado por la fosa UE 31, probablemente sea el último de los niveles de paso correspondiente a la calle, puesto que en el perfil oriental del corte pudimos identificar hasta dos niveles de paso previos al documentado en la excavación.



*Fig. 205. Sección E-W del A27W*



*Fig. 206. Sección N-S del A27W*

En cualquier caso, planteamos para una futura intervención excavar la totalidad del corte para así acabar de documentar los distintos niveles de paso registrados en el perfil y visualizar la extensión total de la fosa UE 31.

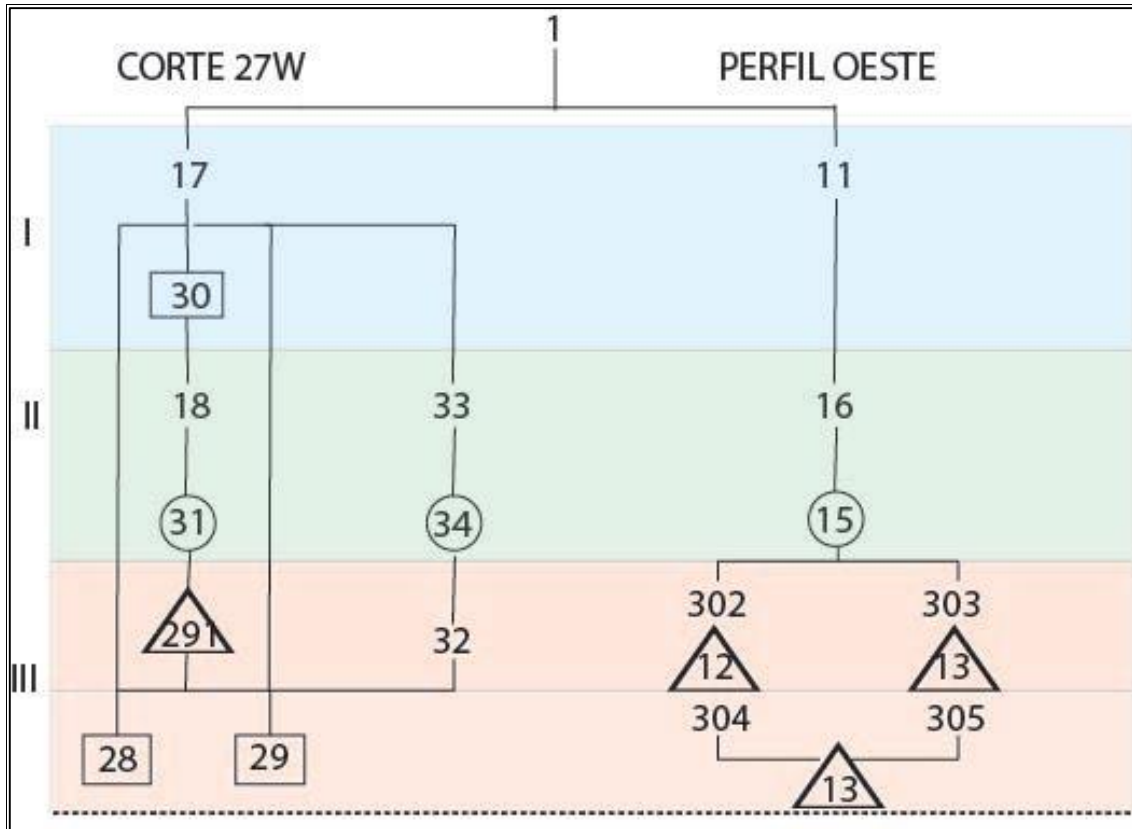
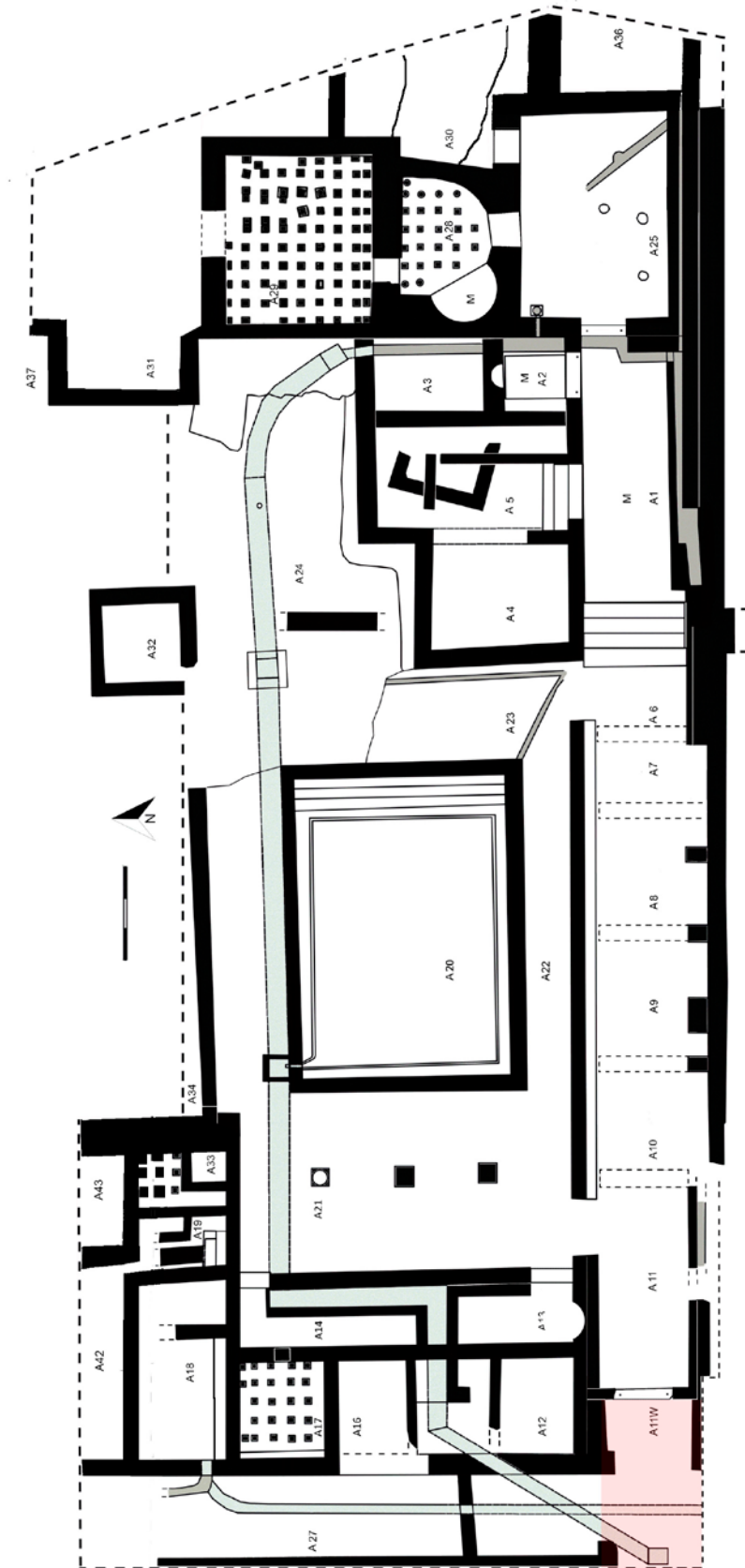


Fig. 207. Diagrama estratigráfico del A27W

# 17. AMBIENTES 11 y 11 W



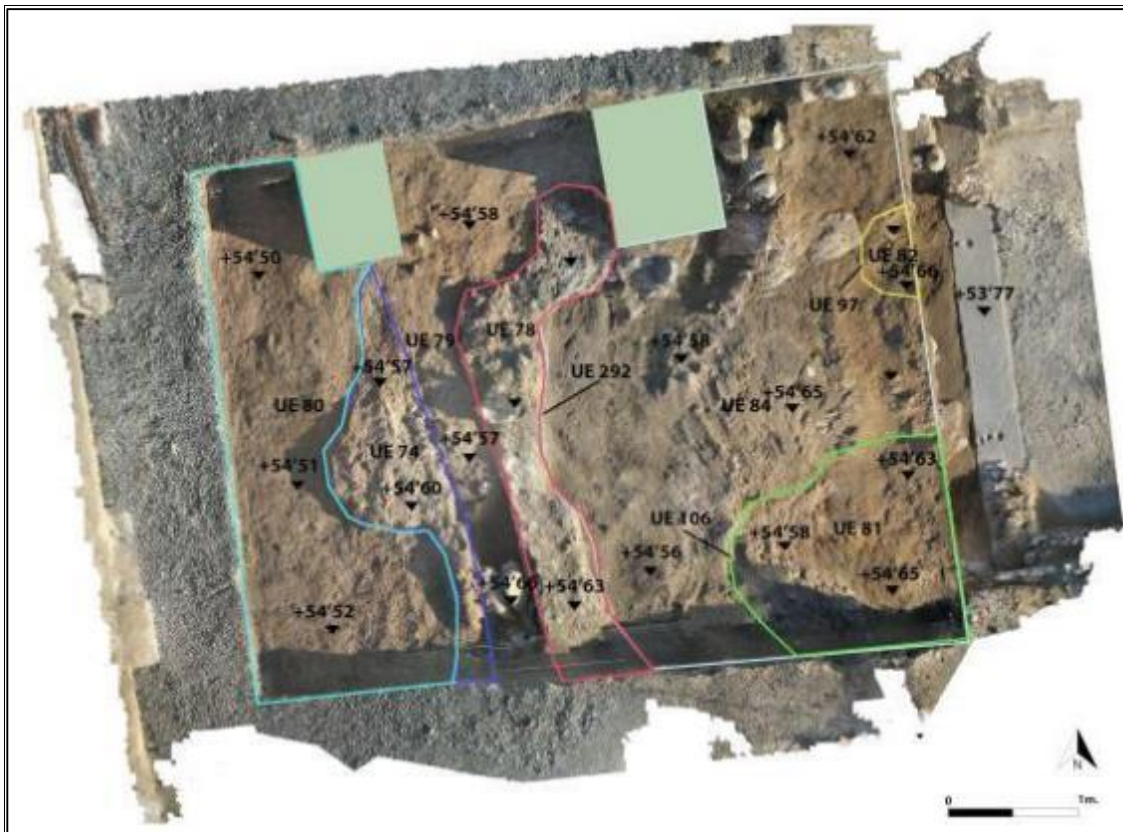
Tras dejar en el estado descrito el corte realizado en el A27W se prosiguió con la limpieza de los perfiles existentes, concretamente en el extremo occidental del A1, el gran pasillo que parece articular el conjunto termal en su zona meridional. Precisamente en la base del perfil, durante su limpieza, apareció una gran losa que identificamos con el umbral que daba acceso al edificio por este extremo, UE 296 (cota superior +53,77) abriéndose así al espacio viario documentado en la excavación del A27W. El umbral tiene una longitud norte-sur de 2,4 m. y una anchura uniforme de 33 cm., observándose en sus extremos una serie de perforaciones que sin duda alguna están relacionados con el anclaje de los goznes de la puerta de acceso. En el extremo sur se pueden observar dos perforaciones circulares, la más grande 7,3 cm. y la segunda al oeste de la primera de 3,4 cm., y a continuación una tercera perforación de forma cuadrangular, de 5,6 cm. por 3,25. En el extremo norte del umbral se pueden ver otras dos perforaciones, la más grande, en eje perpendicular a la más grande del lado sur, con un diámetro de 8,22 cm., en inmediatamente a su oeste otra perforación circular más pequeña, de 3,5 cm.

Hay que destacar también, precisamente sobre los extremos del umbral UE 296, la presencia de sendos muros con orientación norte-sur, estableciendo así el final del A11 en su extremo occidental junto a la gran losa descrita. Ambos tabiques tienen la misma anchura que el umbral, es decir, 33 cm., y están realizados con un mampuesto de pequeñas piedras y abundante mortero de cal. El muro más septentrional, UE 299 (cota superior de +54,01), apoya en su cara este contra el extremo occidental del banco norte del A11, y apoya también en la cara sur del muro que delimita todo el A en su extremo norte, conservándose una longitud total de 91 cm. y una altura máxima de 30 cm. El tabique septentrional, UE 300 (cota superior de +54,05), tiene también una anchura de 30 cm. y una longitud conservada de 57 cm. y en su extremo sur imbrica con el muro meridional del A11.

Barajando la posibilidad de estar ante el acceso al complejo termal por su zona oeste, añadido a la presencia del espacio viario antes comentado planteamos una excavación en esta zona tratando, así confirmar el perímetro del edificio así como obtener un registro estratigráfico de su uso.

Tras la excavación de la UE 1, compuesta de una tierra marrón oscuro, muy apelmazada y compacta por la alta frecuentación de gente en la zona, encontramos un problema que determinará durante toda la excavación la fiabilidad estratigráfica en algunas zonas del corte. La presencia de dos pilones de hormigón que sustentaban una pérgola de madera. Dichos pilones tenían forma de cubo y para su realización se hicieron sendas fosas que modificaron ostensiblemente las unidades estratigráficas más superficiales.

La situación estratigráfica una vez excavada la UE 1 (+55,01/+55,10) presenta dos zonas claramente diferenciadas en el corte, algo que determinará el desarrollo posterior excavación del mismo durante la campaña. La presencia de una gran fosa dividirá claramente el corte en dos partes: la zona oeste, recortada por la fosa, y la zona este, con los distintos rellenos que colapsan la fosa.



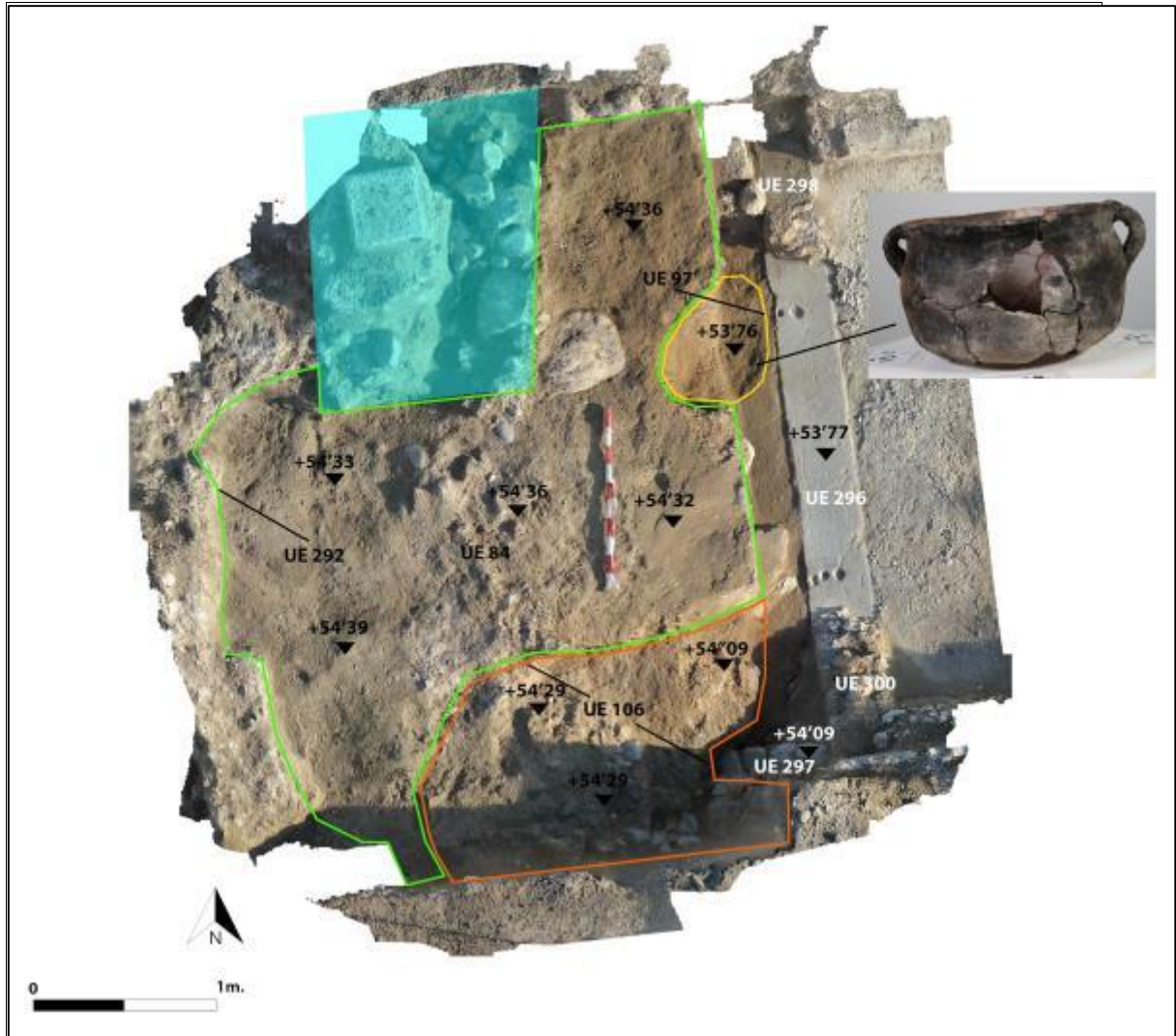
*Fig. 208. Situación del A11W tras la excavación de la UE 1*

De este modo, en primer lugar, procedimos a delimitar la extensión de la fosa, UE 292 (+54,63/+53,80), que recorría en dirección norte-sur todo el corte, no visualizando correctamente su continuación en el extremo septentrional debido a la presencia de la zanja realizada para la construcción de uno de los pilones antes comentados. En

cualquier caso, en la parte oriental del corte, en el interior de la fosa descrita, pudimos diferenciar distintos rellenos, diferenciados claramente entre sí por su composición y naturaleza. De este modo, en la zona central de la fosa pudimos observar como el relleno, UE 84 (+54,58/+54,62), estaba compuesto por una gran cantidad de material constructivo, donde de forma mayoritaria predominaban los fragmentos de pavimentos, *opus caementicium*, y fragmentos de enlucido, de forma mayoritaria pintado en blanco, todo extremadamente disgregado. Este relleno se veía afectado, a su vez, en su lado norte y sur por otras dos fosas con sus correspondientes rellenos, estos muy similares en cuanto a su composición y aspecto. La fosa sur, UE 106 (+54,58/+54,09), de mayor tamaño y tendencia ovalada, se encuentra rellena por tierra color grisácea, UE 81 (+54,58/+54,09), no muy compacta, y con abundante material cerámico. Por otro lado, la otra fosa comentada, UE 97 (+54'66/+53'80), se encuentra al norte, y es de menor tamaño, mientras que su relleno, UE 82, es similar, es decir, compuesto por tierra gris, no muy compacta, y también con abundante material cerámico, entre el que destaca una marmita, aunque fragmentada, parcialmente completa, en su cota inferior. Llama la atención como el relleno de la fosa UE 97 cambiaba en cuanto a su color, pasando del gris claro a un gris mucho más intenso, y tomando una consistencia mucho más cenicienta, de ahí que a esa última parte del relleno le diésemos una nueva unidad estratigráfica, UE 96 (+53,99/+53,80).

En primer lugar, procedimos a la excavación de la UE 81, tal como hemos comentado con anterioridad, un estrato de tierra gris, de aspecto ceniciento, con alguna piedra de pequeño tamaño y abundante material cerámico, junto a una pequeña representación de material latericio. Posteriormente llevamos a cabo la excavación de la UE 82, de una morfología, aspecto y composición similar a la anteriormente descrita, aunque esta con mayor potencia, coincidiendo su cota inferior con la cota superior del umbral descrito al inicio y que pudimos documentar durante la limpieza del perfil este del corte. Cabe destacar durante la excavación de este último relleno la aparición de una olla-marmita de cerámica de cocina tardía, lo cual es un indicio cronológico contundente sobre el marco temporal en el que se produce la amortización de esta fosa. Finalmente, también hay que destacar la aparición de un nuevo muro, UE 297(+54,09), bajo la UE 82 en su extremo sur. Este muro está realizado en mampostería ordinaria, abundando el uso de

cantos rodados en su manufactura y la ausencia de mortero de cal. Puesto que su cara sur se encuentra parcialmente bajo el perfil del corte, la anchura provisional es de 55 cm., y su extremo este apoya en la cara oeste del muro UE 300.



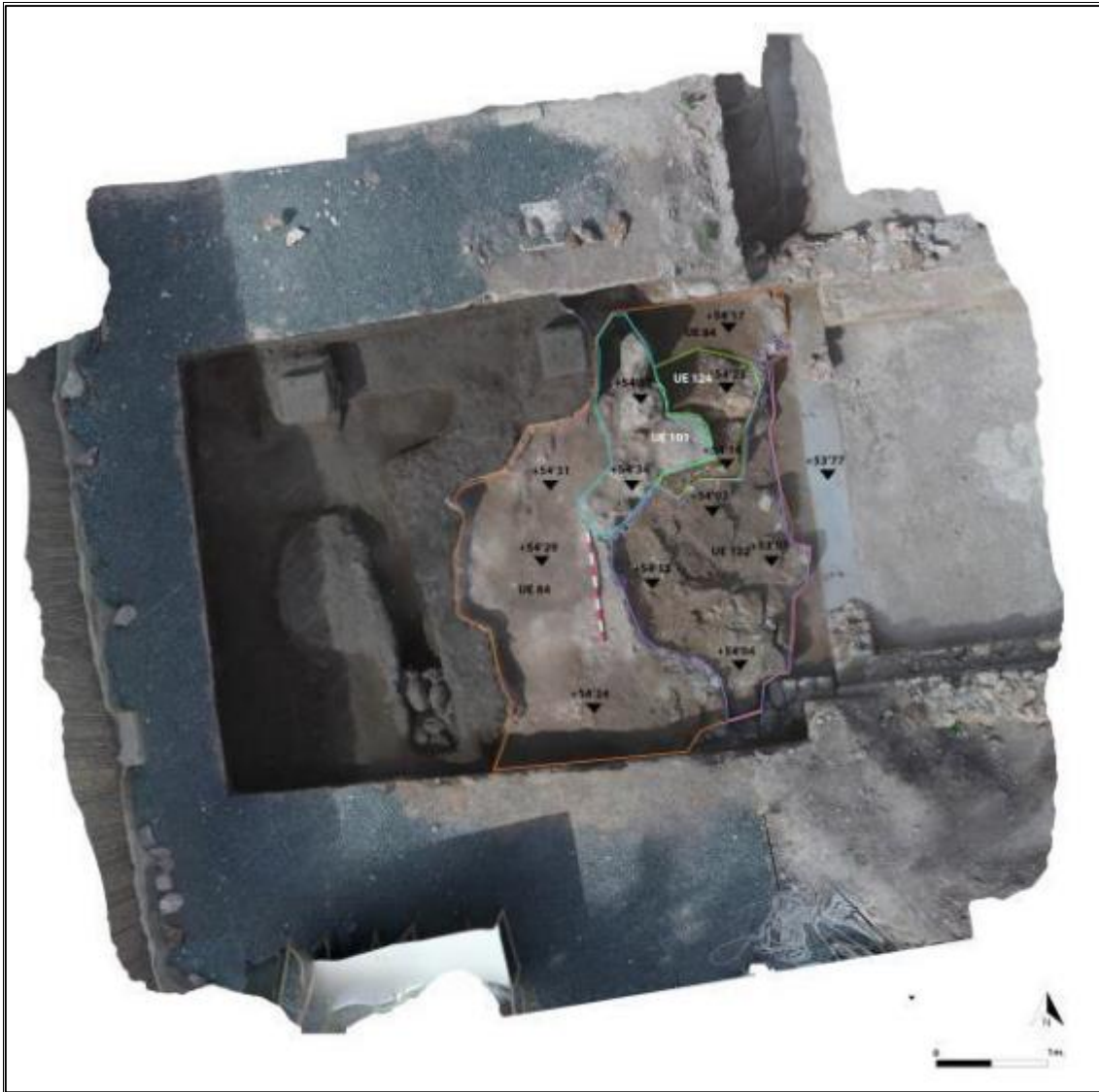
*Fig. 209. Excavación de las fosas UE 106 y UE 97*

Finalizada la excavación de ambas fosas pudimos delimitar la extensión de la UE 84 por todo el lado oriental del corte, formado, tal como habíamos adelantado, por una gran cantidad de material constructivo sumamente disgregado, y una llamativa concentración de enlucidos, UE 124 (+54,23/+54,14), en su gran mayoría blancos, llamando especial atención una placa en la que pudimos observar la presencia de varios grafitis actualmente en estudio. También, en la zona noreste, pudimos individualizar un conjunto de piedras, de mediano y pequeño tamaño, UE 101 (+54,57/+54,34), que inicialmente identificamos como un posible derrumbe procedente de las estructuras

más cercanas. Pero posteriormente, tras la exhumación del estrato, y teniendo en cuenta la composición y naturaleza de la propia UE 84, pensamos que con casi total seguridad la UE 101, junto a la anterior unidad estratigráfica, sean resultado de un mismo vertido dentro de esta gran fosa. Como parte, también de todo este conjunto de estratos que conforman el relleno de la fosa, apreciamos una concentración en la zona central compuesto por una gran cantidad de fragmentos de pavimento, y arena color amarillenta, UE 122 (+54,13/+53,97), observando que tanto sobre esta unidad como bajo ella seguían apareciendo fragmentos de enlucido blanco, UE 124, y de material constructivo muy disgregado, UE 84.



*Fig. 210. Placa de enlucido con varios grafitis en la UE 124*



*Fig. 211. Excavación de las UUEE 124,101, 122 y 84*

En la presente campaña se procedió a la excavación parcial (aparece delimitado este sondeo en amarillo) de la UE 122, centrándonos en la parte central y sur para conocer la estratigráfica completa de la fosa UE 292 y su relación con las estructuras anejas. De este modo, tras la retirada de la UE 122 apreciamos un nuevo estrato donde aún se advertían pequeños fragmentos de pavimento y enlucido, pero con mucha más tierra color marrón pardo, denominándolo UE 182 (+54,20/+53,82). Durante el proceso de excavación de la UE 182 diferenciamos, por la composición y color de la tierra, otro estrato, UE 184, pero que posteriormente hemos podido comprobar que se trata de la misma unidad estratigráfica y por este motivo hemos decidido igualarlas, a pesar de haber inventariado como materiales diferenciados los procedentes de ambas unidades.



Fig. 212. Imagen inicial del sondeo realizado en la UE 122

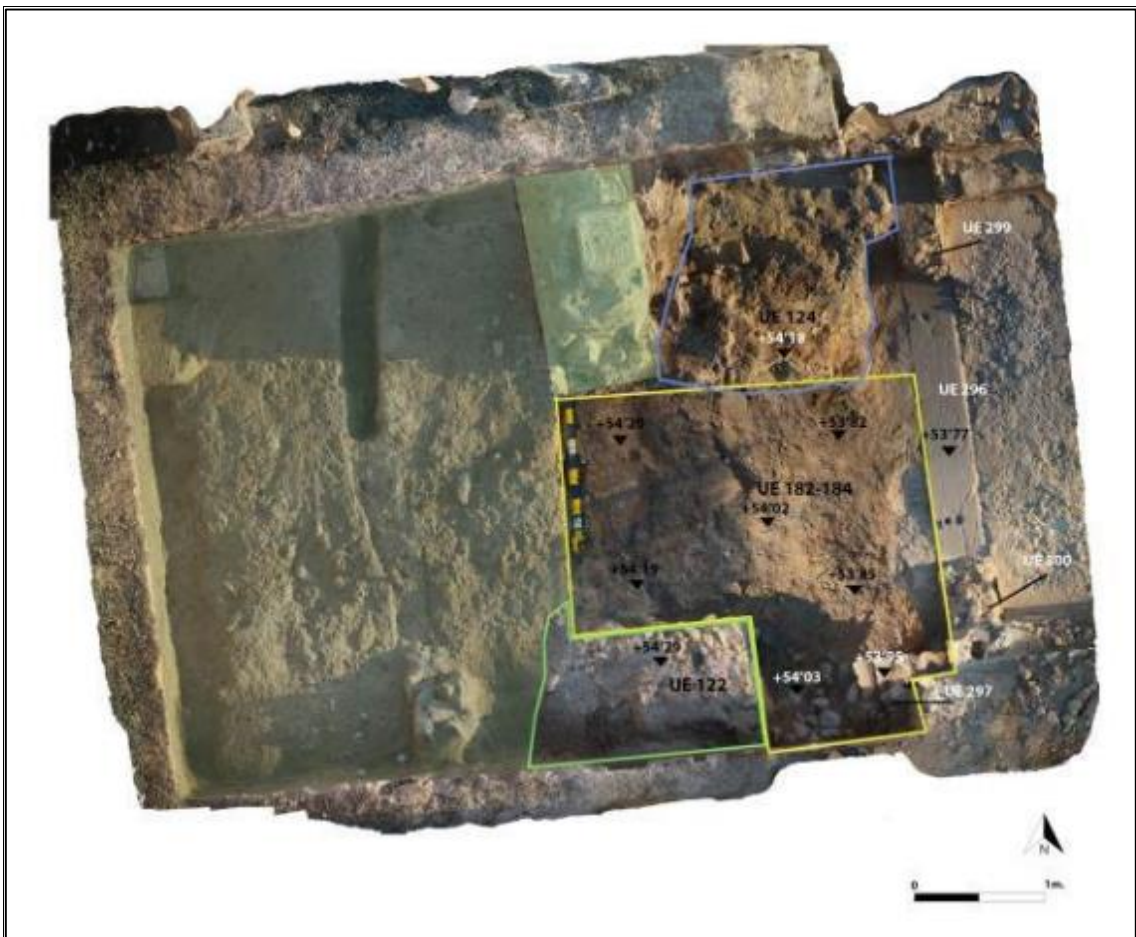
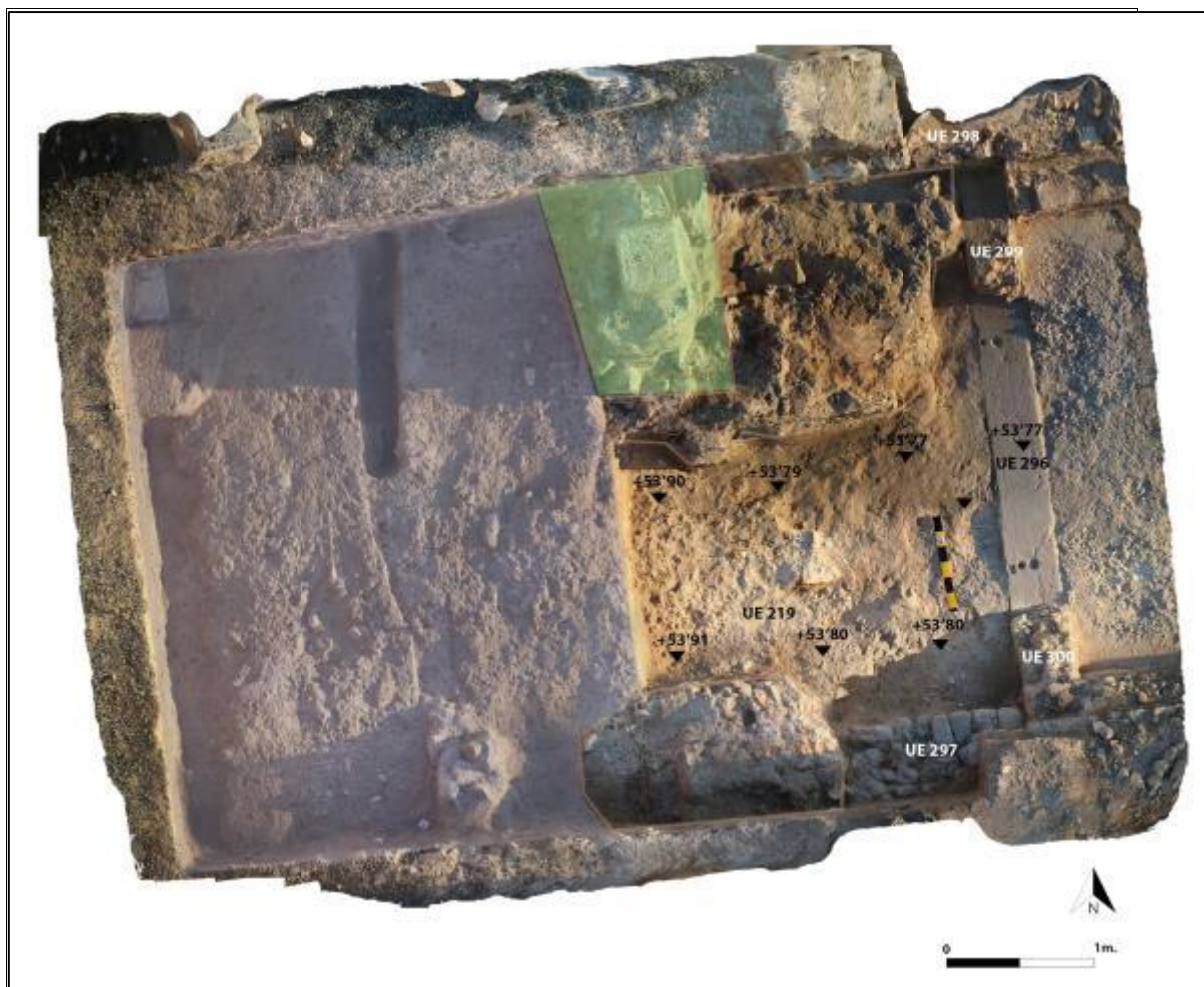


Fig. 213. Delimitación del sondeo realizado en la UE 122

Finalizada la excavación de la UE 182-184, pudimos observar en la zona oriental del corte los estratos que se vieron afectados por la realización de la fosa UE 292, y que posteriormente pondremos en relación con la secuencia estratigráfica de la zona occidental. Por un lado, un estrato, UE 183 (+54,20), de tierra marrón anaranjado, ligeramente compacto y que se pudo documentar en primer lugar en la esquina noroeste de la fosa, extendiéndose parcialmente por la mitad occidental de la misma. En el resto oriental observamos la presencia de un nivel de tendencia horizontal, UE 219 (+53,91/+53,77), con abundantes cantos rodados de pequeño tamaño en su superficie, cubierto a su vez por la UE 183 en su zona oeste. Por su horizontalidad y composición identificamos con un pavimento, que además compartía cota superior con la del gran umbral.



*Fig. 214. UE 182-184*

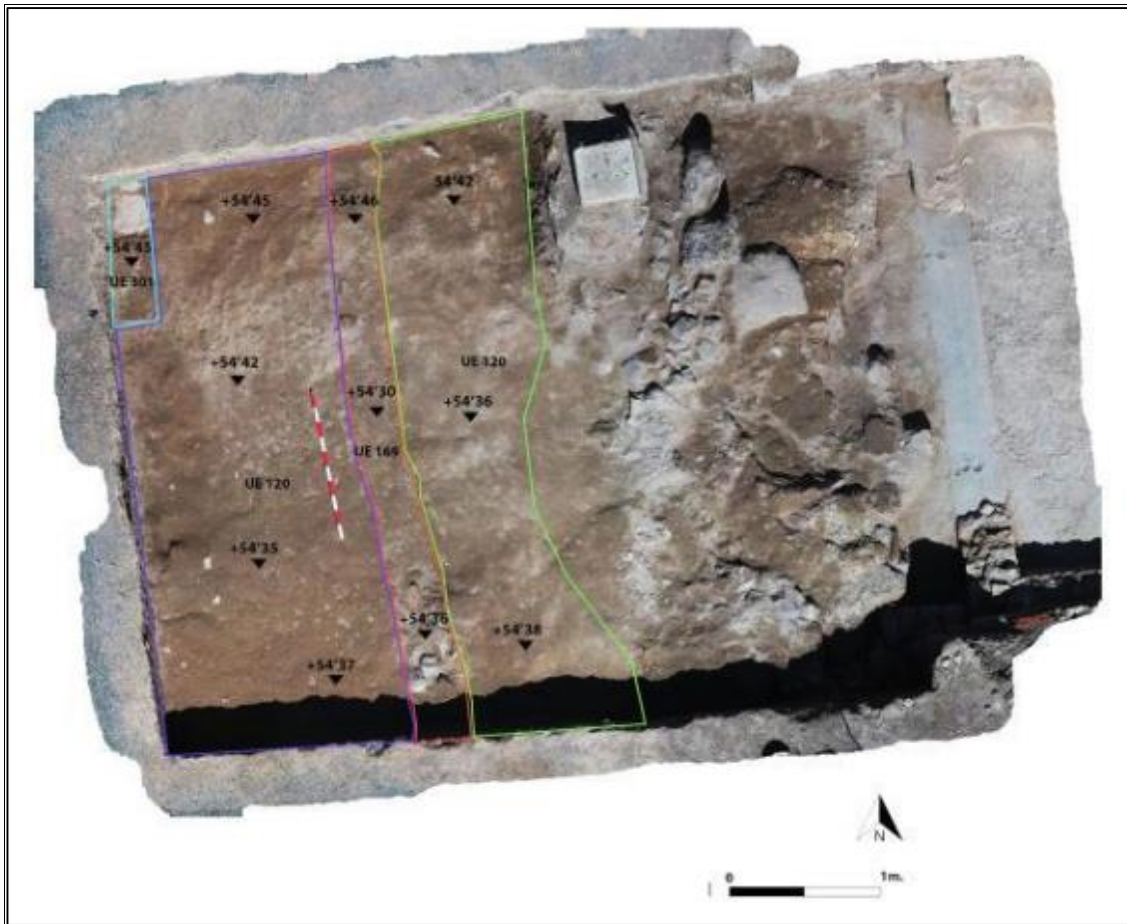


*Fig. 215. UE 219*

Tal como adelantamos, la mitad occidental del corte nos mostraba una relación estratigráfica muy distinta a la documentada en la mitad oriental, puesto que no se encontraba afectada por la gran fosa UE 292 anteriormente descrita. Así, bajo la UE 1, identificamos varios estratos que pasaremos a continuación a describir. Nos llamó poderosamente la atención la aparición de una franja de tierra marrón oscuro, tendente al gris que recorría de norte a sur todo el extremo occidental del corte, con 31 cm. de anchura media. Inmediatamente al este de la franja encontramos un nivel, UE 78 (+54,60/+54,47), de tierra marrón oscuro que en su extremo oriental está recortada por la fosa descrita con anterioridad. Por otro lado, al oeste de la UE 79 encontramos otro nivel, UE 74 (+54,52/+54,39), de similar morfología que la UE 78, pero que no se extiende por el resto del corte en la zona occidental, sino que encontramos otro estrato, UE 80, cubierto parcialmente por la UE 74.

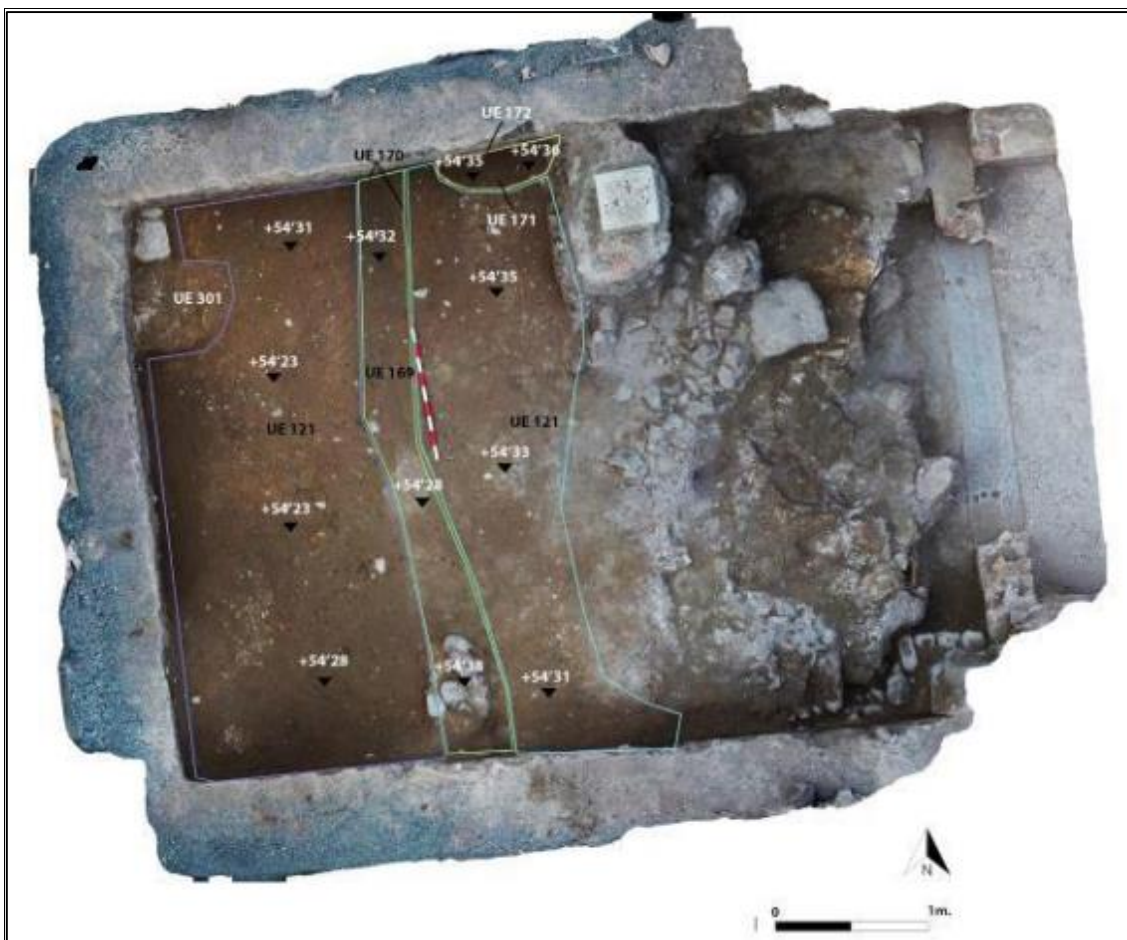
De este modo, en primer lugar, procedimos a la excavación de la UE 79 (+54,47/+54,26), con una potencia que oscila entre los 30 y 40 cm., dejando al descubierto en el extremo sur un cúmulo de piedras encajadas en esta fosa longitudinal, UE 170, y en el fondo un nivel de tierra marrón tendente al gris, que al igual que la UE 79, también se extendía por toda la fosa. Posteriormente excavamos tanto la UE 78 como la UE 74, observando así de una forma clara como la UE 80 se extendía por toda la mitad occidental del corte, perdiéndose parcialmente la fosa-canal UE 179, en su extremo meridional. El estrato no ofrece una superficie horizontal ni mucho menos, y está compuesto por tierra poco compacta, de color marrón oscuro y alguna piedra de mediano y pequeño tamaño. Conforme fuimos excavando el estrato pudimos observar como la zanja volvía a aparecer de nuevo recorriendo todo el corte de norte a sur, y apareció un nivel horizontal al este y al oeste de dicha zanja. Este nuevo nivel, UE 120 (+54,37+54,45), estaba compuesto por tierra marrón claro, muy compactado en su superficie, lo que le confería a dicho nivel una gran dureza, con pequeños fragmentos de cerámica y piedras de pequeño tamaño, lo que venía a incrementar la dureza del estrato. Sin duda alguna, nos encontrábamos ante un nivel de pavimentación que cubría toda la superficie del corte, y a una cota similar que el pavimento UE 291 documentado a escasos dos metros al norte en el corte 27W.





*Fig. 217. Excavación de la UE 120 y UE 169*

Bajo la UE 120 localizamos un nuevo nivel horizontal, UE 121 (+54,28/+54,31), de similar morfología y dureza, también de color marrón oscuro, con pequeñas piedras de pequeño tamaño y algún fragmento de cerámica. Cabe llamar la atención algo que ya apreciamos durante la limpieza del pavimento UE 120, y es que en la esquina noroeste del corte apareció una estructura en forma de muro, UE 301 (+54,45), compuesto por mampuesto ordinario en su extremo norte y por un gran sillar de tono amarillento en su extremo sur. Este sillar adquiere en su esquina sureste un aspecto romo, lo que hace pensar en algún tipo de cantonera o piedra de esquina.



*Fig. 218. Excavación de la UE 121 y UE 169*

Apreciamos durante la limpieza de la UE 121 una pequeña fosa, UE 172, de tendencia circular, en su extremo noreste, relleno por tierra color gris, muy suelta, UE 171 (+54,35), sin poder delimitar la forma total del conjunto puesto que su extremo septentrional se encuentra bajo el perfil norte del corte. También llama la atención en la esquina noroeste del corte la presencia de un gran sillar de tendencia cuadrangular, amarillento, cuya esquina sureste está perfectamente redondeada a modo de esquina roma. En la esquina suroeste del corte pudimos observar como el pavimento UE 121 se encontraba roto, constatándose que a escasos 5 cm. de profundidad aparecía un nuevo nivel, UE 166 (+54,22/+54,30), de tierra marrón claro, de una gran dureza y con pequeños cantos rodados de pequeño tamaño en su superficie. Conociendo, por tanto, la existencia de este nuevo nivel de pavimentación procedimos a la excavación de la UE 121, para constatar definitivamente como este nuevo nivel se extendía también por todo el corte, a excepción de la oriental, afectada siempre por la gran fosa descrita anteriormente.

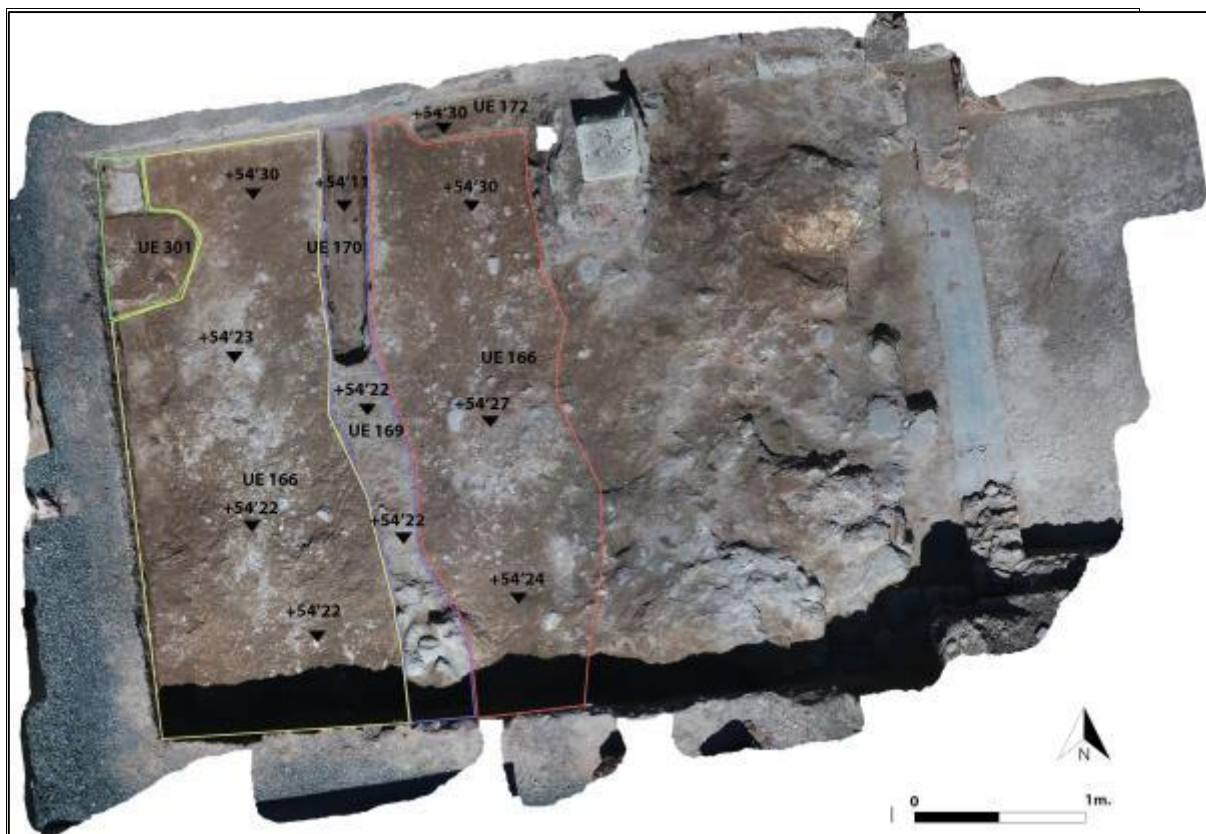


Fig. 219. Nivel de pavimentación UE 166 y canal UE 170

De este modo, la situación del corte queda del siguiente modo:

- en la mitad occidental del corte quedó visible un nivel de pavimentación, UE 166, sumamente compacto recorrido en su parte central por un canal, UE 170, relleno por UE 169, y que dejaba a la vista en la esquina noroeste un sillar perteneciente, con casi toda probabilidad a la cantonera de un edificio a acera. La presencia de esta pieza, junto a la presencia del canal y la morfología del pavimento nos lleva a pensar que estaríamos ante una vía o espacio viario.
- en la mitad oriental, la presencia de una gran fosa, UE 292, que cortaba de forma clara no solo el nivel de paso UE 166, sino todas cualquier otra unidad superior que estuviese en esa zona; cabe llamar la atención que, tras la excavación de los rellenos descritos con anterioridad, observamos cómo la UE 183 podría estar en relación con la preparación de alguno de los niveles de paso documentados en la mitad occidental del corte, muy probablemente con el nivel de paso UE 166. También hay que destacar que la cota del último pavimento documentado en esta zona, UE 219, se encuentra 50 cm. por debajo de la cota superior del

pavimento UE 166, de ahí que por su proximidad es muy poco probable que nos encontremos ante niveles de paso contemporáneos.

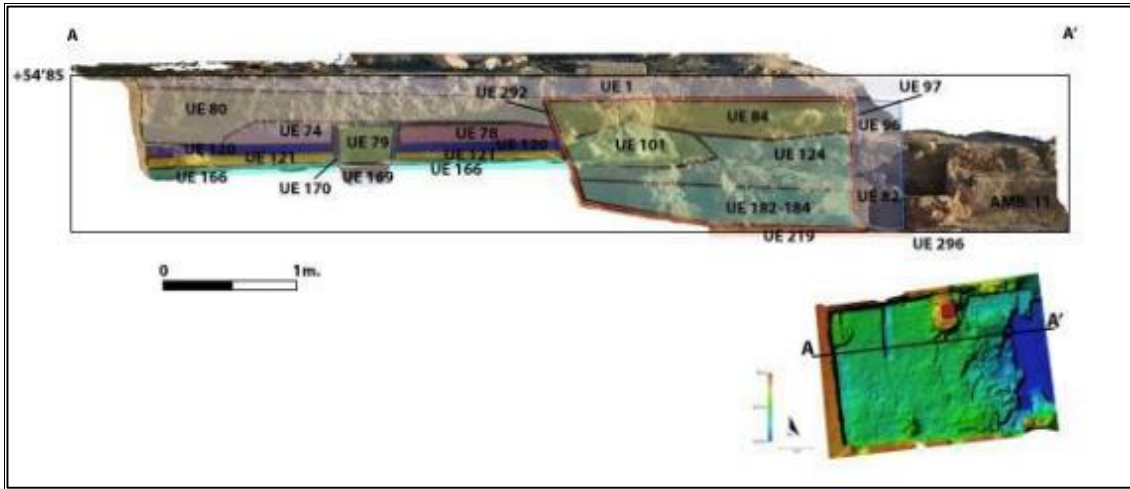


Fig. 220. Sección E-W del A11W

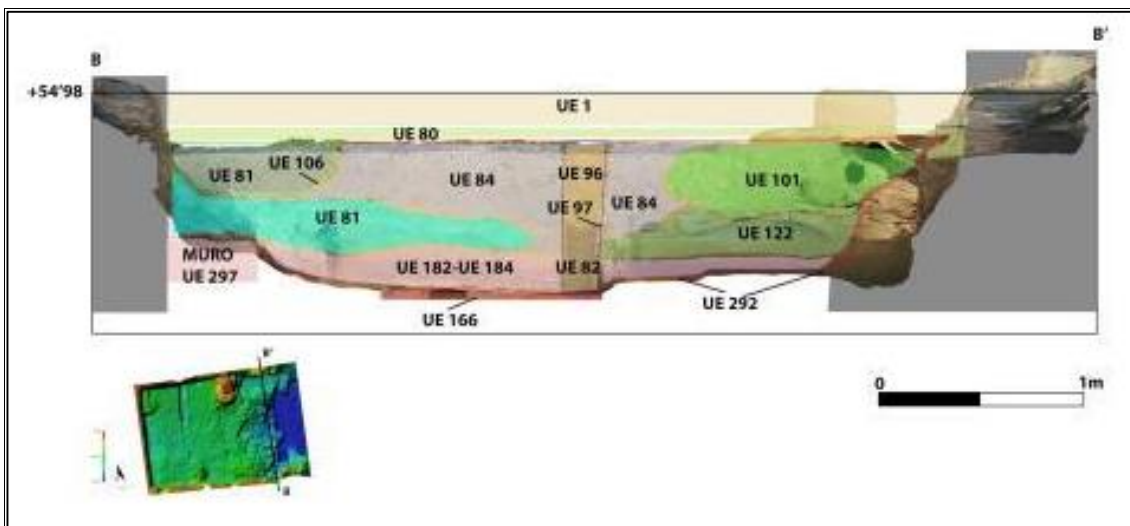


Fig. 221. Sección N-S del A11W

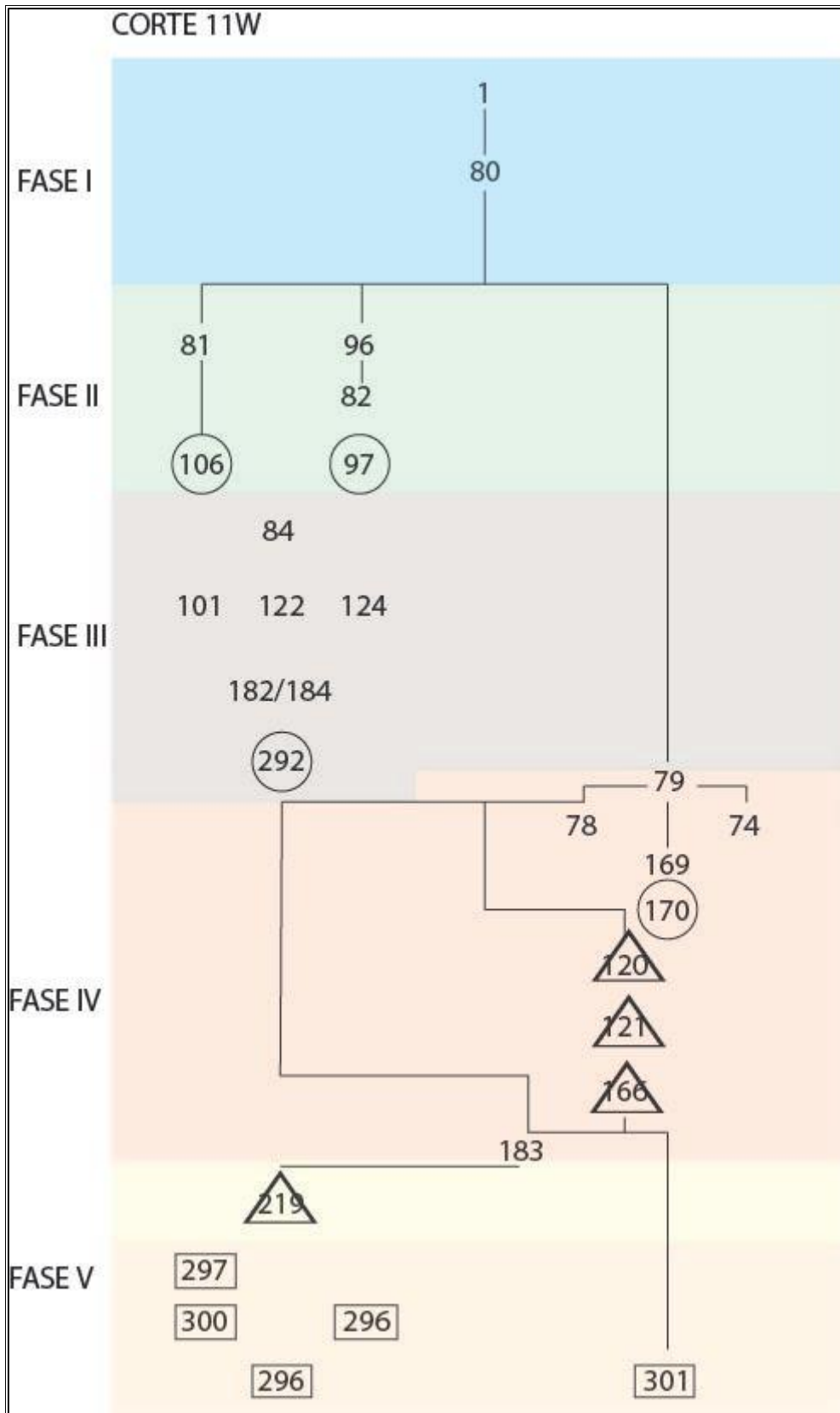
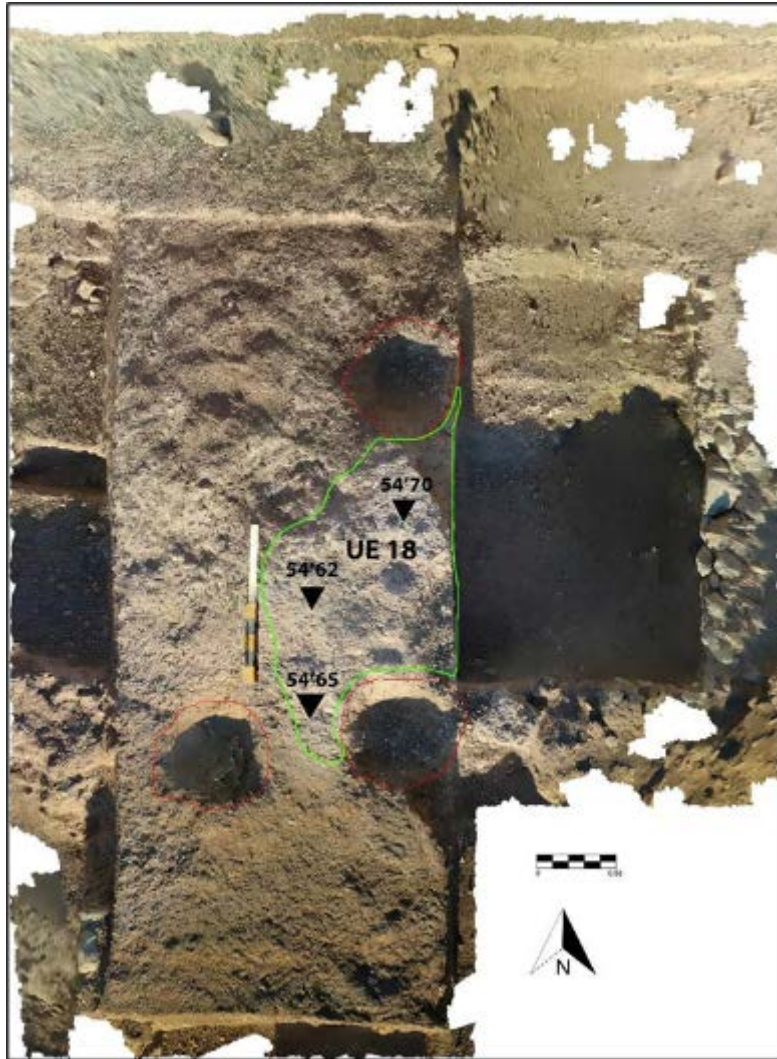


Fig. 222. Diagrama estratigráfico del A11W

La excavación en la zona occidental del sector 7F se centrará inicialmente en la excavación del testigo existente entre las dos zonas excavadas durante la campaña 2017. Con la doble intención de conocer la continuidad de los niveles de abandono en la calle ya documentada y definir así la relación de esta con el acceso al conjunto termal en este extremo.

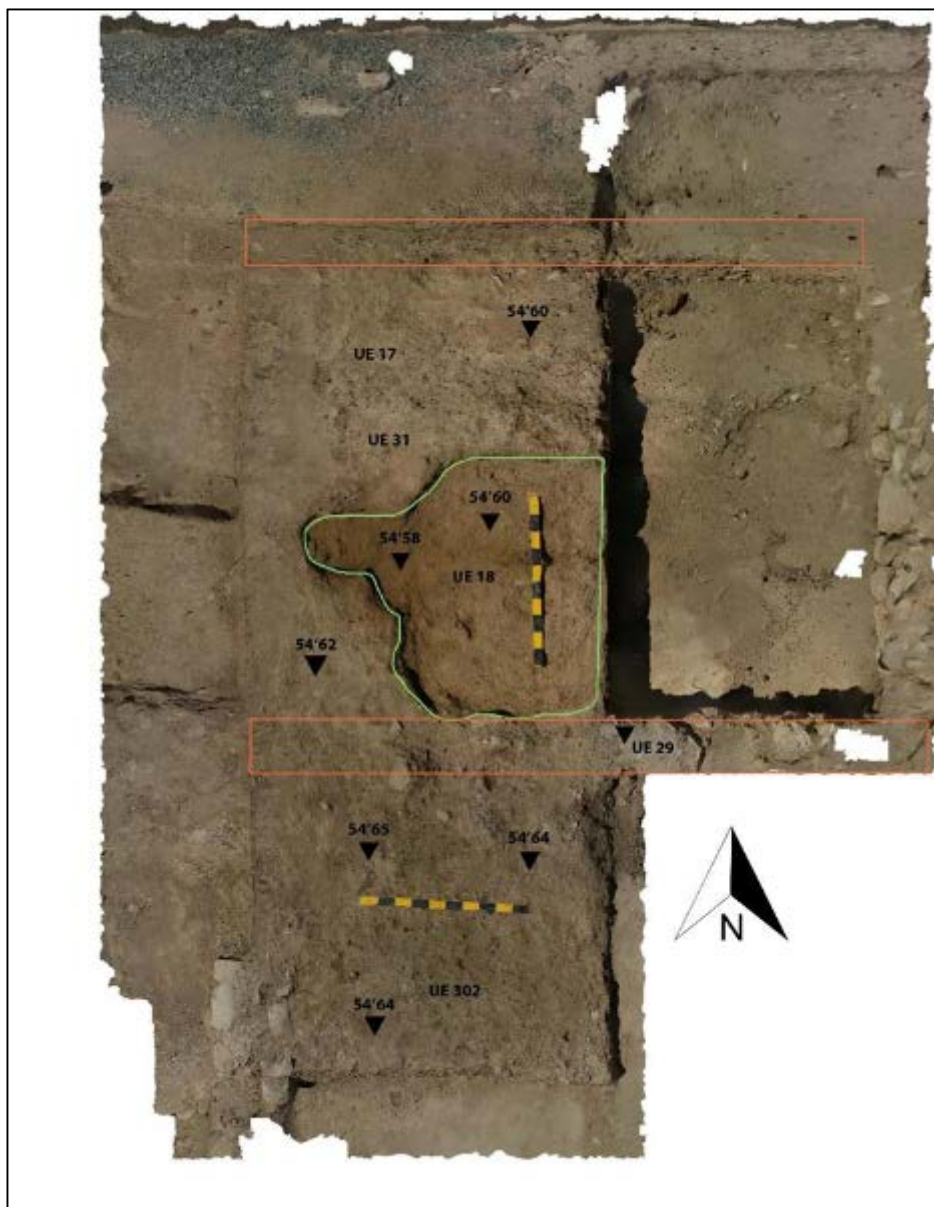
Previo a la excavación de la UE 1 se procedió a la limpieza del testigo, retirada de la grava que protegía la zona y la extracción de las cimentaciones que sirvieron de base al techado provisional que existía en la zona, y que ya desmontamos parcialmente en 2017. Es conveniente señalar que dichas cimentaciones consistían en cuatro soleras de hormigón de 50x50 cm., y una profundidad que también oscilaba los 50 cm. Dichas estructuras alteraron considerable la estratigrafía, puesto que para su construcción se realizaron sendos agujeros en el suelo.

Una vez eliminada la protección de grava y las bases de hormigón moderno descrito se inició la excavación del testigo, encontrando en primer lugar la continuación de la fosa detectada en la anterior campaña, UE 31 y su relleno UE 18 (+54,70/+54,62), obteniendo así su forma completa. Sorprendentemente vimos como el relleno de la fosa, UE 18 (+54,60/54,58), apenas tenía una potencia de 5 cm., mientras que en la zona septentrional llegó a alcanzar hasta 50 cm. También bajo la UE 1, y recortada por la UE 31 encontramos dos estratos claramente diferenciados, separados entre sí, por la continuación hacia el sur del muro UE 28. Inmediatamente al oeste del muro UE 28, encontramos la UE 17, documentada en la campaña 2017, y que estaba recortada por la fosa UE 31, pudiendo corresponder con un nivel de paso, algo irregular, correspondiente a los últimos momentos de uso del entramado viario.



*Fig.223. UE 18*

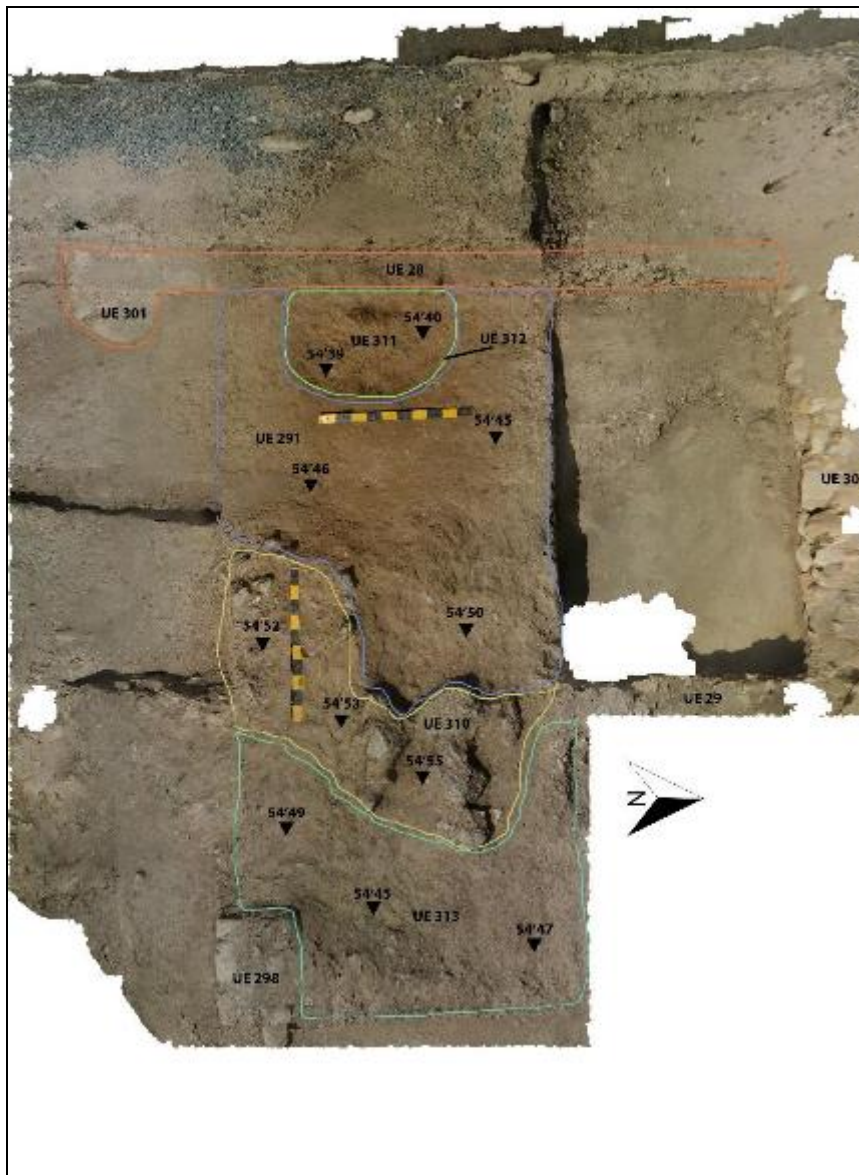
Tras la excavación de la UE 17 encontramos una situación claramente mediatizada o que diferenciaba dos ámbitos claramente diferenciados, siendo la UE 310 (54,52/54,55) el estrato que dividía el corte. La UE 310 es un estrato de tierra marrón anaranjado, donde destaca la presencia de piedras de mediano y pequeño tamaño que no parecen disponerse siguiendo un orden concreto, aunque se encuentre en la línea de proyección del muro UE 29. La disposición de las piedras, y su ubicación nos hizo pensar que nos encontrábamos en desplome o derrumbe del muro UE 28.



*Fig. 224. UE 29, UE 302 Y UE 18.*

Inmediatamente al este de la UE 310 encontramos la UE 313 (54,49/54,55), un estrato de tierra marrón grisáceo, algo compacta y que cubría en su extremo oriental la UE 310 y que apoyaba en la cara norte del muro UE 298. Al oeste de la UE 310 localizamos el nivel de paso que quedó como estrato final en el corte sur en la campaña pasada (UE 166-UE 291). Tras la limpieza de este último estrato pudimos observar la presencia de una nueva fosa en el extremo oeste del corte, recortando el pavimento justo en la zona de contacto con la cara oriental del muro UE 28.

Una vez delimitada correctamente esta nueva fosa, UE 312, procedimos a la excavación de su relleno, UE 311 (54,39/54,40), compuesto por un paquete de tierra no muy compacta, de color marrón anaranjado, y en cuyo fondo localizamos una serie de piedras de mediano y pequeño tamaño que parecían crear una forma semicircular. Esto lo interpretamos como un acto intencionado, a modo de soporte para fijar la base de un posible poste, algo que podría explicar la tendencia circular de la fosa y su proximidad al muro UE 28. De hecho, por su proximidad y posición resulta tentador ponerlo en relación con el muro UE 38, que amortizaba la calle.

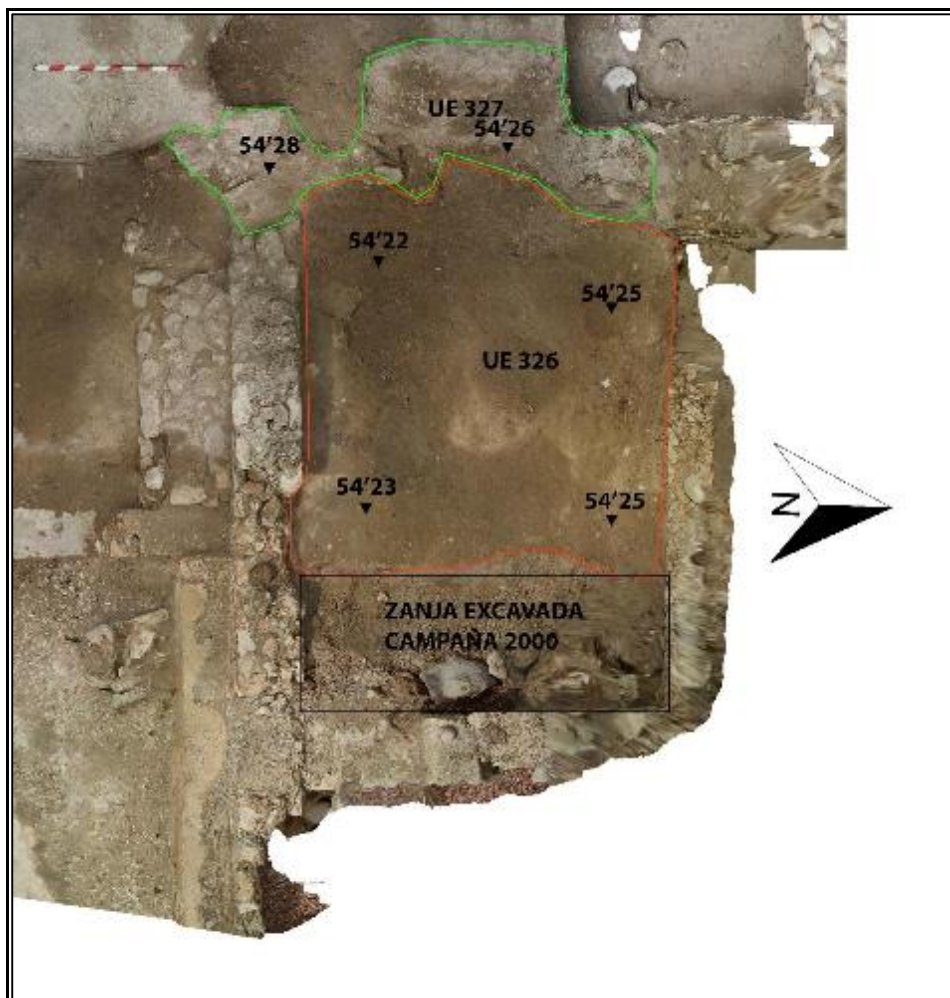


*Fig. 225. UE 313, UE 310, UE 291 y UE 28.*



*Fig. 226. UE 313, UE 120.*

Una vez excavado tanto el relleno de la fosa descrita (UE 312, 54,20/54,22), como la UE 310 pudimos delimitar claramente la UE 313 (54,31/54,38), un estrato de tierra anaranjado, de aspecto arcilloso y ligeramente compacto, que cubría a su vez tanto el pavimento UE 120-166 (54,22/54,30) como el relleno (UE 169) de la zanja-canal (UE 170) ya documentado en la campaña 2017, y que dividía de forma clara el corte con una dirección norte-sur.



*Fig. 227. UE 326, UE 327*

En la mitad septentrional del corte, tras la retirada de la UE 313 observamos la aparición de la UE 326 (54,25/54,22), un estrato cuya superficie tiende a la horizontalidad, con un tono que, del naranja al gris, con zonas que presentan una clara iridiscencia. En las zonas más cercanas a las partes que presentan estas iridiscencias hemos podido identificar restos de adobe, lo cual nos lleva a pensar en la posible presencia de un hogar.

El extremo oeste de la UE 326 se encuentra a su vez cubierta por la UE 327 (54,28/54'26), que a su vez se encontraba también cubierta por la UE 313. Este nuevo estrato está formado por tierra marrón claro, donde se pudieron registrar la presencia de abundantes fragmentos de mortero y piedras de mediano y pequeño tamaño, que podrían corresponder a la parte superior del muro UE 297 y el banco adosado UE 298.



7F-404-68  
AMB. 13



7F-404-63  
AMB. 13



7F-404-35  
AMB. 13



*Fig. 228. Lámina con dibujos de materiales arqueológicos aparecidos en el A13*

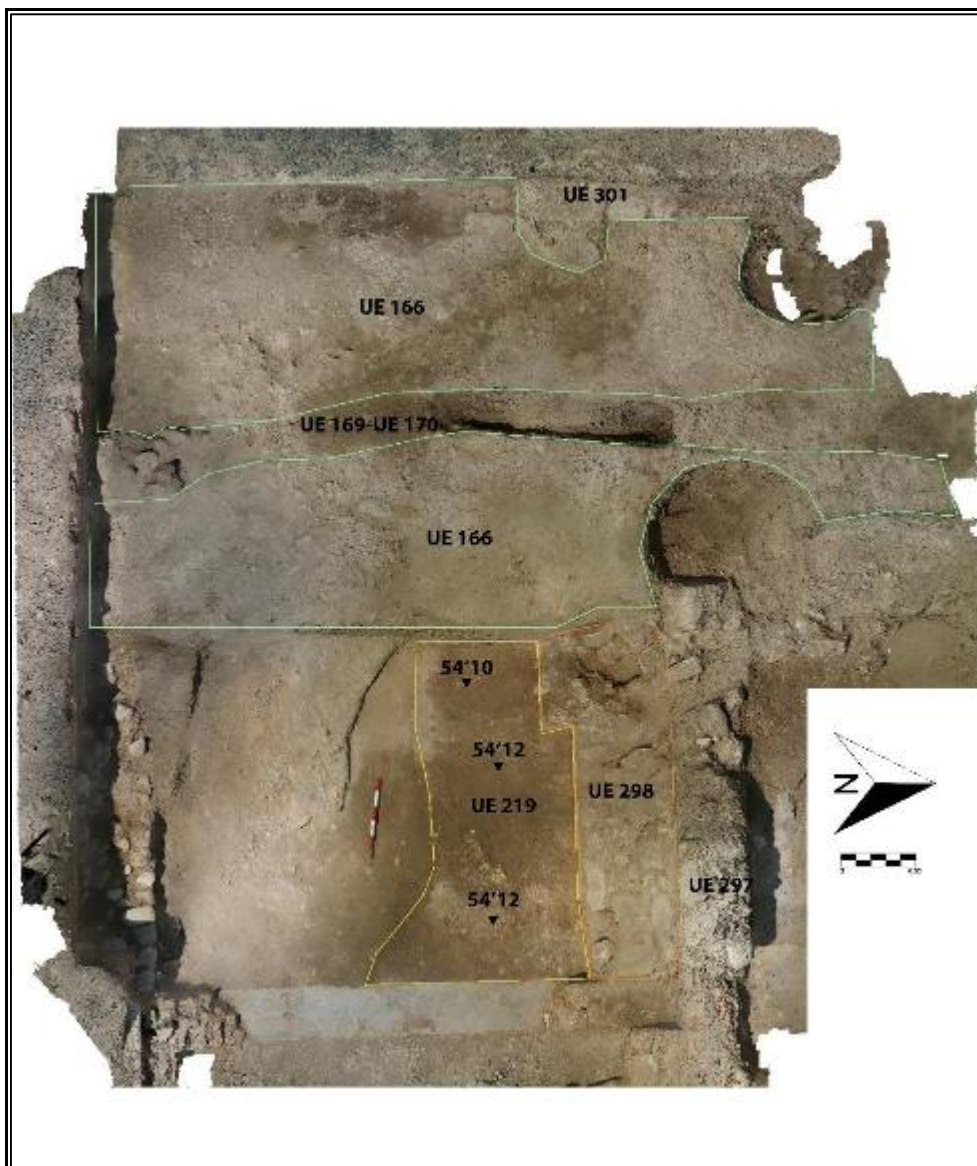
Pasando a la mitad meridional del corte, ya en el A12, en su extremo norte, localizamos la UE 328 (54,20/54,15), que se extendía de forma irregular en la zona más cercana al banco UE 298. El estrato, de tierra marrón anaranjado, no muy compacta y con nódulos arcillosos color grisáceo, además de apoyarse en el enlucido del banco, también cubría en este punto el estrato documentado en la anterior campaña, UE 183. Aunque inicialmente la UE 183 fue identificada como un posible nivel de pavimentación, en muy mal estado de conservación. Tras la excavación de la UE 327, pudimos ver que cubría la cota inferior de la zanja de expolio, que como ya hemos mencionado, rompe el extremo occidental del muro UE 297 y el banco adosado UE 298. De este modo, hemos de interpretar la UE 183 como un nivel de frecuentación o amortización de la zona una vez realizado el expolio de la estructura de acceso a las termas.



Fig. 229. UE 29, UE183, UE 327 y UE 328.

Una vez excavada la UE 183 definitivamente pudimos observar, ahora si, la aparición de un nuevo estrato, UE 219 (54,10/54,12), documentado ya en la campaña anterior, que se interpretó como el pavimento contemporáneo al acceso a las termas por este extremo.

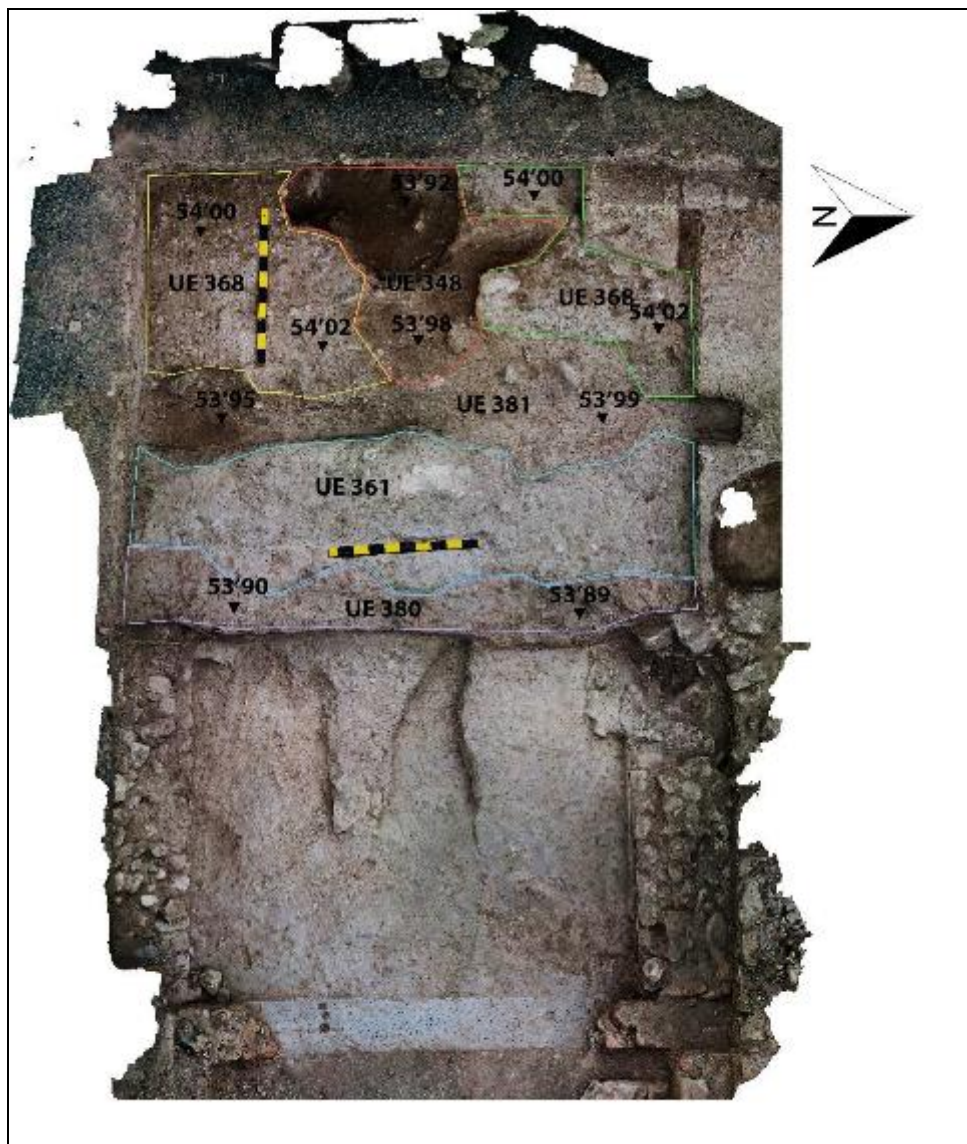
Desde este momento, se procedió a la excavación de la mitad occidental del corte, correspondiente al espacio identificado como calle de acceso a las termas en este extremo. La situación estratigráfica, tal como quedó preservada en la campaña 2018, nos mostraba un nivel de paso, UE 166, compuesto por tierra marrón clara, con abundantes cantos rodados de pequeño tamaño en su superficie y algunos fragmentos de cerámica. Tal como también se vino documentando desde el inicio de la excavación, el pavimento se encontraba dividido por una zanja, UE 170, que partía el pavimento, en dirección norte sur. Dicha zanja fue identificada como la fosilización del canal de desagüe que tradicionalmente recogería las aguas pluviales en la zona. Dicha zanja se encontraba rellena por la UE 169 en su parte superior, mientras que en la campaña 2018, encontramos un nuevo relleno bajo el anterior, UE 347, un estrato de tierra marrón grisáceo, de escasa consistencia, con alguna piedra de mediano y pequeño tamaño que tienden a concentrarse en el extremo sur de la zanja.



*Fig. 230. UE219, UE298, UE166, UE301.*

Tras la excavación del pavimento UE 166 apareció un nuevo nivel, UE 360 (54,11/54,12), también de superficie horizontal, al oeste de la zanja UE 170, y UE 361 (54,05/54,02;) al oeste. Ambos niveles, UE 360 y UE 361, presentan el mismo aspecto por lo que es razonable pensar que estamos ante estratos iguales, pero separados por la comentada zanja. Dichos niveles, tienen una composición similar a la UE 166, un estrato de tierra marrón claro, muy compacto, con abundantes cantos rodados de pequeño tamaño y pequeños fragmentos de cerámica. Su superficie, aunque muestra cierta regularidad, se encuentra algo más deteriorado que el estrato superior. Es también reseñable la aparición de una nueva zanja, UE 349, en el extremo oeste de la UE 360, y parcialmente bajo el perfil oeste del corte, que inicialmente estaba cubierta por el pavimento UE 166.

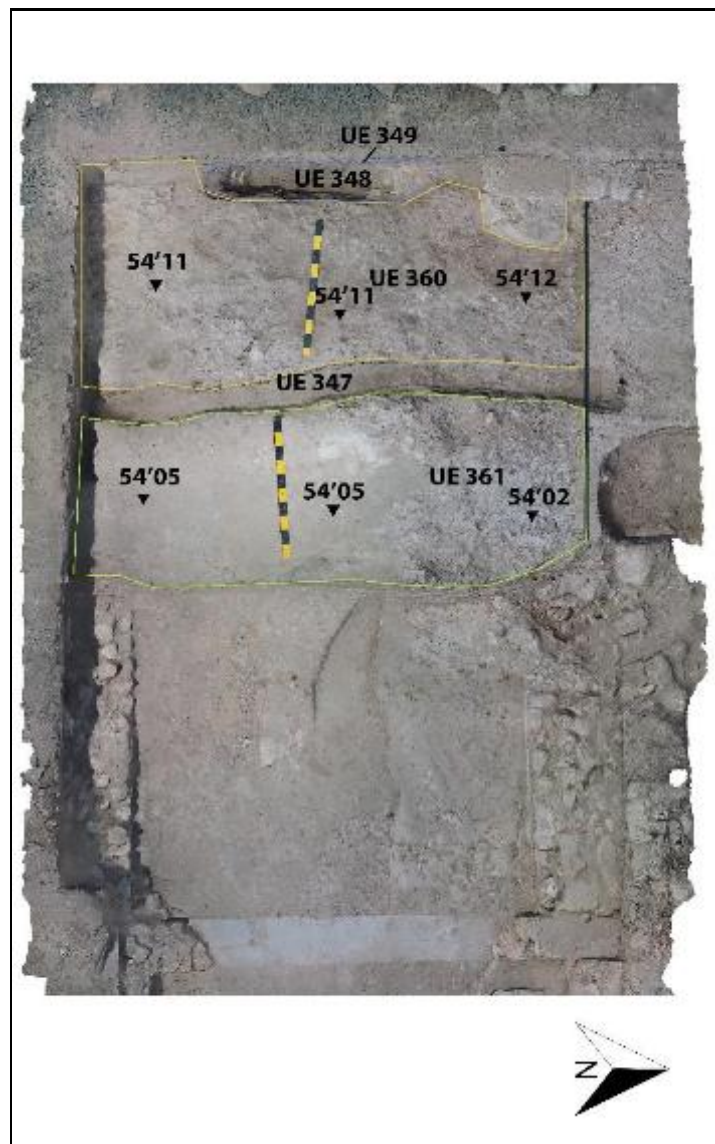
Esta nueva zanja se encuentra rellena por un paquete de tierra, UE 348, marrón anaranjado, no muy compacto, sin apreciarse piedras en su composición. La zanja, al igual que la UE 170, se extiende de forma longitudinal a lo largo del corte en dirección norte-sur.



*Fig. 231. UE 361, 380, 381, 368 y 348.*

De este modo, se procedió a la excavación de los niveles descritos, UE 360 y UE 361. Por un lado, siempre tomando la zanja central como línea divisoria, en la mitad este apareció un nuevo nivel horizontal, UE 380 (53,90/53,89), cuya superficie se encontraba muy deteriorada, pero dejaba entrever una composición de tierra marrón grisácea, con pequeños cantos rodados y fragmentos de cerámica. En la mitad occidental del corte, por el contrario, la situación era distinta: aunque localizamos también un nivel de

superficie horizontal, UE 368 (54,00/54,02), aparecía roto por una gran fosa, UE 349, que parte esta mitad del corte en dirección este-oeste, rellena por un paquete de tierra marrón oscuro, no muy compacta y alguna piedra de mediano y pequeño tamaño, UE 348 (53,98). De hecho, llegados a este punto, la zanja que UE 170 se unía con la nueva zanja UE 349 en su lado oeste, cubriendo inicialmente el relleno de la primera, UE 381 al relleno de la segunda, UE 348.



*Fig. 232. UE 361, UE347, UE360, UE349 y UE348.*

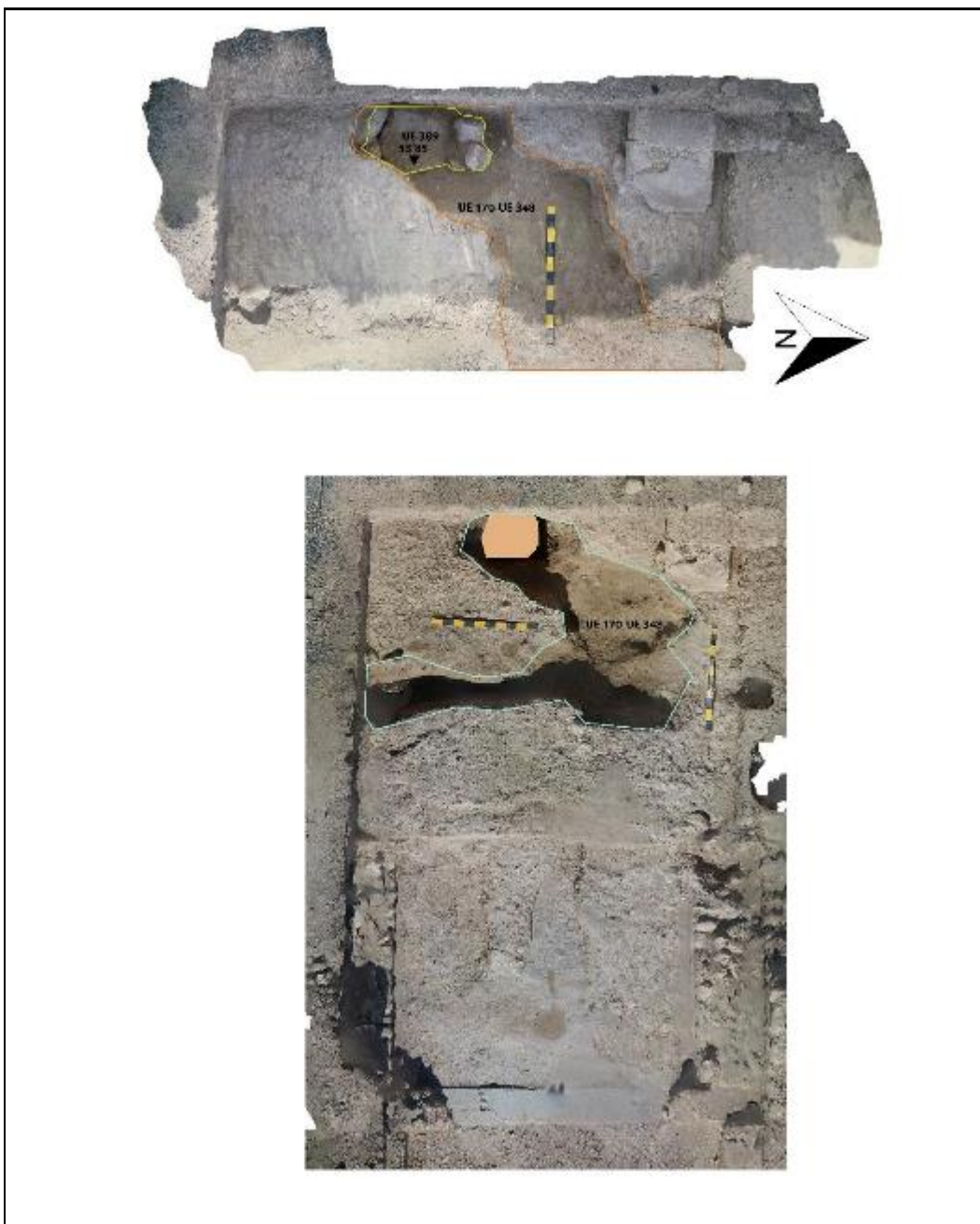
Una vez delimitados los nuevos pavimentos, así como los límites de las zanjas documentadas, se procedió a la excavación de los rellenos de estas, en primer lugar, la UE 381 y posteriormente la UE 348. Durante la excavación de esta última unidad observamos como en su extremo occidental aparecieron una serie de losas, destacando

la central, de gran tamaño, que parecían estar posicionadas de una forma intencionada. De hecho, durante su limpieza, pudimos observar como entre los espacios se filtraba la arena, entendiéndose que en realidad estábamos ante un cegado o cobertura de un nuevo espacio inferior.

Una vez delimitado el conjunto de losas, UE 389 (53,85), se inició su cuidadosa retirada, para lo cual nos pusimos en contacto con el Consorcio Provincial de Bomberos de Alicante, que amablemente se pusieron a nuestra disposición para supervisar los trabajos de extracción. Tras la extracción pudimos ver con claridad que estas losas se encontraban cubriendo un nuevo pozo de registro perteneciente al sistema de saneamiento de la ciudad romana.

El fondo del registro se encontraba colapsado por un paquete de tierra, UE 390, de color marrón claro, no muy compacta, y que tenía unos diez cm. De potencia, probablemente producto de las filtraciones de arena entre los resquicios de las losas. De hecho, justo bajo la UE 390 pudimos observar la presencia de un nuevo estrato, UE 391, de tierra marrón oscuro, bastante más compacta que la anterior y que se extendía de forma uniforme por el interior del registro.

A pesar de las reducidas dimensiones del registro conseguimos excavar parcialmente la UE 391 hasta observar en las paredes de la estructura la aparición de unas dovelas, que nos marcaban la conducción proveniente desde la cloaca de las termas en la cara este.

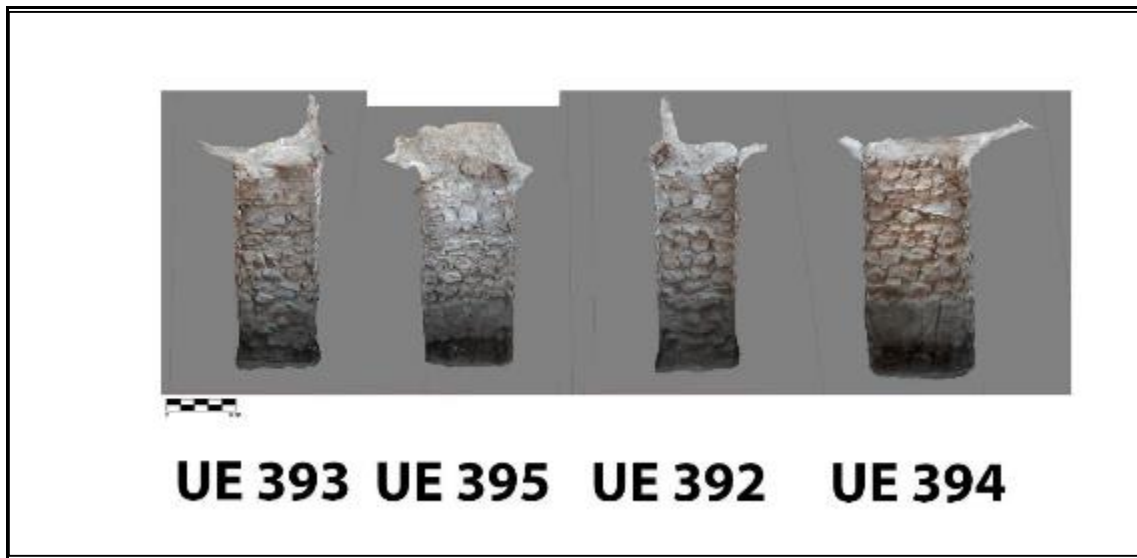


*Fig. 233. UE 170-348 y UE 389.*

En la cara oeste del pozo pudimos observar esta misma situación, una línea de dovelas, a una cota similar, que nos dejaba entrever una salida de la cloaca hacia la zona occidental del yacimiento. De este modo, desde la parte superior del pozo hasta la cota superior de la clave en la línea de dovelas medía aproximadamente un metro, a lo que hay que sumar 50 cm. de altura a las dovelas.

Las cuatro paredes del pozo presentaban un modo constructivo similar, mampuesto ordinario de mediano y pequeño tamaño, trabado con mortero de cal, trabando

claramente entre si los cuatro lados. Así, denominamos a la cara oeste UE 395, a la cara norte UE 392, a la cara este UE 394 y a la cara sur UE 393.



*Fig.234. UUEE 392-393-394-395.*

Delimitada así la estructura descrita proseguimos con la excavación de los nuevos niveles de paso también comentados, por un lado, en la mitad occidental de la calle, UE 368 y por otro lado en la mitad oriental, la UE 380.

Bajo la UE 380 pudimos localizar un nuevo nivel horizontal, UE 404 (53,80/53,82), que se restringía claramente únicamente a la parte más occidental, y que ofrecía una gran dureza. Compuesto por mortero amarillento, con gran cantidad de cal y alguna piedra de pequeño tamaño. Tanto su extremo sur como su extremo norte se encontraba muy deteriorado, mostrando su preparación, UE 405, compuesto por un árido muy fino, también de color amarillento y graba también de tono amarillento, igualmente fina.

En la mitad occidental de la calle, tras excavar el pavimento UE 368 quedó a la vista su preparación, UE 408 (53,94/53,90), compuesto por tierra marrón anaranjado, abundantes cantos rodados, nódulos de cal y algún fragmento de cerámica. Bajo este preparado, que se conservaba únicamente en la esquina suroeste del corte, localizamos un nuevo nivel de paso, UE 452, compuesto por tierra marrón claro, cantos rodados de pequeño tamaño y algún fragmento de cerámica, muy alterado en su parte oriental y septentrional por las fosas UE 170-UE 349.

Dividiendo el espacio de la calle, seguimos avanzando en la excavación de la zanja central, UE 170-UE 349, que en su cota superior se encontraba rellena por las UUEE 348 y 381, para cubrir al último de sus rellenos, UE 406 (53,72/53,70). Este nuevo estrato era mucho menos compacto que los anteriores, tenía un aspecto ceniciento y no se observaba la presencia de piedras.



*Fig. 235. UE481, UE404, UE368, UE406 y UE408.*

Continuando la excavación en la mitad occidental de la calle pudimos observar un nuevo nivel horizontal, UE 450 (53,75/53,72), compuesto por tierra marrón oscuro, muy apelmazada, y abundantes cantos rodados de pequeño tamaño. Llama la atención como en la parte occidental de la unidad aparecieron algunos fragmentos de cerámica dispuestos de forma intencionada para facilitar la creación del nivel horizontal.

Entendemos este nivel como un preparado para recibir un nivel de paso, probablemente compuesto por elementos pétreos. Así, pudimos observar como en la zona meridional del estrato aparecía recortado o parcialmente destruido, algo que vendría a reforzar aun más la idea de estar ante un pavimento realizado con piedra, expoliada en su totalidad. Precisamente en esa zona, en lugar del nivel descrito, UE 450, encontramos un estrato, UE 447 (53,66), de tierra marrón oscuro, no muy compacta y con alguna piedra de mediano y pequeño tamaño.

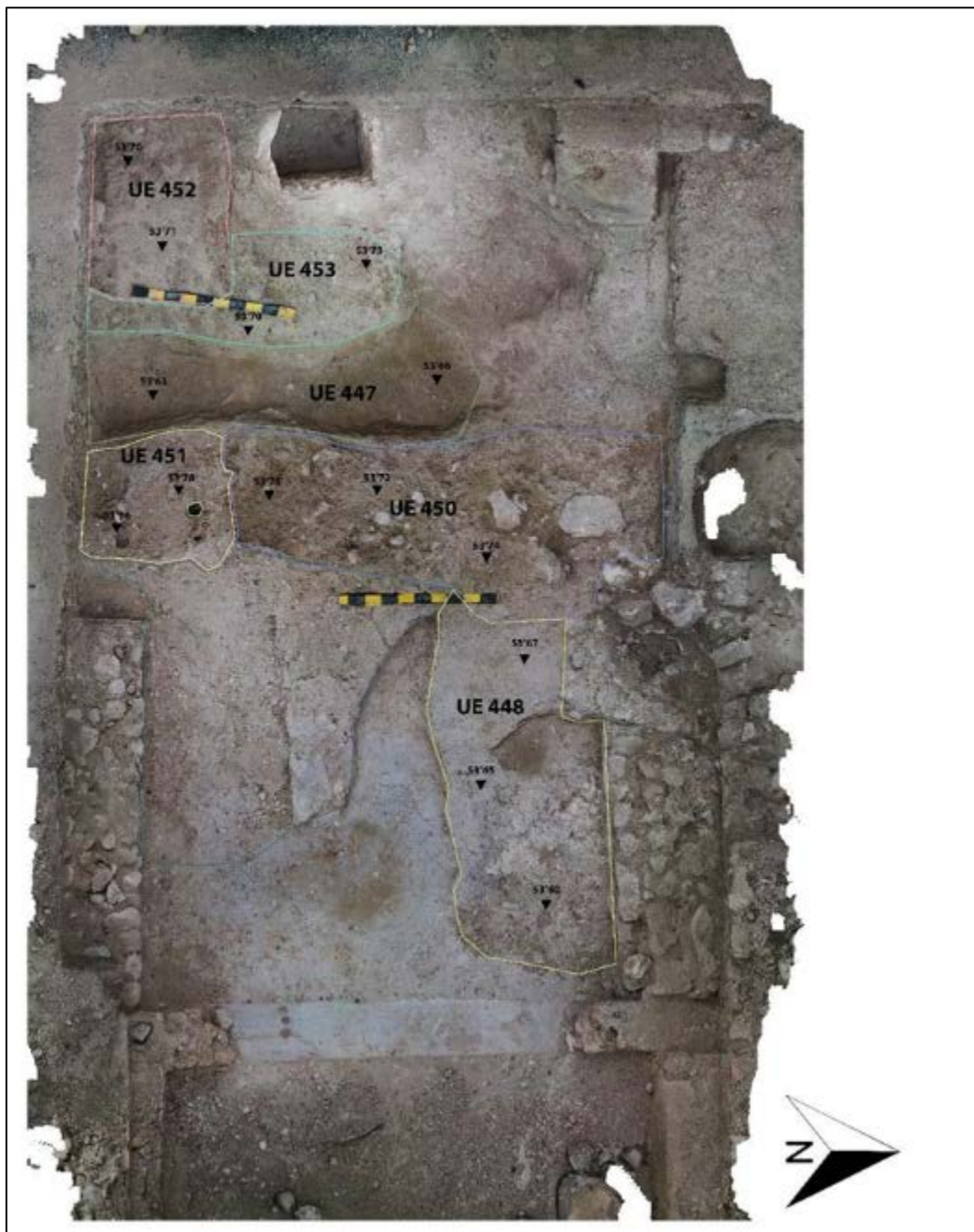


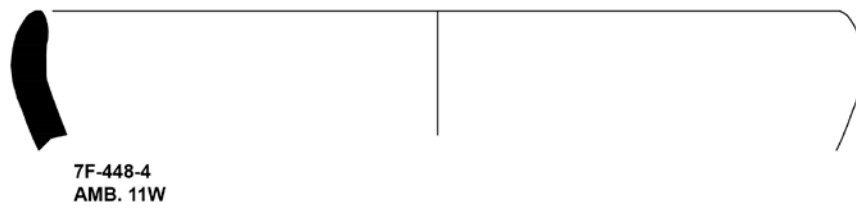
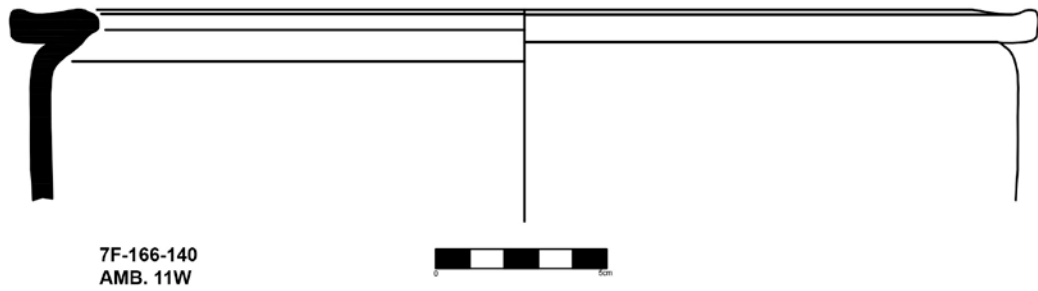
Fig. 236. UE448, UE450, UE451, UE447, UE 452 y UE453.

En la parte occidental del corte, bajo el preparado UE 408 encontramos dos niveles, de composición muy distinta, pero con una superficie horizontal que parecía coincidir en cota. Por un lado, la UE 452 (53,70), de tierra marrón anaranjada muy compacta, de aspecto arcilloso. Y, por otro lado, la UE 453 (53,71), de tierra marrón grisáceo, también muy compacta, y como la anterior, con una superficie tendente a la horizontalidad, aunque presentando algún canto rodado.

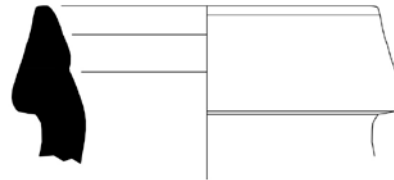
Para finalizar, se procedió a una limpieza de la mitad oriental del corte, donde en la anterior campaña se intervino hasta dejar a la vista la UE 219, un nivel de pavimentación que cubría parcialmente el espacio inmediatamente al norte del umbral. Tras su excavación en la presente campaña pudimos constatar un nuevo estrato, UE 448 (53,67/53,60), que ofrecía una superficie horizontal, y que estaba compuesto por tierra marrón claro, y algún canto rodado de pequeño tamaño, extendiéndose de forma irregular por todo el espacio comprendido entre el umbral y la calle. Aunque con una pendiente descendiente hacia el este, este nuevo nivel de paso nos ofrece una morfología similar al nivel de paso UE 450, descrito previamente.

De este modo, finalizamos el proceso de excavación del A11W definiendo dos niveles de paso que funcionan de forma contemporánea, UE 448 y UE 450, tanto en la calle como en el espacio inmediatamente al oeste del umbral de acceso al complejo termal.

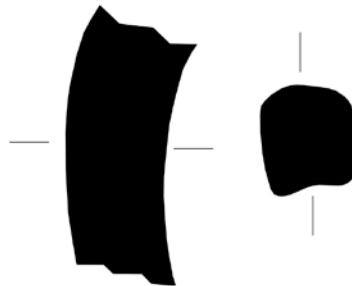
Por otro lado, en la zona denominada calle, además de haber definido claramente un último nivel de paso, UE 450, en la mitad occidental dejamos definido por un lado el acceso al registro de la cloaca, que recogía las aguas procedentes del complejo termal y que las canalizaba hacia la presumible red de alcantarillado en la zona oeste. Y por otro lado, un nivel de paso, UE 452, localizado en la esquina suroeste que por el momento es el último constatado dentro de la calle, a falta de proseguir en posteriores campañas la excavación en esta zona.



*Fig. 237. Lámina con dibujos de materiales arqueológicos aparecidos en el  
A11W*



380-45  
AMB. 11



380-37  
AMB. 11



7F-380-35  
AMB. 11



Fig. 238. Lámina con dibujos de materiales arqueológicos aparecidos en el A11

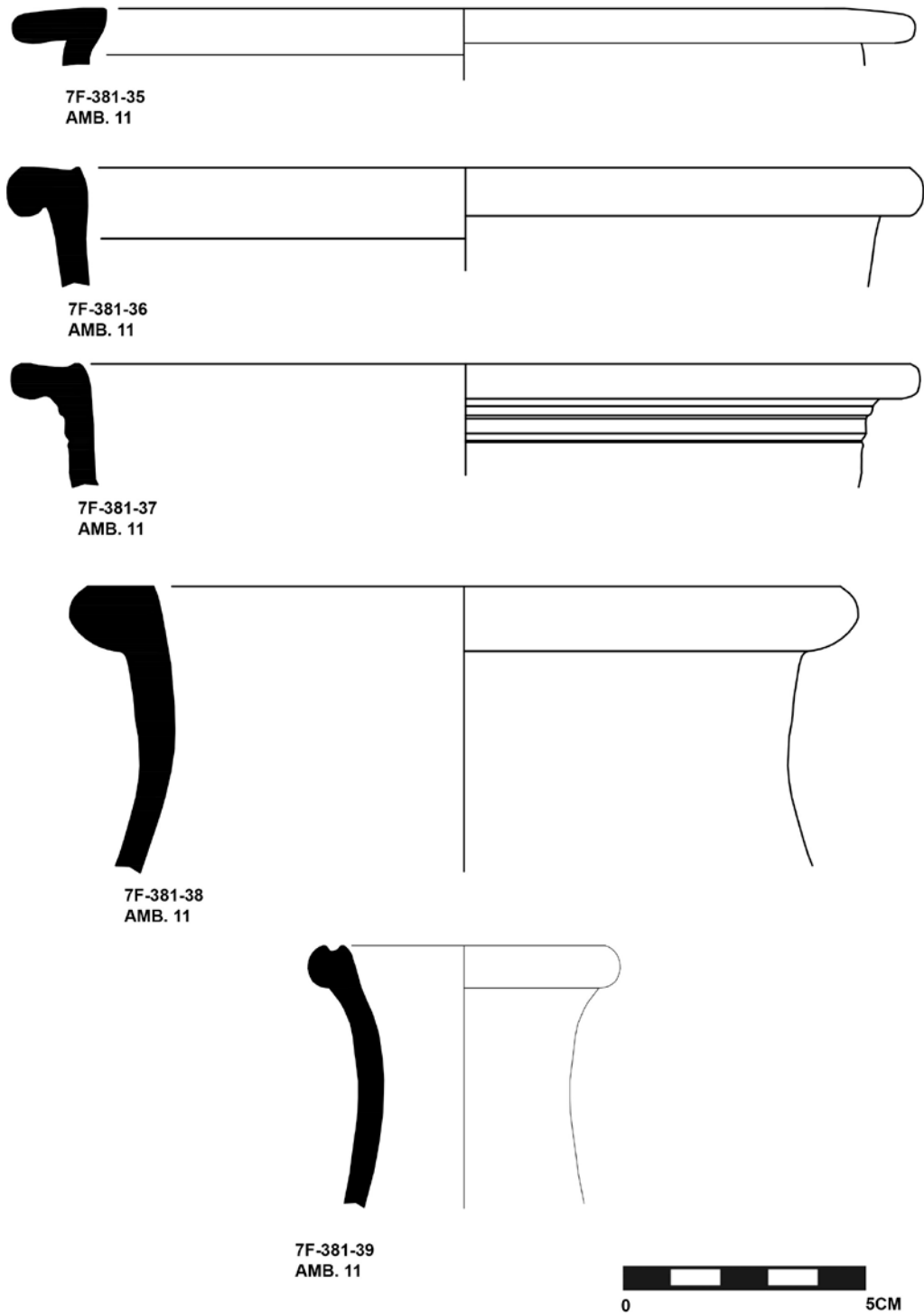
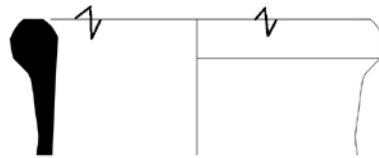
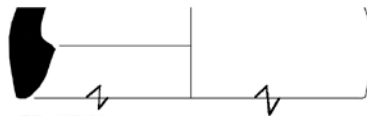


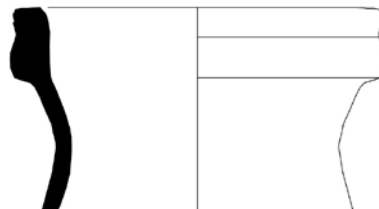
Fig. 239. Lámina con dibujos de materiales arqueológicos aparecidos en el A11



7F-437-37  
AMB. 11



7F-437-38  
AMB. 11



7F-437-45  
AMB. 11



Fig. 240. Lámina con dibujos de materiales arqueológicos aparecidos en el A11

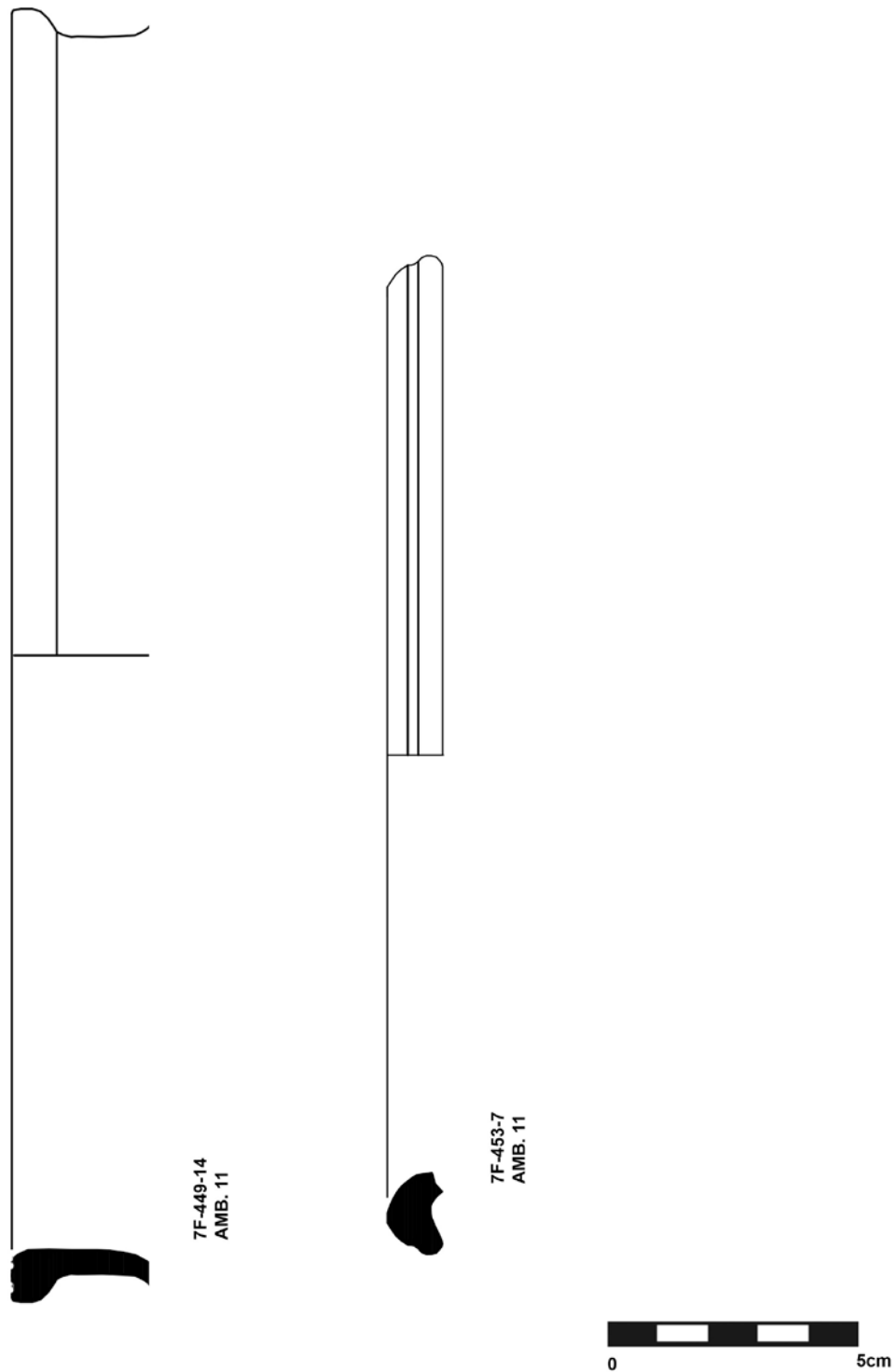


Fig. 241. Lámina con dibujos de materiales arqueológicos aparecidos en el A11